

UNIVERSITATEA POLITEHNICA DIN TIMIȘOARA

Facultatea de Automatică și Calculatoare

TEZĂ DE DOCTORAT

**CONTRIBUȚII LA UTILIZAREA ALGORITMILOR GENETICI
ÎN INGINERIE**

BIBLIOTECA CENTRALĂ
UNIVERSITATEA "POLITEHNICA"
TIMIȘOARA

1
11/01/03
BIBLIOTECA
UNIVERSITATEA "POLITEHNICA"
TIMIȘOARA
11/01/03

Autor: ing. Ecaterina Emilia VLADU

Conducător științific: prof. dr. ing. Toma Leonida DRAGOMIR

2003

ABREVIERI	A
INTRODUCERE	1
CAPITOLUL 1. OPTIMIZARE GLOBALĂ	4
1.1. DEFINIȚII. CARACTERISTICI	4
1.2. METODE STOCHASTICE DE OPTIMIZARE GLOBALĂ	6
1.2.1. Metoda de optimizare Monte Carlo	6
1.2.2. Metoda de optimizare Hill Climbing (căutarea de tip ascensiune)	7
1.2.3. Metoda de optimizare Simulated Annealing SA (călirea simulată)	7
1.3 ALGORITMI DE EVOLUȚIE	9
1.4 CONCLUZII	10
CAPITOLUL 2. ALGORITMI GENETICI	11
2.1. ALGORITMI GENETICI	11
2.1.1. Algoritmi genetici. Principii generale	11
2.1.1.1. Terminologia folosită de algoritmi genetici	12
2.1.1.2. Principiul de funcționare al algoritmilor genetici	13
2.1.1.3. Situații defavorabile care pot apare pe parcursul evoluției algoritmilor genetici	17
2.1.2. Atribuirea funcției fitness	17
2.1.2.1. Scalarea funcției fitness	17
2.1.2.2. Divizarea funcției fitness	20
2.1.2.3. Atribuirea funcției fitness după rang (fitness ranking)	22
2.1.1.4. Definiții referitoare la funcția fitness și operatorul de selecție	23
2.2. OPERATORI DE SELECȚIE	24
2.2.1. Selecția proporțională	24
2.2.2. Selecția turneu (tournament)	26
2.2.3. Selecția cu trunchiere (truncation)	27
2.2.4. Selecția ordonată după rang (ranking)	28
2.2.5. Selecția cu grupare	29
2.3. OPERATORI DE ÎNCRUCIȘARE	30
2.3.1. Operatori de încrucișare pentru codare binară	30
2.3.1.1. Încrucișarea într-un singur punct	30
2.3.1.2. Încrucișarea în m puncte	31
2.3.1.3. Încrucișarea uniformă	31
2.3.2. Operatori de încrucișare pentru codare reală	31
2.3.2.1. Încrucișarea discretă	31
2.3.2.2. Încrucișarea intermediară	32
2.3.2.3. Încrucișarea liniară	33
2.3.2.4. Încrucișarea aritmetică	34
2.4. OPERATORI DE MUTAȚIE	34
2.4.1. Operatori de mutație pentru codare binară	34
2.4.1.1. Mutația binară pură	34
2.4.1.2. Mutația binară cu interschimbare de biți adiacenți	35
2.4.1.3. Mutația binară cu deplasare (shift mutation)	35
2.4.2. Operatori de mutație pentru codare reală	35
2.4.2.1. Mutația uniformă	35
2.4.2.2. Mutația neuniformă	36
2.4.2.3. Mutația limită (boundary mutation)	36
2.5. OPERATORI SUPPLEMENTARI FOLOSIȚI ÎN ALGORITMI GENETICI	37
2.5.1. Diploidia și dominanța în algoritmii genetici	37

2.5.2. Operatorul de inversiune.....	38
2.6. REINSERARE.....	39
2.6.1. Reinserarea globală în funcție de operatorul de selecție folosit, există diferite metode pentru reinserare globală:.....	39
2.6.2. Reinserarea locală.....	40
2.7. IMPLEMENTĂRI PARALELE ALE ALGORITMILOR GENETICI.....	40
2.8. PARAMETRI UNUI ALGORITM GENETIC.....	42
2.9. BAZELE TEORETICE ALE ALGORITMILOR GENETICI.....	43
2.9.1. Analiza teoretică a algoritmilor genetici cu codare binară.....	43
2.9.2. Alte metode de analiză a algoritmilor genetici.....	46
2.10. CONCLUZII.....	47
CAPITOLUL 3. ASPECTE LEGATE DE OPTIMIZAREA MULTI-OBIECTIV ȘI DE TRATARE A RESTRICȚIILOR FOLOSIND ALGORITMI GENETICI.....48	
3.1. CONCEPTE DE BAZĂ ÎN OPTIMIZAREA MULTI-OBIECTIV.....	48
3.2. OPTIMIZARE PARETO.....	49
3.3. REZOLVAREA PROBLEMELOR DE OPTIMIZARE MULTI-OBIECTIV FOLOSIND ALGORITMI GENETICI.....	51
3.3.1. Aspecte specifice legate de aplicarea algoritmilor genetici în optimizarea multiobiectiv.....	52
3.3.1.1. Atribuirea funcției fitness și aplicarea operatorului de selecție.....	52
3.3.1.2. Menținerea diversității populației.....	53
3.3.2. Clasificarea metodelor de rezolvare a problemelor de optimizare multiobiectiv.....	54
3.4. METODE DE OPTIMIZARE MULTI-OBIECTIV DIN PRIMA GENERAȚIE.....	55
3.4.1. Metode de optimizare care nu sunt bazate pe conceptul de optim Pareto.....	55
3.4.1.1. Metoda coeficienților de ponderare.....	55
3.4.1.2. Algoritmii genetici VEGA.....	57
3.4.1.3. Ordonarea lexicografică.....	58
3.4.1.4. Metoda restricțiilor.....	60
3.4.1.5. Metoda scopurilor.....	60
3.4.2. Metode de optimizare bazate pe conceptul de optim Pareto.....	61
3.4.2.1. Ordonarea Pareto.....	61
3.4.2.2. Algoritmul genetic multiobiectiv MOGA (Multiple Objective Genetic Algorithm).....	62
3.4.2.3. Algoritmul genetic sortat nedominat (Non-Dominated Sorting Genetic Algorithm – NSGA).....	64
3.4.2.4. Algoritmul genetic Pareto cu nișe (NPGA- Niche Pareto Genetic Algorithm).....	65
3.5. METODE DE OPTIMIZARE MULTI-OBIECTIV DIN A DOUA GENERAȚIE.....	66
3.5.1. Algoritmul evolutiv PAES (The Pareto Archived Evolution Strategy).....	67
3.5.2. Algoritmul evolutiv SPEA (Strength Pareto Evolutionary Algorithm).....	69
3.6. ALEGEREA UNEI SOLUȚII PARTICULARE DIN MULȚIMEA PARETO OPTIMĂ.....	69
3.6.1. Metoda criteriului global.....	69
3.6.2. Metoda ratei de revenire.....	70
3.6.3. Metoda mediei ponderate.....	70
3.7. METODE DE TRATARE A RESTRICȚIILOR ÎN REZOLVAREA PROBLEMELOR DE OPTIMIZARE.....	71
3.7.1. Metoda de rejecție.....	71
3.7.2. Metoda de reparare.....	71

3.7.3. Metoda de modificare a operatorilor genetici.....	72
3.7.4. Metoda de considerare gradată a restricțiilor.....	72
3.7.5. Metoda de validitate.....	72
3.7.6. Metoda de penalizare.....	73
3.7.6.1 Metode de penalizare aditive.....	74
3.7.6.2. Metode de penalizare multiplicative.....	75
3.7.6.3. Metode de penalizare cu funcție de penalizare constantă.....	75
3.7.6.4. Metode de penalizare cu funcție de penalizare variabilă.....	75
3.8. CONCLUZII.....	75
CAPITOLUL 4. PROGRAMAREA GENETICĂ.....	77
4.1. INTRODUCERE.....	77
4.2. ASPECTE SPECIFICE PROGRAMĂRII GENETICE.....	78
4.2.1. Codarea indivizilor.....	78
4.2.2. Funcția fitness.....	78
4.2.3. Operatorii genetici în programarea genetică.....	79
4.2.4. Etapele programării genetice.....	80
4.3. EXEMPLE DE APLICAȚII DE PROGRAMARE GENETICĂ.....	81
4.3.1. Regresie simbolică.....	81
4.3.2. Aproximarea funcțiilor.....	83
4.3.4. Legi de control pentru manevrele aeronavelor.....	83
4.3.5. Proiectarea circuitelor electrice analogice.....	83
4.4. EXTENSII ALE PROGRAMĂRII GENETICE.....	83
4.4.1. Definierea automată a funcțiilor ierahice (ADF – automatic definition of functions).....	83
4.4.2. Programarea genetică cu verificarea tipurilor (Strongly-Typed Genetic Programming STGP).....	85
4.4.3. Programarea genetică cu constante aleatoare (Ephemeral Random Constants ERC).....	86
4.5. CONCLUZII.....	86
CAPITOLUL 5. APLICAȚII ALE ALGORITMILOR GENETICI ÎN SINTEZA SISTEMELOR AUTOMATE.....	88
5.1. PROIECTAREA ȘI IMPLEMENTAREA UNUI ALGORITM GENETIC ÎN MATLAB.....	88
5.1.1. Caracteristicile algoritmului genetic implementat.....	88
5.1.2. Implementarea algoritmului genetic.....	89
5.1.2.1. Generarea populației inițiale.....	89
5.1.2.2. Funcția de iterație.....	91
5.1.2.3. Operatori de selecție.....	91
5.1.2.4. Operatori de încrucișare.....	92
5.1.2.5. Operatori de mutație.....	92
5.1.3. Funcții dependente de aplicație.....	93
5.1.3.1. Funcția pentru lansare în execuție.....	93
5.1.3.2. Funcția de evaluare.....	94
5.1.2.6. Extensibilitatea algoritmului genetic.....	96
5.2. APLICAREA ALGORITMILOR GENETICI PENTRU ACORDAREA OPTIMĂ A REGULATOARELOR.....	96
5.2.1. Aspecte legate de indicatorii de calitate a sistemelor de reglare automată.....	96
5.2.2. Aplicarea algoritmilor genetici pentru acordarea optimă a reglatoarelor în sisteme monovariabile.....	97
5.2.3. Acordarea reglatoarelor lineare de tip PID folosind algoritmi genetici.....	99
5.2.3.1. Studiu de caz nr. 1.....	99
5.2.3.2. Studiu de caz nr. 2.....	103

5.2.4. Acordarea reguletoarelor lineare de tip PI pentru procese cu timp mort folosind algoritmi genetici.....	105
5.2.4.1. Studiul de caz nr. 3.....	106
5.2.4.2. Studiu de caz nr. 4.....	109
5.3. APLICAREA ALGORITMILOR GENETICI PENTRU ÎMBUNĂȚĂȚIREA PERFORMANȚELOR SISTEMELOR AUTOMATE.....	118
5.3.1. Studiu de caz nr. 5.....	118
5.3.1.1. Problema inițială de conducere.....	118
5.3.1.2. Sinteza regulatorului interpolator.....	119
5.3.1.3. Sinteza regulatorului interpolator folosind algoritmi genetici.....	121
5.3.1.3.1. Metoda I.....	121
5.3.1.3.2. Metoda II.....	127
5.4. CONCLUZII.....	129
CAPITOLUL 6. APLICAREA ALGORITMILOR GENETICI PENTRU IDENTIFICAREA SISTEMELOR.....	132
6.1. PRINCIPILE ȘI METODELE FOLOSITE PENTRU IDENTIFICAREA SISTEMELOR.....	132
6.2. METODE EXPERIMENTALE DE IDENTIFICARE A SISTEMELOR.....	133
6.3. APLICAREA ALGORITMILOR GENETICI ÎN IDENTIFICAREA SISTEMELOR.....	135
6.3.1. Metode folosite în aplicarea algoritmilor genetici în identificarea sistemelor.....	135
6.3.1.1. Folosirea unor modele matematice ale sistemului.....	135
6.3.1.2. Folosirea unor programe de modelare.....	136
6.3.1.3. Folosirea transformatei Fourier.....	136
6.3.1.4. Combinarea algoritmilor genetici cu alte metode de modelare sau estimare.....	137
6.3.2. Aplicarea algoritmilor genetici pentru estimarea parametrilor modelelor sistemelor în timp continuu.....	137
6.3.2.1. Implementarea metodei propuse prin simulare.....	137
6.3.2.2. Implementarea metodei propuse în procese reale.....	141
6.3.2.3. Posibilități de extensie a metodei propuse pentru identificarea sistemelor cu structură necunoscută.....	143
6.3.2. Studiu de caz nr. 6.....	143
6.4. CONCLUZII.....	146
CAPITOLUL 7. APLICAȚII DE PROGRAMARE GENETICĂ.....	147
7.1. IMPLEMENTAREA UNUI SISTEM DE PROGRAMARE GENETICĂ FOLOSIND TOOLBOXUL SYMBOLIC MATH ÎN MATLAB.....	147
7.1.1. Principalele caracteristici ale toolboxului <i>Symbolic Math</i>	147
7.1.2. Implementarea sistemului de programare genetică.....	148
7.1.2.1. Reprezentarea datelor.....	148
7.1.2.2. Generarea populației inițiale.....	149
7.1.2.3. Operatorul de încrucișare.....	150
7.1.2.4. Operatorul de mutație.....	152
7.1.2.5. Generalizarea reprezentării expresiilor.....	154
7.1.2.5. Operatorul de selecție.....	155
7.1.2.6. Evaluarea indivizilor.....	155
7.1.2.7. Posibilități de extensie pentru sistemul de programare genetică simbolică implementat.....	156
7.2. STUDIU DE CAZ NR. 7.....	156

7.2.1. Definierea mulțimii de simboluri	156
7.2.2. Algoritmul genetic	157
7.2.3. Funcția de evaluare	158
7.3. CONCLUZII	159
CAPITOLUL 8. APLICAȚII ALE ALGORITMILOR GENETICI ÎN ELECTROMAGNETISM	161
8.1. ALGORITMI GENETICI APLICAȚI ÎN PROIECTAREA SISTEMELOR ELECTROMAGNETICE	161
8.1.1. Aplicații ale algoritmilor genetici în proiectarea dispozitivelor magneto- statice și în probleme electromagnetice inverse	162
8.1.2. Aplicații ale algoritmilor genetici în sinteza dispozitivelor optice	162
8.1.3. Aplicații ale algoritmilor genetici în proiectarea unor circuite absorbante pentru microunde	164
8.1.4. Aplicații ale algoritmilor genetici în proiectarea antenelor	165
8.2. STUDIU DE CAZ NR. 8	165
8.2.1. Sisteme de încălzire în flux magnetic transversal	166
8.2.2. Problema de optimizare	166
8.2.3. Stabilirea funcției obiectiv	166
8.3. CONCLUZII	169
CAPITOLUL 9. CONCLUZII ȘI CONTRIBUȚII ORIGINALE	171
9.1. CONTRIBUȚII ORIGINALE	171
9.2. POSIBILITĂȚI DE CERCETARE VIITOARE	173
ANEXA A	175
A.1. ALGORITMUL PAES	175
A.2. ALGORITMUL SPEA	177
A.3. ASPECTE LEGATE DE INDICATORII DE CALITATE DEFINIȚI ÎN RĂSPUNSUL INDICIAL AL SISTEMELOR DE REGLARE AUTOMATĂ ÎN RAPORT CU MĂRIMEA DE CONDUCERE	182
A.3.1. Indicatori de calitate definiți pe baza răspunsului indicial	182
A.3.2. Indicatori de calitate integrali	184
A.4. APROFUNDAREA STUDIULUI DE CAZ NR. 1	187
A.4.1. Studiu de caz nr. 1.1	187
A.4.2. Studiu de caz nr. 1.2	188
A.5. APROFUNDAREA STUDIULUI DE CAZ NR. 2	190
A.5.1. Studiu de caz nr. 2.1	190
A.5.2. Studiu de caz nr. 2.2	192
A.6. APROFUNDAREA STUDIULUI DE CAZ NR. 3	193
A.6.1. Studiu de caz nr. 3.1	193
A.6.2. Studiu de caz nr. 3.2	194
A.7. APROFUNDAREA STUDIULUI DE CAZ NR. 4	195
A.7.1. Studiu de caz nr. 4.1	195
A.7.2. Studiu de caz nr. 4.2	195
A.7.3. Studiu de caz nr. 4.3	197
ANEXA B	199
B.1. MODELE SIMULINK	199
ANEXA C	208
C.1. EXTENSII PENTRU ALGORITMI FOLOSIȚI ÎN PROGRAMAREA GENETICĂ SIMBOLICĂ PENTRU FOLOSIREA PARANTEZELOR ȘI A EXPRESIILOR COMPLEXE	208
BIBLIOGRAFIE	212

INDEX218

ABREVIERI

ADF	Definire automată de funcții - Automatic definition of functions
EA	Algoritmi evoluționari - Evolutionary Algorithms
ERC	Constante aleatoare - Ephemeral Random Constants
ITAE	Integrala absolută a erorii - Integral of time multiplied by absolute error
MOGA	Algoritmul genetic multiobiectiv MOGA - Multiple Objective Genetic Algorithm
MOGP	Programare genetică multiobiectiv - Multiple Objective Genetic Programming
NP	Probleme care nu se pot rezolva în timp polinomial
NPGA	Algoritmul genetic Pareto cu nișe - Niche Pareto Genetic Algorithm
NSGA	Algoritmul genetic sortat nedominat - Non-Dominated Sorting Genetic Algorithm
PAES	Algoritmul evolutiv PAES - The Pareto Archived Evolution Strategy
SA	Metoda de optimizare Simulated Annealing
SPEA	Algoritmul evolutiv SPEA - Strength Pareto Evolutionary Algorithm
VEGA	Algoritmul genetic cu evaluare de vectori - Vector Evaluated Genetic Algorithm

INTRODUCERE

Pe măsura creșterii capacității de prelucrare a tehnicii de calcul, în analiza și sinteza sistemelor se folosesc tot mai mult procedee de modelare, simulare și optimizare.

Algoritmii genetici fac parte din categoria algoritmilor de optimizare stohastici inspirați din teoria evoluționistă darwiniană. Ei simulează procesul de evoluție din natură prin folosirea unei populații de soluții asupra căreia se aplică operatori genetici: încrucișarea, mutația și selecția bazată pe calitatea fiecărei soluții în raport cu problema de optimizat.

Algoritmii genetici au fost dezvoltați de John Holland și studenții de la Universitatea din Michigan. Cartea lui fundamentală intitulată "Adaptarea în sistemele naturale și artificiale" (1975) prezintă felul în care se pot simula în sistemele artificiale procesele de evoluție din natură.

Algoritmii genetici au fost aplicați în numeroase probleme de căutare, optimizare și învățare automată. Popularitatea lor este din ce în ce mai mare, deoarece ei pot rezolva probleme dificile din diferite domenii ale ingineriei.

Această teză își propune să exploreze potențialul algoritmilor genetici de rezolvare a unor probleme în domeniul ingineriei, în scopul perfecționării metodelor de sinteză a sistemelor prin folosirea unor tehnici de simulare și optimizare moderne.

În teză se folosesc mijloace de modelare și simulare dintre cele mai moderne, care funcționează în mod dinamic împreună cu algoritmii genetici.

Teza este structurată în 9 capitole, dintre care primul încadrează algoritmii genetici în categoria metodelor stohastice de optimizare globală.

Capitolul 2 este destinat noțiunilor fundamentale legate de algoritmii genetici, principiul general de funcționare, terminologia folosită, operatorii genetici, fundamentele matematice, pe baza unor referințe bibliografice dintre cele mai recente.

Capitolul 3 abordează modul în care se rezolvă problemele de optimizare multiobiectiv și se tratează restricțiile folosind algoritmi genetici. Acest capitol prezintă concepte de bază în optimizarea multiobiectiv, noțiuni legate de optimizarea Pareto și cele mai noi metode de rezolvare a problemelor din această categorie.

Capitolul 4 se referă la programarea genetică, care este o extensie recentă a algoritmilor genetici, în care indivizii populației sunt programe ale calculatoarelor. Programarea genetică este mai complexă deoarece codează indivizi cu lungime variabilă, iar în etapa de evaluare stabilește performanța relativă a indivizilor folosind o funcție fitness bazată pe evaluarea execuției fiecărui program.

Capitolul 5 tratează modalitățile de sinteză și îmbunătățire a performanțelor sistemelor automate prin simulare și optimizare, folosind algoritmi genetici. La începutul capitolului se prezintă un algoritm genetic implementat în MATLAB, care este un instrument software folosit în studiile de caz abordate. În continuare, acest capitol se referă la aplicarea algoritmilor genetici pentru acordarea optimă a reguletoarelor lineare de tip PID și PI folosind algoritmi genetici și se propune o nouă metodă de stabilire a funcției Fitness folosind curbele de răspuns ale sistemelor la anumite semnale de intrare. Metoda propusă este analizată în 4 studii de caz.

Capitolul 6 expune felul în care se abordează problema de identificare a sistemelor în literatură, folosind algoritmi genetici, și prezintă o metodă originală pentru estimarea parametrilor sistemelor în timp continuu.

În capitolul 7 se prezintă un sistem de programare genetică simbolică implementat de autoare. Acesta are la bază toolboxul Symbolic Math din MATLAB și folosește o nouă codare a indivizilor și o nouă metodă de evaluare a expresiilor. În același capitol se definesc 3 algoritmi noi pentru generarea populației inițiale, un operator de încrucișare și un operator de mutație. Sistemul de programare genetică este folosit într-un studiu de caz care se referă la descoperirea automată a formulei de calcul a inversei unei matrice pătratică de ordinul II.

Capitolul 8 conține abordările cunoscute din literatură a problemelor de optimizare în electromagnetism folosind algoritmi genetici, și un studiu de caz referitor la optimizarea unui sistem de încălzire în flux magnetic transversal. Acest capitol subliniază posibilitatea aplicării algoritmilor genetici și în alte domenii ale ingineriei.

În capitolul 9 se prezintă concluziile și contribuțiile originale, articolele științifice cu care autoarea a participat la conferințe internaționale organizate în țară și în străinătate care se referă la conținutul acestei teze, precum și o trecere în revistă a unor posibilități de cercetare viitoare.

Prin structura adoptată, scopul tezei este realizat în totalitate, deoarece ea expune cunoștințe teoretice aprofundate referitoare la algoritmi genetici, optimizare multiobiectiv, programare genetică și demonstrează prin numeroase studii de caz capacitatea algoritmilor genetici de rezolvare a unor probleme din inginerie.

Literatura de specialitate în domeniu, este alcătuită din câteva cărți de bază începând cu lucrarea lui Goldberg, și dintr-un număr impresionant de articole, foarte multe disponibile pe Internet. În limba română, principala lucrare se datorează colectivului de la Politehnica din București: I. Dumitrache și C. Buiu. Documentarea autoarei s-a bazat în afara cărților și articolelor, pe documentația extrem de bogată existentă pe Internet. Cercetători și pasionați prezintă lucrări, rezultate și medii de programare în regim free care îndeamnă și dă curaj celor ce vor să se inițieze sau să aprofundeze problematica algoritmilor genetici.

Ca formă de prezentare, autoarea a optat pentru sublinierea concluziilor și contribuțiilor la încheierea fiecărui capitol, fapt ce i-a permis să se refere mai pe larg la volumul de informații, muncă și rezultate structurat în anexe. În capitolul final se face o sinteză sumară într-o viziune globală a principalelor contribuții.

Mulțumiri.

Mulțumesc domnului profesor dr. ing. Toma Leonida Dragomir, care mi-a fost dascăl în anii studenției și îndrumătorul științific al tezei mele de doctorat, care a avut suficientă răbdare, înțelegere și încredere în mine, dar a fost ferm și imperturbabil, fără să mă menajeze în privința rigurozității științifice și profesionale. De la domnia sa am învățat pe lângă știința pe care am putut s-o acumulez și lecții de viață și modele de comportament.

Îmi exprim gratitudinea mea tuturor domnilor profesori care au acceptat să fie referenții acestei lucrări și pentru onoarea care mi-au acordat-o de a accepta să fie membri acestei comisii de examen.

Îmi exprim mulțumirile tuturor colegilor pentru suportul moral și tehnic.

Mulțumesc familiei care a fost alături de mine de-a lungul urcușurilor și coborâșurilor care au condus spre această teză.

Iulie 2003, Timișoara

ing. Ecaterina Emilia Vladu

CAPITOLUL 1. OPTIMIZARE GLOBALĂ

1.1. Definiții. Caracteristici.

Tehnologiile moderne, asigură problemelor de optimizare un loc primordial în cadrul ingineriei.

În sens larg, prin optimizare se înțelege acțiunea de stabilire a celei mai bune decizii, pe baza unui criteriu prestabilit, într-o situație dată, pentru care sunt posibile mai multe decizii, precum și acțiunea de implementare a celei mai bune decizii împreună cu rezultatul ei.

În sens restrâns, prin optimizare vom înțelege stabilirea celei mai bune decizii (sau soluții), numită decizie optimală (sau soluție optimală).

Optimizarea tratează probleme de minimizare sau maximizare ale funcțiilor cu una sau mai multe variabile, de obicei în raport cu restricții de tip egalitate sau / și inegalitate.[Cal 9]

Enunțul unei probleme de optimizare trebuie să conțină un model al mediului la care se referă situația dată și criteriul de optimizare, iar rezolvarea unei probleme de optimizare presupune disponibilitatea unei metode de optimizare.

În cazul general, o problemă de optimizare poate avea mai multe optime locale, care diferă de optimul global. Dacă optimizarea își propune să găsească optimele locale, ea se numește optimizare locală. Optimizarea care își propune să găsească optimul global se numește optimizare globală.

Toate metodele de optimizare locală pot stabili cel mult un extrem local și nu dispun de un criteriu care ar putea decide dacă optimul local este totodată și o soluție globală. Din acest motiv, metodele convenționale care fac uz de derivate și gradienti, nu sunt capabile în general să găsească optimul global.

O metodă de căutare a optimului global trebuie să ia în considerare următoarele aspecte:

- găsirea rezultatului global cel mai bun;
- identificarea rezultatului global cel mai bun;
- evaluarea timpului cât durează găsirea rezultatului global cel mai bun.

Rezultate teoretice despre convergență arată că de multe ori numărul iterațiilor folosite de metodele de optimizare crește, fără să existe însă certitudinea că se va ajunge la soluție. Datorită acestei dificultăți, în multe implementări, metoda de optimizare se execută un interval de timp prestabilit și acceptă ca rezultat cea mai bună valoare găsită în acest timp, sau consideră ca țintă o valoare apriorică, care poate fi atinsă, valoare aleasă pe baza unei familiarizări anterioare cu problema și se oprește la atingerea acestei valori.

O posibilitate de rezolvare a problemelor de optimizare globală ar fi folosirea metodelor exacte, dar acestea se pot aplica doar pentru unele tipuri de probleme de optimizare.[Kin 94]

O altă posibilitate este folosirea unor euristici, cum sunt metodele destinate de exemplu unei clase particulare de probleme, prin folosirea unor cunoștințe apriorice despre acestea. Inconvenientul acestei abordări constă în imposibilitatea garantării optimului. Totuși, în cele mai multe aplicații, este suficientă găsirea unei soluții bune, chiar dacă nu se poate garanta că aceasta e cea mai bună. Din acest motiv, euristicele sunt folosite într-un număr considerabil

de probleme de optimizare globală încadrabile ca metode cvasi-optimale care conduc la sisteme suboptimale. [Cal 79]

Formularea problemei de optimizare globală

Definiție: Fie X spațiul de căutare (în care iau valori variabilele de decizie), $f : X_f \rightarrow R$, o funcție obiectiv și $g_i : X \rightarrow R, i \in \{1, 2, \dots, q\}$ o mulțime de funcții care exprimă restricții pentru spațiul de căutare, unde X_f este o submulțime a lui X . Problema de optimizare globală constă în a determina $\max f(x)$ astfel încât $g_i(x) \geq 0, \forall i \in \{1, 2, \dots, q\}, x \in X$. [Gen 97]

Terminologie:

- Submulțimea $X_f = \{x \mid g_i(x) \geq 0 \forall i \in \{1, 2, \dots, q\}\}$ se numește regiune admisibilă.
- Valoarea $f^* := f(x^*) < \infty$ se numește maxim global dacă: $\forall x \in X_f : f(x^*) \geq f(x)$, iar $x^* \in X_f$ se numește punct de maxim global.
- Într-un punct $x \in X_f$, o restricție g_i se numește:
 - satisfăcută dacă $g_i(x) \geq 0$
 - activă dacă $g_i(x) = 0$
 - inactivă dacă $g_i(x) > 0$
 - violată dacă $g_i(x) < 0$

Trebuie subliniat că, deși problema de optimizare a fost definită ca o operație de maximizare, ea se poate formula analog și ca o operație de minimizare.

De cele mai multe ori, spațiul de căutare este spațiul Euclidian, astfel încât $X \subset R^d$, dar există și probleme de optimizare în care spațiul de căutare este diferit de cel Euclidian.

Calitatea metodelor de optimizare se poate aprecia pe baza următoarelor caracteristici: [Gol 89]

Acuratețe. Acuratețea descrie diferența dintre soluția optimă și soluția obținută de metoda de optimizare. În ceea ce privește această caracteristică, metodele de optimizare globală împart în două categorii: metode exacte și metode euristice. Metodele exacte garantează găsirea soluției optime, dar cu prețul unui efort de calcul deosebit de mare și pot fi aplicate unei categorii limitate de probleme. Pe de altă parte, metodele euristice găsesc numai soluții aproape optime și de cele mai multe ori nu dispun de informații despre acuratețea soluției găsite.

Complexitate. Complexitatea unei metode de optimizare (sau a unui algoritm în general) depinde de numărul operațiilor elementare executate în raport cu cantitatea de informație de la intrare, octeți ¹⁾, informație necesară pentru specificarea problemei. În cele mai multe cazuri, complexitatea se măsoară în cazul cel mai defavorabil. Din acest motiv,

¹⁾ În general, un algoritm execută repetitiv o mulțime de operații elementare asupra informației de la intrare, de exemplu adunări, înmulțiri, scrieri în memorie etc. De obicei se ia în considerare numărul n de astfel de operații efectuate asupra unei unități u de informație de la intrare, care poate fi de exemplu un octet. În cazul în care algoritmul are la intrare un multiplu de k unități de informație, numărul operațiilor elementare poate să crească la $n \cdot k, n \cdot k^2, k^n$, etc. Complexitatea algoritmului depinde de modul în care crește numărul acestor operații elementare)

problemele NP -complete²⁾ nu au un timp de calcul exponențial, în vreme ce metodele euristice au un timp de calcul polinomial și permit abordarea unor probleme mai complexe.

Necesar de memorie. Cantitatea de memorie folosită de metoda de optimizare globală este un aspect important prin faptul că poate limita aplicabilitatea algoritmului. Similar cu măsura complexității, de obicei, pentru a aprecia calitatea metodei de optimizare se folosește necesarul de memorie pentru cazul cel mai defavorabil.

Folosirea unor informații apriorice. Este evident faptul că o metodă care folosește mai multe informații apriorice despre problema de optimizat este mai performantă decât o metodă care folosește informații mai puține. Metoda de optimizare trebuie să cunoască cel puțin valoarea funcției obiectiv $f(x)$ pentru $\forall x \in X_f$, dar poate folosi și informații adiționale pentru a reduce spațiul de căutare.

Echilibru între căutare globală și rafinarea căutării locale. Deoarece optimul global se poate afla oriunde în spațiul de căutare, punctele de căutare trebuie uniform distribuite în întreg spațiul de căutare. De asemenea, se poate presupune că șansa de a găsi un alt punct bun în vecinătatea unui punct bun este mai mare decât în vecinătatea unui punct mai puțin bun. Această presupunere este îndeplinită cu certitudine doar în cazurile în care f este o funcție continuă, astfel încât ea se poate folosi doar în cazuri particulare. Totuși, cele mai multe metode de optimizare folosesc o astfel de presupunere, ceea ce implică o strategie de focalizare a căutării în anumite regiuni particulare ale spațiului de căutare, adică o rafinare a căutării. Cele mai multe din metodele de optimizare globală includ atât căutarea globală cât și rafinarea spațiului de căutare.[Cal 79]

1.2. Metode stohastice de optimizare globală

În continuare se vor prezenta câteva metode stohastice de optimizare globală, din categoria celor care nu impun restricții asupra spațiului de căutare și nu folosesc derivate sau gradienti.

Metodele stohastice încep căutarea într-un punct arbitrar al spațiului de căutare, folosesc unele decizii aleatoare pentru obținerea unui nou punct, pe care îl acceptă sau nu ca un nou punct de căutare folosind decizii aleatoare. Astfel, punctele explorate determină un drum sau o cale în spațiul de căutare.

1.2.1. Metoda de optimizare Monte Carlo

Dată fiind natura indirectă a căutării globale, este evident că o căutare aleatoare sau parțial aleatoare poate avea într-o oarecare măsură succes.

Algoritmul Monte Carlo generează punctele în spațiul de căutare în mod aleator, cu o anumită distribuție P a probabilității și reține cel mai bun punct găsit pe parcursul căutării. Astfel, metoda implementează o căutare neinformată și nu folosește rafinarea spațiului de căutare. [And 01]

Algoritmul 1.1. Optimizare Monte Carlo

Intrări Funcția obiectiv $f : X \rightarrow R$

Distribuția de probabilitate P

Ieșire $x \in X$ și valoarea maximă găsită pe parcursul căutării.

begin

$i = 0$

$x = \text{punct_aleator}(X, P)$

²⁾ Sunt probleme care nu se pot rezolva în timp polinomial.

```

while (i < Numar_maxim_de_iteratii) do
  x' = punct_aleator(X, P)
  if (f(x') > f(x))
    x = x'
  endif
  i = i+1
endwhile
return x

```

Dezavantajul major al acestei metode de căutare este folosirea unei distribuții de probabilitate fixe. În plus, algoritmul nu poate face pași înapoi, astfel încât el poate găsi deseori doar un minim local.

1.2.2. Metoda de optimizare Hill Climbing (căutarea de tip ascensiune)

Metoda Hill Climbing este asemănătoare cu metoda Monte Carlo, dar ea alege noul punct de căutare folosind o funcție de vecinătăți V , ori un operator de mutație. Astfel, algoritmul explorează doar acea regiune din spațiul de căutare care este accesibilă folosind funcția de vecinătăți, cu o probabilitate ce depinde de modul de implementare a acesteia. [Win 81]

Algoritmul 1.2. Optimizare Hill Climbing

```

Intrări   Funcția obiectiv  $f : X \rightarrow R$ 
           Punct de start  $x_0$ 
           Funcția de vecinătăți  $V$ 
Ieșire    $x \in X$  și valoarea maximă găsită pe parcursul căutării.
begin
  i = 0
  x = x0
  while (i < Numar_maxim_de_iteratii) do
    alege  $x' \in V(X)$ 
    if (f(x') > f(x))
      x = x'
    endif
    i = i+1
  endwhile
return x

```

1.2.3. Metoda de optimizare Simulated Annealing SA (călirea simulată)

Pentru a evita situațiile în care algoritmi de optimizare converg spre optime locale, ocazional se poate face un pas mare într-o direcție aleatoare. Mărimea acestui pas se reduce pe măsură ce algoritmul progresează. Călirea este un termen industrial, iar pasul descrescător corespunde unei reduceri de temperatură într-un proces industrial.

Parametrul care modelează reducerea pașilor este numit temperatură. Reducerea efectivă a acesteia se face folosind un parametru α , ($0 \leq \alpha \leq 1$) care multiplică temperatura curentă la începutul fiecărei iterații, până la atingerea unei temperaturi de echilibru.

Algoritmul începe căutarea într-un punct inițial x_0 , numit configurație inițială și la o temperatură dată T_0 . Temperatura scade pe măsură ce algoritmul progresează, până la atingerea criteriului de oprire. În fiecare pas se alege un nou punct de căutare într-o vecinătate a punctului curent, folosind o funcție de vecinătăți V .

Algoritmul acceptă sau respinge acest nou punct, folosind pentru decizie două elemente:

variația $\Delta f = f(x') - f(x)$ a funcției obiectiv

o probabilitate $e^{-\frac{\Delta f}{T}}$

Dacă pentru noul punct se obține o creștere a valorii funcției obiectiv, adică $\Delta f > 0$, punctul respectiv se acceptă cu probabilitatea 1. Altfel, punctul se acceptă cu probabilitatea $e^{-\frac{\Delta f}{T}}$.

Deoarece temperatura T scade pe măsură ce algoritmul progresează, în etape mai avansate ale algoritmului, probabilitatea de acceptare a unui punct care conduce la o reducere a valorii funcției obiectiv este mai mică.

Algoritmul 1.3. [Dum 95]: Optimizare prin metoda călire simulată (Simulated Annealing SA)

Intrări Funcția obiectiv $f : X \rightarrow R$
Punct de start x_0
Temperatura inițială T_0
Funcția de vecinătăți V
Criteriu de oprire $stop \rightarrow \{true, false\}$

Ieșire $x \in X$ și valoarea maximă găsită pe parcursul căutării.

```

begin
  T = T0
  x = x0
  while (stop ≠ true) do
    while not echilibru do
      alege x' ∈ V(X)
      if (f(x') > f(x)) or e $\frac{f(x) - f(x')}{T}$  > random[0,1]
        x = x'
      endif
    endwhile
    T = α T ; reduce temperatura prin călire, 0 < α < 1
  endwhile
return x

```

unde random[0,1] este un număr aleator în intervalul [0,1], iar echilibru semnifică faptul că temperatura T atinge o valoare specificată aprioric.

Algoritmul SA este puternic dependent de modul de reprezentare al problemei și în multe cazuri obține rezultate foarte bune.

Proprietățile dorite ale unui algoritm de genul SA sunt:

- Convergență asimptotică, adică algoritmul converge spre soluția optimă pe măsură ce numărul de iterații tinde la infinit.
- Pentru o mulțime de parametri dați (temperatură inițială, număr maxim de încercări pentru o modificare, număr maxim de modificări admise) algoritmul converge spre soluția optimă.

Deoarece nu putem permite creșterea la infinit a numărului de iterații, algoritmul se modifică prin ajustarea parametrilor în scopul obținerii convergenței într-un număr prestabilit de iterații. Astfel se obțin variante de algoritmi de călire simulată.

1.3 Algoritmi de evoluție

Algoritmii de evoluție (Evolutionary Algorithms EA) sunt inspirați din procesul de evoluție din natură și folosesc aceeași terminologie.

Primele variante de algoritmi de evoluție s-au supus și ei procesului de evoluție și adaptare și evident evoluția lor continuă. Forța motrice în evoluția lor o constituie numărul din ce în ce mai mare al aplicațiilor, precum și abilitatea lor de a rezolva probleme din ce în ce mai dificile în optimizare, căutare, învățare automată și din alte domenii.

Algoritmi de evoluție care modelau procese de evoluție din natură au fost propuși deja în anii 1950. La începutul anilor 60, Hans J. Bremerman de la Universitatea din California a stabilit o metodă de încrucișare, în care caracteristicile șirului descendent erau determinate de însumarea genelor corespunzătoare în cei doi părinți.

Strategiile de evoluție au fost dezvoltate apoi de Rechenberg (1973) și Schwefel (1981), sub forma unor algoritmi dirijați în principal de mutație și selecție. [Dum 00]

Programarea evoluționistă este în multe privințe similară cu strategiile de evoluție. Ea a fost dezvoltată independent și pornește de la presupunerea că se optimizează comportamentul (nivelul de fenotip) și nu codul genetic. Ideea este de a reprezenta indivizii sub forma unei mașini cu un număr finit de stări capabile să răspundă la stimulii de la mediu și de a folosi operatori care efectuează schimbări structurale și de comportament pe măsură ce algoritmul progresează.

Caracteristicile specifice ale algoritmilor de evoluție sunt:

- menținerea unei populații de soluții potențiale, formată din indivizi care se evaluează în raport cu o funcție fitness (fitness function);
- folosirea unor operatori genetici, în principal selecție și mutație.

Operatorul de selecție ghidează căutarea spre regiuni mai bune ale spațiului de căutare, atribuind o probabilitate mai mare de propagare în următoarea generație pentru indivizii mai performanți.

Operatorul de mutație crează puncte noi în spațiul de căutare, iar operatorul de încrucișare combină informația provenită de la doi sau mai mulți indivizi în mod aleator.

După inițializarea aleatoare a populației, algoritmul folosește generații repetate. La fiecare generație, se calculează funcția fitness, care se memorează într-un vector $\vec{\phi} = (\phi_1, \dots, \phi_N)$, unde N este mărimea populației.

În continuare se aplică operatorii de selecție și mutație pentru a obține o nouă populație, care reprezintă generația următoare.

Algoritmii de evoluție combină trăsăturile unor metode de optimizare globală cu rafinarea căutării. Astfel, la începutul căutării, populația este uniform distribuită în spațiul de căutare, iar pe măsură ce algoritmul avansează, populația se aglomerează în câteva regiuni (sau o regiune) în care soluțiile sunt mai promițătoare. [Gre 89]

Algoritmul 1.4. Algoritmul de evoluție de bază

Intrări Valoarea funcției fitness F
Operator de selecție

Mărimea populației N
 Operator de mutație
 Criteriu de oprire $stop \in \{true, false\}$
Ieșire Cel mai bun individ găsit pe parcursul căutării
 begin
 $stop = false$
 $k = 1$
 $P(0) = \text{populatia_initiala}$
 while ($stop \neq true$) do
 for $i = 1$ to N do
 $\phi_i(k) = F(x_i(k))$
 endfor
 $P'(k) = \text{selectie}(P(k), \vec{\phi})$
 $P(k + 1) = \text{mutatie}(P'(k))$
 $k = k + 1$
 endwhile
 return cel mai bun individ din $P(k)$

Diferitele variante de algoritmi de evoluție diferă prin tipurile de date folosite pentru codarea indivizilor, precum și prin operatorii genetici folosiți și modul de implementare al acestora. Algoritmii genetici sunt o variantă de algoritmi de evoluție.

1.4 Concluzii

Algoritmii de evoluție sunt metode de căutare stohastice aplicabile într-o gamă largă de probleme de învățare automată și optimizare globală. Algoritmii propriu-ziși nu necesită cunoștințe precise despre problema abordată, nu impun restricții asupra spațiului de căutare, nu folosesc derivate sau gradienti și fac parte din categoria algoritmilor de căutare neinformată din inteligența artificială.

Algoritmii de evoluție se bazează pe o populație de indivizi, între care are loc un schimb de informație prin folosirea unor operatori genetici cum sunt selecția, încrucișarea și mutația, iar algoritmii genetici fac parte din categoria algoritmilor de evoluție.

CAPITOLUL 2. ALGORITMI GENETICI

2.1. Algoritmi genetici

2.1.1. Algoritmi genetici. Principii generale.

Algoritmii genetici sunt metode de căutare a soluțiilor unei probleme complexe. Ei se bazează pe mecanismul geneticii și selecției naturale, combinând supraviețuirea artificială a celui mai performant individ cu operatori genetici abstractizați din natură pentru a forma un mecanism de căutare care se poate utiliza într-o varietate de probleme: optimizare, învățare automată, rezolvarea unor probleme de proiectare. [Fir 02]

Un algoritm genetic funcționează prin modificarea repetitivă a unei populații de structuri artificiale prin aplicarea operatorilor genetici. Ei nu necesită informații de gradient și nici informații precise despre problema de rezolvat. [Jon 75]

Algoritmii genetici realizează o căutare multidirecțională prin păstrarea, la fiecare moment de timp t , a unei populații de soluții potențiale (canditate) numită *generație*. Populația suferă o evoluție simulată: la fiecare generație, se reproduc soluțiile bune și mor soluțiile necorespunzătoare.

Prin analogie cu evoluția naturală, soluțiile candidate se numesc indivizi, iar mulțimea soluțiilor candidate se numește populație. Un individ codează parametri problemei de rezolvat.

Fără a pierde din generalitate, putem presupune că indivizii sunt reprezentați sub formă vectorială (se pot folosi la fel de bine și alte structuri de date). Mulțimea tuturor vectorilor posibili formează spațiul indivizilor care va fi notat în continuare cu I . Populația este o mulțime de vectori $\{i\} \subset I$.

Pentru a evalua calitatea soluțiilor în raport cu problema de optimizat, se folosește o funcție scalară care pune în corespondență fiecare individ din populație cu un număr real, fiind definită pe mulțimea indivizilor I și cu valori în \mathbb{R} . Această funcție care are rolul mediului, favorizând indivizii mai performanți, se numește funcție fitness. În contextual maximizării implicite a funcției fitness prin aplicarea algoritmilor genetici, aceasta are semnificația de “măsură a calității în spațiul de căutare”.

Pentru reprezentarea indivizilor din populație se folosește în general o metodă de codare. Din acest motiv, înainte de calculul funcției obiectiv, individul trebuie decodat. Pentru un individ $i \in I$, algoritmul de decodare este reprezentat de o funcție m care produce vectorul de decizie $x = m(i)$. Situația este ilustrată în figura 2.1. Corespunzător problemei de optimizare care trebuie rezolvată evaluarea vectorului de decizie x se face cu ajutorul unei funcții obiectiv f obținând ca rezultat vectorul obiectiv y . Acesta servește pentru a atribui individului i o valoare scalară asociată funcției *fitness*, folosită de către algoritmii genetici - după cum s-a precizat - ca o măsură a performanței pentru individul i .³⁾ Transformarea $fitness = F(y)$, care se aplică asupra vectorului obiectiv pentru obținerea funcției fitness poate asigura, de exemplu, o schimbare de semn în cazul problemelor de minimizare, ori garantează valori pozitive necesare în cazul unor operatori de selecție specifici (de exemplu în cazul scalării funcției fitness), sau poate introduce parametri ajustabili necesari în optimizare (de exemplu coeficienți de ponderare în cazul unui vector obiectiv).

³⁾ Operațiile menționate pot fi private ca niște transformări care pun în corespondență indivizii populației cu variabilele de decizie, precum și funcția fitness cu funcția obiectiv [Man97].

În acest capitol se va aborda numai cazul optimizării cu o singură funcție obiectiv, iar în capitolul 3 se va detalia situația în care optimizarea se face pe baza unui vector obiectiv.

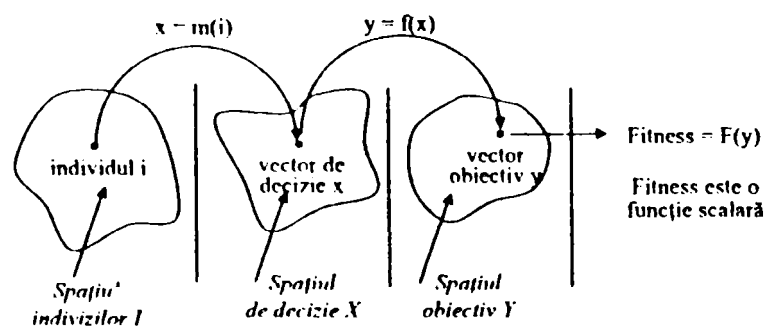


Fig.2.1. Legătura dintre spațiul indivizilor, spațiul de decizie, spațiul obiectiv și funcția fitness

2.1.1.1. Terminologia folosită de algoritmi genetici

În ceea ce privește terminologia folosită, există o corespondență între termenii utilizați în domeniul algoritmilor genetici și cei referitori la sistemele naturale.

Este cunoscut faptul că informația genetică a organismelor superioare este în general memorată ca o secvență de cromozomi în ADN. Similar, în cazul algoritmilor genetici, fiecare soluție potențială a problemei de rezolvat este denumită cromozom (sau individ).

Într-un sistem natural, cromozomii sunt compuși din gene, care pot lua un număr de valori numite alele. În mod asemănător, în algoritmi genetici, un cromozom constă dintr-un număr de subcomponente numite tot *gene*; ele au diferite ranguri și iau valori numite, de asemenea, *alele*.

Cromozomii se pot coda în diferite feluri, în funcție de natura problemei de rezolvat. Se pot folosi, de exemplu, codarea binară, cu șiruri de permutări, cu numere reale ș.a.

- În cazul codării binare, o genă corespunde unui bit, iar o alelă unei valori binare (0 sau 1). Primele variante de algoritmi genetici au folosit această metodă de codare, în care pentru un cromozom s-a utilizat deseori termenul de *șir*.
- În cazul codării cu șiruri de permutări, o genă corespunde cu un număr natural, iar o alelă cu valoarea numărului respectiv.
- În cazul codării cu numere reale, o genă corespunde cu o cifră zecimală, o alelă cu valoarea cifrei respective.

Pentru reprezentarea genelor, primele variante de algoritmi genetici au folosit o codare binară, în care un cromozom este reprezentat sub forma unui set de biți, pentru care s-a utilizat deseori termenul de *șir*. În problemele în care se optimizează ordinea de execuție a unor operații, pentru codare se folosesc șiruri de permutări. Variante mai recente de algoritmi genetici folosesc pentru codarea unui cromozom numere reale, vectori sau alte tipuri de date. [Sys 91]

Tabelul 2.1. Corespondența dintre limbajul natural și terminologia algoritmilor genetici cu codare binară.

Limbaaj natural	Terminologie
cromozom	șir binar
genă	bit
alelă	valoare binară

În Tabelul 2.1 se reprezintă corespondența dintre limbajul natural și terminologia folosită de algoritmi genetici cu codare binară.

În sistemele biologice, la nivelul genotip, printr-un proces de modificare a cromozomilor, se produc toate mecanismele care determină încărcarea genetică a organismului. Cromozomii sunt codati și la acest nivel nu se cunoaște semnificația codurilor și nici efectele informației codate asupra organismului la nivel de fenotip. În acest context se spune că încărcarea genetică totală a unui organism este numită genotip.

În sistemele artificiale, genotipul este structura care se obține în urma operației de codare. La acest nivel, indivizii sunt simple coduri care sunt folosite pentru aplicarea operatorilor genetici, iar semnificația codurilor nu este cunoscută și nu prezintă nici o importanță.

În sistemele biologice, ansamblul însușirilor caracteristice ale unui individ, determinate prin ereditate și condițiile de mediu este numit fenotip. Cu alte cuvinte, fenotipul reprezintă ansamblul caracteristicilor organismului, caracteristici definite prin codarea genetică care a avut loc la nivel de genotip. La nivel de fenotip, sistemul biologic decodează informația deținută de organism la nivelul genotip și interpretează semnificația acestei informații.

În sistemele artificiale, indivizii codati la nivel de genotip se decodează pentru a forma o mulțime particulară de soluții. Această operație pune în corespondență codul unui individ cu semnificația informației care este memorată de acesta și permite evaluarea performanțelor individului respectiv.

Analog, unui genom, care reprezintă totalitatea particularităților ereditare prezente în nucleul celulei (adică grupul cromozomilor), îi corespunde în algoritmi genetici populația de indivizi.

În Figura 2.2 se reprezintă legătura dintre spațiul genotip (care corespunde cu spațiul indivizilor din figura 2.1) și spațiul fenotip (care corespunde cu spațiul de decizie).

- În spațiul genotip un individ este codat, folosind o metodă de codare aleasă de proiectant în funcție de natura problemei de rezolvat. În acest spațiu, un individ se compune din gene și tot în acest spațiu se aplică operatorii genetici.
- În spațiul fenotip, individul este decodat, în scopul evaluării performanțelor sale. În acest spațiu un individ se poate compune din valori reale, din numere care semnifică ordinea efectuării unor operații etc.

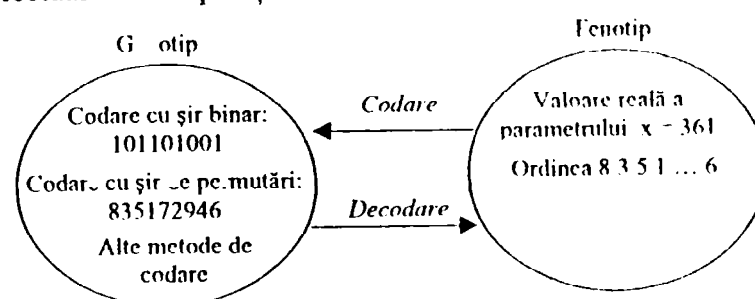


Fig. 2.2. Legătura dintre genotip și fenotip.

2.1.1.2. Principiul de funcționare al algoritmilor genetici

Pentru aplicarea algoritmilor genetici, este necesară definirea următoarelor elemente:

1. O metodă de codare a elementelor populației.

Metoda asociază o structură de date pentru fiecare punct din spațiul de decizie și urmează de obicei unei etape de modelare matematică a problemei tratate. Metoda de codare este puternic dependentă de problemă și influențează în mare măsură rezultatele obținute de algoritmi genetici.

2. *Un mecanism de generare a populației inițiale.* Mecanismul trebuie să fie capabil să producă o populație neomogenă de indivizi care va servi ca bază pentru generațiile următoare. Alegerea populației inițiale este importantă deoarece ea influențează modul în care algoritmi genetici converg spre optimul global.

3. *Una sau mai multe funcții obiectiv de optimizat.*

4. *Relația care va atribui funcției fitness o valoare scalară pe baza funcției obiectiv.*

5. *Operatori care permit diversificarea populației de-a lungul generațiilor și explorarea spațiului de decizie.*

6. *Parametrii algoritmilor genetici:* mărimea populației, numărul total de generații, criteriul de oprire, probabilitatea de aplicare a operatorilor genetici.

Folosind elementele definite mai sus, algoritmi genetici operează într-o manieră iterativă, parcurgând următorii pași:

Generează populația inițială, cu mărimea stabilită și folosind metoda de codare aleasă, care devine generația $t=1$.

Evaluează performanța fiecărui individ pe baza funcției fitness;

Aplică operatorii genetici folosind parametri stabiliți pentru aceștia

Formează generația $t+1$

Repetă pașii 2, 3 și 4 până la îndeplinirea criteriului de oprire

În figura 2.3 se prezintă detaliat principiul prin care se creează generația $t+1$ din generația t .

Populația inițială $P(0)$ se generează aleator. Pentru trecerea de la generația t la generația $t+1$, se aplică cei trei operatori genetici (de selecție, încrucișare și mutație) astfel:

Operatorul de selecție are ca intrare populația $P(t)$ și valorile fitness asociate. Acest operator, produce un număr variabil de copii ale indivizilor din $P(t)$ și formează o populație intermediară $P'(t)$ (mating pool). Selecția modelează supraviețuirea indivizilor mai performanți, prin faptul că ei vor fi copiați de mai multe ori, în defavoarea celor mai puțin performanți.

Membrii populației intermediare $P'(t)$ se împerechează aleator, formând cupluri numite părinți. Asupra cuplurilor formate se aplică operatorul de încrucișare cu probabilitatea de încrucișare P_c . O valoare uzuală pentru probabilitatea încrucișării este $P_c = 0,6$. Ca urmare din populația intermediară este modificată de operatorul de încrucișare doar o parte. Dacă pentru încrucișare este aleasă o pereche formată din doi părinți notați cu I_1 și I_2 , atunci perechea creată prin încrucișare (descendenți) se notează cu D_1 și D_2 . Populația intermediară rezultată în acest caz se notează cu $P''(t)$.

Populația $P''(t)$ se supune în continuare operatorului de mutație. Acesta se aplică asupra unor indivizi notați cu I_3 aleși aleator cu probabilitatea P_m (probabilitatea mutației). Operatorul de mutație, adesea referit ca un operator de fundal, are rolul de creștere a diversității populației. El operează prin alterarea aleatoare a uneia sau a mai multor componente ale individului. După mutație, rezultă descendenți notați cu D_3 [Vla 99]

Populația nouă $P(t+1)$ devine astfel un amestec de indivizi, care pot fi:

- copii fidele ale indivizilor mai performanți din generația t , aleși prin operatorul de selecție;
- indivizi mai performanți din generația t modificați numai de operatorul de încrucișare;
- indivizi mai performanți din generația t modificați numai de operatorul de mutație;
- indivizi mai performanți din generația t modificați atât de operatorul de încrucișare, cât și de cel de mutație;

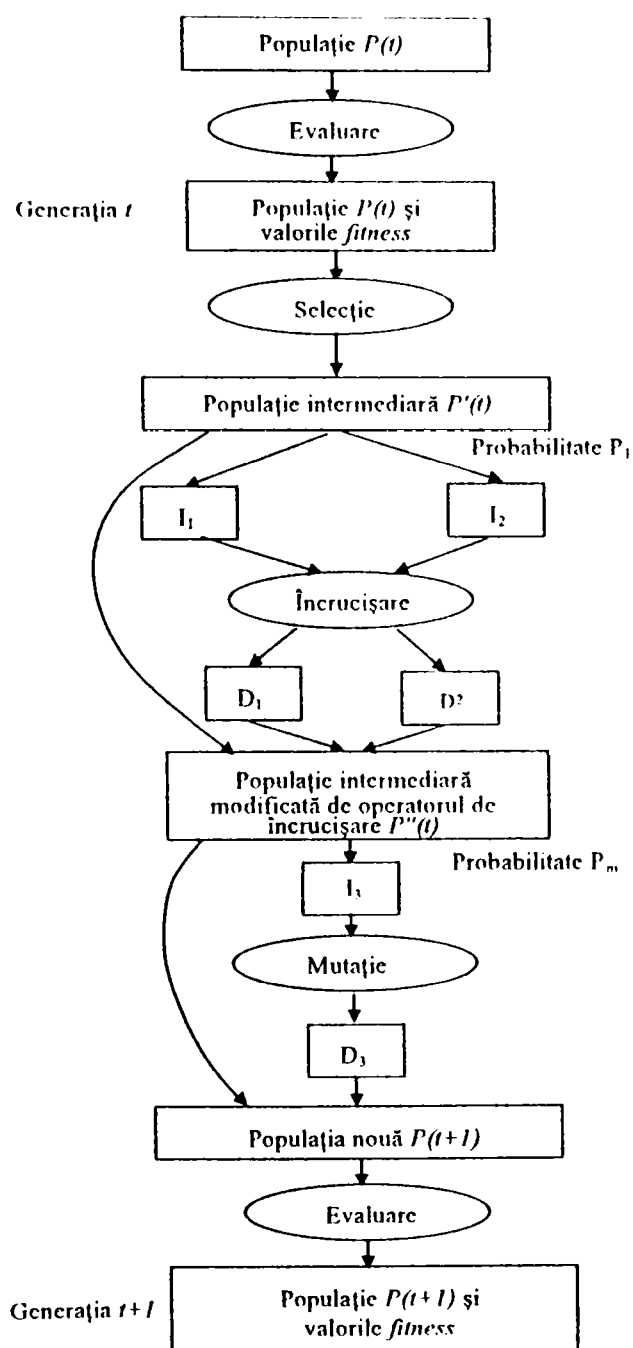


Fig. 2.3. Principiul prin care se creează generația $t+1$ din generația t .

Producerea generației $t+1$ se încheie cu evaluarea populației $P(t+1)$.

Deși în figura 2.3. s-a reprezentat populația intermediară modificată de operatorul de selecție $P'(t)$, această populație există fizic doar pentru unii operatori de selecție. Există însă

și operatori de selecție care implică o ordine de aplicare a operatorilor diferită de reprezentarea din figura 2.3.

De exemplu:

- se aleg doi indivizi din populația $P(t)$ după un criteriu specific operatorului de selecție;
- cei doi indivizi se supun operatorului de încrucișare și mutație (cu probabilitatea P_m), rezultând unul sau doi descendenți;
- descendenții sunt reinserați în populație și individul cel mai puțin performant se înlătură.

Algoritmii genetici funcționează prin aplicarea repetitivă a operatorilor genetici asupra indivizilor din populație. În figura 2.4 se prezintă principiul general de funcționare al acestora.

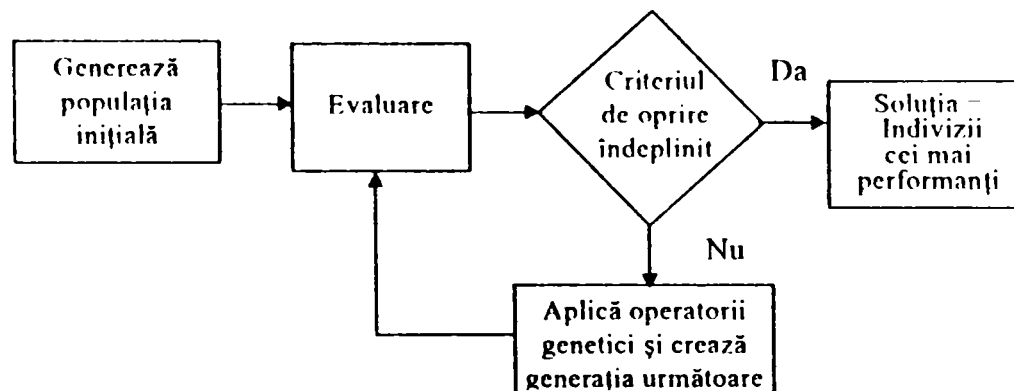


Fig. 2.4. Principiul general de funcționare al algoritmilor genetici.

Populația inițială este de obicei generată aleator, dar ea se poate crea și prin alte metode, pe baza unor cunoștințe apriorice despre problemă.

Etapă de evaluare asociază pentru fiecare individ un număr scalar care este valoarea funcției fitness.

Criteriul de oprire poate fi un număr prespecificat de generații, sau găsirea optimului.

Operatorii genetici se aplică după principiul prezentat în figura 2.3.

Soluția problemei se obține după îndeplinirea criteriului de oprire și ea constă din indivizii cei mai performanți. Astfel, în cazul în care criteriul de oprire este un număr specificat de generații, - care este metoda uzual folosită - algoritmii genetici returnează în final populația din ultima generație. În funcție de natura problemei, pot exista mai mulți indivizi diferiți care au fitnessul maxim, ori valori foarte apropiate de acesta, deci din punctul de vedere al algoritmilor genetici pot exista mai multe soluții, ceea ce este un avantaj. Prin analiza indivizilor din ultima generație, utilizatorul poate alege soluția problemei folosind diferite criterii.

Mai mult decât atât, pe parcursul evoluției, se pot memora indivizii cei mai buni găsiți, populația cu media cea mai bună, astfel încât în final utilizatorul poate alege soluția problemei dintr-o mulțime de soluții potențiale produse de algoritmii genetici.

În cazul în care criteriul de oprire este atingerea fitnessului maxim, algoritmii genetici se opresc imediat ce au găsit o soluție care îndeplinește această condiție și returnează o singură soluție.

2.1.1.3. Situații defavorabile care pot apare pe parcursul evoluției algoritmilor genetici

Deși algoritmi genetici pot rezolva o mare varietate de probleme de căutare, în unele cazuri pot apare situații defavorabile, care determină obținerea unei soluții suboptimale ori stagnarea algoritmului.

Aceste situații se datorează în principal operatorului de selecție, care alege indivizii mai performanți.

Astfel, este posibilă situația în care, în etape timpurii ale algoritmului, pe parcursul evoluției, în populație apare un individ mult mai performant în raport cu ceilalți indivizi din aceeași generație. În acest caz, deși acest "superindivid" nu reprezintă de fapt soluția problemei, în următoarele câteva generații el poate domina întreaga populație, astfel încât se ajunge la o situație de convergență prematură, adică la situația în care aproape toți indivizii din populație sunt copii fidele ale aceluiași individ.

Această situație, caracterizată prin dispariția diversității, conduce la stagnarea algoritmului și are drept consecință obținerea unei soluții suboptimale.

Convergența prematură poate fi evitată prin transformări aplicate asupra funcției fitness și prin diferite metode care pot duce la creșterea diversității populației, metode care vor fi prezentate în paragrafele următoare.

2.1.2. Atribuirea funcției fitness

Pentru a evalua calitatea soluțiilor, se folosește o mărime scalară numită funcție fitness, care se notează în cele ce urmează cu F . Potrivit precizărilor anterioare, această funcție este o măsură a calității în spațiul de căutare și modelează rolul mediului iar valoarea ei este folosită de operatorul de selecție pentru alegerea indivizilor mai performanți. Modul în care se atribuie valoarea funcției fitness este dependent de problema de rezolvat.

Pentru calculul valorii funcției fitness se parcurg în general următoarele două etape:

- Într-o primă etapă, se determină pentru fiecare individ i soluția corespunzătoare x , printr-o operație de decodare $x = m(i)$, (fig. 2.1).
- În a doua etapă, se determină valoarea funcției obiectiv y prin relația $y = f(x)$.

Deoarece algoritmi genetici efectuează implicit o maximizare, în cazul problemelor de maximizare a unor funcții matematice, valoarea funcției obiectiv se poate atribui direct funcției fitness, astfel încât $F = y$. În cazul problemelor de minimizare însă se poate face o schimbare de semn, astfel încât $F = -y$.

Există și funcții fitness complexe, în cazul unor aplicații diferite de optimizarea unor funcții matematice. În astfel de cazuri, funcția fitness se obține prin aplicarea unei transformări asupra funcției obiectiv $y=f(x)$, transformare notată cu T :

$$F = T(y). \text{ [Bak 89]}$$

Chiar și în cazul în care algoritmi genetici se folosesc pentru optimizarea unei funcții matematice, atribuirea funcției fitness se poate face prin diferite metode. În această privință, există trei abordări principale: scalarea funcției fitness (fitness scaling), divizarea funcției fitness (fitness sharing) și atribuirea funcției fitness după rang (fitness ranking).

2.1.2.1. Scalarea funcției fitness

Funcția fitness obținută uzual din calcul poate lua valori care diferă foarte mult de la individ la individ.

Scalarea funcției fitness este o metodă care își propune să indice valoric performanța relativă a indivizilor din populație și să mențină o populație cât mai omogenă în raport cu

valorile funcției fitness, pentru prevenirea convergenței premature. Metoda folosește o funcție de scalare care ia valori pozitive.

Într-o primă etapă, se calculează valoarea funcției fitness printr-o metodă obișnuită, de exemplu $F(i) = y$ în cazul unei probleme de optimizare în care se face maximizare. Operatorul de selecție însă, pentru a aprecia calitatea unui individ, nu folosește această valoare $F(i)$ - numită și funcție fitness brută - ci o valoare $F_s(i)$ care se obține în urma unei operații de scalare.

Operația de scalare poate fi liniară sau exponențială. [Man 97]

Scalarea liniară

Valoarea fitness $F_s(i)$ a unui individ este o funcție liniară de valoarea fitness $F(i)$ brută:

$$F_s(i) = a F(i) + b \quad (2.1)$$

unde coeficienții a și b sunt numere pozitive subunitare, astfel alese încât în urma operației de scalare să fie îndeplinite următoarele condiții:

- conservarea fitnessul mediu pe generația respectivă F_{mediu} , astfel încât în urma operației de scalare să rezulte un F_{smediu} egal cu valoarea medie inițială:
- $F_{smediu} = F_{mediu}$ (2.2)
- valoarea maximă F_{smax} obținută în urma operației de scalare să fie un anumit multiplu al valorii F_{mediu} :

$$F_{smax} = C \cdot F_{mediu} \quad (2.3)$$

unde C este un parametru ales de utilizator. Acest parametru reprezintă numărul probabil de descendenți care vor fi produși de individul cel mai performant pentru generația următoare.

În figura 2.5 se reprezintă principiul scalării liniare.

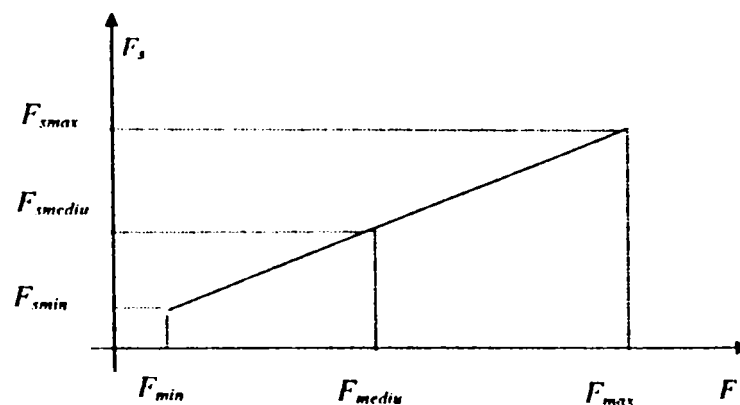


Fig. 2.5. Principiul scalării liniare

După alegerea parametrului C , metoda de scalare liniară se aplică parcurgând următoarele etape:

- Se calculează valoarea fitness brută $F(i)$ pentru fiecare individ
- Se determină valorile F_{mediu} , F_{min} , F_{max}
- Se determină coeficienții a și b folosiți în (2.1) prin rezolvarea sistemului de ecuații:

$$\bullet \begin{cases} F_{s\text{mediu}} = F_{\text{mediu}} \\ F_{s\text{max}} = C \cdot F_{\text{mediu}} \end{cases} \quad (2.4)$$

- Se calculează fitnessul scalat pentru fiecare individ folosind relația (2.1)

Deoarece se impune relația (2.2), numărul probabil de descendenți produși de indivizii cu performanțe medii va fi egal cu 1.

Metoda de scalare liniară este avatajoasă în primele etape ale algoritmului genetic, când scopul este explorarea spațiului de căutare prin menținerea diversității populației. În etapele avansate ale algoritmului genetic însă această metodă întârzie convergența.

Un alt dezavantaj al metodei este faptul că, pentru indivizi foarte neperformanți, fitnessul scalat obținut ca rezultat al rezolvării sistemului (2.4) poate lua valori negative, ceea ce este inadmisibil. În această situație se poate face o corecție a rezultatului, folosind de exemplu o atribuire de forma (2.5):

$$\text{dacă } F_{s\text{min}} < 0, \text{ atunci } F_{s\text{min}} := 0 \quad (2.5)$$

Scalarea exponențială

Valoarea F_s a unui individ i este definită printr-o relație de forma (2.6), care folosește un parametru $k(t)$:

$$F_s(i) = [F(i)]^{k(t)} \quad (2.6)$$

unde t este generația curentă.

În funcție de valorile lui k , folosirea acestei metode de scalare are efecte diferite, așa cum se reprezintă în figura 2.6.

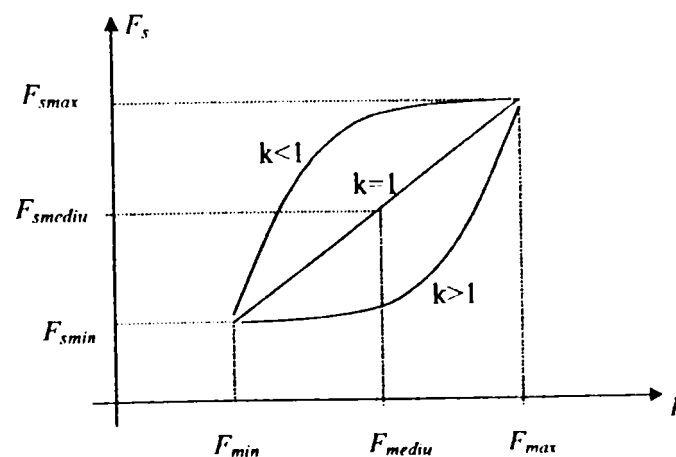


Fig. 2.6. Efectul folosirii metodei de scalare exponențială pentru diferite valori ale parametrului k

- Pentru valori ale lui k apropiate de 0 se reduc foarte mult diferențele dintre valorile funcției fitness scalate F_s , astfel încât nici un individ nu mai este favorizat de operatorul de selecție și algoritmul genetic are mai mult caracteristicile unei metode de optimizare aleatoare.
- Pentru valori ale lui k apropiate de 1 metoda de scalare nu are nici un efect
- Pentru $k > 1$ se accentuează foarte mult diferențele dintre valorile F_s și vor fi selecționați numai indivizii foarte performanți.

În aplicarea algoritmilor genetici este avantajos ca în primele etape, k să ia valori mici, pentru o explorare cât mai uniformă a spațiului de căutare, iar în etapele finale k să se apropie de valoarea 1, pentru a asigura convergența spre optim.

Din acest motiv, de obicei se folosește pentru k o funcție de forma relației (2.7).

$$k = \left[\operatorname{tg} \left(\frac{t}{N+1} \cdot \frac{\pi}{2} \right) \right]^p \quad (2.7)$$

unde t este generația curentă, N este numărul maxim de generații, iar p este un parametru al problemei, ales de utilizator, cu valoarea uzuală de 0,1.

Folosind relația (2.7), cu $p = 0.1$, la un număr maxim de 100 generații, coeficientul k va avea în funcție de generația curentă variația reprezentată în figura 2.7.

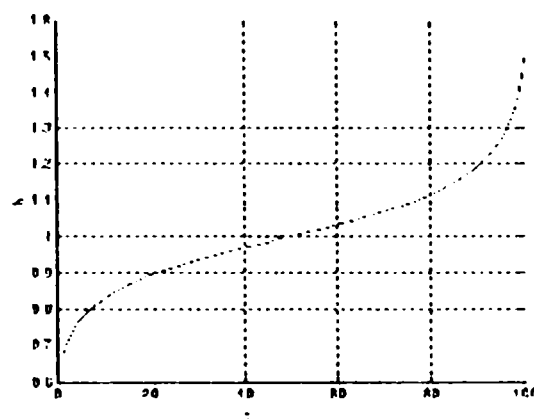


Fig. 2.7. Variația coeficientului k în funcție de t

Această metodă de scalare are efecte foarte bune asupra performanței algoritmului genetic, deoarece combină proprietatea de explorare uniformă a spațiului de căutare în primele etape cu rafinarea căutării în ultimele etape.

2.1.2.2. Divizarea funcției fitness

Scopul divizării funcției fitness este aglomerarea populației în jurul extremelor locale ale funcției de optimizat, creșterea diversității populației și repartizarea indivizilor în jurul optimelor locale. Această metodă este utilă în cazul optimizării multiobiectiv.

În figura 2.8 se prezintă două exemple de repartizare finală a populației în cazul unei funcții cu 4 puncte de maxim. Situația din figura 2.8 a reprezintă cazul în care nu se folosește divizarea funcției fitness, iar situația din figura 2.8 b reprezintă cazul în care se folosește divizarea funcției fitness.

Similar cu scalarea funcției fitness, și divizarea funcției fitness modifică valoarea fitness folosită de operatorul de selecție.

Pentru a evita aglomerarea unor indivizi similari în jurul optimului global, această metodă reduce valoarea funcției fitness într-un raport proporțional cu numărul indivizilor aflați într-o vecinătate a individului respectiv. [Coe 96]

În contextul algoritmilor genetici, această vecinătate se numește nișă. Nișele corespund cu subpopulațiile care se formează prin divizarea populației pe baza similarităților dintre indivizi. Ideea care stă la baza acestei metode este că indivizii dintr-o subpopulație partajează aceleași resurse. Astfel, cu cât un individ are în vecinătatea sa mai mulți indivizi, cu atât fitnessul lui se degradează și el va produce un număr mai mic de descendenți în generația următoare.

Ca măsură a acumulării indivizilor se folosește de obicei distanța metrică $d(i, j)$ dintre doi indivizi i și j , iar funcția de divizare (sharing) folosită uzual este dată de relația:

$$s(d(i, j)) = \begin{cases} 1 - \left(\frac{d(i, j)}{\sigma_{share}} \right)^\alpha & \text{daca } d(i, j) < \sigma_{share} \\ 0 & \text{altfel} \end{cases} \quad (2.8)$$

unde σ_{share} este un parametru al metodei, ales de utilizator, numit și rază de divizare (de obicei ia valori între 0.01 și 0.1). Acest parametru reprezintă distanța necesară între indivizi pentru formarea unui număr de nișe egal cu numărul obiectivelor din spațiul de căutare.

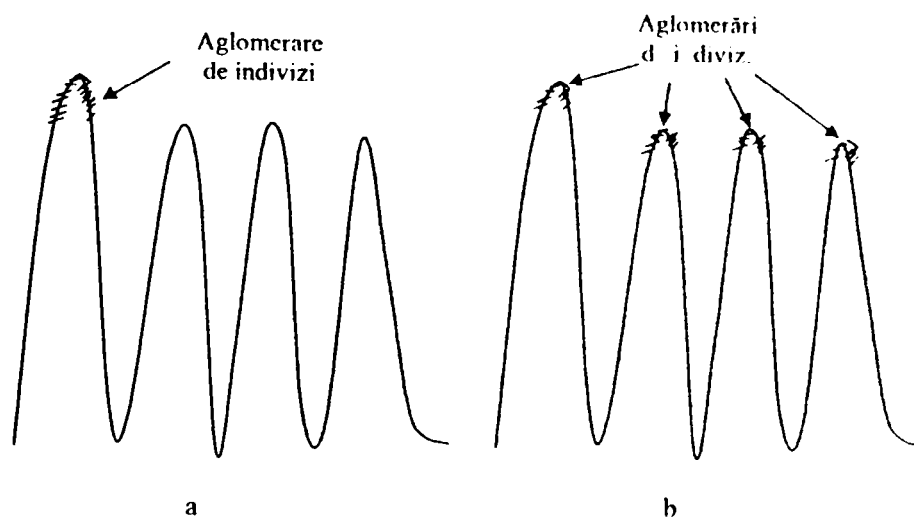


Fig. 2.8. Exemple de repartizare finală a populației în cazul unei funcții cu 4 puncte de maxim.

Indivizii aflați pe o rază σ_{share} formează un domeniu D . Parametrul α determină forma domeniului D . Tipic, se folosește o funcție numită divizare triunghiulară, cu $\alpha = 1$.

Funcția $s(d(i, j))$ este descrescătoare: astfel, $s(d=0) = 1$ și $s(d > \sigma_{share}) = 0$.

Suma funcțiilor de divizare, calculată pentru un individ în raport cu toți ceilalți aflați într-un domeniu D se numește *contor de nișă*.

$$C_D = \sum_{j \in D} s(d(i, j)) \quad (2.9)$$

Folosind acest contor de nișă, algoritmul penalizează indivizii care sunt apropiați unul de altul.

Matematic, fitnessul divizat $F_d(i)$ al unui individ $i \in D$ devine raportul dintre funcția fitness brută $F(i)$ și contorul de nișă:

$$F_d(i) = \frac{F(i)}{\sum_{j \in D} s(d(i, j))} \quad (2.10)$$

Astfel, dacă mai mulți indivizi se află în aceeași vecinătate, ei contribuie la creșterea valorii contorului de nișă și reducerea corespunzătoare a valorii funcției fitness divizate, permițând astfel formarea unei subpopulații stabile în jurul diferitelor optime din spațiul obiectiv, precum și convergența finală a algoritmului în cadrul nișelor, dar evitând convergența finală a populației în ansamblu.

Trebuie precizat că distanța $d(i,j)$ se poate calcula fie în spațiul indivizilor, ori în spațiul de decizie sau în spațiul obiectiv. Deși, această distanță este mai semnificativă în spațiul obiectiv, există abordări [Coe 96] care sugerează folosirea unei combinații a distanței metrice în spațiul variabilelor de decizie și în spațiul obiectiv, metodă numită divizare imbricată (nested sharing).

2.1.2.3. Atribuirea funcției fitness după rang (fitness ranking)

Atribuirea funcției fitness după rang constă în următoarele etape:

1. Se ordonează populația în raport cu funcția fitness brută;
2. Se determină rangul fiecărui individ din populație;
3. Pentru fiecare rang se asociază o valoare pozitivă;
4. Calcularea fitnessului atribuit după rang $F_R(i)$, care este fitnessul folosit de operatorul de selecție.

Avantajul metodei este că împiedică convergența prematură a populației în cazul prezenței unui superindivid. Deoarece unui astfel de individ foarte performant i se atribuie de fiecare dată aceeași valoare $F_R(i)$, el nu se va reproduce niciodată excesiv.

Dezavantajul metodei este faptul că elimină orice informație de scală despre performanța indivizilor. Acest dezavantaj se manifestă în situațiile în care performanțele tuturor indivizilor sunt asemănătoare. În acest caz, individul cel mai performant va fi întotdeauna preferat în raport cu ceilalți, deși performanțele lui diferă foarte puțin de performanțele celorlalți indivizi.

Notând rangul unui individ cu r , atribuirea funcției fitness după rang se poate exprima în principal prin două metode: prin corespondență liniară între rang și fitness și prin corespondență exponențială între rang și fitness. [Fon 94]

- Pentru corespondență liniară între rang și fitness:

$$F_R(r) = q - (q - 1) \cdot \frac{2r}{N - 1} \quad (2.11)$$

unde $1 \leq q \leq 2$ este fitnessul atribuit după rang care este stabilit aprioric pentru individul cel mai bun.

Deoarece se impune ca valoarea funcției fitness să fie pozitivă și $\sum_{i=1}^N F_R(i) = N$, N fiind numărul indivizilor din populație, parametrul q este mărginit superior.

- Pentru corespondență exponențială între rang și fitness:

$$F_R(r) = \rho^r \cdot q, \quad (2.12)$$

unde $q > 1$ este fitnessul atribuit după rang, stabilit aprioric pentru individul cel mai bun, iar ρ este astfel ales încât $\sum_{i=0}^{N-1} \rho^i = \frac{N}{q}$, N este mărimea populației. Deoarece q nu este limitat superior, corespondența exponențială este mai flexibilă decât cea liniară.

În cazul în care se alege $1 \leq q \leq 2$, principala diferență dintre cele două tipuri de corespondențe constă în faptul că, folosind corespondența exponențială, individul cel mai puțin performant este penalizat mai puțin. Din acest motiv corespondența exponențială produce în general o diversitate mai mare în populație.

2.1.1.4. Definiții referitoare la funcția fitness și operatorul de selecție

Definiția 2.1. Repartiția după funcția fitness. Funcția $s: R \rightarrow Z'$ atribuie pentru fiecare valoare reală F a fitnessului, un număr întreg pozitiv egal cu numărul de indivizi din populație care au valoarea funcției fitness egală cu F .

Definiția 2.2. O metodă de selecție Ω este o funcție care transformă o repartiție s a funcției fitness într-o nouă repartiție s' .

$$s' = \Omega(s, \text{lista_param}) \quad (2.13)$$

unde lista_param este o listă opțională de parametri pentru metoda de selecție.

Definiția 2.3. Valoarea presupusă a distribuției după funcția fitness s^* este valoarea probabilă pentru distribuția funcției fitness după aplicarea operatorului de selecție, unde $s^*(F_k)$ este numărul presupus de indivizi care, după aplicarea operatorului de selecție vor avea valoarea funcției fitness egală cu F_k .

Definiția 2.4. Distribuția cumulativă a fitnessului: Fie n numărul de valori distincte pentru funcția fitness ($n \leq N$) și $F_1 < \dots < F_{n-1} < F_n$ funcția fitness ordonată, unde F_1 reprezintă fitnessul cel mai mic, iar F_n fitnessul cel mai mare. Atunci,

$$S(F_k) = \begin{cases} 0 & k < 1 \\ \sum_{i=1}^{i=k} s(F_i) & 1 \leq k \leq n \\ N & k > n \end{cases} \quad (2.14)$$

reprezintă numărul de indivizi care au valoarea funcției fitness mai mică sau egală cu F_k și se numește distribuția cumulativă a fitnessului.

Definiția 2.5. Rata reproducerii este raportul dintre numărul de indivizi cu o anumită valoare F_k a funcției fitness după și înainte de aplicarea operatorului de selecție.

Uzual, o metodă de selecție favorizează indivizii mai performanți atribuindu-le o rată a reproducerii supraunitară și penalizează indivizii mai puțin performanți, atribuindu-le o rată a reproducerii subunitară.

Definiția 2.6. Fitnessul normalizat este raportul dintre numărul de descendenți produși de un anumit părinte și mărimea populației.

Definiția 2.7. Fitnessul relativ este raportul dintre valoarea funcției fitness al unui individ și fitnessul mediu al întregii populații. Fitnessul relativ exprimă calitatea unui individ în raport cu media populației. [Bak 89]

2.2. Operatori de selecție

2.2.1. Selecția proporțională

Sub această denumire sunt cunoscute un grup de scheme de selecție care aleg indivizii în funcție de fitnessul F . Selecția proporțională este metoda de selecție originală propusă de Holland. [Gol 89]

Selecția proporțională după fitness ordonează populația după valorile fitness, astfel încât individul i este cel mai performant.

Pentru a defini această metodă de selecție, se folosesc variabilele ajutoare s_k , $k = 0, 1, \dots, N$, care pun în corespondență fiecare individ i cu un segment de dreaptă având o lungime proporțională cu fitnessul relativ al individului respectiv. Aceste variabile se calculează recursiv, prin relația:

$$s_i = s_{i-1} + \frac{F(i)}{M} \quad (2.15)$$

unde $s_0 = 0$, $F(i)$ este fitnessul individului i , iar M este fitnessul mediu în generația curentă.

Interpretarea geometrică a acestor variabile este prezentată în fig. 2.9.

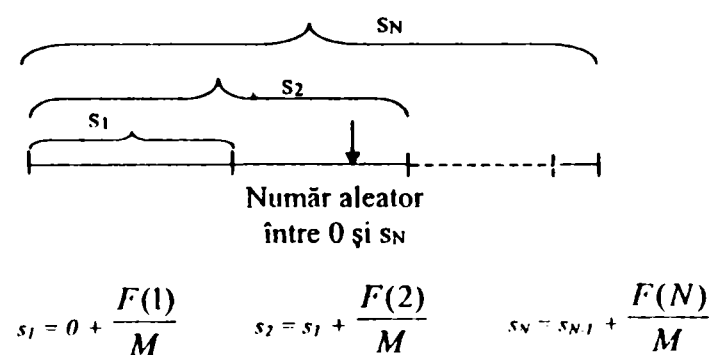


Fig. 2.9. Interpretarea geometrică a variabilelor s_N

Pentru situația din fig. 2.9, individul i_1 este asociat cu segmentul s_1 , individul i_2 cu segmentul $s_2 - s_1$, iar individul i_N cu segmentul $s_N - s_{N-1}$. Suma lungimilor celor N segmente este $s_N = N$.

Un număr aleator r generat în intervalul $(0, N)$, indică spre unul din segmentele de dreaptă astfel definite și selectează individul asociat cu acesta.

Pentru situația din fig. 2.9, deoarece $s_1 \leq r < s_2$, se selectează individul i_2 .

Se generează repetat un număr aleator până la alegerea unui număr dorit de indivizi.

Deoarece lungimea fiecărui segment este proporțională cu fitnessul relativ al unui individ din populație, probabilitatea de selecție a unui individ este proporțională cu fitnessul său relativ, după relația (2.16):

$$p_i = \frac{F(i)}{N \cdot M} \quad (2.16).$$

Pseudocodul pentru selecția proporțională este prezentat în *Algoritmul 2.1*. [sys 01]

Algoritmul 2.1: Selecție proporțională

Intrări: Populația $P(t)=\{i_1, i_2, \dots, i_N\}$, valorile $F(i)$ corespunzătoare fiecărui individ și fitnessul mediu M

Ieșire: Populația după selecție $P'(t)$

Ordonează crescător populația P după fitness

$s_0 = 0$

for $i=1$ to N do

$$s_i = s_{i-1} + \frac{F(i)}{M}$$

endfor

for $i=1$ to N do

Alege aleator un număr r în intervalul $(0, s_N)$

Dacă $s_{ales-1} \leq r < s_{ales}$ alege individul $i_j' = i_{ales}$

endfor

return $P'(t) = \{i_1', \dots, i_N'\}$

Algoritmul funcționează corect numai în cazul în care toate valorile fitness sunt pozitive. În plus, probabilitatea selecției depinde foarte mult de distribuția funcției fitness. Dezavantajul principal al metodei este faptul că deseori există diferențe mari între numărul probabil și numărul actual de copii ale unui individ în populația intermediară și nu se garantează supraviețuirea celui mai bun individ.

Pentru a exemplifica funcționarea *Algoritmului 2.1*, presupunem o populație $P(t)$ formată din 11 indivizi.

În tabelul 2.2. se prezintă probabilitatea de selecție pentru fiecare individ și valorile variabilelor s_i

Tabelul 2.2. Probabilitatea de selecție a 11 indivizi folosind selecția proporțională

Număr individ	Valoare fitness	s_i	Probabilitate de selecție
1	2.0	2.0	0.18
2	1.8	3.8	0.16
3	1.6	5.4	0.15
4	1.4	6.8	0.13
5	1.2	8.0	0.11
6	1.0	9.0	0.09
7	0.8	9.8	0.07
8	0.6	10.4	0.06
9	0.4	10.8	0.03
10	0.2	11	0.02
11	0.0	11	0.00

Fitnessul mediu al generației curente este $M = 1$, iar probabilitatea de selecție s-a calculat folosind relația (2.16).

Se generează numere aleatoare uniform distribuite în intervalul $(0.0, 11)$

Se presupune că s-au generat următoarele 3 numere: 8.8, 3.7 și 5.1. Figura 2.10 reprezintă procesul de selecție al indivizilor din tabelul 2.2 pentru aceste 3 numere aleatoare:

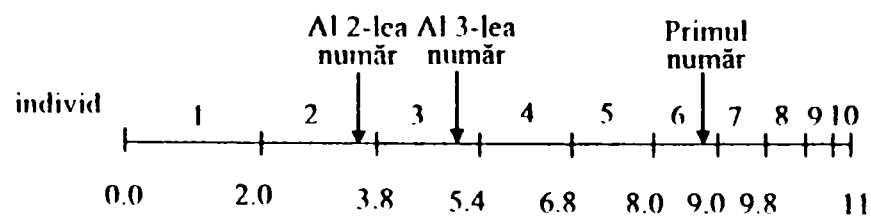


Fig. 2.10 Selecția a 3 indivizi cu metoda de selecție proporțională

Folosind acest procedeu, în exemplul prezentat se aleg indivizii 6, 2 și 3.

Ruleta ponderată

O varietate simplă a selecției proporționale este ruleta ponderată, în care fiecare individ este asociat cu o greutate pe ruletă, greutate proporțională cu fitnessul său [Gol 89]. Selecția se realizează similar, rotind ruleta de N ori.

Eșantionare stohastică universală (stochastic universal sampling)

Este o altă varietate a selecției proporționale. Indivizii sunt asociați și în acest caz cu segmente de dreaptă, astfel încât fitnessul fiecărui individ este proporțional cu lungimea segmentului de dreaptă.

Spre deosebire însă de ruleta ponderată, acest procedeu plasează de-a lungul segmentelor un număr de pointeri la distanță egală unul de altul. Numărul pointerilor este egal cu numărul de indivizi care urmează a fi selectați. Fie acest număr egal cu $N_{pointer}$, deci distanța dintre pointeri este $s_N/N_{pointer}$.

Poziția primului pointer este dată de un număr aleator generat în intervalul $[0, s_N/N_{pointer}]$. [sys 01]

În cazul selecției a 3 indivizi, distanța dintre pointeri este $11/3 = 3.66$. Figura 2.11 reprezintă modul în care se face selecția în acest caz.

Presupunem că numărul aleator generat în intervalul $[0, 3.66]$ este 2.5.

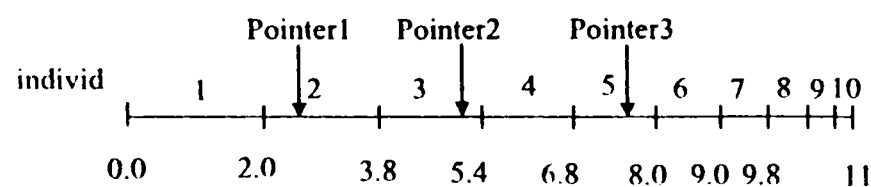


Fig. 2.11. Selecția a 3 indivizi cu metoda de eșantionare stohastică universală

După selecție, populația intermediară va conține indivizii 2, 3 și 5.

Se utilizează adesea o strategie *elitistă* [Chi 95] care garantează că soluția cea mai bună găsită în generația t supraviețuiește în generația $t+1$.

2.2.2. Selecția turneu (tournament)

Brindle [Chi 95] a propus o schemă de selecție competitivă. Ideea este de a alege (cu sau fără înlocuire) aleator din populație un anumit număr T de indivizi, selectarea celui mai bun individ din acest grup și introducerea lui în populația intermediară, procesul repetându-se de N ori, până la completarea populației intermediare.

O etapă a algoritmului algoritmului constă din următorii pași:

1. Alege din populația inițială un grup de T indivizi;

2. Alege cel mai bun individ din acest grup;
3. Copiază individul ales în populația intermediară.

Această etapă se repetă de N ori, pentru a obține o populație intermediară cu N indivizi. Cea mai utilizată schemă de selecție turneu este cea binară, în care se aleg aleator din populație perechi de indivizi ($T = 2$), cel mai bun dintre ei fiind plasat în populația intermediară.

Pseudocodul pentru selecția turneu este dat în *Algoritmul 2.2*.

Algoritm 2.2. (Selecție turneu) [sys 01]

Intrări: Populația $P(t) = \{i_1, \dots, i_N\}$, valorile $F(i)$ și dimensiunea turneului $T \in \{2, \dots, N\}$

Ieșire: Populația după selecție $P'(t)$

```

    for i=1 to N do
        Alege aleator  $T$  indivizi din populația  $\{i_1, \dots, i_N\}$ 
        Alege cel mai bun din cei  $T$  indivizi și copiază-l în populația  $P'(t)$ 
        drept  $i'_i$ 
    endfor
    return  $P'(t) = \{i'_1, \dots, i'_N\}$ 

```

Algoritmul de selecție turneu se poate implementa foarte simplu și are avantajul că nu necesită ordonarea populației. Este însă foarte sensibil la alegerea parametrului T .

2.2.3. Selecția cu trunchiere (truncation)

Selecția cu trunchiere cu pragul Tr este similară cu selecția proporțională după fitness, cu deosebirea că [sys 01] în procesul de selecție se poate alege numai dintr-un grup format din cei mai buni indivizi, toți cu aceeași probabilitate de selecție. Mărimea grupului este precizată de parametrul Tr .

Algoritmul ordonează crescător populația în raport cu valorile fitness și alege un grup de indivizi mai performanți folosind parametru Tr , așa cum se reprezintă în figura 2.12, unde notația $[(1 - Tr)N]$ are semnificația „partea întreagă a numărului $(1 - Tr)N$ ”.

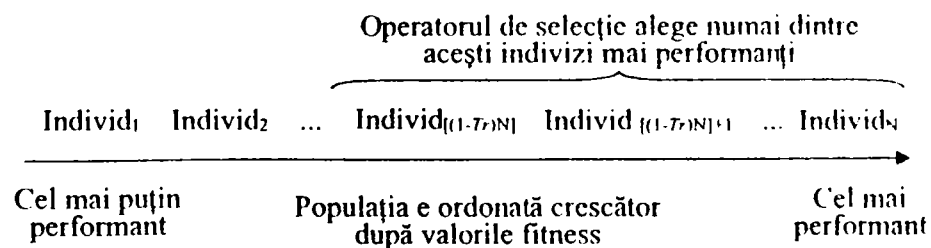


Fig. 2.12. Grupul de indivizi mai performanți folosit de operatorul de selecție cu trunchiere

Pseudocodul pentru selecția cu trunchiere este dat în *Algoritmul 2.3*.

Algoritm 2.3. (Selecție cu trunchiere)

Intrări: Populația $P(t) = \{i_1, \dots, i_N\}$, valorile $F(i)$ și pragul de trunchiere $Tr \in [0, 1]$

Ieșire: Populația după selecție $P'(t)$

Ordonează populația crescător după valorile fitness

```

for  $i=1$  to  $N$  do

```

```

    Alege aleator un număr  $r$  în mulțimea  $\{(1-Tr)N, \dots, N\}$ 
         $i'_r = i_r$ 
    endfor
    return  $P'(t) = \{i'_1, \dots, i'_N\}$ 

```

Astfel, în fiecare etapă se alege aleator un descendent dintr-un număr $Tr \cdot N$ de indivizi mai performanți.

Repetând acest procedeu de N ori, algoritmul produce populația intermediară $P'(t)$.

Selecția cu trunchiere este mai costisitoare din punctul de vedere al timpului de calcul, deoarece necesită ordonarea populației.

2.2.4. Selecția ordonată după rang (ranking)

Noțiunea se referă la atribuirea funcției fitness după rang care a fost prezentată în paragraful 2.1.2.3. și se produce astfel:

- se ordonează populația în funcție de fitness și se atribuie rangul $N-1$ celui mai bun individ, și rangul 0 celui mai puțin performant individ;
- se alocă un număr de descendenți pe care îi poate avea fiecare individ după o funcție necrescătoare;
- se efectuează selecție proporțională după această funcție.

S-au experimentat două metode de selecție ordonată:

Ordonare liniară

În acest caz, probabilitatea de selecție se atribuie fiecărui individ în funcție de rangul său. [Whi 89] Metoda folosește parametrul q , $1 \leq q \leq 2$ care este fitnessul atribuit după rang, stabilit aprioric pentru individul cel mai bun.

Similar cu *Algoritmul 2.1*, și în acest caz indivizii sunt asociați cu segmente de dreaptă definite de relația (2.17).

Algoritmul 2.4. Selecție ordonată după rang cu ordonare liniară

Intrări: Populația $P(t) = \{i_1, \dots, i_N\}$, valorile $F(i)$ și parametrul q

Ieșire: Populația după selecție $P'(t)$

Ordonează descrescător după fitness populația $P(t)$

$s_0 = 0$

for $i=1$ to N do

$$s_i = s_{i-1} + q - (q - 1) \cdot \frac{2(i - 1)}{N - 1} \quad (2.17)$$

endfor

for $i=1$ to N do

Alege aleator un număr p în intervalul $[0, s_N]$

Dacă $s_{ales-1} \leq p < s_{ales}$, alege individul $i'_i = i_{ales}$

endfor

return $P'(t) = \{i_1', \dots, i_N'\}$

Ordonare exponențială

În acest caz, probabilitatea de selecție se atribuie exponențial fiecărui individ, în funcție de rangul său. [Whi 89]

Algoritmul folosește doi parametri:

- $q > 1$ este fitnessul atribuit după rang, este stabilit aprioric pentru individul cel mai bun
- ρ , care este astfel ales încât $\sum_{i=0}^{N-1} \rho^i = \frac{N}{q}$, unde N este mărimea populației

Algoritmul 2.5. Selecție ordonată după rang cu ordonare exponențială. [Ben 97]

Intrări: Populația $P(t) = \{i_1, \dots, i_N\}$, valorile $F(i)$, parametrii q și ρ

Ieșire: Populația după selecție $P'(t)$

Sortează descrescător după fitness populația $P(t)$

$s_0 = 0$

for $i=1$ to N do

$$s_i = s_{i-1} + \rho^{i-1} \cdot q$$

endfor

for $i=1$ to N do

Alege aleator un număr p în intervalul $[0, s_N]$

Dacă $s_{i-1} \leq p < s_i$, alege individul $i_i' = i_{ales}$

endfor

return $P'(t) = \{i_1', \dots, i_N'\}$

Metoda de selecție cu ordonare după rang are avantajul că împiedică convergența prematură a populației.

2.2.5. Selecția cu grupare

De la începuturile utilizării algoritmilor genetici a existat o preocupare pentru menținerea diversității populației. DeJong a introdus ideea de factor de grupare. [Jon 75] Metoda imaginat își propune să mențină diversitatea populației prin formarea unor grupe de indivizi în jurul optimelor locale ale funcției de optimizat. Indivizii dintr-o grupă nu sunt în general în competiție cu indivizii din celelalte grupe.

Deoarece competiția este modelată de operatorul de selecție, acesta se modifică astfel încât în fiecare generație se supune competiției numai o fracțiune din populație.

Metoda folosește doi parametri:

- G numit gap de generație, cu $0 < G < 1$
- CF numit factor de grupare CF , unde CF este un număr natural cu valoarea uzuală 2.

Operatorul de selecție alege un număr de $G \cdot N$ indivizi din populația $P(t)$ folosind selecția proporțională după fitness.

Pentru a forma populația intermediară $P'(t)$ fiecare din cei $G \cdot N$ indivizi aleși înlocuiește un individ din $P(t)$ după următorul procedeu:

- Se alege aleator din populație un grup CF de indivizi, unde CF este factorul de grupare;
- Din cei CF indivizi se alege pentru a fi înlocuit individul care seamănă cel mai mult cu individul care va fi inserat. Similaritatea se poate implementa printr-o corespondență de biți, ori prin distanța metrică dintre indivizi.

Acest procedeu se repetă de $G \cdot N$ ori.

Metoda de grupare modelează un fenomen ecologic din natură, în care indivizi similari, de obicei din aceeași specie, concurează între ei pentru resurse limitate. Indivizi nesimilari tind să ocupe locuri diferite, astfel încât ei nu concurează. Rezultatul final este că într-o populație de mărime constantă, la echilibru, membrii noi dintr-o specie particulară înlocuiesc membrii vechi din aceeași specie.

Gruparea contribuie la păstrarea diversității populației, prin menținerea unor reprezentanți performanți pentru fiecare optim local.

2.3. Operatori de încrucișare

Operatorul de încrucișare urmează după selecție, și acționează cu probabilitatea P_I . Modul de implementare al operatorului de încrucișare depinde de metoda folosită pentru codarea indivizilor. Din acest punct de vedere există multe abordări specifice unor tipuri de date care pot fi în unele cazuri structuri complexe.

În continuare se vor prezenta numai operatorii de încrucișare folosiți în codarea binară și reală a indivizilor.

2.3.1. Operatori de încrucișare pentru codare binară

2.3.1.1. Încrucișarea într-un singur punct

Încrucișarea într-un singur punct se produce astfel:

1. Se alege aleator un punct de încrucișare (tăiere) $k \in [1, 2, \dots, Nvar-1]$, unde $Nvar$ reprezintă numărul de biți folosiți în codarea binară, iar cromozomii ambilor părinți se divid în subcromozomi aflați la stânga (inclusiv k) și la dreapta lui k .

2. Se produc doi descendenți, fiecare descendent legând subcromozomul stâng al unui părinte cu subcromozomul drept al celuilalt. [Gol 89]

Pentru exemplificare, se consideră doi indivizi părinți I_i și I_j reprezentați în tabelul 2.3. Dacă punctul de încrucișare ales aleator este $k=3$, descendenții vor fi D_i și D_j .

Tabelul 2.3. Exemplu de încrucișare binară într-un singur punct

	k
I_i	110 01101
I_j	011 10011
D_i	110 10011
D_j	011 01101

2.3.1.2. *Încrucișarea în m puncte*

Metoda de încrucișare în m puncte [Gol 89] divide cei doi părinți în m puncte aleatoare și schimbă grupele alternativ.

Încrucișarea în m puncte se produce astfel:

Se aleg aleator m puncte de încrucișare $k_i \in \{1, 2, \dots, Nvar-1\}$, cu $i=1:m$, unde *Nvar* reprezintă numărul de biți folosiți în codarea binară. Se produc doi descendenți, fiecare descendent fiind format din grupe de biți proveniți alternativ de la cei doi părinți.

Pentru exemplificare, se consideră doi indivizi părinți I_i și I_j reprezentați în tabelul 2.4 și se presupune $m = 2$. Dacă punctele de încrucișare generate aleator sunt cele notate cu k_1 și k_2 , descendenții vor fi D_i și D_j .

Tabelul 2.4. Exemplu de încrucișare binară într-un singur punct

		k_1	k_2
I_i	101	100	11
I_j	011	011	10
D_i	101	011	11
D_j	011	100	10

2.3.1.3. *Încrucișarea uniformă*

Încrucișarea uniformă este o metodă de încrucișare care transferă fiecare bit al primului părinte către primul descendent cu o anumită probabilitate (uzual 0.5); altfel bitul e transferat către cel de-al doilea descendent. Biții rămași necompletați în ambii descendenți vor fi preluați de la al doilea părinte. Metoda se implementează prin creerea unei măști binare aleatoare m de aceeași lungime cu părinții. Valoarea "1" într-un rang din mască indică faptul că bitul respectiv va fi transferat de la primul părinte la primul descendent. [Dum 00]

Pentru exemplificare, se consideră doi indivizi părinți I_i și I_j reprezentați în tabelul 2.5. Dacă masca binară este $m = 01011010$, descendenții vor fi D_i și D_j .

Tabelul 2.5. Exemplu de încrucișare binară uniformă

I_i	10101101
I_j	01100011
<i>m</i>	01011010
D_i	00101001
D_j	11100111

2.3.2. **Operatori de încrucișare pentru codare reală**

În continuare se prezintă cele mai uzuale metode de încrucișare folosite în cazul codării cu numere reale.

2.3.2.1. *Încrucișarea discretă*

Încrucișarea discretă este o metodă generală, care se poate folosi atât în cazul unei codări binare cât și în cazul unei codări reale, ori în cazul unor indivizi în reprezentare vectorială de n variabile. Operatorul schimbă variabilele între indivizi.

Pentru fiecare componentă vectorială a fiecărui descendent se generează aleator unul din numerele 1 sau 2. Numărul 1 semnifică transferul acelei componente vectoriale de la primul părinte, iar numărul 2 transferul de la al doilea părinte. [sys 01]

Pentru exemplificare, se consideră doi indivizi părinți I_i și I_j , fiecare cu trei variabile, reprezentați în tabelul 2.6 și se presupune că s-au generat următoarele numere pentru descendenți:

- pentru primul descendent 2 2 1
- pentru al doilea descendent 1 2 1

Tabelul 2.6. Exemplu de încrucișare discretă

I_i	12	25	5
I_j	123	4	34
D_i	123	4	5
D_j	12	4	5

Operatorul de încrucișare discretă generează descendenți în vârfurile hipercuburilor definite de părinți.

În figura 2.13 se reprezintă interpretarea geometrică a încrucișării discrete pentru două componente vectoriale, notate în figură cu variabila 1 și variabila 2.

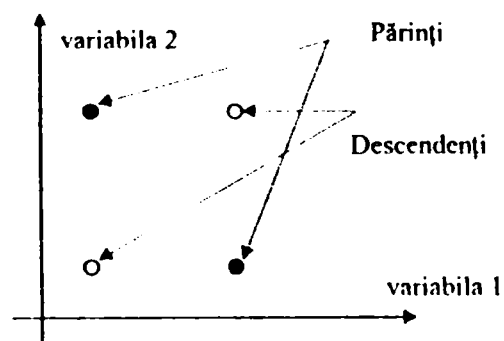


Fig. 2.13 Interpretarea geometrică a încrucișării discrete pentru 2 componente vectoriale

2.3.2.2. Încrucișarea intermediară

Metoda de încrucișare intermediară se poate aplica numai pentru codare cu numere reale, în cazul unor indivizi în reprezentare vectorială de n variabile și produce un singur descendent.

Metoda stabilește valorile variabilelor pentru descendent în apropierea și între valorile variabilelor celor doi părinți.

Parametrul metodei este un factor de scalare α ales aleator într-un interval $[-d, 1+d]$.

În cazul recombinării intermediare se folosește de obicei $d = 0$, dar există variante ale metodei care folosesc pentru d un număr pozitiv, $d > 0$, uzual 0,25.

- Se alege aleator $\alpha \in [-d, 1+d]$
- Fiecare variabilă $k \in [1, 2, \dots, n]$, a descendentului i se produce din părinții I_i și I_j după regula dată de relația:

$$D_{ik} = I_{ik} + \alpha \cdot (I_{ik} - I_{jk}) \quad (2.18)$$

- Relația (2.18) se aplică pentru fiecare variabilă a descendentului, cu un nou α ales pentru fiecare variabilă.

Încrucișarea intermediară este capabilă să producă descendenți într-o hipercurbă mai largă decât cea definită de părinți. Astfel, dacă reprezentăm schematic o astfel de hipercurbă cu un dreptunghi, atunci descendenții se vor afla într-un dreptunghi de arie mai mare decât cel definit de părinți. [sys 01]

În figura 2.14 se reprezintă schematic o comparație dintre hipercurba definită de părinți și de descendenți pentru $d = 0.25$.

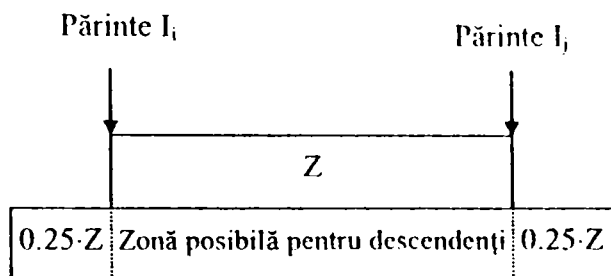


Fig. 2.14 Comparație dintre hipercurba definită de părinți și de descendenți

În figura 2.15 se reprezintă interpretarea geometrică a încrucișării intermediare pentru două componente vectoriale, notate în figură cu variabila 1 și variabila 2.

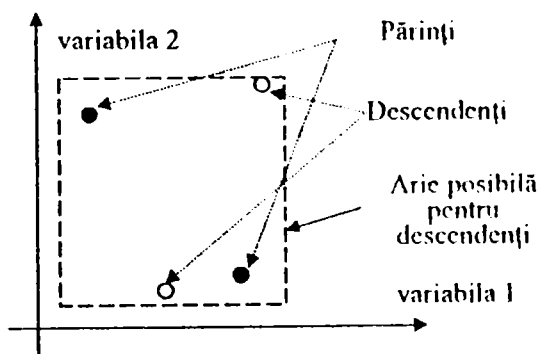


Fig. 2.15 Interpretarea geometrică a încrucișării intermediare pentru două componente vectoriale

2.3.2.3. Încrucișarea liniară

Metoda de încrucișare liniară este similară cu încrucișarea intermediară, cu deosebirea că valoarea parametrului α este același pentru fiecare variabilă. Încrucișarea liniară poate produce orice punct pe dreapta definită de părinți.

În figura 2.16 se reprezintă interpretarea geometrică a încrucișării liniare pentru indivizi codați cu vectori de două numere reale, notate în figură cu variabila 1 și variabila 2.

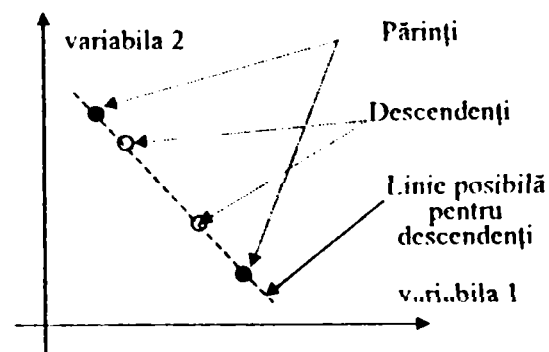


Fig. 2.16 Interpretarea geometrică a încrucișării liniare pentru două componente vectoriale

2.3.2.4. Încrucișarea aritmetică

Metoda de încrucișare aritmetică este o variantă de încrucișare liniară, care produce doi descendenți care sunt o combinație liniară de cei doi părinți. Parametrul α este ales aleator în intervalul $[0, 1]$.

Dacă I_i și I_j sunt cei doi părinți, descendenții produși sunt dați de relația:

$$\begin{aligned} D_i &= \alpha \cdot I_i + (1 - \alpha) \cdot I_j \\ D_j &= (1 - \alpha) \cdot I_i + \alpha \cdot I_j \end{aligned} \quad (2.19)$$

2.4. Operatori de mutație

Operatorul de mutație, adesea referit ca un operator de fundal, are rolul de creștere a diversității populației. El operează prin alterarea aleatoare a uneia sau a mai multor componente ale unui individ cu probabilitatea P_m , care uzual se menține constantă în procesul de calcul.

Analog cu operatorul de încrucișare, modul de implementare al operatorului de mutație depinde de metoda folosită pentru codarea indivizilor. În continuare se vor prezenta numai operatorii de mutație folosiți în cazul codării cu șiruri binare și cu numere reale.

2.4.1. Operatori de mutație pentru codare binară

2.4.1.1. Mutația binară pură

În cazul codării binare, mutația binară pură înseamnă complementarea biților din 0 în 1 sau din 1 în 0. [Gol 89]

Pentru fiecare individ, bitul k care va fi mutat se alege aleator: $k \in [1, 2, \dots, Nvar]$, unde $Nvar$ reprezintă numărul de biți folosiți pentru codarea individului.

Pentru exemplificare, se consideră un individ I_i reprezentat în tabelul 2.7. Dacă se alege $k = 3$, descendentul va fi D_i .

Tabelul 2.7. Exemplu de încrucișare binară uniformă

	$k = 3$
I_i	111 01011
D_i	110 01011

2.4.1.2. Mutația binară cu interschimbare de biți adiacenți

Mutația binară cu interschimbare de biți adiacenți schimbă între ele două poziții adiacente de biți.

Pentru fiecare individ, poziția de interschimbare k se alege aleator: $k \in [1, 2, \dots, Nvar-1]$, unde $Nvar$ reprezintă numărul de biți folosiți pentru codarea individului. Rezultatul mutației va fi un descendent în care se schimbă între ele pozițiile de biți k și $k+1$. [Dum 95]

Pentru exemplificare, se consideră un individ I_i reprezentat în tabelul 2.8. Dacă se alege $k = 4$, se vor schimba pozițiile 4 și 5, iar descendentul va fi D_i .

Tabelul 2.8. Exemplu de mutație binară cu interschimbare de biți adiacenți

	$k=4$
I_i	111 01 011
D_i	110 10 011

2.4.1.3. Mutația binară cu deplasare (shift mutation)

Mutația binară cu deplasare schimbă un bit dintr-o poziție aleatoare în altă poziție aleatoare, și deplasează corespunzător ceilalți biți.

Pentru fiecare individ, se aleg aleator două valori pentru poziții de biți: $k_1, k_2 \in [1, 2, \dots, Nvar-1]$, unde $Nvar$ reprezintă numărul de biți folosiți pentru codarea individului. Rezultatul mutației va fi un descendent în care bitul din poziția k_1 se mută în poziția k_2 , simultan cu deplasarea corespunzătoare a biților dintre pozițiile k_1 și k_2 . [sys 01]

Pentru exemplificare, se consideră un individ I_i reprezentat în tabelul 2.9. Dacă se alege $k_1 = 4$ și $k_2 = 7$, bitul din poziția 4 este mutat în poziția 7, iar biții dintre pozițiile 4 și 7 sunt deplasați la stânga corespunzător.

Tabelul 2.9. Exemplu de mutație binară cu deplasare

	$k_1=4, k_2=7$
I_i	101 10 101
D_i	101 010 11

2.4.2. Operatori de mutație pentru codare reală

În cazul reprezentării reale, mutația înseamnă alterarea valorii unui parametru al individului cu un anumit pas. Dimensiunea pasului de mutație este de obicei dificil de ales. Pasul optim este dependent de problemă și poate varia chiar în timpul procesului evolutiv. Deseori, pașii mici dau rezultate mai bune, dar uneori pașii mai mari sunt mai rapizi.

2.4.2.1. Mutația uniformă

Mutația uniformă alege aleator una din variabilele individului care va fi mutat și o înlocuiește cu o nouă valoare, folosind un parametru α este ales aleator în intervalul $[0, 1]$.

Mutația uniformă se produce astfel:

Pentru fiecare individ se alege aleator: $k \in [1, 2, \dots, Nvar]$, unde $Nvar$ reprezintă numărul de variabile care codează individul. [sys 01]

Dacă notăm cu L_{min} limita inferioară a variabilei k alese, iar domeniul ei de variație este $|L_k| = L_{max} - L_{min}$, operatorul de mutație produce un descendent D_i în care înlocuiește variabila k după relația (2.20).

$$D_{ik} = L_{min} + \alpha \cdot |L_k| \quad (2.20)$$

2.4.2.2. Mutația neuniformă

Mutația neuniformă alege aleator una din variabilele individului care va fi mutat și o înlocuiește cu o nouă valoare, folosind o distribuție de probabilitate neuniformă. Metoda de mutație neuniformă folosește un număr de 3 parametri:

- parametrul b , cu valoarea uzuală 3
- parametrul α care este ales aleator în intervalul $[0, 1]$
- parametrul d care stabilește direcția în care se efectuează mutația.

Într-o primă etapă se alege aleator variabila care urmează a fi mutată: $k \in [1, 2, \dots, Nvar]$, unde $Nvar$ reprezintă numărul de variabile care codează individul. [sys 01]

Se notează cu r raportul dintre numărul generației curente și numărul maxim de generații:

$$r = \frac{n_{curent}}{n_{max}} \quad (2.21)$$

Dacă direcția aleasă prin parametrul d este crescătoare, y va reprezenta diferența dintre L_{max} și valoarea inițială a variabilei respective, conform relației (2.21). Altfel, y va reprezenta diferența dintre valoarea inițială a variabilei respective și L_{min} , conform relației:

$$y = L_{max} - I_{ik} \quad (2.22)$$

$$y = I_{ik} - L_{min} \quad (2.23)$$

avem:

$$dy = y \cdot (\alpha \cdot (1 - r))^b \quad (2.24)$$

Pentru direcție crescătoare parametrul mutat al descendentului va fi dat de relația:

$$D_{ik} = I_{ik} + dy \quad (2.25)$$

iar pentru direcție descrescătoare parametrul mutat al descendentului va fi dat de relația:

$$D_{ik} = I_{ik} - dy \quad (2.26)$$

O variantă a operatorului de mutație neuniformă, numită și mutație multi-neuniformă, aplică modificările prezentate în acest paragraf pentru toate variabilele individului mutat. Descendentul va avea toate variabilele mutate în maniera prezentată.

2.4.2.3. Mutația limită (boundary mutation)

Mutația limită alege aleator una din variabilele individului care va fi mutat și o înlocuiește aleator cu limita ei superioară sau inferioară.

Pentru fiecare individ se alege aleator: $k \in [1, 2, \dots, Nvar]$, unde $Nvar$ reprezintă numărul de variabile care codează individul.

Dacă L_{min} și L_{max} reprezintă limita inferioară și superioară a variabilei alese, operatorul de mutație alege aleator una din aceste două valori, fie aceasta L_{ales} .

Rezultatul mutației va fi un descendent în care variabila k se înlocuiește cu L_{ales} .

2.5. Operatori suplimentari folosiți în algoritmi genetici

Operatorii de selecție, încrucișare și mutație sunt operatorii principali ai unui algoritm genetic, însă se pot lua în considerare și alți operatori care pot oferi avantaje în anumite aplicații ale algoritmilor genetici. Analiza, abstracția și implementarea unor operatorilor suplimentari sunt căi pentru posibile îmbunătățiri ale algoritmilor genetici.

2.5.1. Diploidia și dominanța în algoritmi genetici

În natură există multe organisme haploide, majoritatea într-o formă de viață simplă. Pe măsură ce natura a construit forme de viață mai complexe, a apărut diploidia, sau multiplicarea numărului de cromozomi.

În modelul haploid, la care s-au referit paragrafele precedente, un singur șir conține toate informațiile relevante despre problema considerată. În formă diploidă, genotipul conține una sau mai multe perechi de cromozomi, fiecare purtând informații referitoare la aceleași proprietăți de fenotip. Mecanismul care elimină redundanța este operatorul numit dominanță. O alelă dominantă are o influență mai mare decât alela alternativă (recesivă). Alela este dominantă dacă ea se impune la nivel de fenotip. Din acest motiv, algoritmul de decodare are la intrare doi cromozomi și trebuie să ia în considerare dominanța.

În algoritmi genetici, există ipoteza că diploidia asigură un mecanism de memorare a alelelor și combinațiilor de alele care au fost performante în etapele precedente ale algoritmului. Astfel, memoria redundată a cromozomilor diploizi permite păstrarea unor soluții multiple într-o singură soluție diploidă, iar mecanismul de dominanță permite folosirea ocazională a soluțiilor alternative.

Unele aplicații ale algoritmilor genetici includ diploidia și mecanismul de dominanță. În continuare, se vor prezenta câteva exemple mai semnificative.

1. Bagley [Gol 89] folosește o pereche de cromozomi diploizi care sunt asociați cu un fenotip particular printr-o hartă cromozomială care este codată și ea în structura unui cromozom. Fiecare poziție din cromozom, pe lângă informația care definește parametrul asociat și valoarea lui particulară, memorează suplimentar dominanța. Deși în natură e posibilă și dominanța parțială, autorul a convenit că poate fi selectată numai alela dominantă. Rezultatele obținute de autor nu au fost semnificative.

2. Rosemberg [Gol 89], într-un studiu orientat biologic a utilizat un model cromozomial diploid. Dominanța a fost stabilită prin prezența sau absența unei anumite enzime. Această enzimă poate facilita sau inhiba anumite reacții biochimice și astfel ea controlează anumite trăsături la nivel de fenotip.

3. Hollstien [Gol 89], a descris 2 mecanisme simple de dominanță. Mecanismul mai simplu, care a fost apoi implementat într-o aplicație de optimizare a funcțiilor, folosește pentru fiecare poziție binară doi biți. Unul dintre biți reprezintă gena funcțională, iar al doilea bit reprezintă gena selectoare. Gena funcțională ia valorile uzuale "0" sau "1", iar gena selectoare poate lua valorile 'M' sau 'm'. Fiecare individ este asociat cu două perechi de cromozomi, iar algoritmul de decodare folosește mecanismul de dominanță.

Gena funcțională cu valoarea "0" este dominantă dacă în poziția corespunzătoare din oricare din genele selectoare este prezentă o alelă cu valoarea 'M'. Altfel este dominantă gena funcțională cu valoarea "1". Rezultatul acestui algoritm este o hartă de dominanță reprezentată în figura 2.17.

	0M	0m	1M	1m
0M	0	0	0	0
0m	0	0	0	1

IM	0	0	1	1
Im	0	1	1	1

Fig. 2.17 Harta de dominanță întocmită de Hollstien

Acest mecanism de dominanță se poate simplifica prin folosirea unui alfabet cu 3 simboluri: {0,1,2}. În acest caz, 2 semnifică "1" dominant, iar 1 semnifică "1" recesiv.

În concluzie, se poate deduce că:

- atât 2 cât și 1 sunt asociați cu "1"
- 2 domină pe 0
- 0 domină pe 1

Harta de dominanță asociată, numită și hartă de dominanță trialectică este reprezentată în figura 2.18.

	0	1	2
0	0	0	1
1	0	1	1
2	1	1	1

Fig. 2.18 Harta de dominanță trialectică

Folosirea acestui alfabet are avantajul că reduce spațiul de memorie necesar pentru cromozomi, deoarece informația de dominanță necesită numai $\frac{1}{2}$ bit.

4. Goldberg și Smith [Gol 89] au comparat performanțele unui algoritm genetic haploid cu unul diploid într-o problemă de optimizare nestaționară și concluzia lor a fost că în unele aplicații ale algoritmilor genetici, folosirea mecanismului de diploidie și dominanță poate duce la creșterea semnificativă a performanțelor.

2.5.2. Operatorul de inversiune

Mecanismul natural de inversiune taie un cromozom în două puncte, separând genele de locul lor, inversează capetele subcromozomului detașat și apoi îl leagă în același loc. [Gol 89]

În algoritmi genetici, dacă s-ar folosi operatorul de inversiune în această formă simplificată, de la un individ I_i reprezentat în tabelul 2.10 s-ar obține un descendent D_i . În exemplul prezentat s-au ales aleator două puncte de-a lungul cromozomului: $k_1 = 2$ și $k_2 = 6$.

Tabelul 2.10. Exemplu de formă simplificată de inversiune

	$k_1 = 2, k_2 = 6$
I_i	10 1110 11
D_i	10 0111 11

În natură, funcția alelelor este independentă de locul lor, astfel încât ele își păstrează semnificația și în urma inversiunii. În cazul algoritmilor genetici însă, semnificația alelelor depinde de locul lor.

Pentru a asigura algoritmilor genetici o flexibilitate similară, s-a încercat folosirea unei metode de codare care asociază numere pozitive de la 1 la 8 cu alelele unui cromozom, așa cum s-a reprezentat în figura 2.19.

1	2	3	4	5	6	7	8
1	0	1	1	1	0	1	1

Fig. 2.19 Asocierea numerelor cu alelele unui cromozom

Folosind această metodă de codare, prin aplicarea operatorului de inversiune se obține cromozomul reprezentat în figura 2.20.

1	2	6	5	4	3	7	8
1	0	0	1	1	1	1	1

Fig. 2.20 Cromozomul obținut prin aplicarea operatorului de inversiune

Folosind această metodă de codare extinsă, valorile biților memorează semnificația lor inițială, independent de poziția ocupată în șirul de biți.

Efectul imediat al acestei metode de codare este însă faptul că o singură inversiune nu modifică valoarea decodată a individului, deci nu are influență directă asupra funcției fitness. Are însă dezavantajul că impune restricții asupra operatorului de încrucișare, deoarece permite numai schimbarea biților care sunt asociați unor mulțimi egale de numere pozitive atribuite alelelor.

Deși s-au încercat mai multe aplicații cu algoritmi genetici care implementează operatorul de inversiune, rezultatele obținute sunt contradictorii și până în prezent nu există o abordare care să clarifice rolul operatorului de inversiune.

2.6. Reinsurare

În cazul în care, prin aplicarea operatorilor de selecție, încrucișare și mutație se produc descendenți mai puțini decât mărimea populației, pentru a păstra constantă mărimea acesteia, descendenții trebuie reinserați în vechea populație.

Pe de altă parte, dacă nu se folosesc toți descendenții produși de algoritmi genetici, ori dacă s-au produs mai mulți descendenți decât mărimea populației, trebuie folosită o schemă de reinsurare pentru a determina care indivizi vor face parte din noua generație. [sys 01]

În cazul selecției locale se folosește reinsurarea locală, iar pentru alte tipuri de selecție se folosește reinsurarea globală.

2.6.1. Reinsurarea globală

În funcție de operatorul de selecție folosit, există diferite metode pentru reinsurare globală:

Reinsurare pură. Operatorul de selecție produce un număr de descendenți egal cu mărimea populației și se aplică reinsurarea pură care înlocuiește toți părinții cu descendenții produși.

Reinsurare uniformă. Operatorul de selecție produce un număr mai mic de descendenți decât mărimea populației. După aplicarea operatorilor de încrucișare și mutație se folosește reinsurarea uniformă care înlocuiește părinții uniform aleator;

Reinsurare elitistă. Operatorul de selecție produce un număr mai mic de descendenți decât mărimea populației. După aplicarea operatorilor de încrucișare și mutație se folosește reinsurarea elitistă care înlocuiește părinții mai puțin performanți;

Reinsurare bazată pe fitness. Operatorul de selecție produce un număr mai mare de descendenți decât mărimea populației. După aplicarea operatorilor de încrucișare și mutație se folosește reinsurarea bazată pe fitness care reinserează numai descendenții mai performanți;

Reinserarea pură este cea mai simplă metodă de reinserare globală, în care fiecare individ există doar pe durata unei singure generații. Este metoda folosită în algoritmul genetic simplu. Totuși, este foarte posibil ca indivizii performanți să fie înlocuiți fără a produce descendenți mai performanți, ceea ce duce la pierderea unei cantități informație.

Reinserarea elitistă, combinată cu *reinserarea bazată pe fitness* previne pierderea informației și este o metodă recomandată. La fiecare generație se înlocuiește un anumit număr din părinții cei mai puțin performanți cu un număr egal de descendenți, aleși dintre descendenții cei mai performanți.

Reinserarea bazată pe fitness implementează o selecție cu trunchiere între descendenți înainte de inserarea lor în populație. Dezavantajul metodei este faptul că în părinții pot fi înlocuiți cu descendenți mai puțin performanți. Din acest motiv, există posibilitatea ca fitnessul mediu să scadă.

2.6.2. Reinserarea locală

În selecția locală, indivizii sunt selectați într-o vecinătate locală. Reinserarea descendenților are loc exact în aceeași vecinătate. Astfel, se menține caracterul local al informației.

Pentru alegerea părinților care urmează să fie înlocuiți, precum și pentru alegerea descendenților care vor fi reinserați, sunt posibile următoarele metode:

- reinserează fiecare descendent și înlocuiește indivizii în vecinătatea dată, uniform aleator;
- reinserează fiecare descendent și înlocuiește indivizii cei mai puțin performanți în vecinătatea dată;
- reinserează descendentul mai performant decât părintele cel mai puțin performant în vecinătatea dată și înlocuiește indivizii cei mai puțin performanți din acea vecinătate;
- reinserează descendenții mai performanți decât părintele cel mai puțin performant în vecinătatea dată și înlocuiește părintele;
- reinserează descendentul mai performant decât părintele cel mai puțin performant în vecinătatea dată și înlocuiește indivizii din acea vecinătate uniform aleator;
- reinserează descendentul mai performant decât părintele și înlocuiește părintele;

2.7. Implementări paralele ale algoritmilor genetici

Un algoritm genetic secvențial se poate implementa în sisteme multiprocesor, deoarece multe etape ale algoritmului se pot executa în paralel.[Sta 95]

Etapele posibile care se pot executa în paralel sunt:

- Evaluarea funcției fitness. Evaluarea funcției fitness pentru un individ se poate face independent de toți ceilalți individ, iar în unele cazuri chiar și evaluarea pentru un același individ se poate realiza în paralel;
- Încrucișarea. Deoarece fiecare individ din generația următoare este produs în urma operației de încrucișare, această operație se poate executa în paralel;
- Mutația. Operatorul de mutație se poate aplica fiecărui fiecărui individ, independent de toți ceilalți indivizi.

Implementările paralele trebuie să țină cont de dependențele dintre datele disponibile în diferitele etape ale algoritmului. De exemplu, dacă operatorul de încrucișare alege unul din

părinți în funcție de fitness, acest fapt presupune că valoarea fitness a tuturor indivizilor este deja calculată.

Există implementări paralele care se bazează pe variante particulare de algoritmi care modelează rolul decisiv al mediului geografic în evoluție. În natură, mediile spațiale reprezintă bariere naturale care separă populațiile, formând regiuni mai mult sau mai puțin izolate, iar schimbul de informații este mai puțin frecvent și mai puțin intensiv între aceste regiuni decât în interiorul regiunilor.

Modelând aceste bariere naturale, există variante migraționiste de algoritmi genetici.

Modelul migraționist

Modelul migraționist divide o populație mare în subpopulații mai mici, și în fiecare din aceste subpopulații funcționează independent un algoritm genetic, pe durata unui anumit număr de generații, numit timp de izolare.

După acest timp de izolare, se face o redistribuire a unui număr de indivizi (migrație) între subpopulații. Numărul de indivizi care sunt schimbați determină *rata migrației*.

Rata migrației, metoda de alegere a indivizilor pentru migrație și metoda de migrație stabilesc informația care se schimbă între subpopulații.

Un avantaj al acestei implementări este faptul că, pentru fiecare subpopulație, calculele asociate unui algoritm genetic secvențial se pot face în paralel. Astfel, fiecare procesor dintr-un sistem multiprocesor poate fi destinat unei singure subpopulații, iar viteza mare obținută permite creșterea globală a mărimii populației. Pe de altă parte, implementarea paralelă a modelului migraționist are nu numai avantajul creșterii vitezei de calcul, dar necesită și mai puține evaluări pentru calculul fitnessului, în comparație cu un algoritm similar care ar fi implementat cu o singură populație.

Un alt avantaj al metodei este faptul că, deoarece evoluțiile algoritmilor genetici din subpopulații sunt independente, se explorează diferite regiuni ale spațiului de căutare.

Modelele migraționiste se clasifică în funcție de gradul de interacțiune dintre subpopulații și de modul în care se produce această interacțiune. Deoarece interacțiunea dintre subpopulații se realizează prin indivizii care migrează, clasificarea modelelor migraționiste se bazează pe analiza metodelor de alegere a indivizilor pentru migrație și pe felul în care se face migrarea indivizilor.

Metode de alegere a indivizilor pentru migrație:

- *Uniform aleator.* Indivizii pentru migrare se aleg într-o manieră aleatoare;
- *Bazată pe fitness.* Se aleg pentru migrare indivizii cei mai performanți.

În funcție de modul în care se face migrarea indivizilor între subpopulații, există mai multe posibilități de implementare: [sys 01]

- Într-o topologie de rețea completă, fără restricții. Este cea mai populară strategie de migrație. Indivizii pot migra de la oricare din subpopulații la oricare alta. În fiecare subpopulație se formează o mulțime de potențiali imigranți, din care se aleg aleator indivizii care vor migra efectiv. Această topologie este reprezentată în figura 2.21.

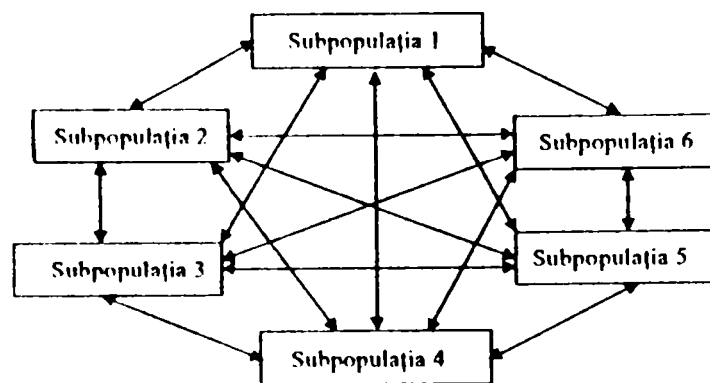


Fig. 2.21. Topologie de rețea completă, fără restricții

- Într-o topologie inel. Topologia inel este o rețea simplă, în care indivizii migrează între subpopulațiile direcțional adiacente. Această topologie este reprezentată în figura 2.22.

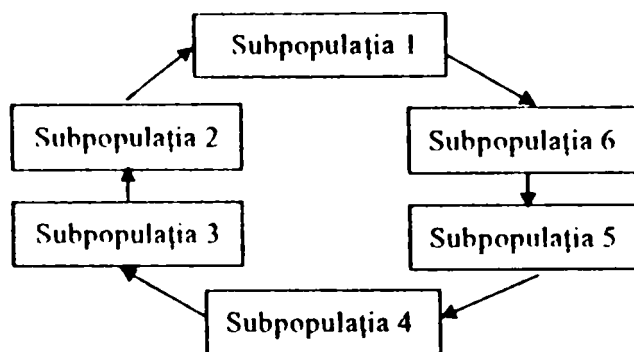


Fig. 2.22. Topologie de inel

- Într-o topologie bazată pe vecinătăți. Această topologie este similară cu migrația inel, în sensul că migrația se face numai între vecinii cei mai apropiați, dar se deosebește migrația inel prin faptul că migrația între subpopulații se poate face în orice direcție. Această topologie este reprezentată în figura 2.23.

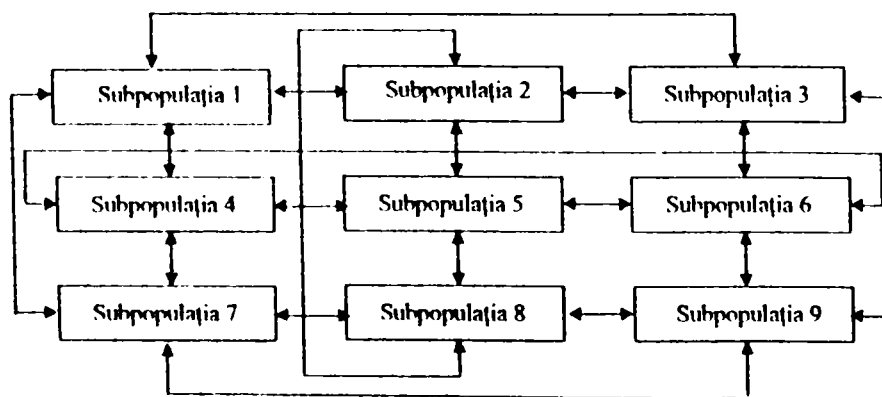


Fig. 2.23. Topologie bazată pe vecinătăți

2.8. Parametri unui algoritm genetic

Eficiența unui algoritm genetic este influențată în mare măsură de valorile alese pentru parametri algoritmului: mărimea populației N , probabilitatea încrucișării P_c și probabilitatea operatorului de mutație P_m .

DeJong [Jon 75], în urma examinării rezultatelor obținute în 5 probleme de test, a recomandat următoarele valori pentru parametrii algoritmului genetic:

$$[N, P_f, P_m] = [50, 0.60, 0.001] \quad (2.27)$$

Grefenstette [Gre 89] a făcut o optimizare a acestor parametri, prin aplicarea algoritmilor genetici în diferite tipuri de probleme și a făcut următoarele recomandări:

- În problemele în care s-a folosit ca indicator fitnessul mediu al întregii populații pentru fiecare generație:

$$[N, P_f, P_m] = [30, 0.95, 0.01] \quad (2.28)$$

- În problemele în care s-a folosit ca indicator fitnessul celui mai performant individ în fiecare generație: $[N, P_f, P_m] = [80, 0.45, 0.01]$ (2.29)

În general, indiferent de tipul problemei de rezolvat, mărimea populației nu poate fi mai mică de 25-30 de indivizi. Pentru problemele cu un număr mare de parametri se recomandă o populație mai mare, formată din sute de indivizi.

2.9. Bazele teoretice ale algoritmilor genetici

Algoritmii genetici folosesc operatori probabilistici și se comportă în mod diferit în puncte diferite ale spațiului de căutare. Din acest motiv, analiza lor este dificilă.

Din punct de vedere istoric, algoritmii genetici cu codare binară sunt cei mai vechi și au fost mai mult studiați din punct de vedere teoretic.

2.9.1. Analiza teoretică a algoritmilor genetici cu codare binară

Holland [Gol 89] a fundamentat teoretic algoritmii genetici cu codare binară și a definit noțiunea de schemă (*schemata*), iar Goldberg a introdus noțiunea de blocuri de construcție (*building blocks*).

Holland a arătat că analiza algoritmilor genetici poate începe prin căutarea unor similarități între șirurile de biți ale populației, precum și a unei relații dintre aceste similarități și performanțe superioare.

Se prezintă în continuare definițiile unor termeni folosiți în analiza algoritmilor genetici cu codare binară.

Definiția 2.8. Se numește secvență A de lungime L o succesiune de forma:

$$A = a_1 a_2 \dots a_L, \text{ unde } a_i \in \{0, 1\}, \forall i \in \{1, 2, \dots, L\}.$$

Pentru a reprezenta similaritățile dintre secvențe de biți, Holland a introdus noțiunea de schemă.

Definiția 2.9. O schemă H de lungime L este o succesiune de forma:

$$H = b_1 b_2 \dots b_L, \text{ unde } b_i \in \{0, 1, *\}, \forall i \in \{1, 2, \dots, L\}.$$

Simbolul $*$ într-o poziție i semnifică faptul că b_i este indiferent, poate fi 1 sau 0.

Definiția 2.10. O secvență $A = a_1 a_2 \dots a_L$ este o instanță a unei scheme

$H = b_1 b_2 \dots b_L$, dacă pentru orice $b_i \neq *$ este îndeplinită relația $b_i = a_i$.

De exemplu, secvențele: 10000 și 00000 sunt instanțe ale schemei *0000.

Definiția 2.11. Pentru o schemă H , i este o poziție fixă dacă $b_i = 1$ sau $b_i = 0$, iar dacă $b_i = *$, atunci i este o poziție liberă.

Definiția 2.12. Ordinul $o(H)$ al unei scheme este numărul pozițiilor fixe din H .

De exemplu, schema: $H = 011*1**$ are ordinul $o(H) = 4$.

Definiția 2.13. Se numește lungime fundamentală a unei scheme, distanța care separă prima poziție fixă din H de ultima poziție fixă. Lungimea fundamentală a unei scheme se notează cu $\delta(H)$.

De exemplu, schema $H = 011*1**$ are lungimea fundamentală $\delta(H) = 5 - 1 = 4$ pentru că ultima poziție fixă este 5, iar prima este 1, iar schema $H_1 = 0*****$ are $\delta(H_1) = 1 - 1 = 0$.

Definiția 2.14. Fitnessul F_H al unei scheme H este media fitnessului cromozomilor din populația de la generația t , care sunt instanțe ale acelei scheme.

Definiția 2.15. Fitnessul relativ F_{RH} al unei scheme este raportul dintre fitnessul schemei și fitnessul mediu al populației.

$$F_{RH} = \frac{F_H}{F_{mediu}} \quad (2.30)$$

unde s-a notat cu F_{mediu} fitnessul mediu al tuturor cromozomilor din generația t .

În cazul codării cu L cifre binare, un cromozom este o instanță a unui număr de 2^L scheme diferite. Dacă populația conține N cromozomi, numărul minim de scheme diferite va fi 2^L , iar numărul maxim va fi $N \cdot 2^L$. Din acest motiv, chiar și pentru valori mici ale parametrilor L și N , numărul schemelor posibile este mare. De aici se poate deduce că procesarea unui număr de N cromozomi în generația t corespunde cu procesarea unui număr de scheme cuprins între 2^L și $N \cdot 2^L$. Acest număr crește odată cu timpul de rulare al algoritmilor genetici.

Definiția 2.16. Paralelismul implicit este proprietatea algoritmilor genetici de a procesa în paralel un număr mare de scheme.

O consecință a paralelismului implicit este observația că o populație de mărime N mai mare, are potențialul de a găsi soluția optimă sau aproape optimă într-un timp mai mic decât o populație cu mărime mai mică.

Definiția 2.17. Blocurile de construcție [Gol 89] sunt scheme cu ordin mic, cu lungime mică și care corespund unei valori fitness performante.

Procesul de căutare implementat de algoritmi genetici se apropie de optim în situația în care blocurile de construcție se combină pentru a forma blocuri de construcție mai performante.

Folosind noțiunea de blocuri de construcție, Goldberg identifică 6 etape necesare pentru rezolvarea unei probleme prin intermediul algoritmilor genetici: [Dum 00]

- Stabilirea obiectului procesării pentru algoritmi genetici;
- Generarea unor blocuri de construcție inițiale adecvate;
- Garantarea creșterii numărului de blocuri de construcție;
- Asigurarea unei decizii bune pentru blocurile de construcție;
- Rezolvarea problemelor legate de dificultățile întâmpinate de blocurile de construcție;
- Asigurarea combinării blocurilor de construcție în scopul găsirii unei soluții mai bune.

Holland și apoi Goldberg au studiat efectul operatorilor genetici asupra schemelor. Ei au arătat că, dată fiind proprietatea operatorului de selecție, cromozomii care sunt instanțe ale unei scheme mai performante sunt selectați cu o probabilitate mai mare.

Operatorii de încrucișare și mutație însă pot distruge cromozomi care sunt instanțe ale unei anumite scheme. Pentru schemele cu ordin mic și cu lungime mică, acest proces de distrugere are o probabilitate redusă.

Considerând operatorul de selecție proporțională, în generația t , un cromozom i este selectat cu probabilitatea

$$P_i = \frac{F(i)}{N \cdot F_{\text{mediu}}} \quad (2.31)$$

Deci cromozomii care sunt instanțe ale unei scheme H vor fi selectați cu probabilitatea $p_H = \frac{F_H}{F_{\text{mediu}}} = F_{RH}$ (2.32)

Dacă se notează cu $m(H, t)$ numărul cromozomilor din generația t care sunt instanțe ale unei scheme H , folosind relația (2.31) se poate deduce relația (2.33).

$$m(H, t + 1) = m(H, t) \cdot p_H = m(H, t) \cdot \frac{F_H}{F_{\text{mediu}}} = m(H, t) \cdot F_{RH} \quad (2.33)$$

Comparând membrul stâng cu membrul drept al relației (2.33), rezultă că dacă $F_{RH} > 1$, avem $m(H, t + 1) > m(H, t)$ (2.34)

Altfel spus, prin operatorul de selecție, numărul de cromozomi care sunt instanțe ale unei scheme cu performanțe mai bune decât media populației, va crește în generația următoare și această proprietate este adevărată pentru fiecare schemă H din populație. Analog, numărul de cromozomi care sunt instanțe ale unei scheme cu performanțe mai mici decât media populației se va reduce în generația următoare.

Luând în considerare operatorul de încrucișare, acesta va distruge unii cromozomi care sunt instanțe ale unei scheme H cu o probabilitate proporțională cu lungimea $\delta(H)$ a schemei.

În ceea ce privește operatorul de mutație, probabilitatea de distrugere a unui cromozom care este o instanță ale unei scheme, este proporțională cu ordinul schemei.

Considerând împreună efectele operatorilor de încrucișare și mutație, o schemă se distruge cu probabilitatea $p_d(H)$ care este proporțională cu lungimea și ordinul ei și supraviețuiește cu probabilitatea $1 - p_d(H)$.

În general, combinând efectele reproducerii, încrucișării și mutației se obține relația:

$$m(H, t + 1) = m(H, t) \cdot F_{RH} \cdot (1 - p_d(H)) \quad (2.35)$$

care reprezintă Teorema fundamentală a algoritmilor genetici.

Teorema schemei, sau teorema fundamentală a algoritmilor genetici. Blocurile de construcție, adică schemele cu lungime mică și ordin mic, care au fitnessul relativ peste media populației, se multiplică exponențial cu numărul generațiilor.

Această teoremă este simplistă, în unele privințe, deoarece presupune că F_H și F_{mediu} au aceeași valoare în fiecare generație, și tratează numai cromozomii înlăturați de operatorii de încrucișare și mutație, neglijând cromozomii noi creați.

Totuși, teorema teorema fundamentală a algoritmilor genetici descrie unele aspecte importante ale acestor algoritmi.

Pornind de la teorema fundamentală a algoritmilor genetici, Goldberg (1989) a sugerat următoarele două principii care trebuie respectate în proiectarea algoritmilor genetici: [Dum 00]

- Principiul blocurilor de construcție. Utilizatorul trebuie să codeze indivizii de așa manieră încât schemele scurte și de ordin mic să fie relevante pentru problema considerată.
- Principiul alfabetului minim. Utilizatorul trebuie să opteze pentru cel mai mic alfabet care permite o abordare naturală a problemei.

Eshelman și Schaffer [Dum 00] au analizat posibilitatea codării indivizilor cu numere reale și au arătat avantajele acestei metode de codare:

- Precizia reprezentării crește prin folosirea numerelor reale
- Rangul parametrilor nu este întotdeauna o putere a lui 2

Aceste precizări au creat temporar un paradox, deoarece metoda de codare reală intră în contradicție cu principiul alfabetului minim.

Goldberg [Dum 00] a încercat să rezolve acest paradox, introducând noțiunea de alfabet virtual și a presupus că o problemă codată cu un alfabet de cardinal mare, este redusă rapid în procesul de căutare la o problemă cu un alfabet de cardinal mult mai mic.

Această presupunere este susținută de teorema schemei și explică rezultatele bune obținute în practică de algoritmi genetici cu codare reală.

2.9.2. Alte metode de analiză a algoritmilor genetici

Prin optimizare Monte Carlo, așa cum s-a descris în paragraful 1.2.1, se înțelege o metodă de optimizare care utilizează generarea de numere aleatoare în procesul de căutare a optimului global.

Deoarece algoritmi genetici folosesc numere aleatoare, ei pot fi încadrați într-o oarecare măsură în categoria metodelor de optimizare Monte Carlo.

Skonwiler și Veck, în [Gen 97] au făcut o analiză a algoritmilor genetici priviți ca metode de optimizare Monte Carlo. Autorii au considerat optimizarea globală a unei funcții scalare definite pe un domeniu D finit și au subliniat faptul că, în pasul t , algoritmi genetici selectează puncte din domeniul D , care stabilesc starea curentă a procesului de căutare, stare notată cu X_t .

Secvența de stări X_0, X_1, X_2, \dots poate fi privit ca un proces stohastic, caracterizat prin faptul că starea următoare X_{t+1} depinde numai de starea curentă X_t . Această caracteristică implică observația că procesul stohastic este un lanț Markov și permite modelarea algoritmilor genetici prin lanțuri Markov, pe baza matricilor de tranziție.

Lanțurile Markov pot fi folosite deci pentru modelarea matematică a algoritmilor genetici, dar prezintă dezavantajul că pentru dimensiuni uzuale ale populației și a cromozomilor, matricele de tranziție devin mari.

Din acest motiv, Goldberg și Segrest, [Dum 00] care au modelat algoritmi genetici cu lanțuri Markov au considerat o dimensiune a populației și a cromozomilor artificial mică, iar Nix și Vose, 1992 au folosit numai notații ale matricelor, evitând generarea și manipularea directă a acestora.

O altă metodă de analiză a algoritmilor genetici care a fost abordată de Vose și Liepins este modelarea acestora ca sisteme dinamice. Autorii au stabilit un formalism matematic riguros care modelează un algoritm genetic simplu.[Dum 00]

Deși încercările de modelare matematică ale algoritmilor genetici au pus bazele teoretice ale acestor algoritmi, analiza în cazuri specifice, precum și generalizarea rezultatelor este dificilă.

2.10. Concluzii

În acest capitol s-a prezentat o sinteză documentată asupra cercetărilor actuale legate de algoritmi genetici, și anume:

- principiile generale de funcționare
- terminologia folosită
- metodele de atribuire a funcției fitness
- operatorii de selecție
- operatorii de încrucișare
- operatorii de mutație
- operatorii suplimentari
- metodele de reinsertare a indivizilor în populație
- metodele de implementare paralelă
- bazele teoretice ale algoritmilor genetici

Scopul prezentării este cunoașterea stadiului actual al cercetărilor în acest domeniu, al mecanismelor de funcționare și al algoritmilor folosiți. Aceste cunoștințe sunt utilizate în capitolele următoare în care se prezintă alte aspecte legate de algoritmi genetici, precum și aplicații în domeniul sintezei sistemelor automate.

Folosind cunoștințele prezentate în acest capitol, autoarea a implementat în mediul Matlab un algoritm genetic care a fost necesar pentru aplicațiile realizate și care sunt prezentate în capitolele următoare. Implementarea software dovedește înțelegerea în profunzime a funcționării algoritmilor genetici și a necesitat o analiză riguroasă a algoritmilor utilizați.

Această analiză a urmărit și o prezentare mai clară, în accepțiunea autoarei, însoțită de exemple a algoritmilor.

Elementele de originalitate constau în:

- sistematizarea cunoștințelor dobândite din literatură
- analiza detaliată și exemplificarea algoritmilor

CAPITOLUL 3. ASPECTE LEGATE DE OPTIMIZAREA MULTIOBIECTIV ȘI DE TRATARE A RESTRICȚIILOR FOLOSIND ALGORITMI GENETICI

Din punct de vedere istoric, conceptul de problemă de optim vectorial a fost introdus de Harold W. Kuhn și Albert W. Tucker în 1951. Teoria referitoare la acest tip de optimizare a stagnat însă până în anii 1960, când Leonid Hurwicz a generalizat rezultatele lui Kuhn și Tucker la spațiile vectoriale topologice.

Prima aplicație în inginerie a fost un articol publicat de Zadech în anii 1960. [Coe 96]

Prin menținerea unei populații de soluții, algoritmi genetici pot căuta pentru mai multe soluții în paralel. Această caracteristică face ca algoritmi genetici să fie foarte atractivi pentru rezolvarea problemelor de optimizare multiobiectiv.

3.1. Concepte de bază în optimizarea multiobiectiv

Definiția 3.1. Se numește optimizare multiobiectiv procesul de determinare a unuia sau a mai multor vectori de variabile de decizie care satisfac restricțiile și optimizează o funcție vectorială. Componentele acestei funcții vectoriale sunt funcțiile obiectiv, care sunt descrieri matematice ale unor criterii de performanță uzual competitive. [Coe 96]

Optimizarea multiobiectiv este cunoscută și sub denumirea de optimizare multicriteriu sau optimizare vectorială.

Termenul de optimizare presupune găsirea unor soluții care asigură cele mai bune valori posibile pentru toate componentele funcției obiectiv.

Variabilele de decizie sunt necunoscutele în problema de optimizare. Notăm aceste variabile cu x_j , $j = 1, 2, \dots, n$.

Definiția 3.2 Se numește vector de decizie vectorul \bar{x} format din cele n variabile de decizie (numite și soluții): $\bar{x} = [x_1, x_2, \dots, x_n]^T$ (unde T indică transpusa unui vector coloană în vector linie). Acest vector reprezintă cantitățile numerice pentru care trebuie găsite valori în timpul procesului de optimizare.

În toate problemele de inginerie, există restricții impuse de caracteristicile particulare de mediu, ori de resursele disponibile. Pentru ca o soluție să fie admisibilă, aceste restricții trebuie îndeplinite. Restricțiile descriu dependențele impuse variabilelor de decizie și unor constante implicate în problema de rezolvat. Aceste restricții se exprimă sub forma unor inegalități:

$$g_i(\bar{x}) \geq 0 \quad i = 1, 2, \dots, m \quad (3.1)$$

sau egalități:

$$h_i(\bar{x}) = 0 \quad i = 1, 2, \dots, p \quad (3.2)$$

Trebuie precizat că numărul p de restricții de tip egalitate trebuie să fie mai mic decât numărul n al variabilelor de decizie, deoarece altfel problema nu mai are grade de libertate. Numărul gradelor de libertate este dat de diferența $n-p$. [All 92]

Definiția 3.3 Se numește regiune admisibilă sau mulțime admisibilă X_f mulțimea vectorilor de decizie care satisfac toate restricțiile date de relațiile (3.1) și (3.2). Orice punct \bar{x} din X_f reprezintă o soluție potențială admisibilă.

Pentru a aprecia calitatea unei soluții în spațiul de căutare, trebuie să dispunem de criterii de evaluare. Aceste criterii sunt expresii calculabile în raport cu variabilele de decizie

și se numesc funcții obiectiv. În continuare, funcțiile obiectiv se vor nota cu $f_1(\bar{x}), f_2(\bar{x}), \dots, f_k(\bar{x})$.

Definiția 3.4 Se numește regiunea admisibilă în spațiul obiectiv F imaginea mulțimii X_f în spațiul obiectiv.

Cu alte cuvinte, F reprezintă toate valorile posibile ale vectorului obiectiv.

Definiția 3.5 Vectorul obiectiv este o funcție vectorială definită de:

$$\bar{f}(\bar{x}): X_f \rightarrow F, \quad \bar{f}(\bar{x}) = [f_1(\bar{x}), f_2(\bar{x}), \dots, f_k(\bar{x})]^T \quad (3.3)$$

definită pe mulțimea X_f , cu valori în F .

Fără a pierde din generalitate, se va considera că obiectivul optimizării constă în maximizarea funcției $\bar{f}(\bar{x})$. În probleme reale pot apare situații în care se cere maximizarea sau minimizarea tuturor funcțiilor obiectiv, ori minimizarea unora și maximizarea altora. Orice funcție obiectiv se poate converti din forma destinată minimizării în forma destinată maximizării și invers, ca urmare a valabilității relației:

$$\max(f_i(x)) = - \min(-f_i(x)) \quad (3.4)$$

Folosind definițiile precedente, problema de optimizare multiobiectiv constă în determinarea vectorului $\bar{x}^* = [x_1^*, x_2^*, \dots, x_n^*]^T$ care satisface cele m restricții de tip inegalitate (3.1), cele p restricții de tip egalitate (3.2) și optimizează funcția vectorială $\bar{f}(\bar{x}) = [f_1(\bar{x}), f_2(\bar{x}), \dots, f_k(\bar{x})]^T$, unde $\bar{x} = [x_1, x_2, \dots, x_n]^T$ este vectorul variabilelor de decizie.

Cu alte cuvinte, din mulțimea de valori care satisfac restricțiile (3.1) și (3.2) se identifică mulțimea particulară $x_1^*, x_2^*, \dots, x_n^*$ care determină valorile optime pentru toate funcțiile obiectiv.

Sensul de "optimizare" nu este însă complet definit în acest context, deoarece în probleme reale, rareori va exista o situație în care toate funcțiile $f_i(\bar{x})$ să aibă maximul într-un punct comun \bar{x}^* din X_f . Din acest motiv, \bar{x}^* este de fapt o soluție ideală și definirea unei soluții optime necesită folosirea unor criterii suplimentare. Aspecte legate de acest tip de criterii sunt prezentate în paragrafele următoare.

3.2 Optimizare Pareto

Conceptul de optimizare Pareto a fost formulat de Vilfredo Pareto în secolul XIX și constituie originea cercetărilor în optimizarea multiobiectiv. Acest concept folosește relația de ordonare a soluțiilor admisibile, relație stabilită de funcțiile obiectiv.

În problemele de optimizare cu o singură funcție obiectiv, această funcție ordonează complet mulțimea soluțiilor admisibile.

Astfel, pentru două soluții $\bar{a}, \bar{b} \in X_f$ avem fie $f(\bar{a}) \geq f(\bar{b})$, fie $f(\bar{b}) > f(\bar{a})$. Din aceste relații rezultă imediat calitatea soluției \bar{a} în raport cu soluția \bar{b} .

În problemele de optimizare multiobiectiv, mulțimea X_f nu este complet ordonată, ci doar parțial ordonată. Această situație este ilustrată în fig. 3.1, care presupune o problemă de maximizare a două funcții obiectiv f_1 și f_2 .

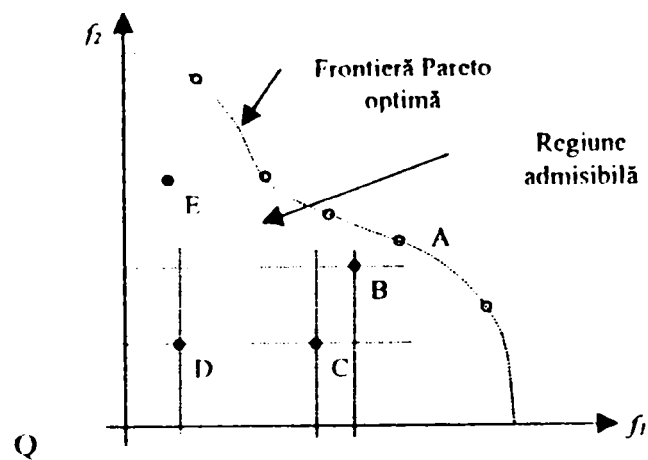


Fig. 3.1. Exemlu de optimizare cu două funcții obiectiv.

În figura 3.1, punctul B este mai bun decât punctul C deoarece asigură performanțe mai bune atât pentru f_1 cât și pentru f_2 .

În raport cu punctul D, C este mai bun, deoarece îi corespunde o valoare mai mare în raport cu f_1 .

Dacă se compară însă B cu E nici unul nu poate fi considerat superior, deoarece B în comparație cu E asigură performanțe mai bune pentru f_1 și mai slabe pentru f_2 .

În scopul descrierii matematice a acestor situații, relațiile \geq și $>$ se extind la vectorii obiectiv.

Doi vectori de decizie \bar{a} și \bar{b} pot determina trei situații pentru vectorii obiectiv în raport cu relația " \geq ":

$$f(\bar{a}) \geq f(\bar{b}) \quad (3.5)$$

$$f(\bar{b}) \geq f(\bar{a}) \quad (3.6)$$

$$\text{sau } (f(\bar{a}) \not\geq f(\bar{b})) \wedge (f(\bar{b}) \not\geq f(\bar{a})) \quad (3.7)$$

Adăugând și situația pentru relația " $>$ ", se poate defini noțiunea de dominanță.

Definiția 3.6 Orice doi vectori de decizie \bar{a} și \bar{b} se pot afla într-una din următoarele situații: [Fon 93]

$$\bar{a} \succ \bar{b}, \text{ adică } \bar{a} \text{ domină pe } \bar{b} \text{ dacă } f(\bar{a}) > f(\bar{b}) \quad (3.8)$$

$$\bar{a} \succeq \bar{b}, \text{ adică } \bar{a} \text{ domină moderat pe } \bar{b} \text{ dacă } f(\bar{a}) \geq f(\bar{b}) \quad (3.9)$$

$$\bar{a} \sim \bar{b}, \text{ adică } \bar{a} \text{ este incomparabil cu } \bar{b} \text{ dacă} \\ (f(\bar{a}) \not\geq f(\bar{b})) \wedge (f(\bar{b}) \not\geq f(\bar{a})) \quad (3.10)$$

În figura 3.2 se ilustrează situația din (3.8) și (3.10). Dreptunghiul reprezentat cu o culoare deschisă delimitează regiunea din spațiul obiectiv care e dominată de vectorul de decizie ce corespunde punctului B. Dreptunghiul reprezentat cu culoare închisă conține vectorii obiectiv corespunzători cu vectorii de decizie care domină soluția asociată cu punctul B. Toți vectorii de decizie cărora le corespund vectori obiectiv în afara acestor dreptunghiuri sunt incomparabili cu soluția asociată punctului B.

Definiția 3.7 Un vector de decizie $\bar{x} \in X_f$ este nedominat în raport cu o submulțime $A \subset X_f$ dacă:

$$\exists \bar{a} \in A \text{ astfel încât } \bar{a} \succ \bar{x} \quad (3.11)$$

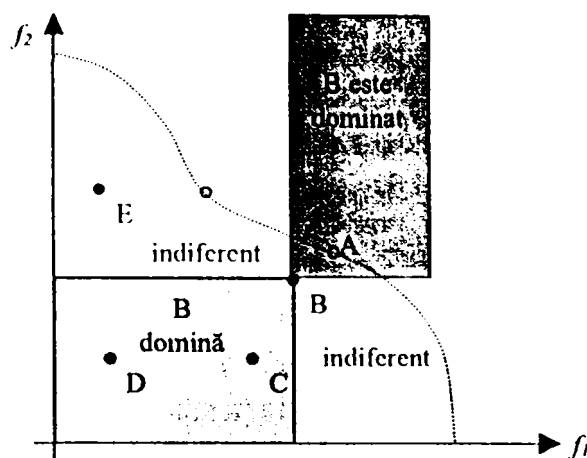


Fig. 3. 2. Relații de dominanță în spațiul obiectiv.

Definiția 3.8 Pentru o submulțime $A \subseteq X_f$, funcția $p(A)$ exprimă mulțimea vectorilor de decizie nedominați în A :

$$p(A) = \{ \bar{a} \in A \mid \bar{a} \text{ este nedominat în } A \}.$$

Mulțimea $p(A)$ este mulțimea vectorilor de decizie nedominați în A , iar mulțimea vectorilor obiectiv corespunzători $f(p(A))$ este frontul nedominat în A .

Definiția 3.9. Mulțimea $X_p = p(X_f)$ se numește mulțime Pareto optimă, iar mulțimea $Y_p = f(X_p)$ se numește frontul Pareto optim.

Definiția 3.10 Un vector de variabile de decizie $\bar{x}^* \in X_f$ este Pareto optim dacă nu există un alt $\bar{x} \in X_f$ care să îndeplinească simultan condițiile:

$$f_i(\bar{x}) \geq f_i(\bar{x}^*) \text{ pentru toți } i = 1, 2, \dots, k \quad (3.12)$$

și

$$f_j(\bar{x}) > f_j(\bar{x}^*) \text{ pentru cel puțin un } j. \quad (3.13)$$

Această definiție se poate exprima astfel: $\bar{x}^* \in X_f$ este o soluție Pareto optimă dacă nu există un vector admisibil de variabile de decizie $\bar{x} \in X_f$ care ar determina creșterea unei componente a vectorului obiectiv fără a determina simultan o descreștere a cel puțin unei alte componente a vectorului obiectiv.

3.3. Rezolvarea problemelor de optimizare multiobiectiv folosind algoritmi genetici

În prezent există un număr mare de metode folosite pentru rezolvarea problemelor de optimizare multiobiectiv. Majoritatea acestora încearcă să genereze mulțimea Pareto optimă element cu element, câte unul la un moment dat. Mai mult decât atât, majoritatea metodelor folosite sunt foarte sensibile la forma frontului Pareto optim, astfel încât cele mai multe sunt inadecvate dacă frontul Pareto optim este concav, ori dacă acesta este discontinuu. [Win 98], [Kaw 99].

Algoritmii de evoluție și în special algoritmii genetici sunt o alternativă convenabilă pentru rezolvarea problemelor de optimizare multiobiectiv, deoarece ei folosesc o mulțime

de soluții posibile (populația). Acest lucru permite găsirea unei mulțimi de soluții Pareto optime. În plus, algoritmi de evoluție sunt mai puțin sensibili la forma și continuitatea frontului Pareto optim, fiind adecvați și pentru fronturi concave, ori discontinue.

3.3.1. Aspecte specifice legate de aplicarea algoritmilor genetici în optimizarea multiobiectiv

Aplicarea algoritmilor genetici în optimizarea multiobiectiv este asociată cu două probleme majore:

- Stabilirea unei metode de atribuire a funcției fitness și de aplicare a operatorului de selecție în așa fel încât căutarea să fie dirijată corect către mulțimea Pareto optimă;
- Menținerea diversității populației pentru a preveni convergența prematură și pentru a obține o distribuție uniformă a indivizilor pe frontul Pareto optim.

3.3.1.1. Atribuirea funcției fitness și aplicarea operatorului de selecție

Spre deosebire de optimizarea unei singure funcții obiectiv, în optimizarea multiobiectiv, atât metodele de atribuire a funcției fitness cât și metodele de selecție trebuie modificate în așa fel încât algoritmi genetici să poată găsi mulțimea Pareto optimă. În paragrafele următoare se prezintă caracteristicile acestor metode.

a. Selecția prin comutarea obiectivelor

Această metodă de selecție realizează o comutare între funcțiile obiectiv. În generații diferite, operatorul de selecție folosește funcții obiectiv potențial diferite pentru a decide care membru al populației va fi copiat în populația intermediară.

În literatură există mai multe abordări în această privință:

- Schaffer a propus o metodă de selecție în care se folosesc în procente egale toate funcțiile obiectiv. [Sch 85]
- Fourman [Fou 85] a aplicat o metodă de selecție în care se folosesc anumite funcții obiectiv, sau funcții obiectiv alese aleator.
- Kursawe [Kur 91] a propus atribuirea unei probabilități pentru a decide care din funcțiile obiectiv va reprezenta următorul criteriu de selecție. Aceste probabilități pot fi definite de utilizator, ori pot fi alese aleator.

Aceste abordări sunt puțin performante în cazul în care frontul Pareto nu este convex.

b. Selecția bazată pe conceptul de optim Pareto

Această metodă de selecție a fost propusă de Goldberg și Richardson [Gol 87] și a fost aplicată de Srinivas și Deb. [Sri 99]

Metoda folosește o procedură iterativă de ordonare:

- Toți indivizii nedominați din populație se clasifică într-o categorie și li se atribuie rangul 1, după care grupul de indivizi clasificați se memorează și se înlătură din populație;
- Se consideră populația din care s-au înlăturat indivizii clasificați, se determină indivizii nedominați în această populație. Acești indivizi nedominați primesc rangul 2;
- Procesul continuă până la clasificarea întregii populații.
- Rangul individului se atribuie funcției fitness.

În această abordare, funcția fitness depinde de performanțele relative ale indivizilor din populație.

Deși acest algoritm este capabil să găsească soluțiile Pareto optime, performanțele sale sunt influențate de dimensiunea spațiului de căutare [Fon 93]. Dacă acesta crește, ori numărul obiectivelor este mare, timpul necesar pentru calcul devine semnificativ.

3.3.1.2. Menținerea diversității populației

În scopul aproximării frontului Pareto optim, algoritmi de optimizare trebuie să fie capabili să găsească soluții multiple, considerabil diferite. Din acest motiv, o cerință foarte importantă este menținerea diversității populației. Deoarece un algoritm genetic simplu tinde să convergă spre o singură soluție, s-au implementat mai multe metode care permit algoritmului genetic să găsească soluții multiple.

a) *Gruparea (crowding)* este o noțiune care a fost tratată în paragraful 2.2.5.

Metoda de grupare nu modelează o metodă prin care populația devine un amestec stabil de specii, dar contribuie la menținerea unei diversități preexistente. Diversitatea este definită prin prezența unor reprezentanți optimi pentru toate speciile.

b) *Divizarea funcției fitness (fitness sharing)* [Gol 87].

Este metoda cea mai des folosită. Ideea de bază a algoritmului pleacă de la observația că nu este recomandabilă acumularea unor indivizi asemănători în aceeași zonă, numită nișă, deoarece aceasta ar duce la o lipsă de informații într-un domeniu mare din spațiul de căutare. Scopul acestei metode este distribuirea populației în jurul extremelor din spațiul obiectiv, astfel încât în jurul fiecărui extrem să existe un procent din populație proporțional cu valoarea aceluia extrem. Metoda a fost prezentată în paragraful 2.1.2.2.

c) *Restricții de împerechere (restricted mate)*.

În această situație, doi indivizi pot fi împerecheați numai în cazul în care ei se află la o distanță mai mică decât o distanță maximă unul față de celălalt, distanță definită printr-un parametru σ_{mate} . Astfel, se evită împerecherea indivizilor aflați la distanță mare în spațiul obiectiv.

d) *Izolarea prin distanță*.

Izolarea se modelează prin formarea unor subpopulații distincte, între care se produce un schimb ocazional de indivizi. Schimbul de indivizi este similar cu fenomenul de migrație din sistemul biologic.

e) *Supraspecificarea indivizilor*.

În această metodă, individul conține o parte activă și o parte inactivă. Prima parte specifică vectorul de decizie, în timp ce a doua parte este redundantă și nu are funcție. Pe durata evoluției, partea inactivă poate deveni activă și invers. Diploidia care a fost tratată în paragraful 2.5.1 este un exemplu de supraspecificare.

f) *Reinițializarea*.

Această metodă previne convergența prematură prin reinițializarea unei părți din populație, după o anumită perioadă de timp, ori în situațiile în care căutarea stagnează. În [Fon 94] se prezintă o formulare a unei metode de optimizare multiobiectiv în care, la fiecare generație se introduce în populație un număr redus de indivizi generați aleator.

g) *Elitism*.

De Jong [Jon 75] a sugerat o metodă de copiere sistematică a celui mai bun individ din populația P_i în populația P_{i+1} , pentru a preveni pierderea lui prin aplicarea operatorilor

genetici. Această strategie se numește elitism. De Jong a arătat că elitismul poate mări performanțele unui algoritm genetic unimodal.

În optimizarea multiobiectiv, elitismul are un rol important. Spre deosebire însă de optimizarea cu o singură funcție obiectiv, incorporarea elitismului în algoritmul genetic multimodal este mult mai complexă. În loc de menținerea un singur individ, se folosește o mulțime de elită a cărei dimensiune poate fi considerabilă în raport cu mărimea populației.

În acest context, se ridică două probleme:

- Definirea indivizilor care se memorează în mulțimea de elită, precum și durata memorării acestora;
- Definirea momentului de timp și a modalității de reinserare în populație a mulțimii de elită.

În acest sens, în literatură există două strategii de bază:

- Prima strategie urmează direct ideea lui De Jong și copiază din populația P_t în populația următoare P_{t+1} indivizii nedominați [Vel 98]. Există în aceeași abordare și variante mai restrictive, în care mulțimea de elită constă dintr-un număr k de indivizi ai căror vectori obiectiv maximizează câte una din cele k funcții obiectiv.
- A doua strategie este mai des folosită în optimizarea multiobiectiv și este mai complexă. Pe parcursul algoritmului, se memorează o mulțime externă de indivizi \bar{P} (numită mulțime externă de elită), care corespunde unor vectori de decizie nedominați de nici una din soluțiile generate în timpul evoluției. În fiecare generație, se înlocuiește un anumit procent din populație cu indivizi din mulțimea externă de elită. Indivizii din mulțimea de elită care înlocuiesc indivizi din populație pot fi aleși aleator [Ish 96], ori pe baza unui criteriu, cum ar fi de exemplu numărul de generații pe durata cărora un individ este memorat în mulțimea de elită.

3.3.2. Clasificarea metodelor de rezolvare a problemelor de optimizare multiobiectiv

În rezolvarea problemelor de optimizare multiobiectiv, se pot identifica două aspecte distincte: căutare și decizie.

a) Primul aspect se referă la căutarea soluțiilor Pareto optime în mulțimea admisibilă. La fel ca și în optimizarea cu o singură funcție obiectiv, în spațiile de căutare mari și complexe este dificilă folosirea metodelor de optimizare exacte, cum ar fi programarea liniară.

Potențialul algoritmilor de evoluție pentru acest tip de probleme a fost sugerat de Rosenberg în anii 1960, dar prima aplicație a fost implementată doar în anul 1985 de Schaffer. Timp de aproape 10 ani, acest domeniu a rămas practic neatins și a început să se dezvolte în 1995, când s-au realizat mai multe aplicații de optimizare multiobiectiv folosind algoritmi genetici.[Vel 98]

b) Al doilea aspect se referă la prezența unui element de decizie care determină modul în care se face alegerea, din mulțimea admisibilă, a elementelor care vor fi testate pentru mulțimea Pareto optimă.

În funcție de felul în care se combină aceste două aspecte, metodele de optimizare multiobiectiv se pot clasifica în trei categorii:

1. Decizia se face înainte de căutare, prin formarea unei singure funcții obiectiv care include implicit informații de preferință furnizate prin elementul de decizie. Metoda are avantajul că poate folosi strategiile pentru optimizarea cu o singură

funcție obiectiv. Dezavantajul constă în faptul că necesită informații detaliate despre problemă, informații care uzual nu sunt disponibile.

2. Optimizarea se face fără nici o informație de preferințe, rezultatul procesului de căutare fiind o mulțime de soluții Pareto optime ideale, iar elementul de decizie face o alegere finală din elementele acestei mulțimi. Această metodă elimină dezavantajul primei metode, dar exclude posibilitatea ca elementul de decizie să reducă complexitatea căutării.

3. Elementul de decizie poate interveni în timpul procesului de optimizare. Astfel, după fiecare etapă de optimizare, elementul de decizie specifică informații de preferință suplimentare, ghidând astfel căutarea. Această metodă este o combinație a primelor două metode și include avantajele lor.

O altă clasificare a metodelor de optimizare multiobiectiv bazate pe algoritmi evolutivi se poate face în funcție de apariția lor cronologică. Astfel, distingem:

1. Metode de optimizare multiobiectiv din prima generație, sau tradiționale care la rândul lor se divid în abordări care nu sunt bazate pe conceptul de optim Pareto și dimpotrivă, abordări bazate pe acest concept.

2. Metode de optimizare multiobiectiv din a doua generație.

În cele ce urmează, se va face o trecere în revistă a acestor metode în funcție de apariția lor cronologică și în fiecare caz se vor sublinia caracteristicile lor în funcție de felul în care se combină aspectele de căutare și decizie.

Pentru simplificarea notației, se renunță la notarea vectorilor de decizie cu simbolul x . Aceștia vor fi notați cu x și vor avea aceeași semnificație.

3.4. Metode de optimizare multiobiectiv din prima generație

3.4.1. Metode de optimizare care nu sunt bazate pe conceptul de optim Pareto

În esență, aceste metode reunesc toate obiectivele într-o singură funcție obiectiv parametrizată. Uneori, parametrii acestei funcții nu sunt stabiliți de elementul de decizie, ci sunt modificați sistematic în timpul procesului de optimizare, astfel încât se parcurg mai multe etape de optimizare cu parametri diferiți, cu scopul unei aproximări cât mai bune a mulțimii Pareto optime.

Aceste metode au următoarele caracteristici:

- Nu folosesc direct conceptul de optim Pareto;
- Sunt incapabile să genereze anumite porțiuni ale frontului Pareto;
- Sunt ușor de implementat, dar pot trata doar un număr redus de funcții obiectiv.

Principalele metode care nu sunt bazate pe conceptul de optim Pareto sunt: Metoda coeficienților de ponderare, Algoritmii genetici VEGA, Ordonarea lexicografică, Metoda restricțiilor, Metoda scopurilor.

3.4.1.1. Metoda coeficienților de ponderare

Metoda coeficienților de ponderare a fost prima metodă aplicată pentru generarea unor soluții Pareto optime în optimizarea multiobiectiv.

Problema de optimizare multiobiectiv este transformată într-o problemă de optimizare cu o singură funcție obiectiv printr-o combinație liniară a obiectivelor:

$$\max y = f(x) = w_1 \cdot f_1(x) + w_2 \cdot f_2(x) + \dots + w_k \cdot f_k(x), \text{ pentru } x \in X_f \quad (3.14)$$

unde w_i sunt coeficienți de ponderare, care, de obicei sunt normalizați astfel încât

$$\sum_{i=1}^k w_i = 1 \quad (3.15)$$

Metoda necesită cunoștințe apriorice despre problemă pentru alegerea coeficienților de ponderare. În cazul în care aceste cunoștințe nu sunt suficiente, prin rezolvarea repetată a acestei probleme cu valori diferite ale coeficienților de ponderare, se obține o aproximare a mulțimii Pareto optime.

Metoda este eficientă și ușor de implementat, dar are dezavantajul că nu poate genera toate soluțiile Pareto optime în cazul în care frontul Pareto optim nu este convex.

Figura 3.3 prezintă un exemplu de interpretare grafică a metodei în spațiul obiectiv.

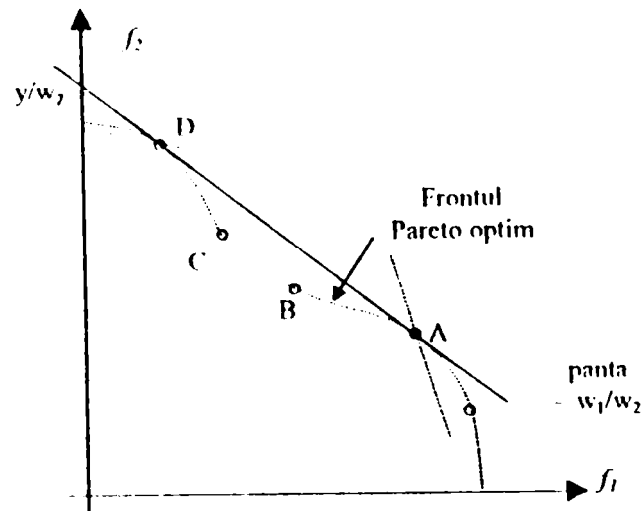


Fig. 3.3. Exemple de interpretare grafică a metodei coeficienților de ponderare.

În acest exemplu, pentru coeficienți de ponderare fixați, w_1 , w_2 soluția x maximizează funcția:

$$y = w_1 f_1(x) + w_2 \cdot f_2(x) \quad (3.16)$$

adică:

$$f_2(x) = -\frac{w_1}{w_2} f_1(x) + \frac{y}{w_2} \quad (3.17)$$

Relația (3.17) definește o dreaptă cu panta $-\frac{w_1}{w_2}$. Ea intersectează axa f_2 în punctul $\frac{y}{w_2}$.

Grafic, procesul de optimizare înseamnă deplasarea acestei drepte în sus, până când nici un vector obiectiv nu se află deasupra ei, iar pe ea se află cel puțin un vector obiectiv admisibil (pentru exemplul dat, punctele A și D).

De remarcat că în acest caz, punctele B și C nu vor maximiza niciodată funcția f .

Dacă panta drepte crește, soluția problemei devine punctul D, (linia punctată de sus), iar dacă panta drepte scade, soluția devine punctul A (linia punctată de jos).

Cel mai mare avantaj al metodei este eficiența, privită din punctul de vedere al calculelor. Metoda prezintă însă dezavantajul dificultății de determinare corespunzătoare a coeficienților de ponderare dacă nu dispunem de informații suficiente despre problemă. Astfel, soluțiile optime găsite depind de coeficienții folosiți în combinarea obiectivelor.

Dacă se dorește generarea frontului Pareto optim, este necesară reluarea algoritmului cu diferite valori ale coeficienților de ponderare, dar metoda nu este performantă în cazul în care frontul Pareto optim nu este convex și nu garantează o distribuție uniformă a punctelor de optim în spațiul obiectiv.

Exemple de aplicații:

- Syswerda și Palmucci au folosit coeficienții de ponderare pentru obținerea funcției fitness folosită în rezolvarea unei probleme de programare a resurselor [Sys 91]
- Jones ș.a. au folosit ponderi pentru operatorii genetici pentru a demonstra eficiența lor în folosirea algoritmilor genetici pentru generarea unor hiperstructuri dintr-o mulțime de structuri chimice.[His 96]
- Yang și Gen au folosit abordarea cu coeficienți de ponderare pentru rezolvarea unei probleme de transport cu două criterii. [Gen 97]

3.4.1.2. Algoritmii genetici VEGA

În 1985, Schaffer a propus extensia algoritmilor genetici simpli pentru rezolvarea problemelor de optimizare multiobiectiv. Algoritmul propus de el se numește *Algoritm genetic cu evaluare de vectori* (VEGA - Vector Evaluated Genetic Algorithm) și se caracterizează prin faptul că, pentru a optimiza separat fiecare componentă a funcției obiectiv, folosește subpopulații. Acest algoritm nu încorporează în operatorul de selecție în mod direct conceptul de optim Pareto.[Sch 85]

Pentru o problemă cu k funcții obiectiv, algoritmul generează k subpopulații cu dimensiunile N/k , unde N este mărimea întregii populații. Aceste subpopulații sunt apoi amestecate pentru a obține populația intermediară, asupra căreia se aplică operatorii de încrucișare și mutație în maniera uzuală.

În fiecare subpopulație, operatorul de selecție ia în considerare o singură componentă a funcției obiectiv, ignorând celelalte componente. Astfel, populația tinde să se împartă în diferite specii, fiecare specializată pe un anumit obiectiv.

Amestecarea indivizilor pentru a forma populația intermediară este de fapt echivalentă cu o combinație liniară a funcțiilor obiectiv pentru obținerea unei funcții scalare. De aceea, metoda prezintă dezavantajul că nu poate produce soluțiile Pareto optime în spații de căutare care nu sunt convexe.

În plus, Schaffer a dedus experimental că algoritmul VEGA favorizează soluțiile cu performanțe extreme în raport cu cel puțin una din funcțiile obiectiv. Pentru a evita acest fenomen, el a încercat să reducă fitnessul asociat cu aceste soluții, dar efectul a fost o convergență prematură.

Un alt experiment a fost împerecherea indivizilor performanți în raport cu o funcție obiectiv cu indivizi performanți în raport cu alte funcții obiectiv. Acest experiment a redus însă substanțial performanțele algoritmului.

Extensii ale algoritmului genetic VEGA

Surry a propus o extensie a algoritmului VEGA pentru rezolvarea unei probleme cu o singură funcție obiectiv cu mai multe restricții. Această extensie a permis evitarea folosirii unor funcții de penalizare, prin transformarea restricțiilor în obiective suplimentare. În acest scop, algoritmul VEGA a fost completat cu o metodă de ordonare bazată pe numărul restricțiilor încălcate de fiecare soluție. Autorii au aplicat această metodă în soluționarea unei probleme de optimizare a unei rețele de alimentare cu gaz. [Coe 96]

Cvetkovič a propus mai multe extensii pentru VEGA, ca de exemplu amestecarea indivizilor numai după un anumit număr de generații, ori eliminarea etapei de amestecare a

indivizilor și aplicarea unui algoritm de migrare a acestora de la o subpopulație la alta. Autorii au folosit această metodă la proiectarea preliminară a unei forme aerodinamice pentru avioane [Cve 98]

Coello a folosit algoritmi VEGA în proiectarea unor circuite logice combinaționale.

Tamaki a combinat selecția Pareto cu algoritmi VEGA, prin folosirea unui algoritm care asigură supraviețuirea indivizilor nedominați. Astfel:

- dacă numărul indivizilor nedominați este mai mic decât mărimea populației, atunci populația intermediară se completează aplicând operatorul de selecție VEGA asupra indivizilor dominați;
- dacă numărul indivizilor nedominați depășește dimensiunea populației, atunci se aplică operatorul de selecție VEGA asupra indivizilor nedominați. [Tam 94]

Alte extensii ale algoritmului VEGA se bazează pe folosirea sexului în identificarea obiectivelor.

Astfel, Robin Allenson a folosit o abordare bazată pe algoritmi VEGA în care distincția dintre două funcții obiectiv s-a făcut prin folosirea unei informații despre sexul populației și a aplicat metoda pentru proiectarea unei rețele compuse dintr-un număr de conducte. Algoritmii permit numai împerecherea sexuală, iar sexele sunt atribuite aleator la naștere. În populația inițială, se asigură generarea unui număr egal de indivizi din cele două sexe, dar acest echilibru nu este menținut după aplicarea operatorilor genetici. La fiecare generație se elimină individul cel mai slab, sexul fiind ales aleator, și este înlocuit cu un altul, ales aleator, de același sex. Ideea de bază este modelarea atracției sexuale pe care o au indivizii în natură, pentru obținerea unei împerecheri mai puțin aleatoare. [All 92]

Lis și Eiben au încorporat și ei informații despre sex, dar într-un sens mai general.

- Numărul sexelor nu a fost limitat la două, acest număr luând o valoare egală cu numărul funcțiilor obiectiv.
- Operatorul de încrucișare permite o reproducere în care mai mulți părinți produc un singur descendent, spre deosebire de algoritmi genetici tradiționali, în care doi părinți produc doi descendenți. Ideea este de a selecta câte un părinte din fiecare sex pentru a produce un descendent. Acesta va avea sexul părintelui care a contribuit la formarea lui cu cel mai mare număr de gene. În caz de egalitate, sexul se alege aleator dintre părinții care au contribuit cu același număr de gene. Indivizii care nu sunt încrucișați se introduc cu sexul nemodificat în generația următoare. Indivizii sunt evaluați folosind funcții obiectiv diferite, în funcție de sexul lor.
- Operatorul de mutație este modificat, în sensul că nu poate face modificări în sexul indivizilor. Pe măsură ce algoritmul progresează, se actualizează o listă de indivizi nedominați, prin îndepărtarea sistematică din listă a indivizilor care devin dominați pe parcurs. În final, această listă va conține soluțiile Pareto optime.

Dezavantajul metodei constă în faptul că, odată cu creșterea numărului de funcții obiectiv, operatorul de încrucișare devine mai puțin eficient, deoarece trebuie folosiți mulți părinți pentru formarea unui singur descendent. În plus, mărimea populației trebuie să fie suficient de mare, astfel încât, odată cu creșterea numărului de componente ale funcției obiectiv, să se poată menține o diversitate rezonabilă a populației. [Lis 96]

3.4.1.3. Ordonarea lexicografică

În această metodă, proiectantul ordonează componentele funcției obiectiv în raport cu importanța lor. Soluția optimă se determină prin optimizarea funcțiilor obiectiv astfel ordonate, începând cu cea mai prioritară și continuând cu următoarele.

Ca o alternativă, în cazul în care nu se dispune de informații privind importanța componentelor funcției obiectiv, este posibilă alegerea aleatoare a unei componente care se va optimiza în fiecare etapă a algoritmului.

Metoda este eficientă și ușor de implementat, dar necesită o ordonare prealabilă a obiectivelor, iar performanțele obținute sunt afectate de calitatea acestei ordonări. În plus, metoda este neadecvată în cazul în care numărul obiectivelor este mare.

Dacă presupunem că indicii funcțiilor obiectiv corespund cu ordinea stabilită, astfel încât $f_1(x)$ și $f_i(x)$ reprezintă funcția obiectiv cea mai prioritară, respectiv cea mai puțin prioritară, se pot formula k probleme asociate problemei inițiale:

Prima problemă este:

Maximizează funcția: $f_1(x)$

cu restricțiile: $e(x) = (e_1(x), e_2(x), \dots, e_m(x)) \leq 0$

unde: $x = (x_1, x_2, \dots, x_n) \in X$

Se notează optimul acestei probleme cu $f_1^* = f_1(x_1^*)$. (3.18)

A doua problemă este:

Maximizează funcția: $f_2(x)$

cu restricțiile: $e(x) = (e_1(x), e_2(x), \dots, e_m(x)) \leq 0$

$f_1^* = f_1(x_1^*)$

unde: $x = (x_1, x_2, \dots, x_n) \in X$,

m este numărul de restricții ale problemei inițiale.

Se notează optimul acestei probleme cu $f_2^* = f_2(x_2^*)$. (3.19)

Se repetă procedeul până când se iau în considerare toate cele k componente ale funcției obiectiv.

O problemă j va fi formulată astfel:

Maximizează funcția: $f_j(x)$

cu restricțiile: $e(x) = (e_1(x), e_2(x), \dots, e_m(x)) \leq 0$

$f_i^* = f_i(x_i^*) \quad i = 1, 2, \dots, j-1$

unde: $x = (x_1, x_2, \dots, x_n) \in X$

Se notează optimul acestei probleme cu $f_j^* = f_j(x_j^*)$. (3.20)

Soluția x_k^* obținută prin rezolvarea ultimei probleme, se consideră soluția căutată a problemei inițiale.

Fourman a sugerat o metodă de selecție bazată pe ordonare lexicografică. În prima versiune a algoritmului său, utilizatorul asociază priorități diferite pentru fiecare funcție obiectiv și fiecare pereche de indivizi se compară în raport cu funcția obiectiv mai prioritară. În caz de egalitate, algoritmul folosește următoarea funcție obiectiv mai puțin prioritară și așa mai departe. [Fou 85]

Într-o altă versiune a algoritmului, Fourman alege aleator, la fiecare generație o funcție obiectiv care va fi folosită de operatorul de selecție.

Kursawe a propus o altă schemă de selecție bazată pe ordonare lexicografică. Selecția constă dintr-un număr de etape egal cu numărul funcțiilor obiectiv. În fiecare etapă, se alege

aleator o funcție obiectiv care este folosită pentru a înlătura un procent din populația curentă. După selecție, indivizii rămași devin părinții următoarei generații. [Kur 91]

Selecția aleatoare a unei funcții obiectiv este de fapt echivalentă cu metoda coeficienților de ponderare, în care fiecare coeficient ar fi definit în funcție de probabilitatea sa de alegere.

Pe de altă parte, ordonarea funcțiilor obiectiv determină favorizarea unor funcții obiectiv în detrimentul altora, ceea ce are dezavantajul convergenței populației spre o zonă particulară din frontul Pareto optim.

3.4.1.4. Metoda restricțiilor

Ritzel și Wayland au propus metoda restricțiilor, care transformă $k-1$ din cele k componente ale funcției obiectiv în restricții. Ultima funcție obiectiv, care poate fi aleasă aleator, devine funcție obiectiv pentru o problemă de optimizare unimodală.

Problema de optimizare multiobiectiv este definită în acest caz astfel:

$$\begin{aligned} \max \quad & y = f(x) - f_h(x) \\ \text{pentru } & c_i(x) - f_i(x) \geq \epsilon_i, \quad 1 \leq i \leq k, i \neq h \\ & x \in X_f \end{aligned} \quad (3.21)$$

Coeficienții ϵ_i sunt parametri care sunt stabiliți aprioric, ori pot fi modificați în timpul procesului de optimizare, pentru găsirea unor soluții Pareto optime multiple.

Metoda este ușor de implementat, dar necesită mai multe etape pentru rezolvarea problemei și este consumatoare de timp.

Exemple de aplicații

Ranjithan și alții [Rit 94] au aplicat această metodă în rezolvarea unei probleme de remediere a apei.

Un alt exemplu de aplicație este proiectarea unui sistem tolerant la defecțiuni de către Schott.

Quagliarella și Vinci au propus aplicarea acestei metode împreună cu un algoritm genetic hibrid care folosește tehnici de optimizare bazate pe informații de gradient pentru creșterea vitezei de calcul în cazul aplicațiilor în timp real. [Coe 96]

3.4.1.5. Metoda scopurilor

Această metodă a fost propusă de Charnes și Cooper și folosește o mulțime de valori numite scopuri, stabilite aprioric, pentru fiecare componentă a funcției obiectiv și își propune să minimizeze diferența dintre vectorul obiectiv și scopurile asociate. [Coe 96]

În relația (3.22) s-a notat cu T_i scopul asociat cu obiectivul $f_i(x)$.

$$\min \sum_{i=1}^k |f_i(x) - T_i| \quad (3.22)$$

cu $x \in X_f$.

Metoda funcționează corect numai în situația în care scopurile se situează în regiunea admisibilă.

Avantajul metodei este viteza mare de calcul, în cazul în care se cunosc foarte bine scopurile alocate.

Dezavantajul metodei este faptul că e dificil de aplicat în cazul în care nu există cunoștințe apriorice despre problemă.

Exemple de aplicații:

- Wienke a folosit această metodă pentru optimizarea simultană a 6 linii de emisie atomice.
- Eric Sandgren a aplicat metoda pentru proiectarea unui mecanism planar.[Coe 96]

3.4.2. Metode de optimizare bazate pe conceptul de optim Pareto

Există mai multe metode abordate care folosesc conceptul de optim Pareto:

i) Ordonarea Pareto, ii) Algoritmul genetic MOGA, iii) Algoritmul genetic NSGA, iv) Algoritmul genetic NPGA

3.4.2.1. Ordonarea Pareto

Ideea de aplicare a conceptului de optim Pareto în algoritmii genetici aparține lui Goldberg. El a propus soluționarea problemelor de optimizare multiobiectiv printr-o ordonare a soluțiilor nedominate.

Metoda se bazează pe mecanismul de selecție descris în paragraful 2.3.1.1 și constă din următoarele etape:

- Identificarea unei mulțimii de soluții nedominate în întreaga populație, care soluții primesc un rang maxim (1) și nu mai sunt supuse unei competiții ulterioare, fiind înlăturate din populație.
- Identificarea în populația rămasă a unei alte mulțimi de soluții nedominate, care primește următorul rang.
- Repetarea procesului până când se ordonează toată populația. [Gol 87]

În figura 3.4 se dă un exemplu de stabilire a rangului într-o problemă de maximizare cu două funcții obiectiv, prin metoda propusă de Goldberg. Punctele albe din figură corespund soluțiilor nedominate, iar cifrele asociate indică rangul fiecărei soluții.

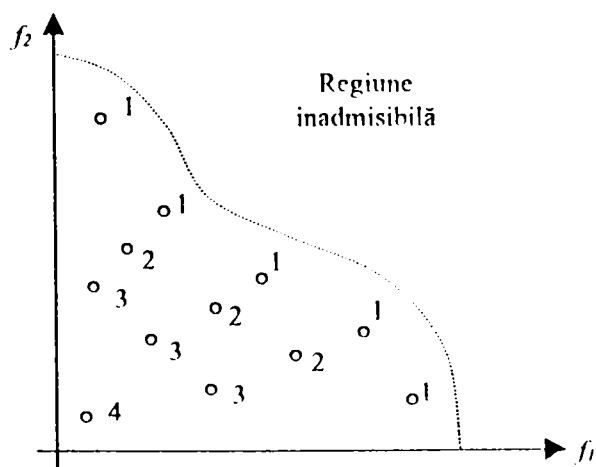


Fig. 3.4. Stabilirea rangului folosind metoda de ordonare Pareto.

Pentru a preveni convergența populației spre un singur extrem, precum și pentru a genera și menține diverse puncte din mulțimea Pareto optimă, Goldberg a propus folosirea simultană a unei metode de grupare a populației, prin formarea unor subpopulații în jurul diferitelor optime în spațiul multimodal. Această metodă a fost preluată din algoritmii genetici folosiți în optimizarea cu o singură funcție obiectiv.

Într-o formă simplificată, dacă un individ are valoarea funcției fitness brută egală cu 1 și există n indivizi într-o vecinătate a sa definită aprioric, el va avea funcția fitness actualizată egală cu $1/n$.

În scopul menținerii diversității populației, Fonseca și Fleming au folosit o metodă de divizarea a funcției fitness.

O variantă a acestui algoritm folosește raza de divizare σ_{share} dată de relația:

$$\sigma_{share} = \frac{A}{N} \quad (3.24)$$

unde N este mărimea populației, iar A este o funcție de valorile maxime și minime ale funcțiilor obiectiv dată de relația:

$$A = \sum_{i=1}^k \prod_{j=1, j \leq i} (M_j - m_j) \quad (3.25)$$

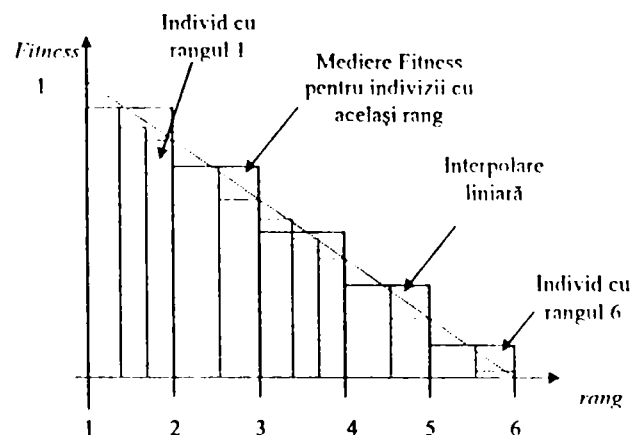


Fig. 3.6. Metoda de atribuire a funcției fitness în algoritmul MOGA.

În relația (3.25), k este numărul obiectivelor, M_j este valoarea maximă pe care o ia obiectivul j , iar m_j este valoarea sa minimă.

D.S. Todd a propus o metodă mai simplă pentru alegerea parametrului σ_{share} , care folosește drept parametru rezoluția r . Pentru a defini noțiunea de rezoluție, se consideră spațiul Euclidian k dimensional al funcțiilor obiectiv în care fiecare axă de coordonate corespunde unei componente a vectorului $\vec{f}(x)$. [Tod 97]

Definiția 3.11. Se numește rezoluție r a unei probleme de optimizare multiobiectiv numărul de puncte obținute în urma rezolvării problemei, aflate de-a lungul fiecărei axe din spațiul Euclidian k dimensional al funcțiilor obiectiv.

Astfel, pentru o rezoluție dată r , raza de divizare σ_{share} pentru obiectivul i devine:

$$\sigma_{share} = \frac{M_i - m_i}{r}, \quad i = 1, 2, \dots, k \quad (3.26)$$

Algoritmul MOGA a fost cea mai populară metodă de optimizare multiobiectiv din prima generație, care a depășit în performanțe toate celelalte metode contemporane. Avantajul metodei este eficiența și ușurința implementării.

Exemple de aplicații

- Rodriguez ș.a. au folosit această metodă în programarea genetică MOGP (Multiple Objective Genetic Programming), aplicată în identificarea unor sisteme neliniare. [Coe 96]
- Todd și Sen au folosit o variantă a acestei metode pentru rezolvarea unor probleme de optimizare combinatorică. Metoda folosită de autori menține o populație de indivizi

nedominați, care este reactualizată în fiecare generație, prin înlăturarea indivizilor care devin dominați. [Tod 97]

3.4.2.3. Algoritm genetic sortat nedominat (Non-Dominated Sorting Genetic Algorithm NSGA)

Srinivas și Deb au propus algoritmul NSGA bazat pe mai multe nivele de clasificare a indivizilor. Înainte de aplicarea operatorului de selecție, se ordonează populația în nivele de dominanță, după o extensie a metodei propuse de Goldberg. Toți indivizii nedominați cu același nivel de dominanță se clasifică într-o categorie și li se atribuie aceeași funcție fitness brută (dummy fitness), în scopul asigurării unui potențial reproductiv egal. [Sri 99]

Pentru a menține diversitatea populației, se folosește o metodă de divizare a fitnessului și indivizii clasificați sunt asociați cu o valoare reactualizată a funcției fitness, care depinde de distanța dintre indivizi. Parametrul σ_{share} a fost ales folosind relația:

$$\sigma_{share} \equiv \frac{0.5}{\sqrt{k}} \quad (3.27)$$

unde n este numărul variabilelor de decizie, iar k este numărul de obiective.

Metoda permite căutarea în regiunile nedominate, iar divizarea contribuie la distribuirea cât mai uniformă a populației în aceste regiuni.

Algoritm NSGA este reprezentat schematic în fig. 3.7.

Fie o populație de dimensiune N , M funcții obiectiv și $x^{(i)}$, $x^{(j)}$ două variabile de decizie. Pentru identificarea indivizilor nedominați se folosește Algoritm 3.1:

Algoritm 3.1 Identificarea indivizilor nedominați în algoritmul NSGA

Pasul 0: $i = 1$

Pasul 1. Pentru toți $j = 1, \dots, N$ și $j \neq i$, compară $x^{(i)}$ cu $x^{(j)}$ pentru dominanță.

Pasul 2. Dacă pentru orice j , $x^{(i)}$ este dominat de $x^{(j)}$, marchează pe $x^{(i)}$ ca "dominat"

Pasul 3. Dacă s-au comparat toate soluțiile (s-a ajuns la $i = N$) continuă cu Pasul 4. Altfel, $i = i + 1$ și continuă cu Pasul 1.

Pasul 4. Toate soluțiile nemarcate sunt soluții nedominate.

- Toate soluțiile nedominate determinate în acest fel devin primul nivel nedominat, sau prima categorie în populație.
- Pentru a determina următorul nivel nedominat, se înlătură din populație indivizii din nivelul nedominat curent și se aplică algoritmul pentru populația rămasă.
- Procedul se continuă până când toată populația este clasificată într-un nivel nedominat. Numărul acestor nivele este cuprins între 1 și N .

Atribuirea funcției fitness în algoritmul NSGA

Atribuirea funcției fitness se face în două etape. Inițial, se atribuie o funcție fitness egală pentru toate soluțiile din același nivel de dominanță, iar apoi se evidențiază unele soluții folosind divizarea funcției fitness.

- În prima etapă, funcția fitness se atribuie fiecărui individ în funcție de nivelul nedominat în care se află. Un individ dintr-un nivel mai mare va avea funcția fitness mai mică. Indivizii din primul nivel nedominat sunt asociați cu o funcție fitness egală cu mărimea populației, aceasta fiind valoarea maximă a funcției fitness care se poate atribui unei soluții din orice populație.

- În următoarea etapă, dacă într-o vecinătate a unui individ se găsesc mai mulți indivizi, funcția sa fitness se împarte cu contorul de nișă, care depinde de numărul și de proximitatea indivizilor învecinați. După reactualizarea funcției fitness pentru toți indivizii din primul nivel, se determină cea mai mică valoare atribuită funcției fitness. Această valoare este cea care se atribuie inițial pentru toți indivizii din al doilea nivel de dominanță și procedeul se repetă.
- După atribuirea funcției fitness se aplică operatorii genetici într-o manieră obișnuită: selecția cu metoda ruletei ponderate, încrucișarea într-un singur punct și mutația binară.

Exemple de aplicații

Periaux a folosit metoda NSGA pentru distribuția optimă a elementelor active de reglare în minimizarea reflexiei unor reflectoare aerodinamice.

Michielssen și Weile au folosit NSGA în proiectarea unui sistem electromagnetic. [Vel 98]

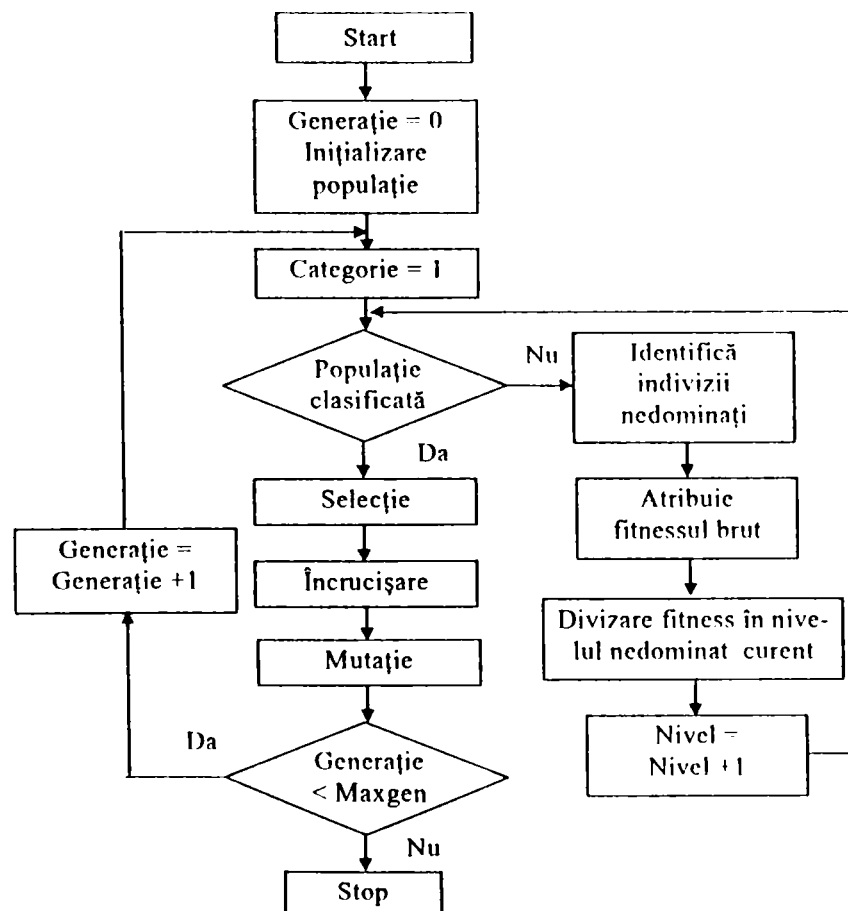


Fig. 3.7. Algoritmul NSGA

3.4.2.4. Algoritmul genetic Pareto cu nișe (NPGA- Niche Pareto Genetic Algorithm)

Algoritmul *NPGA* a fost propus de Horn și Napfolyotis. Algoritmul folosește o metodă de selecție turneu modificată, care include dominanța Pareto. [Hor 93]

Metoda de selecție alege aleator un număr de indivizi (uzual doi), care se compară cu o submulțime a populației, numită populație de referință. Această populație de referință reprezintă 10% din populația inițială și se alege aleator. Rezultatul comparației este o funcție de dominanță indivizilor din turneu în raport cu populația de referință.

- Dacă un individ este dominat în raport cu mulțimea de referință, iar celălalt este nedominat, operatorul de selecție alege individul nedominat;
- În caz de egalitate - adică ambii indivizi sunt dominați ori ambii nedominați - rezultatul selecției se decide prin divizarea fitnessului lor în raport cu gradul de populare al regiunii în care se află, iar operatorul de selecție va alege individul care se află într-o regiune mai puțin populată.

Algoritmul NPGA este eficient deoarece nu necesită ordonarea Pareto a întregii populații și este ușor de implementat.

Dezavantajul metodei este că necesită alegerea a doi parametri: raza de divizare σ_{share} și mărimea turneului.

3.5. Metode de optimizare multiobiectiv din a doua generație

Metodele de optimizare multiobiectiv din a doua generație sunt mai eficiente. Aceste metode se caracterizează prin folosirea unei populații secundare (sau externe), numită de obicei arhivă, care memorează soluțiile nedominate și uniform distribuite. Arhiva poate fi privită ca o submulțime reprezentativă pentru cele mai bune soluții găsite în procesul de optimizare. Ea reprezintă de fapt o formă mai complexă de elitism⁴⁾.

Metodele folosesc de obicei o funcție care, la fiecare generație t , produce soluții noi, pe baza arhivei din generația precedentă $A(t-1)$. Denumim această funcție *generare*.

O funcție numită *actualizare* folosește atât soluțiile noi $\bar{f}(\bar{x}^*)$, cât și arhiva precedentă $A(t-1)$ pentru a stabili conținutul noii arhive $A(t)$.

În figura 3.8 se reprezintă schematic principiul folosit de metodele de optimizare multiobiectiv din a doua generație. [Vel 98]

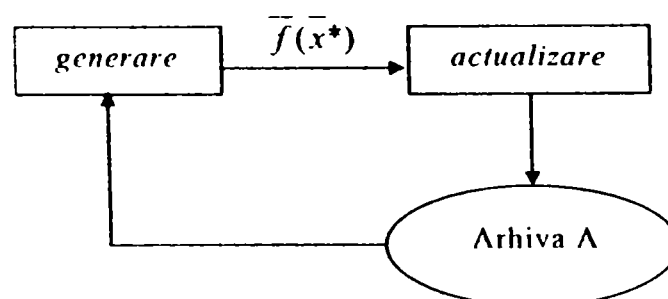


Fig.3.8. Principiul folosit de metodele de optimizare multiobiectiv din a doua generație

Acest principiu poate fi privit ca un algoritm de evoluție dacă asociem funcția *generare* cu operatorii de încrucișare și mutație, iar funcția *actualizare* cu operatorul de selecție.

Metodele de optimizare multiobiectiv din a doua generație folosesc diverse strategii atât pentru generarea soluțiilor nedominate, cât și pentru stabilirea conținutului noii arhive $A(t)$.

⁴⁾ Elitismul este folosit și în algoritmi genetici care optimizează o singură funcție obiectiv, dar într-o formă mai elementară, implementată de obicei prin simpla copiere a celui mai performant individ din generația t în populația din generația $t+1$.

În contrast cu această formă de elitism care asigură doar propagarea unui singur individ spre generația următoare, elitismul implementat de metodele de optimizare multiobiectiv din a doua generație presupune menținerea și administrarea unei mulțimi de elită pe toată durata evoluției.

În continuare, se prezintă unele metode de optimizare multiobiectiv reprezentative din a doua generație.

3.5.1. Algoritmul evolutiv PAES (The Pareto Archived Evolutionary Strategy)

În [Kno 00] se descrie o metodă de evoluție destinată rezolvării problemelor de optimizare multiobiectiv, numită Pareto Archived Evolutionary Strategy (PAES).

Algoritmul are o formă mai simplă denumită (1+1) care folosește o căutare locală, prin aplicarea operatorului de mutație asupra soluției curente și generează o singură soluție candidat nouă.

Ca extensii ale algoritmului de bază, autorii definesc variante extinse ale algoritmului. O variantă extinsă este $(1 + \lambda)$ PAES care generează λ mutanți pentru o soluție curentă, iar o altă variantă este $(\mu + \lambda)$ PAES care generează λ mutanți și folosește μ soluții curente.

Algoritmul PAES a fost dezvoltat inițial pentru rezolvarea unei probleme de optimizare multiobiectiv în proiectarea unei rețele de telecomunicații. Aplicațiile precedente referitoare la această problemă au fost la început implementate folosind metode de optimizare cu o singură funcție obiectiv asociată cu funcții de penalizare.

În urma comparării rezultatelor obținute, s-a constatat că algoritmul PAES a obținut rezultate mult superioare față de metodele precedente.

Algoritmul (1 + 1) PAES

Algoritmul PAES are următoarele caracteristici:

- folosește o căutare locală;
- folosește o selecție ordonată după dominanță;
- produce o mulțime limitată de soluții nedominate;
- are un număr redus de parametri;
- este mai simplu din punctul de vedere al calculelor în comparație cu metodele de optimizare multiobiectiv bazate pe populații Pareto.

Algoritmul PAES poate fi divizat logic în 3 părți:

- generator de soluții candidat
- funcție de acceptare a soluției candidat
- arhiva de soluții nedominate

Algoritmul generează la început un singur individ, care devine soluția curentă. După evaluarea soluției curente, se face o copie a acesteia și se aplică asupra copiei operatorul de mutație. Această copie mutată este evaluată și devine o soluție candidat.

În continuare, se compară soluția curentă cu soluția candidat.

- În cazul în care una din soluții o domină pe cealaltă, se rejectează soluția dominată.
- În cazul în care nici una din soluții nu e dominată, soluția candidat se compară cu populația de referință arhivată, care conține soluțiile nedominate precedente.
- Candidații care domină toate elementele arhivei, sunt întotdeauna acceptați și arhivați.
- Candidații care sunt dominați, sunt rejectați.

- Candidații care sunt nedominați, sunt acceptați ori rejectați pe baza gradului de populare a regiunii corespunzătoare lor din spațiul obiectiv, în scopul distribuirii cât mai uniforme a soluțiilor pe frontul Pareto optim.

Arhiva are două scopuri:

- memorează și actualizează soluțiile nedominate generate, iar conținutul ei reprezintă rezultatul algoritmului în cazul îndeplinirii condiției de terminare;
- pe parcursul derulării algoritmului, este folosită ca referință, pentru alegerea corectă între soluția curentă și soluția candidat. Astfel, arhiva este de fapt o aproximare a frontului nedominat curent.

Arhiva are o dimensiune maximă, numită *refpop*, care este stabilită de proiectant în funcție de numărul final de soluții dorite.

Pentru a determina gradul de populare în diferite regiuni ale spațiului obiectiv, se folosește o grilă cu k dimensiuni, unde k este numărul funcțiilor obiectiv ale problemei. Poziția unei soluții pe această grilă se determină în momentul generării ei, folosind subdiviziuni recursive. Grila are asociată o hartă, care indică soluțiile alocate pentru fiecare element al grilei, precum și numărul acestor soluții. Acest număr se denumește *număr de locație*.

Dacă o soluție candidat se memorează într-o arhivă plină, ea înlocuiește soluția arhivată care are numărul de locație cel mai mare.

Pentru a stabili dacă o regiune este mai populată decât alta, algoritmul PAES folosește un algoritm adaptiv grilă, care se bazează pe o hipergrilă ce divide spațiul obiectiv în hipercuburi. În figura 3.9, se reprezintă grila pentru cazul particular al unei probleme bidimensionale.

Fiecare individ din arhivă e asociat cu un hipercub particular în spațiul obiectiv. În cazul în care algoritmul PAES necesită informații despre gradul de populare în diferite regiuni ale spațiului obiectiv, se apelează un algoritm care returnează numărul de ocupanți ale hipercuburilor relevante. De exemplu, în figura 3.9, individul A se află într-o regiune mai populată decât individul B.

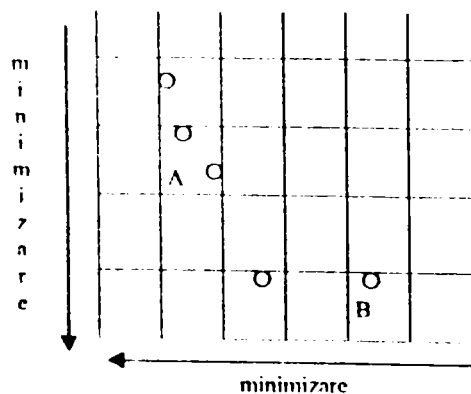


Fig. 3.9. Exemplu de grilă în cazul unei probleme bidimensionale

Pentru rezolvarea acestei probleme se folosește o procedură de grupare, bazată pe divizarea recursivă a spațiului obiectiv k dimensional.

Această procedură are două avantaje în comparație cu metodele de grupare anterioare:

- Calculele sunt mai puțin complexe
- Nu necesită alegerea parametrului critic pentru factorul de grupare.

- În momentul generării unei soluții, se determină și poziția ei pe această grilă.

Presupunând că dimensiunea spațiului obiectiv este definită pentru fiecare funcție obiectiv, poziția pe grilă a unei soluții se determină prin divizarea repetată a domeniului pentru fiecare funcție obiectiv și determinarea jumătății în care se află soluția. Poziția se codează sub forma unui șir binar cu lungimea de 2^{lk} , unde l este numărul de divizări efectuate pentru fiecare obiectiv, iar k este numărul de obiective. Dacă soluția se găsește în jumătatea mai semnificativă rezultată după divizare, bitul corespunzător ia valoarea "1". Se memorează o hartă a acestei grile, care indică numărul de soluții alocate pentru fiecare element al grilei, precum și poziția acestor elemente.

Complexitatea de calcul a algoritmului, din punctul de vedere al numărului de comparații, depinde de mărimea populației, de numărul de soluții curente din arhivă, de numărul nivelelor de divizare l și de numărul de obiective k ale problemei.

Algoritmul PAES este prezentat în limbaj simbolic în Anexa A, paragraful A.1.

3.5.2. Algoritmul evolutiv SPEA (Strength Pareto Evolutionary Algorithm)

Acest algoritm a fost propus de Zitzler [Zit 98]. Caracteristicile acestui algoritm sunt:

- memorează extern, într-o mulțime \bar{P} toți indivizii nedominați, găsiți pe toată durata algoritmului;
- folosește conceptul de dominanță Pareto pentru a atribui valori scalare funcției fitness;
- execută o grupare urmată de comasare pentru a reduce numărul de indivizi memorati în arhiva externă;
- combină cele trei tehnici de mai sus într-un singur algoritm;
- determină fitnessul indivizilor din populație numai pe baza indivizilor memorati în arhiva externă;
- toți indivizii din arhivă participă la selecție;
- folosește o nouă metodă de grupare pentru a menține diversitatea populației.

Algoritmul SPEA este prezentat în ANEXA A, paragraful A.2.

3.6. Alegerea unei soluții particulare din mulțimea Pareto optimă

Rezultatul returnat de un algoritm de optimizare multiobiectiv este de obicei mulțimea Pareto optimă, care poate avea dimensiuni mari. Pentru a alege soluții finale din această mulțime, se pot folosi diverse criterii dependente de problemă, ori se poate folosi un element de decizie. În paragrafele următoare se prezintă câteva metode folosite pentru alegerea soluției finale după terminarea procesului de optimizare și determinarea mulțimii Pareto optime.

3.6.1. Metoda criteriului global

Metoda criteriului global folosește un punct de referință ideal care corespunde unui individ performant, cu valorile obiectiv $\bar{f}_{ideal} = (f_1(\bar{x}), f_2(\bar{x}), \dots, f_k(\bar{x}))$. Pe lângă acest punct de referință, metoda presupune și alegerea unei metode de măsurare a distanței dintre acest punct și elementele mulțimii Pareto optime.

Deoarece de obicei punctul de referință ideal este o soluție inadmisibilă, utilizatorul este interesat să aleagă o soluție admisibilă din frontul Pareto care se află la distanța cea mai mică

d față de această soluție ideală. Elementul de decizie calculează distanțele dintre punctul de referință ideal și elementele mulțimii Pareto optime și alege soluția cu distanța minimă.

În figura 3.10 se prezintă un exemplu de optimizare cu două funcții obiectiv, un punct de referință și soluția care se alege folosind metoda criteriului global. [Che 94]

3.6.2. Metoda ratei de revenire

Într-o problemă de maximizare multiobiectiv, rata de revenire reprezintă o măsură a creșterii unei componente a funcției obiectiv, în raport cu reducerea unei alte componente ale funcției obiectiv. Prin aplicarea acestei metode se alege soluția care are rata de revenire maximă.

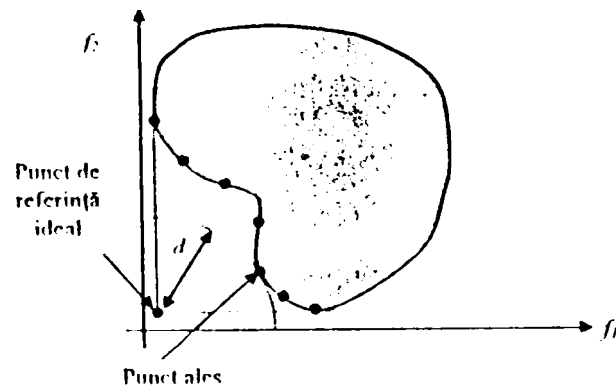


Fig. 3.10. Exemple de alegere a soluției finale folosind metoda criteriului global

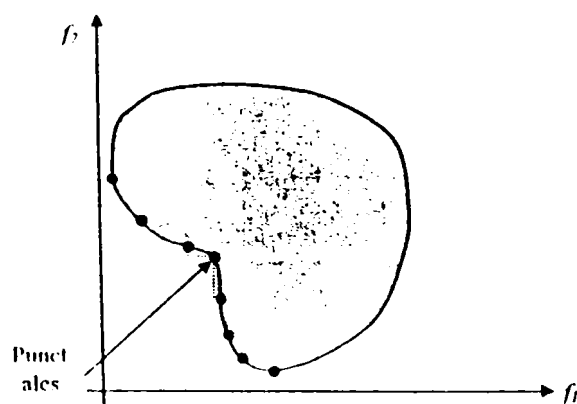


Fig. 3.11. Exemple de alegere a soluției cu metoda ratei de revenire

Deoarece metoda implică comparații pentru toate cele k componente ale funcției obiectiv și pentru fiecare soluție Pareto optimă, necesită un timp mare de calcul.

În figura 3.11 se prezintă un exemplu de alegere a punctului pentru care rata limită de revenire este maximă, care de obicei este un punct unghiular pe frontul Pareto optim. [Coe 96]

3.6.3. Metoda mediei ponderate

Această metodă folosește coeficienți de ponderare particulari pentru funcțiile obiectiv. Alegerea acestor coeficienți de ponderare se bazează pe cunoștințe suplimentare despre problema de optimizat. Metoda are avantajul simplității, dar prezintă dezavantajul că se poate aplica numai pentru mulțimi Pareto optime convexe. Soluțiile care se află într-o regiune care nu e convexă nu pot fi găsite.

Figura 3.12 prezintă un exemplu de alegere a soluției finale folosind coeficienții de ponderare $(w_1, w_2) = (0.85, 0.15)$.

În probleme de minimizare, dreapta cu panta $-\frac{w_1}{w_2}$ se deplasează de la dreapta la stânga, paralel cu ea însăși, până când trece prin cel puțin un punct al mulțimii Pareto optime și nici o soluție din această mulțime nu se află sub ea. [Coe 96]

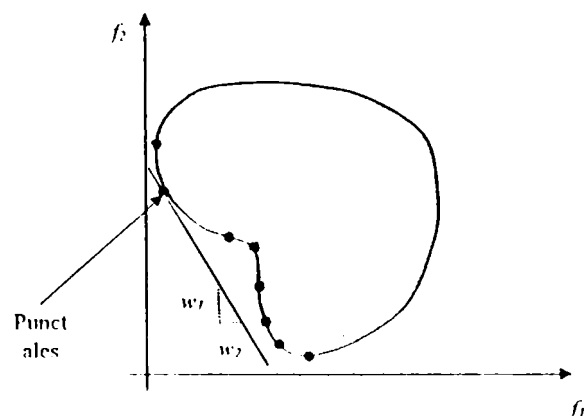


Fig. 3.12. Exemplu de alegere a soluției finale cu metoda mediei ponderate.

3.7 Metode de tratare a restricțiilor în rezolvarea problemelor de optimizare

Majoritatea aplicațiilor algoritmilor genetici tratează probleme de optimizare în prezența restricțiilor.

Deoarece operatorii genetici pot deseori să producă descendenți inadmisibili, felul în care se tratează restricțiile are o mare importanță în căutarea genetică. [Gen 97]

Metodele folosite pentru tratarea restricțiilor sunt următoarele:

- Metode de rejecție
- Metode de reparare
- Metode de modificare a operatorilor genetici
- Metode de considerare gradată a restricțiilor
- Metode de validitate
- Metode de penalizare

3.7.1. Metoda de rejecție

Această metodă înlătură toți indivizii inadmisibili creați în timpul evoluției și este o opțiune des folosită în algoritmi genetici.

Metoda funcționează acceptabil dacă spațiul de căutare admisibil este convex. Totuși, o astfel de strategie are multe limitări, de exemplu nu se poate aplica în cazul în care populația inițială constă numai din indivizi inadmisibili. În plus, deseori se poate atinge optimul mai ușor dacă e posibilă "traversarea" regiunilor inadmisibile, mai ales când spațiul de căutare nu e convex.

3.7.2. Metoda de reparare

Repararea unui individ înseamnă transformarea unui individ inadmisibil într-unul admisibil printr-un procedeu de reparare. În cazul unor probleme de optimizare

combinatorice, este relativ ușor de creat o procedură de reparare. Într-un test empiric al performanțelor algoritmilor genetici în diverse probleme de optimizare combinatorică, Liepins a arătat că folosirea strategiilor de reparare depășește alte strategii atât în viteză, cât și în performanțe. [Cien 97]

Strategiile de reparare presupun însă existența unei proceduri de reparare deterministe pentru transformarea unui individ inadmisibil într-unul admisibil. Metoda este deci dependentă de problemă. În plus, în multe cazuri, procesul de reparare poate deveni comparabil în complexitate cu problema de optimizare.

Individul reparat poate fi folosit numai în procesul de evaluare, ori poate înlocui complet pe cel original în populație. Liepins a studiat metoda în care cromozomul reparat nu este niciodată returnat în populație, în timp ce Nakano și Yamada au studiat metoda de returnare sistematică a acestuia în populație. Există și metode de returnare procentuală. [Ric 89]

Michalewicz a obținut cele mai bune rezultate folosind o regulă de înlocuire a 15% din cromozomii inadmisibili în probleme de optimizare numerice cu restricții neliniare.

3.7.3. Metoda de modificare a operatorilor genetici

O abordare rezonabilă a restricțiilor este găsirea unor variante a operatorilor genetici dependente de problemă, în scopul menținerii admisibilității indivizilor.

Uzual, populația inițială se generează aleator și se înlătură toți indivizii inadmisibili. Odată ce algoritmul dispune de o populație inițială formată numai din cromozomi admisibili, se modifică operatorii de încrucișare și mutație astfel încât ei să garanteze obținerea în exclusivitate de cromozomi admisibili.

Michalewicz a arătat că metodele de acest tip sunt deseori mai performante decât metodele bazate pe funcții de penalizare. Din acest motiv, metoda de modificare a operatorilor genetici este foarte des folosită, însă are dezavantajul că este dependentă de problemă, iar căutarea genetică este limitată numai la regiunea admisibilă. [Coe 96]

3.7.4. Metoda de considerare gradată a restricțiilor

Această metodă folosește un parametru p stabilit aprioric și abordează restricțiile în mod gradat:

- La început, populația este generată aleator și se ia în considerare o singură restricție;
- Populația inițială evoluează până când un anumit procent p din populație îndeplinește restricția considerată;
- Se adaugă o nouă restricție la mulțimea de restricții considerate și procesul se repetă, până când un procent p din populație îndeplinește toate restricțiile și se rejectează toți membrii populației care nu îndeplinesc aceste restricții. [Tor 02]

3.7.5. Metoda de validitate

Metoda de validitate se bazează pe observația că, într-o problemă de optimizare, restricțiile pot fi foarte diferite și de obicei ele nu au o importanță egală. [Tor 02]

Din acest motiv, restricțiile pot fi ponderate, iar utilizatorul poate atașa mulțimii de restricții $c = \{c_1, c_2, \dots, c_p\}$ o mulțime de ponderi $w = \{w_1, w_2, \dots, w_p\}$, care formează un sistem de restricții C'

Metoda definește pentru o variabilă de decizie x o funcție de validitate, care măsoară gradul în care se respectă restricțiile în ansamblu. Un exemplu de funcție de validitate este dat de relația:

$$v(C, x) = \frac{\sum_{i=1}^p w_i \lambda(c_i, x)}{\sum_{i=1}^p w_i} \quad (3.28)$$

[Coe 96], unde

$$\lambda(c_i, x) = \begin{cases} 1 & \text{dacă } x \text{ satisface restricțiile} \\ 0 & \text{altfel} \end{cases} \quad (3.29)$$

În general, funcția de validitate ia valori pozitive subunitare: $0 \leq v(C, x) \leq 1$.

În plus, ea are proprietatea că, dacă x satisface restricțiile mai importante, valoarea $v(C, x)$ crește.

Funcția de validitate se poate folosi în calculul funcției fitness folosind o relație de forma:

$$F_v(x) = F(x) \cdot v(C, x) \quad (3.30)$$

unde cu $F(x)$ s-a notat funcția fitness obținută în mod uzual, iar cu $F_v(x)$ funcția fitness care include informații de validitate și care va fi în continuare folosită de operatorul de selecție.

Calculul funcției de validitate are dezavantajul că este dependentă de problemă și implică evaluarea tuturor restricțiilor. Dacă restricțiile sunt multe și populația are o dimensiune mare, timpul de calcul este mare.

3.7.6. Metoda de penalizare

Metodele prezentate în paragrafele precedente au avantajul că nu generează niciodată soluții inadmisibile, dar prezintă dezavantajul că nu consideră niciodată puncte situate în afara regiunii admisibile. [Tor 02]

Metoda de penalizare este cea mai folosită metodă de tratare a restricțiilor, fiind cea mai performantă. Dezavantajul ei este faptul că folosește parametri și din acest motiv este dependentă de problemă.

În esență, metoda transformă problema cu restricții într-una fără restricții, prin penalizarea soluțiilor inadmisibile, pe baza unei funcții de penalizare care modifică funcția fitness. Metoda menține o anumită cantitate de soluții inadmisibile în fiecare generație, pentru a permite căutarea genetică a soluției optime atât dinspre regiunea admisibilă, cât și dinspre regiunea inadmisibilă. Astfel, soluțiile inadmisibile nu vor fi pur și simplu rejectate, deoarece este posibil ca unele dintre ele să fie mai utile în căutarea genetică decât unele soluții admisibile. Problema dificilă este alegerea funcției de penalizare de așa manieră încât să existe un echilibru între menținerea și înlăturarea soluțiilor inadmisibile. [Joi 99]

În modul general, spațiul de decizie poate fi privit ca fiind divizat într-o regiune admisibilă și o regiune inadmisibilă. De multe ori, unele soluții inadmisibile pot fi mai apropiate de optimul căutat decât soluțiile admisibile. [Pow 93]

În figura 3.13 se prezintă o situație în care soluția inadmisibilă b este mult mai aproape de optimul a decât soluția inadmisibilă d și soluția admisibilă c .

În situația din figura 3.13, ideal ar fi să penalizăm mai puțin soluția b decât soluția d , deși ea este ceva mai departe de regiunea admisibilă decât d .

Neavând însă informații apriorice despre optim, în general este foarte greu să de decizie care dintre soluții este mai bună.

Pentru a rezolva această problemă, metodele de penalizare folosesc o funcție de penalizare $p(x)$, astfel încât valoarea acesteia să fie o măsură inadmisibilității pentru soluția x .

Funcția de penalizare trebuie astfel aleasă încât ea să penalizeze mai mult soluțiile care se află la distanță mai mare față de regiunea admisibilă. În plus, penalizarea trebuie să fie mai mică în primele etape ale algoritmului genetic, pentru a asigura o diversitate mai mare a populației, iar în etapele finale ale algoritmului, penalizarea trebuie să crească, pentru a evita găsirea unei soluții finale inadmisibile.

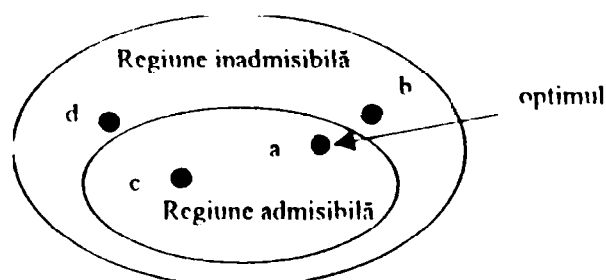


Fig. 3.13. Spațiul soluțiilor divizat în două regiuni

Funcția de penalizare este dependentă de problemă și nu există o metodă generală pentru alegerea ei.

Clasificarea metodelor de penalizare

Clasificarea metodelor de penalizare se poate face în raport cu două aspecte:

- În funcție de felul în care se modifică funcția fitness prin luarea în considerare a funcției de penalizare. Din acest punct de vedere există metode de penalizare aditive și metode de penalizare multiplicative;
- În funcție de modul de variație a funcției de penalizare. Există funcții de penalizare constante și funcții de penalizare variabile. [Gen 97]

3.7.6.1 Metode de penalizare aditive

Termenul de penalizare se adună la funcția fitness, conform relației:

$$F_p(x) = F(x) + p(x) \quad (3.31)$$

unde cu $F(x)$ am notat funcția fitness obținută în mod uzual, iar cu $F_p(x)$ funcția fitness care include termenul de penalizare și care va fi în continuare folosită de operatorul de selecție.

- În cazul problemelor de maximizare, termenul de penalizare îndeplinește condițiile date de relația :

$$\begin{aligned} p(x) &= 0 && \text{dacă } x \text{ e admisibil} \\ p(x) &< 0 && \text{altfel} \end{aligned} \quad (3.32)$$

- În cazul problemelor de minimizare, termenul de penalizare îndeplinește condițiile date de relația :

$$\begin{aligned} p(x) &= 0 && \text{dacă } x \text{ e admisibil} \\ p(x) &> 0 && \text{altfel.} \end{aligned} \quad (3.33)$$

3.7.6.2. Metode de penalizare multiplicative

Factorul de penalizare multiplică funcția fitness conform relației:

$$F_p(x) = F(x) \cdot p(x) \quad (3.34)$$

- În cazul problemelor de maximizare, factorul de penalizare îndeplinește condițiile date de relația (3.35):

$$\begin{aligned} p(x) &= 1 && \text{dacă } x \text{ e admisibil} \\ 0 \leq p(x) &< 1 && \text{altfel.} \end{aligned} \quad (3.35)$$

- În cazul problemelor de minimizare, termenul de penalizare îndeplinește condițiile date de relația (3.37):

$$\begin{aligned} p(x) &= 1 && \text{dacă } x \text{ e admisibil} \\ p(x) &> 1 && \text{altfel} \end{aligned} \quad (3.36)$$

3.7.6.3. Metode de penalizare cu funcție de penalizare constantă.

Aceste metode folosesc o funcție de penalizare constantă, care nu depinde nici de gradul de încălcare a restricțiilor, nici de numărul de iterații ale algoritmului genetic. Din acest motiv, metodele din această categorie sunt mai puțin performante în cazul unor probleme complexe.

3.7.6.4. Metode de penalizare cu funcție de penalizare variabilă

Aceste metode folosesc o funcție de penalizare variabilă, care poate fi ajustată în funcție de:

- Gradul de încălcare a restricțiilor. Metoda de penalizare este statică. Ea mărește penalizarea când încălcarea devine severă;
- Numărul de iterații ale algoritmului genetic. Metoda de penalizare este dinamică. Ea mărește penalizarea odată cu numărul de iterații ale algoritmului genetic.

Gradul de încălcare a restricțiilor depinde de distanța unei soluții inadmisibile față de regiunea admisibilă. Această distanță poate fi calculată în general prin trei metode:

- în funcție de distanța absolută a unei singure soluții inadmisibile față de regiunea admisibilă;
- în funcție de distanța relativă a tuturor soluțiilor inadmisibile din populația curentă față de regiunea admisibilă;
- funcția de penalizare este adaptivă, în sensul că modifică valoarea penalizării în raport cu fitnessul cel mai bun găsit până în acel moment. Odată găsite soluții admisibile și inadmisibile mai bune, penalizarea impusă unei soluții inadmisibile se modifică.

Cele mai multe metode de penalizare folosesc prima abordare pentru a aprecia gradul de încălcare a restricțiilor. În cazul problemelor cu restricții severe, abordarea a doua și a treia poate duce la rezultate mai bune.

3.8. Concluzii

Optimizarea multiobiectiv și problemele de optimizare cu restricții sunt domenii de aplicație de mare actualitate ale algoritmilor genetici care în ultimele două decenii concentrează atenția unui număr din ce în ce mai mare de cercetători. Capitolul 3 este o monografie documentată printr-un număr mare de referințe bibliografice dintre cele mai recente, privind stadiul cercetărilor în acest domeniu al ingineriei.

La începutul capitolului s-au prezentat conceptele de bază în optimizarea multiobiectiv și noțiuni legate de optimizarea Pareto.

Paragraful 3.3. abordează aspecte specifice legate de aplicarea algoritmilor genetici în optimizarea multiobiectiv și face o clasificare a metodelor de rezolvare a problemelor de acest fel.

Paragraful 3.4. prezintă detaliat metodele de optimizare multiobiectiv din prima generație, caracteristicile, algoritmi folosiți de aceste metode, performanțele lor, precum și exemple de aplicații cunoscute din literatură. Acest paragraf abordează următoarele metode:

- Metoda coeficienților de ponderare;
- Algoritmii genetici VEGA;
- Ordonarea lexicografică;
- Metoda restricțiilor;
- Metoda scopurilor;
- Ordonarea Pareto;
- Algoritmul genetic MOGA;
- Algoritmul genetic NSGA;
- Algoritmul genetic NPGA

Paragraful 3.5 se referă la metodele de optimizare multiobiectiv din a doua generație, subliniază principiile noi pe care se bazează acestea și descrie algoritmi folosiți pentru implementare. Acest paragraf se referă la cele mai recente metode de optimizare multiobiectiv: algoritmul evolutiv PAES și la algoritmul evolutiv SPEA, care sunt detaliate în Anexa A.

Paragraful 3.6 se referă la modul în care se face alegerea unei soluții particulare din mulțimea Pareto optimă, iar paragraful 3.7. abordează modul de tratare a restricțiilor în rezolvarea problemelor de optimizare folosind algoritmi genetici.

Scopul prezentării este sintetizarea stadiului actual al cercetărilor în acest domeniu, aprofundarea metodelor existente și performanțele lor, prezentarea clară a algoritmilor, în accepțiunea autoarei, însoțită de exemple.

Cunoștințele din acest capitol se folosesc în capitolele următoare în care se abordează modalități de aplicare a algoritmilor genetici în domeniul sintezei sistemelor automate, identificării sistemelor și în alte domenii ale ingineriei.

Elementele de originalitate constau în:

- prezentarea celor mai recente abordări din acest domeniu de aplicație al algoritmilor genetici;
- sistematizarea cunoștințelor dobândite din literatură;
- analiza detaliată și exemplificarea algoritmilor.

CAPITOLUL 4. PROGRAMAREA GENETICĂ

4.1. Introducere

Programarea genetică este o extensie a algoritmilor genetici, care folosește metode de codare specifice, necesare pentru a permite folosirea unor indivizi care au o definiție cu lungime variabilă.

Spre deosebire de algoritmi genetici care caută soluțiile numerice ale problemelor de optimizare, programarea genetică caută expresii evaluabile. Metodele folosite pentru găsirea acestor expresii sunt similare cu cele folosite de algoritmi genetici.

Programele calculatoarelor sunt practic cele mai complexe structuri create de om. Ele se scriu linie cu linie, folosind inteligență umană și cunoștințe despre problemă. Ideea de a combina algoritmi genetici cu programele calculatoarelor aparține lui John Koza [Koz 92] care a aplicat algoritmi genetici cu limbajul LISP.

Programarea genetică folosește algoritmi genetici pentru căutarea și generarea unui program potrivit cu o problemă dată. Indivizii populației sunt programe ale calculatoarelor, iar căutarea genetică are ca scop găsirea unui program care rezolvă o problemă dată.

În programarea genetică, similar cu algoritmi genetici, elaborarea unui program începe prin generarea inițială a unei populații inițiale de programe, de mărimi și forme aleatoare. Fiecare din aceste programe este evaluat în raport cu o funcție fitness, iar operatorul de selecție alege programele mai performante. În continuare, asupra populației de programe se aplică operatorii genetici de încrucișare și mutație, iar procesul se repetă până la îndeplinirea condiției de oprire. În figura 4.1 se prezintă modul de elaborare a unui program folosind programarea genetică.

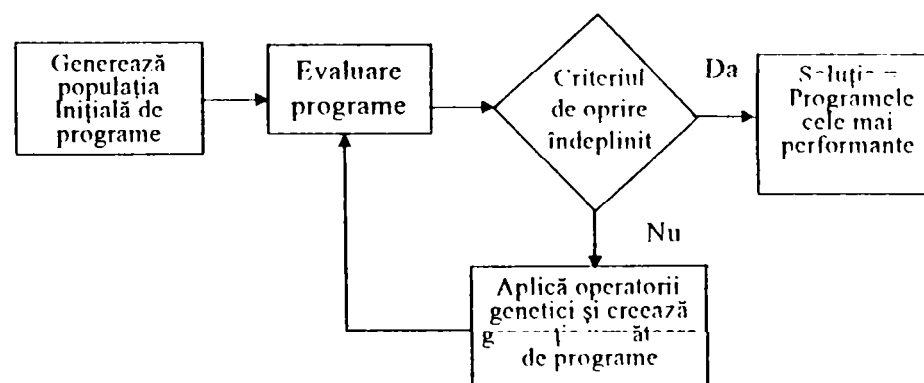


Fig. 4.1 Elaborarea unui program folosind programarea genetică

Figura 4.1 este similară cu figura 2.4, care ilustrează principiul general de funcționare al algoritmilor genetici. Diferențele majore constau în modul de codare al indivizilor și în etapa de evaluare. Programarea genetică este mai complexă deoarece trebuie să permită codarea unor indivizi cu lungime variabilă, iar etapa de evaluare stabilește performanța relativă a indivizilor folosind o funcție fitness bazată pe execuția fiecărui program.

În această teză se abordează numai programele pentru expresii, în scopul găsirii unor sisteme simbolice, care să permită o reprezentare a sistemelor fizice și conceptuale sub forma unor ecuații implementate cu notații matematice.

Stabilirea unei ecuații într-un sistem simbolic permite o exprimare a semnificației conceptelor semantice încapsulate în date și are ca scop găsirea unei ecuații care corespunde cu anumite date de intrare.

4.2. Aspecte specifice programării genetice

4.2.1. Codarea indivizilor

Spre deosebire de algoritmi genetici care codează indivizii sub forma unor gene de lungime fixă, programarea genetică folosește arbori cu dimensiuni variabile pentru codarea indivizilor, în scopul reprezentării unei structuri de funcții F și terminale T [Koz 92]

Funcțiile F sunt de obicei funcții matematice, operații logice sau funcții specifice domeniului. Mulțimea funcțiilor este aleasă de utilizator, astfel încât să poată defini programul căutat.

Mulțimea terminalelor T conține de obicei constante numerice aleatoare, cuvinte cheie, sau expresii specifice problemei.

Aceste structuri se pot pune în corespondență directă cu *s-expresiile* din programele scrise în LISP și se pot reprezenta sub forma unor arbori etichetați, în care rădăcina și nodurile interioare sunt etichetate cu funcții, iar nodurile frunză sunt etichetate cu terminale. Această reprezentare corespunde cu arborele sintactic creat de compilatoarele celor mai multe limbaje de programare.

De exemplu, expresia:

$$(x + 2) * 7 \quad (4.1)$$

are reprezentarea echivalentă în LISP dată de relația:

$$(* (+ X 2) 7) \quad (4.2)$$

Această expresie corespunde cu arborele reprezentat în figura 4.2:

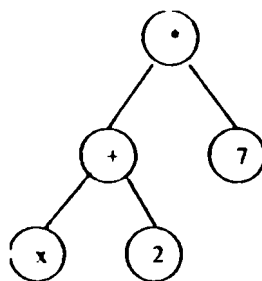


Fig. 4.2. Indivizi care codează expresia $(x + 2) * 7$

Spațiul de căutare C al problemei este mulțimea formată din reuniunea mulțimilor F și T :

$$C = F \cup T \quad (4.3)$$

Deoarece un arbore presupune dimensiuni variabile și oricât de mari, o problemă dificilă cu care se confruntă programarea genetică este faptul că, prin aplicarea operatorilor genetici, pe parcursul generațiilor, dimensiunea arborilor poate crește foarte mult, fără legătură cu valoarea funcției fitness, ceea ce duce la un timp mare de calcul. Această problemă este cunoscută în literatură sub denumirea de "code bloat" și pentru evitarea ei se folosesc metode care limitează adâncimea arborilor creați în etapa de inițializare. De exemplu, operatorii genetici folosiți pentru încrucișare și mutație conțin funcții suplimentare care limitează adâncimea descendenților creați.

4.2.2. Funcția fitness

Funcția fitness stabilește performanța programelor din populație folosind un proces de evaluare. Căutarea genetică este ghidată de rezultatul acestei evaluări.

Etapa de evaluare necesară pentru atribuirea funcției fitness este deseori dificilă, deoarece ea presupune:

- Execuția propriu-zisă a fiecărui program, în cazul în care indivizii codează un program.
- Efectuarea calculelor asociate fiecărui individ, în situația în care indivizii codează o expresie simbolică. Efectuarea calculelor include etape de analiză lexicală, sintactică și semantică.

Definirea funcției fitness este o sarcină dificilă, care este dependentă de problemă.

Pentru atribuirea funcției fitness, există mai multe abordări:

- Funcția fitness poate să fie o măsură a erorii produse de program, iar căutarea genetică este folosită pentru minimizarea acestei erori.

De exemplu, în cazul căutării unei expresii, dacă n reprezintă numărul de evaluări necesare pentru fiecare individ, r este rezultatul corect, iar y este rezultatul obținut în urma procesului de evaluare, o măsură a erorii poate să fie dată de relația:

$$Eroare = \sqrt{\frac{1}{n-1} \sum_{i=1}^n (y_i^2 - r_i^2)} \quad (4.4)$$

În acest caz, funcția fitness este de forma relației:

$$Fitness = \frac{1}{1 + Eroare} \quad (4.5)$$

- Funcția fitness poate include mai multe criterii, ca de exemplu erori mici, dimensiuni reduse ale programului, eficiență. [Koz 92]

4.2.3. Operatorii genetici în programarea genetică

Similar cu algoritmi genetici, programarea genetică folosește operatorii genetici de selecție, încrucișare și mutație. [Gus 01]

Operatorul de selecție alege indivizi mai performanți folosind funcția fitness și produce o populație intermediară de programe care va fi supusă operatorilor de încrucișare și mutație. Programarea genetică poate folosi în principiu oricare din metodele de selecție proprii algoritmilor genetici. O metodă mai des folosită este selecția turneu, deoarece ea nu necesită ordonarea populației.

Operatorul de încrucișare crează descendenți prin alegerea aleatoare a unor subarbori din doi părinți și interschimbarea acestora. Astfel, operatorul de încrucișare crează noi programe, folosind componente din programele părinți. Deoarece se face un schimb complet de subarbori, operatorul de încrucișare va produce numai descendenți admisibili, care sunt corecți din punct de vedere sintactic și semantic, indiferent de punctul de încrucișare ales.

În figura 4.3. se prezintă un exemplu de încrucișare pentru programarea genetică. Operația de încrucișare folosește doi părinți aleși aleator și acționează cu probabilitatea încrucișării. În fiecare arbore se alege aleator câte un punct de încrucișare. În figură se presupune că s-au ales punctele marcate cu săgeată, care delimitează în fiecare părinte câte doi subarbori. În continuare, operatorul de încrucișare schimbă subarborii între ei și produce doi descendenți.

Operatorul de mutație se apelează cu probabilitate redusă și produce o alterare aleatoare a indivizilor. Rolul său principal este de a menține diversitatea populației, în scopul evitării unei convergențe premature a algoritmului genetic spre o soluție suboptimală. În

programarea genetică, acest operator are o importanță mai mică și este de obicei o varietate a încrucișării.

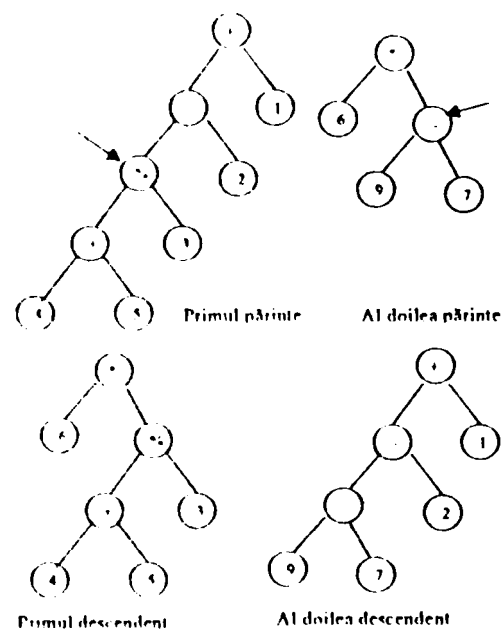


Fig. 4.3. Exemplu de încrucișare în programarea genetică.

Operatorul de mutație alege aleator un singur individ pentru mutație. În continuare, alege aleator în acest individ un punct pentru mutație, înlătură subarborele cu rădăcina în nodul selectat și îl înlocuiește cu un subarbor generat aleator.

În figura 4.4 se prezintă un exemplu de operator de mutație pentru programarea genetică. În această figură se presupune că s-a ales aleator un individ pentru mutație, iar punctul de mutație este cel reprezentat cu săgeată. Acest punct delimitează un subarbor care se înlătură, iar în locul lui se inserează un subarbor generat aleator.

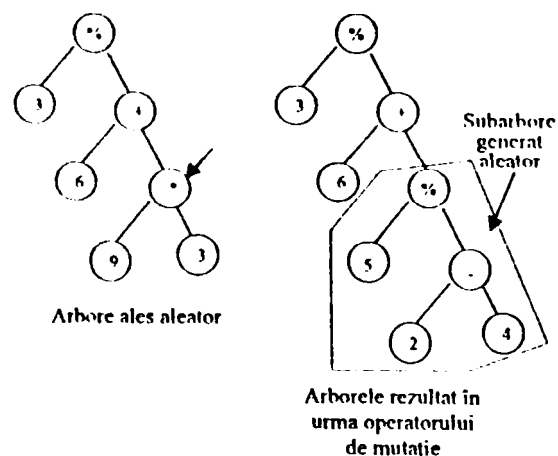


Fig. 4.4. Exemplu de operator de mutație pentru programarea genetică.

4.2.4. Etapele programării genetice

Pentru programarea genetică, trebuie definite următoarele elemente:

- mulțimea terminalelor
- mulțimea funcțiilor
- funcția fitness
- parametri algoritmului genetic

- metoda de alegere a rezultatului și criteriul de oprire

Criteriul de oprire poate fi un număr prestabilit de generații, ori atingerea optimului (funcție fitness maximă).

Spațiul de căutare al problemei este mulțimea tuturor s-expresiiilor LISP care se pot compune recursiv din mulțimile T și F.

Programarea genetică parcurge următoarele etape:

1. Generează aleator o populație inițială de programe.
2. Execută iterativ următorii pași până la îndeplinirea condiției de oprire:
 - a. Execută fiecare program din populație pentru evaluarea performanței și atribuie funcția fitness pentru fiecare individ din populație.
 - b. Crează o populație de programe din generația următoare, folosind operatorii genetici:
 - Selecție: copiază programele mai performante într-o populație intermediară.
 - Încrucișare: alege aleator doi părinți cu probabilitatea încrucișării și crează doi descendenți prin recombinarea genetică a unor părți alese aleator din programele părinți.
 - Mutatie: alege aleator indivizi cu probabilitatea mutației și produce o alterare aleatoare a acestora.
3. Programul cel mai bun produs în decursul tuturor generațiilor este soluția problemei.

4.3. Exemple de aplicații de programare genetică

4.3.1. Regresie simbolică

Problema se referă la identificarea unei funcții (numită și regresie simbolică) care simulează funcționarea unui multiplexor cu 11 intrări. Exemplul este o problemă de învățare automată a unei funcții booleene, în care terminalele sunt valori booleene, iar funcțiile sunt combinații de funcții booleene.[Koz 92]

Intrările unui multiplexor cu N intrări se compun din:

- k intrări de selecție care reprezintă biți de adrese a_i , $i=1, 2, \dots, k$
- 2^k intrări de date care reprezintă intrări de date d_j , $j=1, 2, \dots, 2^k$. Așadar, $N=k+2^k$.

Ieșirea multiplexorului este o valoare booleană (0 sau 1) care corespunde cu bitul de intrare selectat de intrările de adrese.

Un multiplexor cu 11 intrări are 3 intrări de adrese și 8 intrări de date.

În figura 4.5 se prezintă multiplexorul pentru cazul în care pe intrările de date are combinația de biți 01000000, iar pe adrese 110. Ieșirea multiplexorului este în acest caz valoarea booleană "1". Se definesc în continuare mulțimile T și F: [Koz 92]

Mulțimea terminalelor este formată din intrările multiplexorului:

$$T=\{a_0, a_1, a_2, d_0, d_1, \dots, d_7\}$$

Mulțimea funcțiilor conține funcțiile cele mai potrivite, alese de utilizator, care pot defini cel mai bine programul căutat:

$$F=\{\text{AND, OR, NOT, IF}\} \text{ care pot avea respectiv 2, 2, 1 și 3 argumente.}$$

Funcția IF este identică cu reprezentarea LISP, care returnează al doilea argument dacă primul este diferit de NIL sau al treilea argument dacă primul este NIL.

Se caută identificarea funcției booleane a multiplexorului, care este o funcție particulară dintr-un număr de 2^{k+2^k} funcții booleene posibile, care au fiecare un număr de $k+2^k$ argumente.

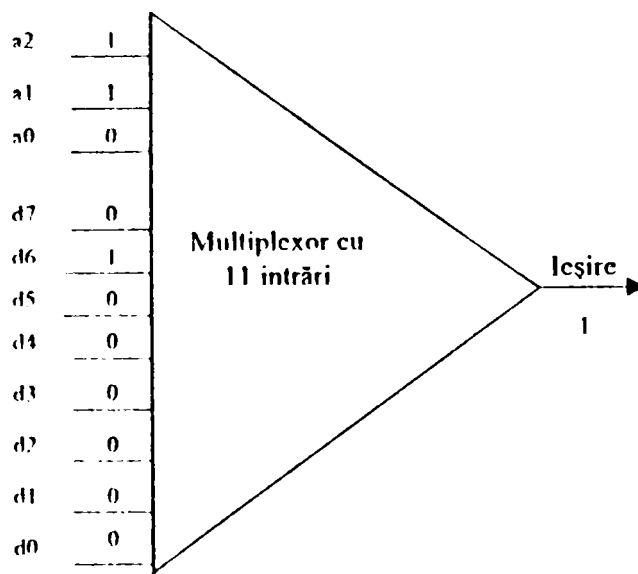


Fig. 4.5. Multiplexor cu 11 intrări

De exemplu, pentru $k=3$, spațiul de căutare este 2^{2048} , aproximativ egal cu 10^{616} .

Pentru evaluarea multiplexorului se folosesc cele 2048 de combinații posibile ale celor 11 intrări. Astfel, o etapă de evaluare constă din 2048 de evaluări, pentru toate combinațiile posibile.

Fiecare individ din populație primește o funcție fitness egală cu numărul de ieșiri corecte din cele 2048 evaluări, iar această funcție se maximizează. Valoarea maximă a funcției fitness este deci 2048 și găsirea acestei valori se poate folosi ca și criteriu de oprire.

În continuare, se stabilesc parametri algoritmului genetic:

Se alege mărimea populației de 4.000 indivizi, iar numărul maxim de generații 50. Criteriul de oprire este fie atingerea optimului, fie numărul maxim de generații.

Se alege metoda de selecție, operatorul de încrucișare, mutație, precum și probabilitățile de aplicare a operatorilor.

Populația inițială, generată aleator, poate conține numeroși indivizi foarte neperformanți:

- constanți
- contradictorii: de exemplu (AND a0 (NOT a0))
- pasivi, care nu au nici un efect, cum ar fi: (NOT (NOT a1)), (OR d7 d7)
- cu argumente eronate, ca de exemplu: (IF d0 a0 a2) care folosește bitul d0 pentru selecția ieșirii.

Uzual, acești indivizi se înlătură din populație și se continuă generarea aleatoare de indivizi până la completarea numărului dorit de indivizi în populația inițială. Acest lucru presupune existența unor proceduri deterministe care verifică dacă indivizii din populație corespund cu restricțiile impuse de problemă.

Algoritmul genetic este capabil să găsească o soluție cu fitnessul maxim, de exemplu:

(IF a0 (IF a2 (IF a1 d7 d5) (IF a1 d3 d1)) (IF a2 (IF a1 d6 d4) (IF a1 d2 d0))), care reprezintă soluția acestei probleme de programare genetică.

4.3.2. Aproximarea funcțiilor

Se presupune următoarea aplicație simplă, care își propune să aproximeze funcția: [Kei 01]

$$f_1: (0, 50) \rightarrow \mathbb{R}, \quad f_1(x) = x^3 - 2x^2 + 8$$

Mulțimea terminalelor este formată din numere naturale:

$$T = \{0, 1, 2, 3, \dots\}$$

Pentru mulțimea funcțiilor se aleg operații aritmetice simple:

$$F = \{+, -, *, \%\}$$

Spațiul de căutare al problemei este mulțimea tuturor s-expresilor LISP care se pot compune recursiv din mulțimile T și F.

Pentru etapa de evaluare se poate folosi o mulțime de puncte x din domeniul de definiție al funcției date, pentru care se evaluează atât funcția f_1 , cât și fiecare individ din populație.

Funcția fitness poate fi suma diferenței absolute dintre valorile corecte și cele obținute prin evaluarea indivizilor. Astfel, funcția fitness devine o măsură a erorii produse prin aproximarea acestei funcții și această eroare se minimizează.

Soluțiile găsite de Keijzer [Keijzer01] prin programare genetică sunt următoarele două funcții:

$$f_{11}(x) = 30x^2 + 5000$$

$$f_{12}(x) = 2000x - 9992$$

4.3.4. Legi de control pentru manevrele aeronavelor

Howley, în 1996, a folosit programarea genetică pentru găsirea unor legi de control pentru manevrele aeronavelor. Mulțimea de funcții folosită în aplicație este similară cu cea folosită la regresia simbolică. [Kei 01]

4.3.5. Proiectarea circuitelor electrice analogice

John Koza a aplicat programarea genetică în proiectarea unor circuite electrice analogice. Mulțimea de funcții a inclus operații de ridicare la puterea a doua și a treia, radical de ordinul doi și trei, logaritmi. Aplicația a necesitat o populație de dimensiuni foarte mari (cca. 640.000) și numărul maxim de generații a fost 500. [Kei 01]

4.4. Extensii ale programării genetice

4.4.1. Definirea automată a funcțiilor ierarhice (ADF – automatic definition of functions)

Programatorii crează deseori subrutine, subprograme, proceduri, funcții, în scopul descompunerii unei probleme în subprobleme. Aceste funcții pot fi apelate din orice loc în program, cu diferite argumente. [Gus 01]

În contextul programării genetice, definirea funcțiilor ierarhice se poate implementa prin stabilirea unei structuri sintactice cu restricții.

Astfel, fiecare individ din populație poate conține:

- unul sau mai mulți arbori care definesc funcții;
- unul sau mai mulți arbori care produc rezultate; acești arbori conțin apeluri de funcții;

Abordarea programării genetice din perspectiva ADF presupune că este mai ușoară implementarea programelor sub forma unui program principal și a unor subprograme. Astfel, programul principal poate apela subprograme, iar acestea la rândul lor pot apela alte subprograme.

Din această perspectivă, programarea genetică are două sarcini:

- găsirea unor subprograme performante
- compunerea subprogramelor găsite într-o structură de program performantă

În această situație, un individ este reprezentat sub forma unei păduri de arbori. Unul sau mai mulți arbori din această pădure conțin apeluri la subprograme, iar ceilalți arbori reprezintă subprograme.

Fiecare subprogram este reprezentat sub forma unor instrucțiuni LISP și constă dintr-o mulțime specifică de terminale și funcții. Referințele admise între subprograme determină o structură ierarhică de funcții.

La mulțimea de funcții F se adaugă suplimentar următoarele elemente:

- O funcție ADF, care reprezintă apeluri de subprograme. Fiecare funcție ADF primește un nume care corespunde cu numele subprogramului apelat, de exemplu S1, S2, etc.
- O funcție ARG, care reprezintă argumentul cu care se apelează un anumit subprogram. Fiecare nod ARG are un nume care corespunde cu numele simbolic al argumentului pentru subprogramul apelat, de exemplu Arg1, Arg2 etc. Funcția ARG este un nod frunză în arborele acestui subprogram.

La întâlnirea unui nod ADF, se evaluează mai întâi fii acestuia, iar valorile returnate prin evaluare se atribuie nodurilor ARG din arborele subprogramului apelat. În final, nodul ADF va primi valoarea returnată de evaluarea subprogramului.

Deși un subprogram poate apela alt subprogram, în funcție de tipul aplicației, recursivitatea este rareori permisă, deoarece unele programe eronate pot determina intrarea într-un ciclu infinit în etapa de evaluare.

Deoarece subprogramele pot avea un număr variabil de argumente, definirea funcțiilor ierarhice presupune existența unei proceduri deterministe care verifică dacă apelul fiecărei funcții se face cu numărul corect de argumente.

În figura 4.6 se reprezintă un exemplu de individ care se compune dintr-un arbore care produce rezultate și din 2 arbori care reprezintă subprograme.

Arborele care produce rezultat apelează subprogramul S1 cu un argument arg1 și subprogramul S2 cu două argumente Arg1 și Arg2.

Un apel al subprogramului S1 se face cu argumentul actual x , iar un alt apel cu argumentul actual y .

Subprogramul S2 se apelează cu argumentele actuale y și 7.

Pentru exemplul din figura 4.6, indivizii care reprezintă subprograme sunt echivalenți cu următorul cod LISP:

```
(defun S1 (Arg1)
  (* x (+ (S2 (S y)) (* Arg1 4))
```

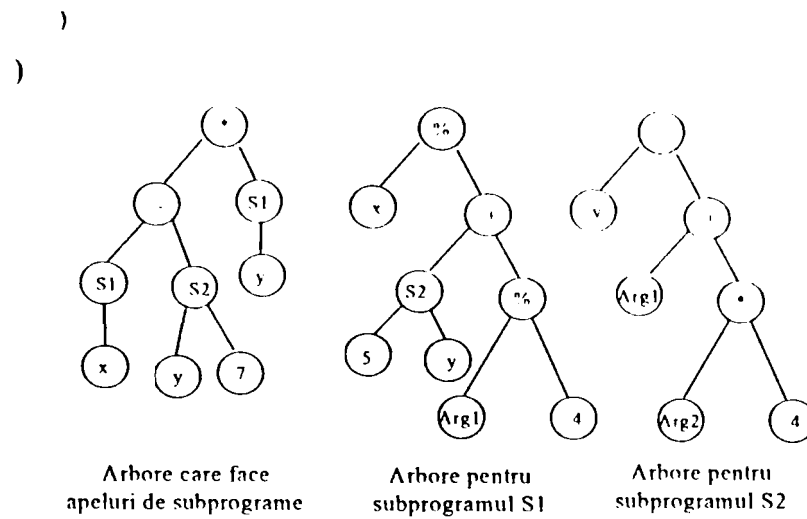


Fig. 4.6. Exemplu de individ care conține subprograme

Mulțimea funcțiilor pentru subprogramul S1 este: $F = \{+, \%, S2, Arg1\}$

```
(defun S2(Arg1 Arg2 )
  (- y (+ (Arg1 (* Arg2 4))
  )
)
```

Mulțimea funcțiilor pentru subprogramul S2 este: $F = \{+, -, *, Arg1, Arg2\}$

Arborele care apelează subprograme și produce rezultatul este echivalent cu:

```
(* (- S1(x) S2(y 7)) S1(y))
```

Mulțimea funcțiilor în arborele care apelează subprograme este: $F = \{+, -, S1, S2\}$

4.4.2. Programarea genetică cu verificarea tipurilor (Strongly-Typed Genetic Programming STGP)

Programarea genetică cu verificarea tipurilor adaugă restricții de tip de asupra valorilor returnate și asupra argumentelor nodurilor fii. [Kei 01]

Fie un subarbore cu rădăcina într-un nod n . El poate fi o subexpresie a unui nod m numai în cazul în care tipul simbolului returnat în nodul n este compatibil cu tipul pentru argumentul corespunzător al nodului m .

O astfel de abordare presupune că arborii au asociate tipuri pentru simbolurile returnate. Un nod r poate servi drept rădăcină a arborelui numai în cazul în care el returnează un tip compatibil cu tipul arborelui. Această situație este ilustrată în figura 4.7.

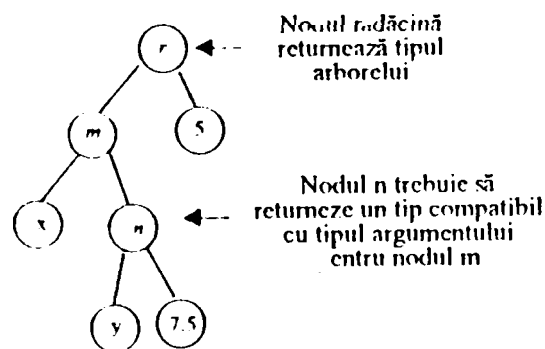


Fig. 4.7. Exemplu de asociere a tipurilor pentru simboluri.

Restricțiile de tip sunt rezolvate de proiectant prin implementarea unui sistem de tipuri care conține reguli de atribuire a tipului pentru diferitele componente ale programului, precum și metode de verificare a modului în care sunt respectate condițiile impuse de aceste reguli.

Generarea inițială a arborilor, operatorii de încrucișare și mutație trebuie să respecte restricțiile de tip impuse.

Această caracteristică a programării genetice asigură abilitatea de verificare a tipului unui arbore de fiecare dată când se modifică un subarbore al acestuia. Dezavantajul metodei este timpul mare de calcul.

4.4.3. Programarea genetică cu constante aleatoare (Ephemeral Random Constants ERC)

Multe aplicații necesită ca unele terminale în arbore să aibă o valoare numerică aleatoare. Pentru rezolvarea unor astfel de probleme, programarea genetică adaugă la mulțimea funcțiilor F o nouă funcție numită "șablon ERC". Algoritmul de generare a populației inițiale folosește această funcție pentru a alocă o valoare numerică aleatoare, într-un domeniu specificat aprioric, unui nod frunză corespunzător. Odată alocată o astfel de valoare, ea nu mai poate fi modificată în timpul evoluției. [Kei 01].

4.5. Concluzii

Programarea genetică este o extensie a algoritmilor genetici de mare actualitate, care folosește metode de codare și de evaluare specifice. Noțiunea de programare genetică se bazează pe ideea de a combina programele calculatoarelor cu algoritmi genetici, idee care aparține lui Koza J.R. [Koz 92]. Fiind un domeniu de cercetare foarte recent, în literatură există puține abordări în această direcție, iar cele existente sunt în principal diferite aplicații care își propun să demonstreze capacitatea de evoluție a programelor calculatoarelor și a celor pentru expresii, folosind programarea genetică.

În acest capitol s-au prezentat aspecte specifice programării genetice:

- modul de codare al indivizilor;
- stabilirea performanței programelor prin funcția fitness;
- operatori genetici folosiți;
- etapele programării genetice;
- exemple de aplicații cunoscute din literatură;
- extensii ale programării genetice.

Deoarece programarea genetică este o extensie a algoritmilor genetici de dată recentă și un domeniu de aplicație încă foarte puțin explorat, s-a considerat oportună cunoașterea noțiunilor noi introduse de acest domeniu al inteligenței artificiale.

Pe baza acestor noțiuni, în capitolul 7 se propune un sistem de programare genetică bazat pe toolboxul Symbolic Math în MATLAB.

Elementele de originalitate constau în:

- abordarea unui domeniu de aplicație al algoritmilor genetici de mare actualitate;
- sistematizarea cunoștințelor dobândite din literatură, pe baza unor materiale bibliografice dintre cele mai recente;
- prezentarea unor exemple de implementare a programării genetice.

CAPITOLUL 5. APLICAȚII ALE ALGORITMILOR GENETICI ÎN SINTEZA SISTEMELOR AUTOMATE

Multe probleme de analiză și sinteză a sistemelor automate, unde metodele tradiționale de optimizare numerică sau programarea dinamică sunt dificil de aplicat, se pot rezolva folosind tehnici de calcul evoluționist. [Dum 00]

În acest capitol se prezintă aplicații ale algoritmilor genetici realizate de autoare în domeniul precizat. [Dra 03], [Gab 01], [Dal 02], [Vla 03a].

5.1. Proiectarea și implementarea unui algoritm genetic în MATLAB

MATLAB este un mediu de programare performant, specializat în calcul numeric și reprezentări grafice în domeniul științei și ingineriei, care include analiză numerică, calcul matriceal, procesări de semnale, precum și un număr din ce în ce mai mare de toolboxuri destinate unor domenii diferite.

Pentru analiza și proiectarea sistemelor automate, cele mai folosite toolboxuri sunt Control System, Robust Control, Optimization, Simulink. [Ghi 97]

Implementarea unui algoritm genetic în MATLAB are avantajul că permite folosirea cu ușurință a tuturor facilităților oferite de acest mediu de programare și poate fi folosit în rezolvarea unor probleme de analiză și sinteză a sistemelor. [Mat 00]

5.1.1. Caracteristicile algoritmului genetic implementat

Pentru a facilita folosirea algoritmului genetic în aplicații de sinteză sistemelor automate, autoarea a implementat un program în mediul MATLAB, realizat modular, sub forma unor funcții MATLAB care pot fi apelate cu ușurință de către utilizator.

Algoritmul genetic implementat are următoarele caracteristici:

- Permite codarea indivizilor cu valori binare sau reale, cu vectori de numere binare sau reale, sau cu șiruri de permutări.
- Implementează operatori genetici corespunzători cu metoda de codare folosită.
- Generează aleator populația inițială, dar permite și folosirea unei populații inițiale specificate aprioric de către utilizator.
- Permite stabilirea parametrilor algoritmului genetic de către utilizator.
- Implementează iterațiile specifice algoritmului genetic.
- Este flexibil, oferind posibilitatea adaptării cu ușurință la diverse aplicații. Pentru folosirea algoritmului într-o aplicație specifică, utilizatorul trebuie să scrie numai două funcții, și anume: o funcție de inițializare în care stabilește parametrii algoritmului genetic și o funcție care evaluează indivizii și calculează funcția fitness.
- Datorită faptului că este implementat în mediul MATLAB, algoritmul genetic permite folosirea tuturor facilităților oferite de acest mediu de programare, inclusiv simularea sistemelor automate în faza de proiectare sau/și în faza de evaluare a rezultatelor. [Paș 02]

Modul de interacțiune al algoritmului genetic cu utilizatorul este prezentat în figura 5.1.

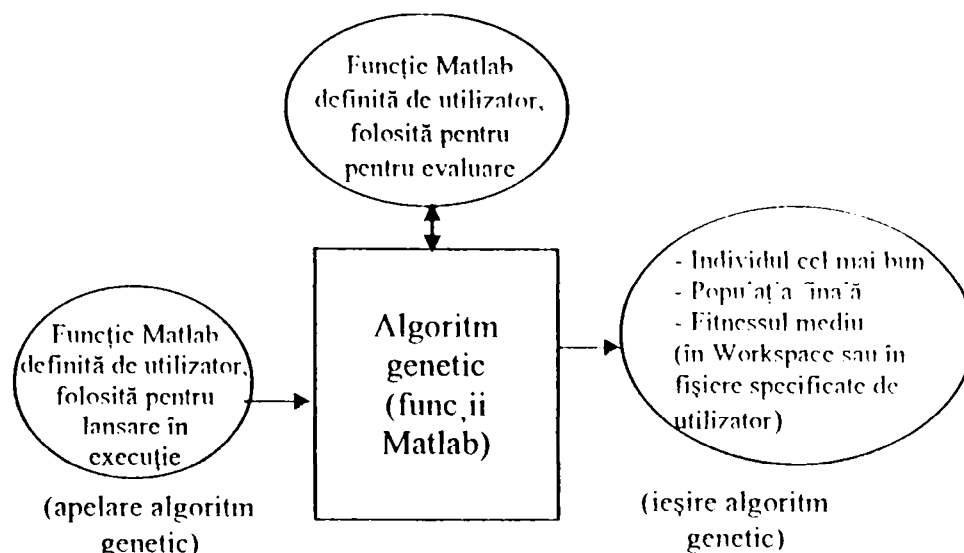


Fig. 5.1. Modul de interacțiune al algoritmului genetic cu utilizatorul

5.1.2. Implementarea algoritmului genetic

Algoritmul genetic implementat este o colecție de funcții Matlab care îndeplinesc acțiunile necesare pentru evoluția algoritmului, acțiuni care sunt descrise în paragraful 2.1.1.2 și sunt reprezentate în figura 2.4.

Principalele funcții definite în programul realizat sunt:

Inițializare : Generează aleator populația inițială de soluții;

Iterație: Asigură funcționarea iterativă a algoritmului genetic până la îndeplinirea criteriului de oprire.

Operatori de selecție : Creează populația intermediară de soluții;

Operatori de încrucișare;

Operatori de mutație:

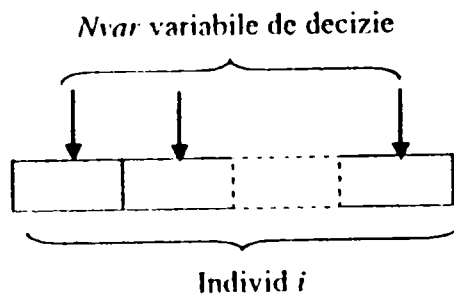
Funcții auxiliare necesare pentru conversii de date și manipulare șiruri de caractere.

5.1.2.1. Generarea populației inițiale

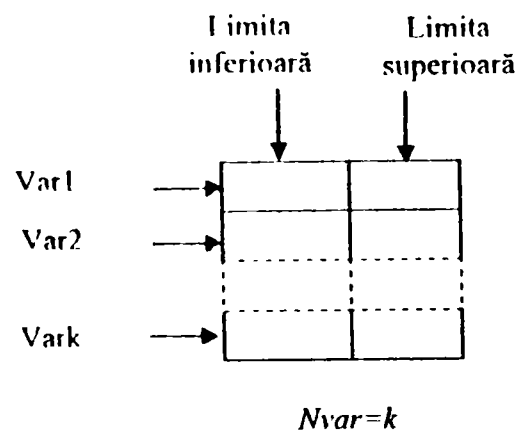
Populația inițială se poate genera aleator folosind funcția *inițializare.m*.

Argumente de intrare:	$N =$	numărul de indivizi din populație
	$r =$	matrice cu restricții pentru vectorii de decizie, care conține limitele inferioare și superioare ale acestora și impune domeniul admisibil
	$evaluate =$	șir de caractere care reprezintă numele funcției de evaluare
	$param =$	parametru care stabilește modul de codare al indivizilor (numere reale sau șiruri binare)
Argumente de ieșire:	$init =$	matrice cu populația inițială, care pe fiecare linie conține un individ, iar pe ultima coloană valoarea Fitness corespunzătoare.

Deoarece mediul Matlab permite folosirea cu ușurință a vectorilor, indiferent de modul de codare cu numere reale ori cu șiruri binare, un individ i este un vector linie, în care fiecare element codează una din cele $Nvar$ variabile de decizie. (figura 5.2.).

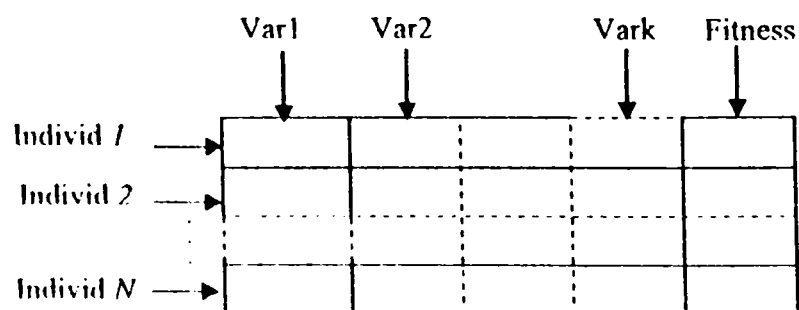
Fig. 5.2. Un individ i

Numărul variabilelor de decizie $Nvar = k$, care codează individul și care reprezintă necunoscutele problemei, este stabilit de numărul de linii ale matricei r (figura 5.3).

Fig. 5.3. Matricea r

În cazul particular în care un individ constă dintr-un singur număr real sau binar, $Nvar=1$.

Matricea $init$ este ieșirea funcției de inițializare. Fiecare linie a acestei matrice memorează un individ din populație. Ultima coloană a acestei matrice conține valoarea Fitness calculată pentru fiecare individ. (figura 5.4.)

Fig. 5.4. Matricea $init$

În prima generație a algoritmului genetic, matricea populației curente pop este inițializată cu matricea $init$.

5.1.2.2. Funcția de iterație

Funcția *iterație.m* este funcția principală a algoritmului genetic, care aplică operatorii genetici prin apelul funcțiilor corespunzătoare și creează populația din generația următoare. (figura 5.5.)

Iterația se termină la atingerea criteriului de oprire, care poate fi numărul maxim de generații sau atingerea optimului, la libera alegere a utilizatorului, precizată în lista_par.

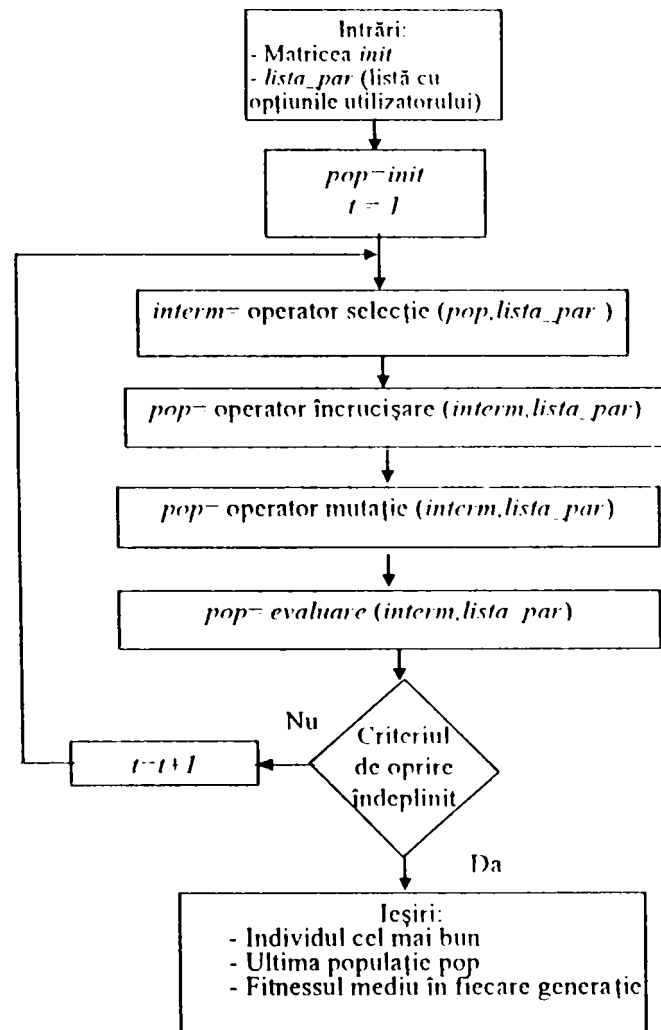


Fig. 5.5. Funcția *iterație.m*

5.1.2.3. Operatori de selecție

În funcție de opțiunile utilizatorului, algoritmul genetic poate folosi unul din 3 operatori genetici definiți pentru selecție: selecție proporțională, selecția turneu sau selecția ordonată după rang.

Pentru fiecare din acești operatori s-a implementat câte o funcție Matlab folosind algoritmi descriși în paragraful 2.2.

Aceste funcții sunt: *sel_prop.m*, *sel_turneu.m*, *sel_rang.m*. Ele au ca argumente: matricea *pop* și *lista_par* și returnează matricea *interm*, care este populația intermediară rezultată în urma aplicării operatorului de selecție. (figura 5.6.)

5.1.2.4. Operatori de încrucișare

În raport cu opțiunile utilizatorului, algoritmul genetic poate folosi unul din 4 operatori genetici definiți pentru încrucișare: încrucișare într-un singur punct, încrucișare în 2 puncte, încrucișare discretă sau încrucișare aritmetică. Pentru fiecare din acești operatori s-a implementat câte o funcție Matlab folosind algoritmi descriși în paragraful 2.3.

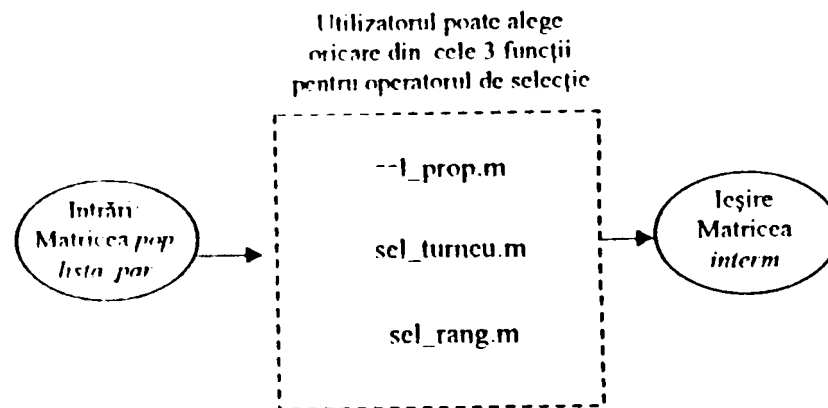


Fig. 5.6. Operatori de selecție

Operatorul de încrucișare este apelat de funcția de iterație și are ca argument populația intermediară *interm* și *lista_par*. El returnează noua populație intermediară *pop* rezultată în urma aplicării operatorului de încrucișare.

Funcțiile implementate sunt: *incr_1p.m*, *incr_2p.m*, *incr_discret.m* și *incr_arit.m* (figura 5.7.)

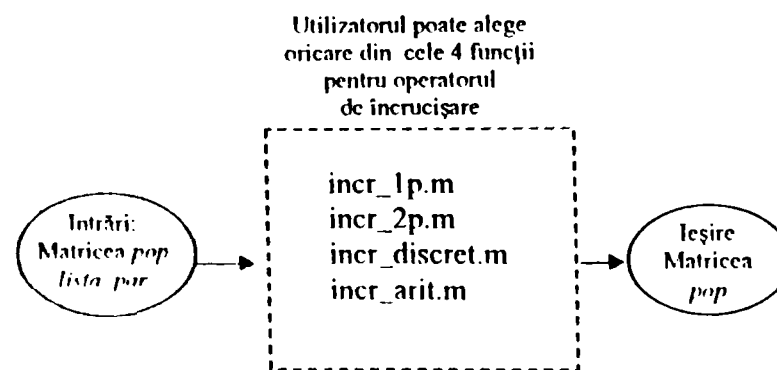


Fig. 5.7. Operatori de încrucișare

5.1.2.5. Operatori de mutație

Algoritmul genetic poate apela oricare din cei 4 operatori genetici definiți pentru mutație: mutația binară, mutația binară cu deplasare, mutația uniformă, mutația limită.

Pentru fiecare din acești operatori s-a implementat câte o funcție Matlab folosind algoritmi descriși în paragraful 2.4.

Operatorul de mutație este apelat de funcția de iterație și are ca argument populația *pop* rezultată în urma operatorului de încrucișare și *lista_par*. El returnează noua populație intermediară *pop* rezultată în urma aplicării operatorului de mutație.

Funcțiile implementate sunt: *mut_binar.m*, *mut_depl.m*, *mut_unif.m*, *mut_limita.m*. (figura 5.8.)

5.1.3. Funcții dependente de aplicație

Funcțiile care au fost descrise în paragraful 5.1.2. reprezintă nucleul algoritmului genetic, independente de aplicație și se folosesc de aceeași manieră, indiferent de aplicație.

Pentru a putea folosi algoritmul genetic, utilizatorul trebuie să scrie două funcții suplimentare, care sunt dependente de aplicația dată.

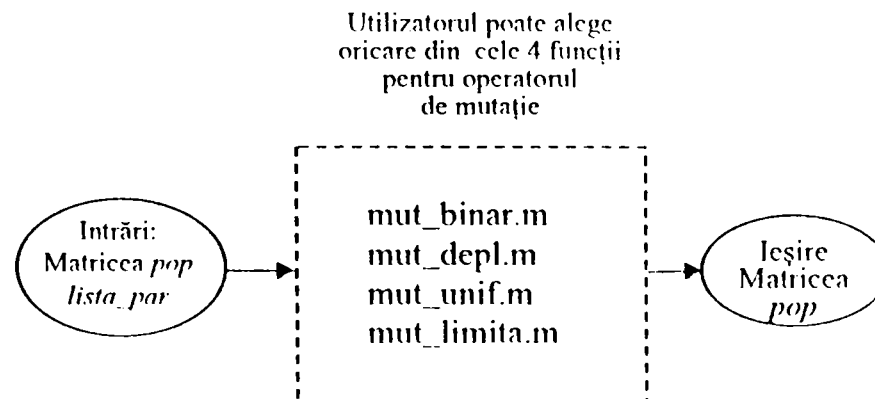


Fig. 5.8. Operatori de mutație

Acestea sunt:

- funcție pentru lansarea în execuție a algoritmului genetic, cu un nume generic dat de utilizator, de exemplu aplicație.m
- funcție de evaluare, cu un nume generic dat de utilizator, de exemplu evaluare.m

Pentru fiecare din aplicațiile prezentate în paragrafele următoare, autoarea a scris două astfel de funcții specifice aplicației.

5.1.3.1. Funcția pentru lansare în execuție

Pentru lansarea în execuție a algoritmului genetic, utilizatorul trebuie să scrie o funcție ori un script Matlab care execută următoarele acțiuni:

- Stabilește numărul N de indivizi din populație și modul de codare al indivizilor prin variabila $param$;
- Precizează numărul variabilelor de decizie, precum și domeniul lor prin declararea matricei r ;
- Declară numele funcției de evaluare;
- Stabilește alți parametri necesari pentru algoritmul genetic (criteriul de oprire, numărul maxim de generații, tipul operatorilor genetici folosiți) într-o listă de parametri $lista_par$;
- Dacă populația inițială se generează aleator, apelează funcția de inițializare. altfel declară matricea $init$, care devine intrare în funcția de iterație;
- Apelează funcția de iterație;
- Decide acțiunile întreprinse la terminarea iterației.

În situația în care funcția de lansare în execuție returnează rezultatul algoritmului genetic în Workspace, ea are următoarele ieșiri:

- individul cel mai bun
- ultima populație *pop*
- fitnessul mediu în fiecare generație

Deoarece iterația algoritmului genetic poate să dureze un timp îndelungat, utilizatorul poate decide memorarea rezultatului în fișiere special create pentru fiecare aplicație. În această situație, funcția de iterație devine de fapt un script Matlab, iar fișierele create pot fi consultate de utilizator după terminarea iterației.

În aplicațiile realizate cu algoritmul genetic descris în paragraful 5.1.2., s-a optat pentru ultima variantă.

5.1.3.2. Funcția de evaluare

Funcția de evaluare este specifică fiecărei aplicații. Ea se apelează cu argumentul *pop*, calculează valoarea Fitness pentru fiecare individ, înlocuiește ultima coloană din această matrice cu valorile Fitness calculate și returnează matricea *pop* actualizată.

Implementarea funcției de evaluare este o etapă importantă în rezolvarea problemelor, deoarece ea influențează în mare măsură calitatea soluțiilor obținute de algoritmi genetici.

Avantajul folosirii mediului MATLAB este faptul că această funcție poate folosi toate facilitățile oferite de acest mediu, cum ar fi calcul matriceal, diferențial și integral, toolboxul Control System, Simulink. [Mat 00a]

Folosind facilitățile menționate, algoritmul genetic implementat permite evaluarea indivizilor din populație prin oricare din următoarele alternative:

- funcția de evaluare calculează valorile Fitness și returnează matricea *pop*;
- funcția de evaluare apelează un model Simulink al sistemului, care conține blocuri de calcul pentru Fitness și returnează chiar valoarea Fitness;
- funcția de evaluare execută unele acțiuni necesare pentru evaluare, iar pentru alte acțiuni apelează un model Simulink al sistemului.

În special în cazul aplicațiilor din inginerie, este foarte utilă o modelare a sistemului de optimizat, modelare care permite o reprezentare mai realistă a sistemelor neliniare. [Gab 01]

În acest context, folosirea toolboxului Simulink este un avantaj important. Toolboxul oferă un set complet de instrumente de modelare și permite utilizatorului să realizeze cu ușurință modelul sistemului studiat. [Sim 3]

În figura 5.9 se prezintă un exemplu de implementare a modelului Simulink folosit pentru evaluare, într-o aplicație care caută valorile optime ale parametrilor unui sistem, numit sistem de optimizat *SO* în raport cu un criteriu de performanță asociat cu ieșirea acestuia.

Modelul Simulink din figură se compune din următoarele blocuri:

- Modelul sistemului de optimizat *SO*
- Modelul etalon *ME*
- Bloc de calcul

În situația din figură se caută parametri sistemului *SO* (de exemplu parametri de acordare ai unui regulator PID: T_i , K_p , K_d), astfel încât ieșirea lui să fie egală cu ieșirea unui model etalon.

Indivizii algoritmului genetic codează parametri variabili ai sistemului SO și sunt modificate de operatorii genetici. În etapa de evaluare se încearcă performanțele lor chiar pe modelul sistemului, prin efectuarea unei simulări pentru fiecare individ și compararea ieșirii SO cu ieșirea modelului etalon. [Vla 03a]

Într-o formă simplificată, funcția obiectiv f_i poate fi pentru fiecare individ i modulul diferenței dintre ieșirile celor două sisteme, diferență care trebuie minimizată. (relația 5.1)

$$f_i = |y_{etalon} - y_{actual}| \quad (5.1)$$

unde y_{etalon} este ieșirea modelului etalon, iar y_{actual} este ieșirea sistemului de optimizat.

În această situație, funcția *Fitness* se poate defini printr-o relație de forma:

$$Fitness_i = \frac{1}{1 + f_i} \quad (5.2)$$

unde $i = 1, 2, \dots, N$, N fiind mărimea populației.

O funcție *Fitness* de forma relației (5.2) este ușor de implementat prin folosirea unui bloc de calcul în Simulink și, datorită facilităților Matlab se poate transmite algoritmului genetic, așa cum se reprezintă în figura 5.9.

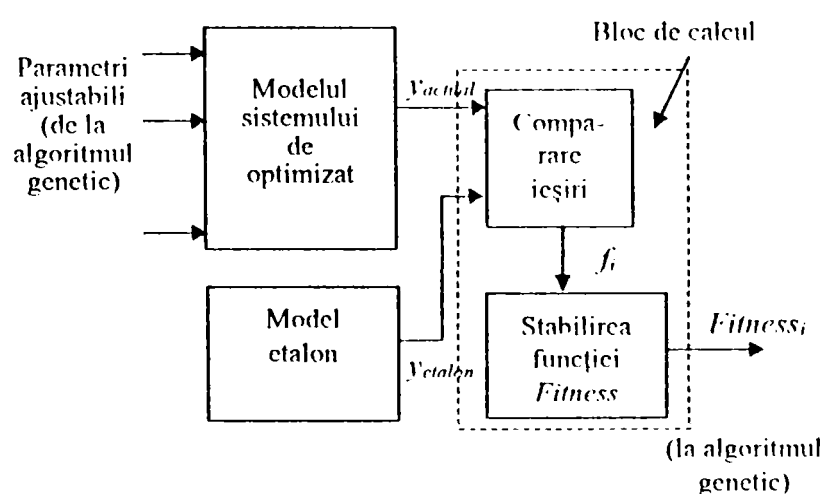


Fig. 5.9. Modelul Simulink folosit în etapa de evaluare

Algoritmul genetic folosește o populație de indivizi codați cu parametri sistemului de optimizat și funcționează într-o manieră descrisă în paragraful 2.1.1.2.

În etapa de evaluare, algoritmul genetic face apel la Simulink și transmite spre SO parametri pentru care se cere calculul funcției *Fitness*. La terminarea simulării, modelul Simulink transmite spre algoritmul genetic valoarea funcției *Fitness* care este apoi folosită în următoarele etape ale algoritmului genetic. Această secvență se repetă pentru fiecare individ din populație, în fiecare generație.

Astfel, algoritmul genetic care folosește modelul Simulink funcționează într-o manieră dinamică, așa cum se reprezintă în figura 5.10.

Algoritmul genetic implementat permite așadar evaluarea indivizilor chiar în modelul Simulink. Această abordare are următoarele avantaje:

- elimină necesitatea modelării matematice a sistemului;
- poate folosi atât modele liniare cât și neliniare;
- poate folosi atât sisteme monovaribile cât și multivaribile;

- permite o modelare mai realistă a sistemului studiat;
- reduce efortul de programare necesar pentru calculul funcției *Fitness*, permițând proiectantului să-și concentreze atenția asupra fenomenelor studiate.

5.1.2.6 Extensibilitatea algoritmului genetic

Datorită manierei modulare în care s-a implementat algoritmul genetic, cât și datorită facilităților oferite de mediul MATLAB, algoritmul genetic prezentat este foarte ușor extensibil.

Astfel, pentru definirea unor metode de codare suplimentare, ori a unor operatori genetici noi, utilizatorul poate adăuga cu ușurință alte funcții care definesc extensiile dorite și care pot fi apelate de funcția de iterație a algoritmului genetic prin simpla folosire a unor liste suplimentare de parametri.

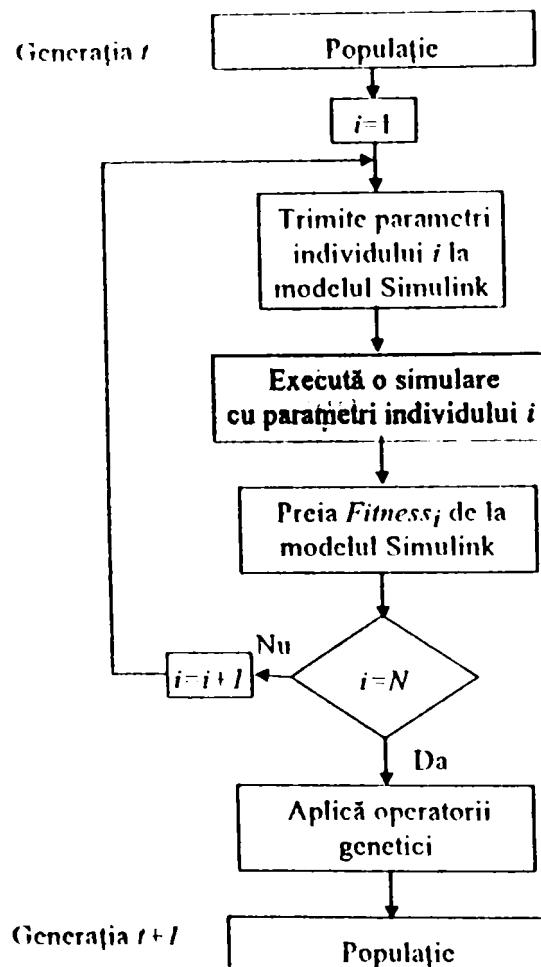


Fig. 5.10. Funcționarea dinamică a algoritmului genetic care folosește modelul Simulink.

5.2. Aplicarea algoritmilor genetici pentru acordarea optimă a reglatoarelor

5.2.1. Aspecte legate de indicatorii de calitate a sistemelor de reglare automată

Mărimile prin intermediul cărora se evaluează cantitativ exercitarea funcției de reglare de către un sistem de reglare automată se numesc indicatori de calitate. [Dra 86].

Indicatorii de calitate empirici se referă la mărimea reglată și se asociază diferitelor regimuri tranzitorii și staționare tipizate. Cel mai mult utilizați sunt indicatorii de calitate empirici definiți pe baza răspunsului indicial: timpul de reglare, suprareglajul, timpul de

primă reglare, timpul primului extrem, gradul de amortizare, timpul de creștere, stăsisul și abaterea maximă în raport cu mărimea de perturbație.

Indicatorii de calitate integrali se exprimă prin funcționale integrale temporale și surprind în mod cumulativ comportarea sistemului de reglare automată în regimuri tranzitorii sau permanente tipizate. Indicatorii de calitate integrali mai des folosiți sunt: integrala valorii absolute a erorii, criteriul suprafeței de reglare pătratice și indicatorii pătratici în raport cu starea și comanda.

În Anexa A, paragraful A3 se prezintă aspecte legate de indicatorii de calitate definiți în răspunsul indicial al sistemelor de reglare automată în raport cu mărimea de conducere.

Folosind indicatori de calitate definiți de răspunsul indicial, autoarea a aplicat algoritmi genetici în probleme de acordare optimă a reguletoarelor, într-o manieră care este prezentată în paragrafele următoare.

5.2.2. Aplicarea algoritmilor genetici pentru acordarea optimă a reguletoarelor în sisteme monovariabile

Așa cum s-a arătat în paragraful 5.2.1., performanțele unui sistem de reglare automată pot fi asociate cu răspunsul sistemului în buclă închisă la anumite semnale de intrare, cum ar fi de exemplu treapta unitară.

Impunând sistemului anumite obiective de performanță, ele se pot încadra într-o așa numită zonă permisă, care este reprezentată cu o culoare mai închisă în figura 5.11.

Pentru valori diferite ale parametrilor regulatorului folosit, curbele de răspuns ale sistemului vor fi diferite. Mărimea ariei delimitate de variația în timp a semnalului de ieșire care nu aparține zonei permise, reprezintă o măsură de penalizare a calității prestației regulatorului folosit în ansamblul sistemului de reglare.

O astfel de arie cu dimensiune mai mare corespunde cu performanțe mai reduse, iar valoarea zero indică faptul că obiectivele de performanță specificate sunt complet îndeplinite.

Curbele de răspuns se pot obține cu ușurință prin simularea sistemului de reglare automată.

În figura 5.11, cu t_{max} s-a notat timpul de simulare maxim, iar calculul ariei zonelor precizate se poate implementa chiar în modelul Simulink.

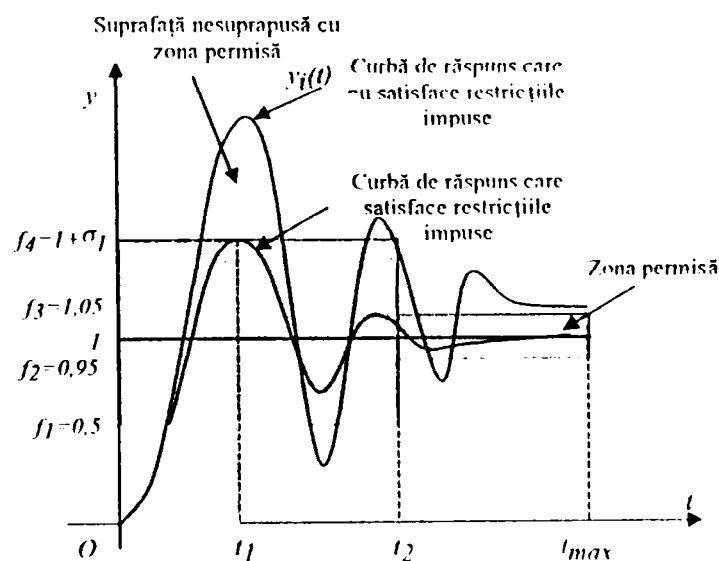


Fig. 5.11. Stabilirea obiectivelor de performanță folosind zona permisă.

Pentru folosirea algoritmului genetic prezentat în paragraful 5.1 în soluționarea problemelor de acordare optimă a reguletoarelor monovariabile, este necesară definirea corespunzătoare a funcției de inițializare și a funcției de evaluare.

Pentru definirea funcției de evaluare este necesară stabilirea unor obiective de performanță specifice problemei abordate.

Notând cu:

- $y_i(t)$ curba de răspuns la semnal treaptă unitară după mărimea de conducere, obținută prin simulare la ieșirea sistemului pentru individul i
- 1 valoarea de regim staționar ideală y_{∞}
- $f_1 = 0.5 \cdot y_{\infty}$
- $f_2 = 0.95 \cdot y_{\infty}$
- $f_3 = 1.05 \cdot y_{\infty}$
- $f_4 = y_{\infty} + \sigma_1$, unde σ_1 este suprareglajul
- $param_i$ parametri unui individ i , pentru care se caută soluții prin aplicarea algoritmilor genetici

performanța $J_i(param_i)$ a unui individ, în formă matematică este dată de expresia din relația:

$$J_i(param_i) = c_1 \int_0^{t_2} [\max\{y_i(t) - f_4, 0\}] \cdot dt + c_2 \int_{t_1}^{t_2} [\max\{f_1 - y_i(t), 0\}] dt + c_3 \int_{t_2}^{t_{\max}} [\max\{y_i(t) - f_3, 0\}] dt + c_4 \int_{t_2}^{t_{\max}} [\max\{f_2 - y_i(t), 0\}] dt \quad (5.3)$$

unde c_1, c_2, c_3, c_4 sunt coeficienți de ponderare, aleși pe baza unor cunoștințe apriorice despre problemă, astfel încât suma lor să fie egală cu 1, așa cum s-a arătat în paragraful 3.4.1.1.

Pentru cazul unui regulator PID, parametri pentru un individ i din algoritmul genetic sunt:

$$param_i = \{Kp, Ti, Td\} \quad (5.4)$$

Indivizii populației se codează cu vectori de numere reale, dați de relația (5.4.)

Cu cât valoarea calculată a lui $J_i(param_i)$ este mai mare, cu atât performanța individului i este mai redusă.

Pentru $J_i(param_i) = 0$, cerințele de performanță sunt complet îndeplinite.

Soluția problemei este reprezentată de valorile $param_i$ care minimizează valoarea expresiei $J_i(param_i)$, care reprezintă funcția obiectiv.

Deoarece, așa cum s-a precizat în paragraful 2.1.2, algoritmi genetici efectuează implicit o maximizare a funcției fitness, este necesară aplicarea unei transformări asupra funcției obiectiv.

În paragraful 2.1.2 s-a precizat că în astfel de situații se poate face o schimbare de semn, astfel încât se poate folosi relația: $Fitness_i = -J_i(param_i)$, unde $J_i(param_i) > 0$.

Din cauză că unii operatori de selecție impun valori pozitive pentru $Fitness$ (de exemplu selecția proporțională după fitness descrisă în paragraful 2.2.1), pentru a permite rezolvarea

problemei fără restricții privitoare la tipul operatorului de selecție, s-a optat pentru o transformare de forma relației (5.5).

$$Fitness_i = \frac{1}{1 + J_i(param_i)} \quad (5.5)$$

Se observă că $Fitness_i \in (0,1]$. În cazul în care cerințele de performanță sunt complet îndeplinite, $J_i(param_i) = 0$, iar $Fitness_i = 1$.

Folosind transformarea (5.5), minimizarea funcției $J_i(param_i)$ este echivalentă cu maximizarea funcției $Fitness_i$, asigurând totodată și valori pozitive pentru $Fitness_i$.

Se impune precizarea că suprafețele care definesc caracteristicile răspunsului dorit nu trebuie să fie în toate cazurile de aceeași formă cu cele reprezentate în figura 5.11. Proiectantul poate defini un număr suplimentar de criterii în timpul de simulare $[0, t_{max}]$, criterii care se pot adăuga la funcția de evaluare pentru a stabili valoarea funcției $Fitness$ corespunzătoare cu fiecare individ din populație.

Pentru definirea funcției $Fitness$ se poate implementa cu ușurință în Simulink un bloc care calculează valoarea $J_i(param_i)$, și $Fitness_i$ indiferent de forma și dimensiunea zonei permise, pe baza schemei bloc din figura 5.9.

Algoritmul genetic care folosește modelul Simulink funcționează într-o manieră dinamică, așa cum se reprezintă în figura 5.10.

Deoarece funcția $Fitness$ este definită folosind răspunsul sistemului la anumite semnale de intrare și se bazează pe interpretarea geometrică a performanțelor în planul (y, t) , această abordare este generală și nu impune restricții. Ea permite aplicarea algoritmilor genetici într-o manieră similară pentru acordarea optimă a reguletoarelor în diferite sisteme automate, atât liniare cât și neliniare.

De asemenea, o funcție $Fitness$ similară se poate folosi și în alte probleme de optimizare care se soluționează folosind algoritmi genetici.

5.2.3. Acordarea reguletoarelor lineare de tip PID folosind algoritmi genetici

În acest paragraf se prezintă două studii de caz referitoare la acordarea optimă a unui reglator PID într-un sistem de reglare monovariabil, folosind algoritmi genetici.

În aceste studii s-a folosit programul descris în paragraful 5.1. și funcția $Fitness$ definită în paragraful 5.2.2.

5.2.3.1. Studiu de caz nr. 1.

Studiul de caz se referă la acordarea optimă a unui reglator PID într-un sistem de reglare monovariabil cu structura din figura 5.12.

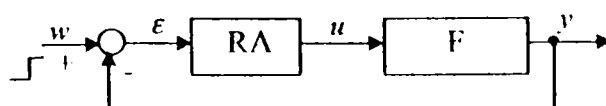


Fig. 5.12. Schema sistemului de reglare automată folosit în studiul de caz nr. 1

Regulatorul RA este de tip PID, cu parametri ajustabili K_p , T_d și T_i , cu funcția de transfer dată de relația:

$$H_{RA}(s) = K_p \left(1 + T_d s + \frac{1}{T_i s} \right) \quad (5.6)$$

Partea fixată este un proces cu funcția de transfer:

$$H_f(s) = \frac{1,5}{50s^3 + 43s^2 + 3s + 1} = \frac{6 \cdot 10^{-3}}{(1,224s + 1)(40,8s^2 + 1)} \quad (5.7)$$

unde $K_f(s) = 6 \cdot 10^{-3}$, iar constantele de timp predominante ale părții fixate sunt:

$$T_1 = 1,224 \text{ sec și } T_2 = 40,8 \text{ sec}$$

Obiectivele de performanță s-au impus folosind răspunsul sistemului la intrare treaptă unitară, reprezentată în figura 5.11 cu valorile:

$$f_1 = 0,8; \quad f_2 = 0,98; \quad f_3 = 1,02; \quad f_4 = 1,1.$$

Coefficienții de ponderare $c1, c2, c3, c4$ s-au ales egali fiecare cu 0,25.

S-au folosit algoritmi genetici simpli, în care indivizii populației s-au codat cu vectori de numere reale.

Astfel, un individ din populație este un vector de forma: $[K_p, T_d, T_i]$, iar parametri admisibili aparțin intervalului $[0,0001, 30]$ fiecare. Indivizii inadmisibili sunt rejectați.

Parametri algoritmului genetic, care au fost descriși în capitolul 2, sunt: Mărimea populației $N = 30$, operator de selecție turneu cu $T=5$, operator de încrucișare aritmetică, mutație uniformă, probabilitatea încrucișării 0,6, probabilitatea mutației 0,1, criteriul de oprire un număr de 30 de generații.

Modelul Simulink folosit în experimente este reprezentat în Anexa B, figurile B1, B2 și B3.

Prin aplicarea algoritmului genetic, s-a obținut un număr mare de soluții, care îndeplinesc complet cerințele impuse. Aceste soluții sunt prezentate în Tabelul 5.1.

Tabelul 5.1. Soluțiile obținute în studiul de caz nr. 1

Număr soluție	Kp	Td	Ti	Fitness
1	0.7652	7.2712	9.9160	1.0000
2	0.7721	7.0232	9.9124	1.0000
3	0.7721	7.0233	9.7365	1.0000
4	0.7345	7.1906	9.6547	1.0000
5	0.7626	7.6064	10.0000	1.0000
6	0.7730	6.8604	9.9984	1.0000
7	0.7499	6.6543	9.8734	1.0000
8	0.7623	7.4269	10.0000	1.0000
9	0.8031	6.7831	9.9767	1.0000

Numărul mai mare de soluții obținute este un avantaj, deoarece permite alegerea soluției finale pe baza unor criterii suplimentare. În acest sens, în figura 5.13 sunt ilustrate câteva rezultate obținute prin simulare. Astfel:

- Figurile 5.13 a, 5.13 b și 5.13 c reprezintă răspunsul sistemului de reglare automată la o intrare treaptă unitară, folosind parametri pentru soluțiile 1, 5 și respectiv 9 din tabelul 5.1. Figurile au pe abscisă timpul, măsurat în secunde, iar pe ordonată răspunsul $y(t)$ al sistemului la intrare treaptă unitară în timpul de simulare $t_{max} = 100 \text{ sec}$.

- Figura 5.13 d schițează evoluția algoritmului genetic – fitnessul mediu al populației (notat cu M) și deviața standard a funcției Fitness (notată cu S) - de-a lungul celor 30 de generații, obținute cu relațiile:

$$M = \frac{\sum_{i=1}^N \text{Fitness}_i}{N} \quad (5.8)$$

$$S = \sqrt{\frac{1}{N-1} \sum_{i=1}^N (\text{Fitness}_i - M)^2} \quad (5.9)$$

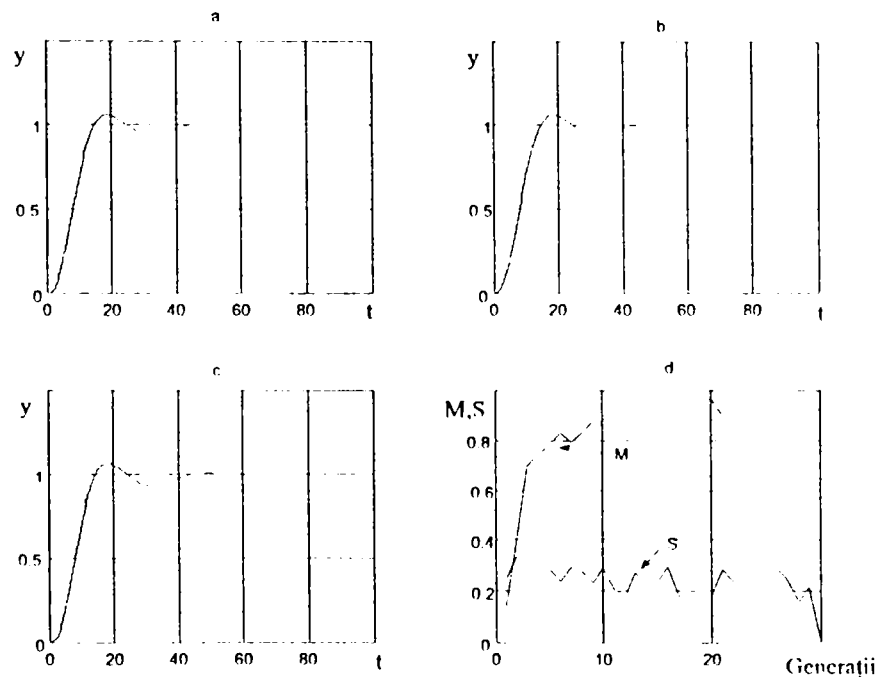


Fig. 5.13. Rezultatele obținute prin simulare folosind soluțiile din tabelul 5.1.

Analizând figura 5.13d se observă că problema acordării optime a unui regulator PID se poate rezolva folosind algoritmi genetici. Deoarece curba care reprezintă media populației se saturează în jurul a 20 generații, se poate trage concluzia că este suficient ca algoritmul genetic să evolueze un număr mai mic de generații pentru a găsi soluția problemei.

Soluțiile din tabelul 5.1, obținute folosind algoritmi genetici diferă foarte puțin una de alta, iar răspunsul sistemului se încadrează în limitele prestabilite. Curbele de răspuns ale sistemului, reprezentate în figura 5.13 sunt asemănătoare, soluția problemei conducând în ansamblu la indicatorii de calitate prezentați în tabelul 5.2.

Tabelul 5.2. Indicatorii de calitate pentru studiul de caz nr. 1

t_r [sec]	σ_w	$\sigma_w\%$	t_l [sec]	t_m [sec]	ψ	t_c [sec]
40	0,15	15	13	19	0,93	10

Deoarece pe parcursul evoluției se pot memora informații suplimentare legate de evoluția algoritmului genetic, în această aplicație, de fiecare dată când, pe parcursul evoluției s-a găsit un individ mai bun sau cel puțin egal cu indivizii găsiți în prealabil, s-a memorat într-un fișier numărul generației, Fitnessul corespunzător, media populației M și deviația standard S .

Aceste rezultate, care caracterizează evoluția algoritmului genetic, sunt prezentate în tabelul 5.3.

Tabelul 5.3. Evoluția algoritmului genetic în studiul de caz nr. 1

Generația	Fitness	M	S
1	0.8633	0.1384	0.2459
2	0.9006	0.4018	0.3390
3	0.9006	0.6925	0.2887
4	0.9139	0.7430	0.3070
5	0.9227	0.7755	0.2861
6	0.9227	0.8286	0.2397
7	0.9600	0.7946	0.2951
8	0.9850	0.8234	0.2782
9	1.0000	0.8721	0.2368
10	1.0000	0.8698	0.2897
11	1.0000	0.9297	0.2014
12	1.0000	0.9485	0.1845
13	1.0000	0.9337	0.2146
14	1.0000	0.9337	0.2146
15	1.0000	0.9378	0.2356
16	1.0000	0.8989	0.2961
17	1.0000	0.9596	0.1813
18	1.0000	0.9528	0.1961
19	1.0000	0.9589	0.1918
20	1.0000	0.9616	0.1841
21	1.0000	0.9021	0.2829
22	1.0000	0.9330	0.2409
23	1.0000	0.9213	0.2414
24	1.0000	0.9204	0.2659
25	1.0000	0.9003	0.2974
26	1.0000	0.9038	0.2912
27	1.0000	0.9284	0.2504
28	1.0000	0.9623	0.1610
29	1.0000	0.9450	0.2185
30	1.0000	0.9189	-

Analizând rezultatele din tabelul 5.1, se observă că încă în generația 9 algoritmul genetic a fost capabil să găsească un individ cu fitnessul maxim.

Fitnessul mediu M este crescător până în generația 20, iar diversitatea populației, reflectată de deviața standard a funcției *Fitness* S scade începând cu generația 10, când algoritmul genetic găsește soluții mai performante.

În Anexa A, paragraful A.4. se prezintă rezultatele obținute prin reluarea studiului de caz nr. 1, în două situații care diferă cea prezentată în acest paragraf prin:

- modificarea parametrilor algoritmului genetic
- modificarea cerințelor de performanță impuse

Rezultatele obținute demonstrează că, în particular, problema acordării optime a unui regulator PID în raport cu o treaptă unitară se poate rezolva folosind algoritmi genetici cu o populație mai redusă și cu un număr mai mic de generații, iar prin modificarea cerințelor de performanță impuse, se modifică în mod corespunzător soluțiile obținute folosind algoritmi genetici.

5.2.3.2. Studiu de caz nr. 2.

Schema sistemului de reglare automată folosit este reprezentată în figura 5.14, unde w și v sunt intrări, w fiind mărime de conducere, iar v mărime perturbatoare.

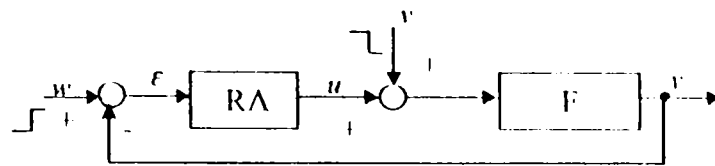


Fig. 5.14. Schema sistemului de reglare folosit în studiul de caz nr. 2.

Regulatorul RA, procesul F, obiectivele de performanță și parametri algoritmului genetic sunt identice cu cele prezentate în paragraful 5.2.3.1.

Mărimea de conducere este un semnal treaptă unitară pozitivă, iar mărimea perturbatoare un semnal treaptă unitară negativă, având variația în timp reprezentată în figura 5.15.

Scopul este găsirea parametrilor regulatorului PID astfel încât răspunsul sistemului să aparțină zonei admise din figura 5.11.

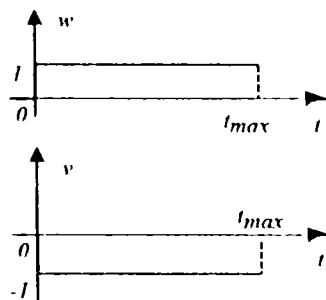


Fig. 5.15. Variația în timp a semnalelor de intrare

Modelul Simulink folosit în experimente este reprezentat în Anexa B, figura B4.

Prin aplicarea algoritmului genetic, s-a obținut un număr de 7 soluții diferite care îndeplinesc complet cerințele impuse. Aceste soluții sunt prezentate în Tabelul 5.4.

Numărul mai mare de soluții obținute este un avantaj, deoarece permite și în acest caz alegerea soluției finale pe baza unor criterii suplimentare.

Tabelul 5.4. Soluțiile obținute în studiul de caz nr. 2

Număr soluție	Kp	Td	Ti	Fitness
1	3.6669	4.8268	15.0052	1.0000
2	3.7031	4.7350	20.0000	1.0000
3	3.7686	4.8383	16.1750	1.0000
4	2.9374	5.3702	13.0968	1.0000
5	4.0948	5.0448	16.3289	1.0000
6	4.0330	5.1674	15.4876	1.0000
7	3.4652	5.2788	19.1836	1.0000

Figura 5.15 ilustrează rezultatele obținute prin simulare astfel:

- Figura 5.15 a și 5.15 b reprezintă răspunsul sistemului de reglare automată la o intrare treaptă unitară și o perturbare treaptă unitară negativă folosind soluțiile 1 și 4 din tabelul 5.4. Răspunsul obținut satisface cerințele impuse, deoarece se încadrează

23

complet în zona admisă. Totuși, analizând mai atent răspunsul obținut, se constată că el prezintă o mică evasiundulație.

- Figura 5.15 c prezintă evoluția algoritmului genetic. Fitnessul mediu al populației (notat cu M) și deviația standard a funcției Fitness (notată cu S) - de-a lungul celor 30 de generații.

Soluțiile din tabelul 5.4, obținute folosind algoritmi genetici diferă foarte puțin una de alta, iar răspunsul sistemului se încadrează în limitele prestabilite. Deoarece curbele de răspuns ale sistemului, reprezentate în figura 5.15 sunt asemănătoare, în ansamblu, soluția problemei conduce la indicatorii de calitate prezentați în tabelul 5.5.

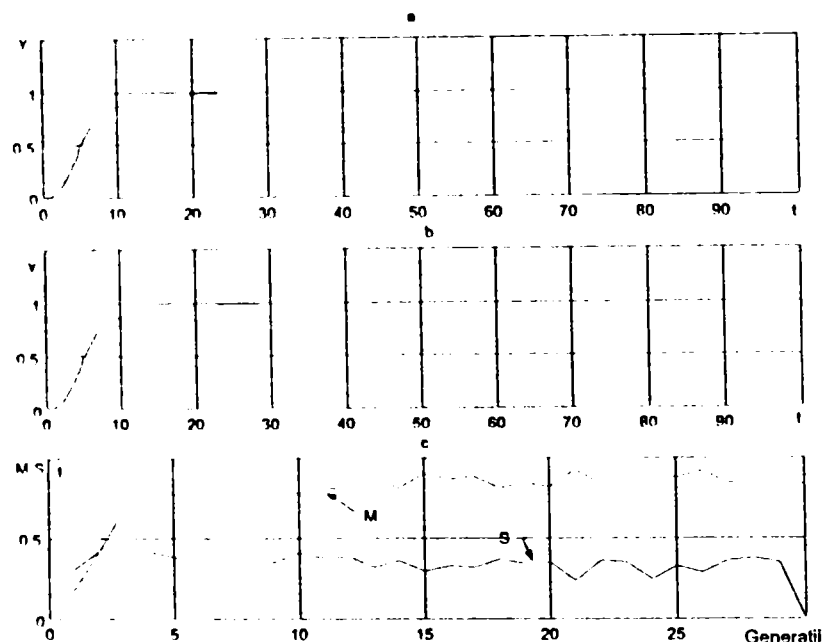


Fig. 5.15. Rezultatele obținute prin simulare folosind soluțiile 1 și 4 din tabelul 5.3.

Tabelul 5.5. Indicatorii de calitate pentru studiul de caz nr. 2

t_r [sec]	σ_w	$\sigma_w\%$	t_l [sec]	t_c [sec]
20	0	0	25	16

Caracteristicile procesului genetic sunt prezentate în tabelul 5.6.

Tabelul 5.6. Evoluția algoritmului genetic în studiul de caz nr. 2

Generația	Fitness	M	S
1	0.6834	0.0226	0.3842
2	0.6834	0.0232	0.3631
3	0.6834	0.0725	0.3288
4	0.6987	0.2752	0.3049
5	0.8473	0.5002	0.3028
6	0.9351	0.6917	0.2547
7	1.0000	0.8322	0.3279
8	1.0000	0.8580	0.3416
9	1.0000	0.8288	0.3646
10	1.0000	0.8756	0.3233
11	1.0000	0.9028	0.2800

12	1.0000	0.8994	0.2776
13	1.0000	0.9253	0.2547
14	1.0000	0.9142	0.2526
15	1.0000	0.8674	0.3192
16	1.0000	0.9197	0.2427
17	1.0000	0.9316	0.2406
18	1.0000	0.9096	0.2762
19	1.0000	0.9435	0.2264
20	1.0000	0.9133	0.2202

Analizând rezultatele din tabelul 5.6, se observă că încă în generația 7 algoritmul genetic a fost capabil să găsească un individ cu fitnessul maxim. Fitnessul mediu M este crescător până în generația 11, iar diversitatea populației, reflectată de deviația standard a funcției *Fitness* S scade începând cu generația 10, când algoritmul genetic găsește soluții mai performante.

Începând cu generația 21, algoritmul genetic nu a mai găsit soluții performante noi, de unde se poate trage concluzia că problema abordată în studiul de caz nr. 2 se poate rezolva prin evoluția algoritmului genetic pe durata unui număr de cel mult 20 generații.

În Anexa A, paragraful A.5. se prezintă rezultatele obținute prin reluarea studiului de caz nr. 2, în două situații care diferă cea prezentată în acest paragraf prin:

- modificarea parametrilor algoritmului genetic
- modificarea cerințelor de performanță impuse

Rezultatele obținute arată că problema acordării optime a unui regulator PID în raport cu o intrare treaptă unitară și o perturbație treaptă unitară negativă este mai dificilă pentru algoritmi genetici decât problema din Studiul de caz nr.1, iar rezultatele obținute prin reducerea numărului de indivizi și a numărului de generații sunt mai puțin performante. De asemenea, pentru obținerea unor rezultate corespunzătoare, obiectivele de performanță trebuie stabilite într-o manieră mai detaliată.

Studiile de caz prezentate demonstrează că, folosind algoritmi genetici, se pot găsi parametri reguletoarelor care îndeplinesc cerințe de performanță impuse asociate cu răspunsul sistemului la anumite semnale de intrare.

Avantajul folosirii algoritmilor genetici constă în faptul că cerințele de performanță se pot impune într-un mod flexibil, așa cum s-a arătat în paragraful 5.2.2. De asemenea, algoritmi genetici pot găsi un număr mai mare de soluții, din care se poate alege soluția finală folosind alte criterii.

5.2.4. Acordarea reguletoarelor lineare de tip PI pentru procese cu timp mort folosind algoritmi genetici

În majoritatea proceselor tehnologice intervine o întârziere constantă în transmiterea semnalelor, denumită timp mort. Această întârziere reduce rezerva de stabilitate a sistemului, înrăutățind performanțele tranzitorii și poate determina pierderea stabilității. Efectele negative sunt cu atât mai pronunțate cu cât valoarea τ a timpului mort este mai mare.

În cazul sistemelor cu timp mort nu se pot stabili relații relativ simple între performanțele tranzitorii și modelul matematic al sistemului.

Unele metode experimentale permit obținerea anumitor performanțe ale răspunsului la semnale de conducere (referință), fără însă a asigura și performanțe impuse răspunsului la perturbări.

Din acest motiv, aplicarea algoritmilor genetici în acordarea optimă a reguletoarelor în sisteme cu timp mort este pe deplin justificată.

În paragrafele următoare se prezintă două studii de caz, referitoare la acordarea optimă a reguletoarelor de tip PI pentru procese cu timp mort folosind algoritmi genetici.

5.2.4.1. Studiul de caz nr. 3.

În acest studiu de caz s-au aplicat algoritmi genetici pentru acordarea optimă a unui regulator PI pentru un proces cu timp mort, în raport cu o intrare treaptă unitară pozitivă.

Schema sistemului de reglare automată folosit este asemănătoare cu cea reprezentată în figura 5.12.

Diferențele față de cele prezentate în paragraful 5.2.3 în această aplicație sunt:

- Partea fixată cu timp mort are funcția de transfer:

$$H_F = \frac{K_f}{T_f s + 1} e^{-\tau s} \quad (5.8)$$

Pentru parametri părții fixate s-au ales valorile:

$$K_f = 1,5; T_f = 5 \text{ sec.}; \tau = 5 \text{ sec.} \quad (5.9)$$

- Regulatorul este de tip PI, cu funcția de transfer:

$$H_{RA} = K_p \left(1 + \frac{1}{T_i s} \right) \quad (5.10)$$

- parametri algoritmului genetic sunt K_p și T_i , pentru care s-au impus limitele admisibile:

$$K_p \in [0,00001 \quad 30], T_i \in [0,5 \quad 30] \quad (5.11)$$

Cu aceste elemente, schema folosită în această aplicație este:

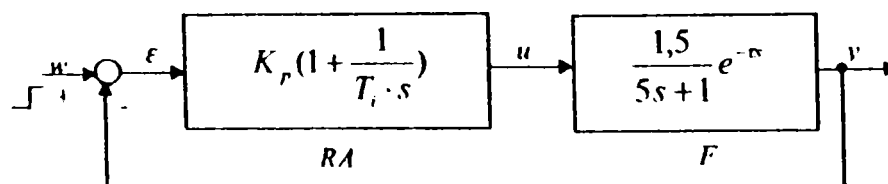


Fig. 5.16. Schema sistemului de reglare automată folosit în studiul de caz nr. 3

În scopul asigurării unei performanțe cât mai bune în ceea ce privește obținerea unui răspuns mai rapid al sistemului, performanța $J_i(\text{param}_i)$ din relația (5.3) s-a completat cu un termen suplimentar, dat de relația (5.12), care include derivata răspunsului $y(t)$.

$$-c_3 \int_0^{t_3} \dot{y}(t) dt \quad (5.12)$$

unde s-a ales pentru t_3 valoarea 10. Semnul negativ se bazează pe raționamentul următor: unui individ i care produce un răspuns mai rapid în perioada $[0, t_3]$ trebuie să-i corespundă o valoare mai mică pentru $J_i(\text{param}_i)$, deci o valoare mai mare pentru $Fitness_i$, unde pentru $Fitness_i$ s-a folosit relația (5.5).

Prin această modificare, performanța unui individ este dată de relația:

$$\begin{aligned}
 J_i(\text{param}_i) = & c_1 \int_0^{t_2} [\max\{y_i(t) - f_4, 0\}] dt + c_2 \int_0^{t_2} [\max\{f_1 - y_i(t), 0\}] dt + \\
 & + c_3 \int_{t_2}^{t_{\max}} [\max\{y_i(t) - f_3, 0\}] dt + c_4 \int_{t_2}^{t_{\max}} [\max\{f_2 - y_i(t), 0\}] dt - c_5 \int_0^{t_3} \dot{y}_i(t) dt
 \end{aligned} \quad (5.13)$$

Coeficienții de ponderare s-au ales: $c_1 = c_2 = c_3 = c_4 = c_5 = 0,2$.

În această situație, valoarea minimă pentru $J_i(\text{param}_i)$ nu mai este 0, deoarece ea poate lua valori negative în cazul sistemelor mai rapide, deci valoarea maximă pentru *Fitness* nu mai este 1 ca în exemplele precedente. Așa cum se va prezenta în continuare, în cazul indivizilor mai performanți, funcția *Fitness* poate lua valori mai mari decât 1.

Tabelul 5.7. Soluțiile obținute prin aplicarea algoritmilor în studiul de caz nr.3

Număr soluție	K_p	T_i [sec.]	Fitness
1	0.56400	6.34020	1.0860
2	0.56395	6.33690	1.0858
3	0.56400	6.34300	1.0858
4	0.56400	6.34200	1.0855
5	0.56399	6.33850	1.0855

Modelul Simulink folosit în experimente este reprezentat în Anexa B, figurile B.5, B6, B7.

Prin aplicarea algoritmului genetic, s-a obținut un număr de 5 soluții apropiate ca valoare care îndeplinesc cel mai bine cerințele impuse. Aceste soluții sunt prezentate în Tabelul 5.7.

Comparând aceste rezultate cu relațiile lui Ziegler -Nichols și cu relațiile lui Cohen-Conn, se pot face următoarele observații:

- rezultatele sunt asemănătoare ca ordin de mărime cu cele date de relațiile lui Ziegler -Nichols, dar există o diferență mai mare la parametrul T_i ;
- rezultatele sunt mai apropiate de cele date de relațiile lui Cohen-Conn, fără să fie însă identice cu acestea.

Astfel, după [Cal 76] cu relațiile Ziegler -Nichols pentru aplicația dată se obține: $K_{poptim} = 0,6$, $T_{ioptim} = 16,5$, iar după relațiile lui Cohen -Conn se obține: $K_{poptim} = 0,654$ și $T_{ioptim} = 5,625$.

Figura 5.17 ilustrează rezultatele obținute de autoare.

Figura 5.17 a reprezintă răspunsul sistemului de reglare automată la o intrare treaptă unitară folosind drept parametri soluția 1 din tabelul 5.7.

Figura 5.17 b reprezintă răspunsul sistemului de reglare automată la o intrare treaptă unitară folosind parametrii unei soluții mai puțin performante: $K_p = 0,0716$, $T_i = 1,0000$ și $Fitness = 0,7501$.

Figura 5.17 c reprezintă răspunsul sistemului de reglare automată la o intrare treaptă unitară folosind parametrii unei soluții cu *Fitness* mai mic: $K_p = 0,1043$, $T_i = 2,167$ și $Fitness = 0,9407$. Această soluție are o comportare mai bună în regim tranzitoriu, dar este mai lentă.

Figura 5.17 d schițează evoluția algoritmului genetic - *Fitness*ul mediu al populației (notat cu *M*) și deviația standard a funcției *Fitness* (notată cu *S*) -de-a lungul celor 30 de generații.

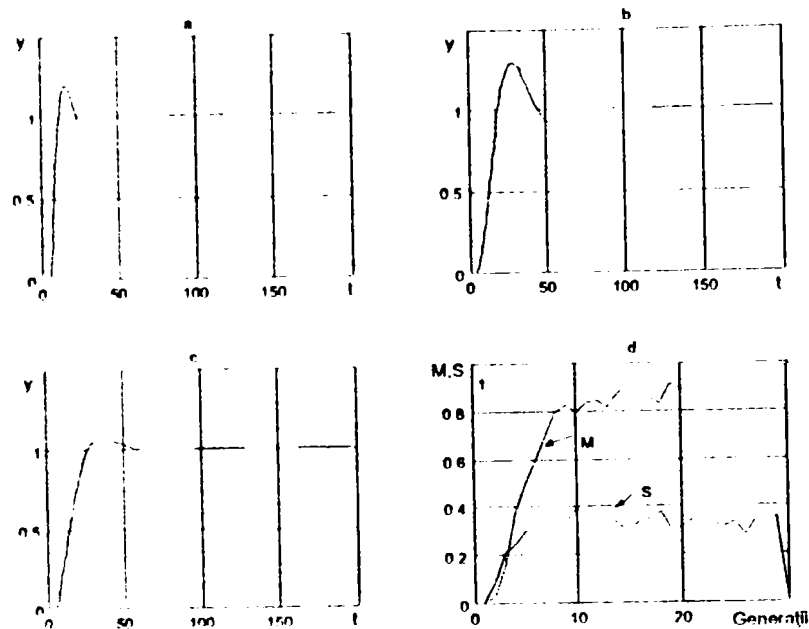


Fig. 5.17. Rezultatele obținute prin simulare în studiul de caz nr. 3, folosind soluțiile obținute cu algoritmi genetici.

Soluțiile din tabelul 5.7, obținute folosind algoritmi genetici sunt aproape identice, iar răspunsul sistemului se încadrează în limitele prestabilite.

Soluția problemei conduce la indicatorii de calitate prezentați în tabelul 5.8.

Tabelul 5.8. Indicatorii de calitate pentru studiul de caz nr. 3

t_r [sec]	σ_w	$\sigma_w\%$	t_l [sec]	t_c [sec]
30	0.2	19,80	8	2

Caracteristicile algoritmului genetic sunt prezentate în tabelul 5.9.

Tabelul 5.9. Evoluția algoritmului genetic în studiul de caz nr. 3

Generația	Fitness	M	S
1	0.0749	0.1352	0.3246
2	0.7510	0.5264	0.4747
3	0.9358	0.9823	0.2279
4	0.9898	0.9311	0.2908
5	1.0816	0.9453	0.3508
6	1.0823	0.9969	0.3369
7	1.0823	1.0540	0.3520
8	1.0836	0.9662	0.3647
9	1.0836	0.9891	0.3928
10	1.0840	1.0077	0.3904
11	1.0840	0.9535	0.3550
12	1.0840	0.9429	0.3573
13	1.0840	1.0840	0.2452
14	1.0841	1.0841	0.2776
15	1.0848	1.0848	0.2137
16	1.0848	1.0848	0.2954
17	1.0848	1.0848	0.3272

18	1.0849	1.0137	0.2588
19	1.0851	1.0046	0.2679
20	1.0851	1.0191	0.2594
21	1.0851	1.0560	0.1566
22	1.0852	0.9723	0.3269
23	1.0852	1.0497	0.1588
24	1.0852	1.0168	0.2593
25	1.0855	0.9741	0.3278
26	1.0855	1.0398	0.2145
27	1.0855	1.0293	0.2167
28	1.0858	0.9921	0.2952
29	1.0858	1.0155	0.2594
30	1.0860	1.0591	-

Analizând rezultatele din tabelul 5.8, se observă că începând cu generația 15, algoritmul genetic face o căutare locală și Fitnessul crește foarte lent până la sfârșitul evoluției, la fel ca și fitnessul mediu. În cazul în care scopul este obținerea unei soluții cât mai performante, se poate mări numărul de generații sau numărul indivizilor din populație.

După o primă etapă crescătoare (până în generația 10) ca urmare a aplicării operatorilor genetici, deviația standard a funcției *Fitness S* scade lent până la sfârșitul evoluției.

În Anexa A, paragraful A.6. se prezintă rezultatele obținute prin reluarea studiului de caz nr. 3, în două situații care diferă cea prezentată în acest paragraf prin:

- modificarea parametrilor algoritmului genetic
- modificarea cerințelor de performanță impuse.

Rezultatele obținute arată că, în particular, problema acordării optime a unui regulator PI pentru un proces cu timp mort se poate rezolva folosind algoritmi genetici cu o populație mai redusă și cu un număr mai mic de generații, iar prin modificarea cerințelor de performanță se pot obține rezultate bune.

5.2.4.2. Studiu de caz nr. 4.

Acest studiu de caz se referă la acordarea optimă a unui regulator PI în raport cu o referință treaptă unitară și o perturbare treaptă unitară negativă pentru un proces cu timp mort folosind algoritmi genetici

În această aplicație s-a folosit un sistem de reglare automată asemănător cu cel din figura 5.14, un regulator PI cu funcția de transfer dată de relația (5.10) și partea fixată cu timp mort, cu funcția de transfer dată de relația (5.8). Schema sistemului de reglare are aspectul din figura 5.18.

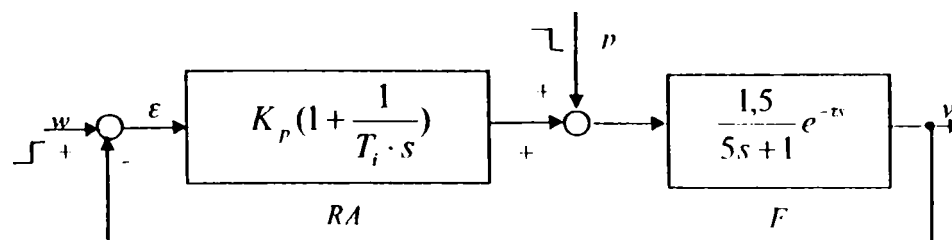


Fig. 5.18. Schema sistemului de reglare automată folosit în studiul de caz nr. 4.

Tabelul 5.10. Soluțiile obținute în studiul de caz nr. 4, folosind performanța definită cu relația (5.13)

Număr soluție	K_p	T_i	Fitness
1	0.9044	9.3938	1.1657
2	0.9240	9.5556	1.1559
3	0.9239	9.5328	1.1570
4	0.9044	9.4098	1.1647

Într-o primă fază, s-a încercat definirea performanței unui individ folosind relația (5.13). Modelul Simulink folosit este reprezentat în Anexa B, figura B.7.

În urma aplicării algoritmului genetic, acesta a converș spre soluția:

$$K_p = 0.9044, T_i = 9.3938, \text{Fitness} = 1.1657.$$

Alte soluții performante sunt reprezentate în tabelul 5.10 :

Figura 5.19 ilustrează rezultatele obținute prin simulare.

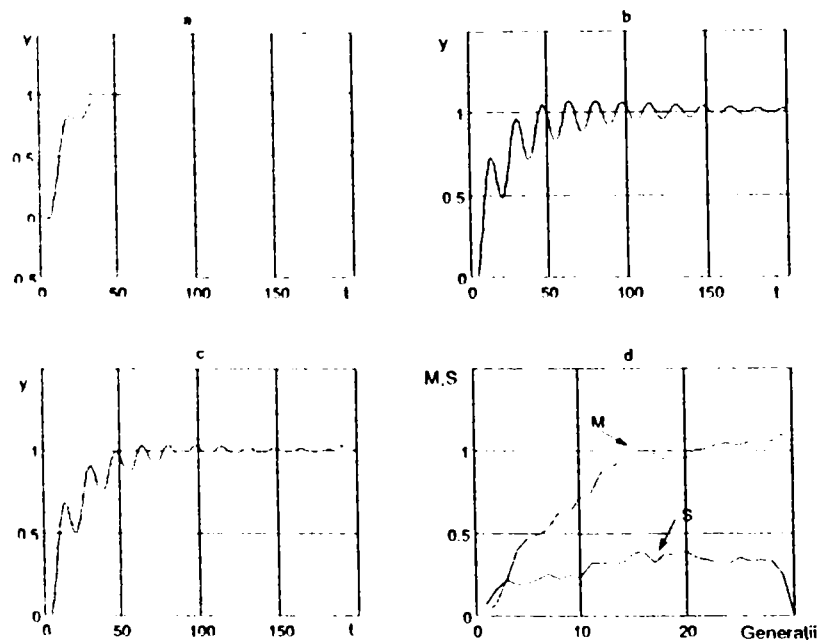


Fig. 5.19. Rezultatele obținute prin simulare în studiul de caz nr. 4, folosind performanța unui individ din relația (5.13)

Figura 5.19 a reprezintă răspunsul sistemului de reglare automată la o intrare treaptă unitară și perturbație treaptă unitară folosind parametri soluției 1 din tabelul 5.10.

Figura 5.19 b reprezintă răspunsul sistemului de reglare automată la o intrare treaptă unitară și perturbație treaptă unitară folosind parametrii unei soluții mai puțin performante: $K_p = 1,2162$, $T_i = 15,3760$ și $\text{Fitness} = 0,7804$

Figura 5.19 c reprezintă răspunsul sistemului de reglare automată la o intrare treaptă unitară și perturbație treaptă unitară folosind parametrii unei soluții cu Fitness mai mic: $K_p = 1,0572$, $T_i = 12,4027$ și $\text{Fitness} = 0,9965$. Figura 5.19 d schițează evoluția algoritmului genetic - Fitnessul mediu al populației (notat cu M) și deviația standard a funcției Fitness (notată cu S) - de-a lungul celor 30 de generații.

Se observă din graficele din figura 5.19 b și c că soluțiile corespunzătoare lor sunt mai puțin performante, deoarece sistemul are multe oscilații, dar nici soluția cea mai bună, din

figura 5.19 a nu asigură un răspuns tranzitoriu satisfăcător, deoarece în intervalul de timp [0, 60] el prezintă mai multe oscilații.

Caracteristicile procesului genetic sunt prezentate în tabelul 5.11.

Tabelul 5.11. Evoluția algoritmului genetic în studiul de caz nr. 4 folosind performanța definită cu relația (5.13)

Generația	Fitness	M	S
1	0.4639	0.0148	0.0817
2	0.5439	0.0730	0.1565
3	0.5439	0.2268	0.2161
4	0.5933	0.3953	0.1855
5	0.7168	0.4628	0.1924
6	0.7168	0.4910	0.2270
7	0.7804	0.5297	0.2506
8	0.7804	0.6150	0.2236
9	0.9640	0.6169	0.2498
10	0.9965	0.7077	0.2273
11	1.0248	0.7378	0.3201
12	1.0660	0.8611	0.3108
13	1.0862	0.8917	0.3233
14	1.0998	0.9368	0.3237
15	1.0998	0.9024	0.3781
16	1.1211	0.9230	0.3888
17	1.1211	0.9230	0.3888
18	1.1218	0.9467	0.3752
19	1.1310	0.9589	0.3668
20	1.1326	0.9515	0.3907
21	1.1468	1.0009	0.3547
22	1.1559	1.0112	0.3345
23	1.1559	1.0362	0.3253
24	1.1570	1.0424	0.3157
25	1.1631	1.0258	0.3497
26	1.1647	1.0460	0.3264
27	1.1647	1.0507	0.3341
28	1.1651	1.0478	0.3271
29	1.1657	1.0946	0.2554
30	1.1657	1.0952	-

Analizând rezultatele din tabelul 5.11 se observă pe durata procesului genetic a găsit în fiecare generație un individ mai performant, iar fitnessul mediu M este crescător până la sfârșitul evoluției.

Diversitatea populației, reflectată de deviața standard a funcției *Fitness* S scade lent începând cu generația 20.

Pe baza acestor observații se deduce că pentru obținerea unei soluții mai bune, o posibilitate ar fi să se mărească numărul indivizilor din populație și numărul maxim de generații.

O altă posibilitate de obținere a unor soluții mai performante este adăugarea unor cerințe de performanță suplimentare.

În acest studiu de caz s-a optat pentru ambele variante, astfel încât s-a mărit la 50 numărul de generații, iar în relația de definire a performanței unui individ s-a adăugat un termen suplimentar, care conține derivata răspunsului $y(t)$.

Termenul suplimentar ține cont de semnul derivatei și duce la o creștere a valorii lui $J_i(param_i)$ în cazul în care curba de răspuns a sistemului este descrescătoare într-un interval de timp specificat $[0, t_i]$ și este dat de relația (5.14).

$$- c_6 \int_0^{t_4} \text{sign}(\dot{y}_i(t)) dt \tag{5.14}$$

unde, observând oscilațiile din figura 5.18 s-a ales pentru t_4 valoarea 60 sec.

Semnul negativ se bazează pe raționamentul următor: unui individ i care în intervalul de timp $[0, 60]$ produce un răspuns tranzitoriu cu multe pante descrescătoare trebuie să-i corespundă o valoare mai mare pentru $J_i(param_i)$, deci o valoare mai mică pentru $Fitness_i$, unde pentru $Fitness_i$ s-a folosit relația (5.16).

Prin această cerință suplimentară, performanța unui individ este evaluată cu relația:

$$J_i(param_i) = c_1 \int_0^{t_2} [\max\{y_i(t) - f_4, 0\}] dt + c_2 \int_0^{t_2} [\max\{f_1 - y_i(t), 0\}] dt + c_3 \int_0^{t_2} [\max\{y_i(t) - f_1, 0\}] dt + c_4 \int_0^{t_2} [\max\{f_2 - y_i(t), 0\}] dt - c_5 \int_0^{t_3} \dot{y}_i^2(t) dt - c_6 \int_0^{t_4} \text{sign}(\dot{y}_i(t)) dt \tag{5.15}$$

Coefficienții de ponderare s-au ales: $c_1 = c_2 = c_3 = c_4 = 0,2$ și $c_5 = c_6 = 0,1$.

Pentru a evita obținerea unei funcții Fitness negative în cazul unui individ mai performant, această funcție s-a redefinit folosind relația (5.16):

$$Fitness_i = \frac{1}{100 + J_i(param_i)} \tag{5.16}$$

Modelul Simulink folosit este prezentat în Anexa B, figura B.8.

Tabelul 5.12. Soluțiile obținute în studiul de caz nr. 4 folosind performanța definită cu relația (5.15)

Număr soluție	K_p	T_i	Fitness
1	0.7117	7.9404	0.0100
2	0.5377	7.5974	0.0100
3	0.6449	7.5763	0.0100
4	0.4182	8.1014	0.0099
5	0.3332	7.5974	0.0099
6	1.3223	13.4647	0.0097

În urma aplicării algoritmului genetic, acesta a converș spre soluția:

$$K_p = 0.7117, \quad T_i = 7.9404, \quad Fitness = 0.0100.$$

Alte soluții performante sunt reprezentate în tabelul 5.12:

Figura 5.20 ilustrează rezultatele obținute.

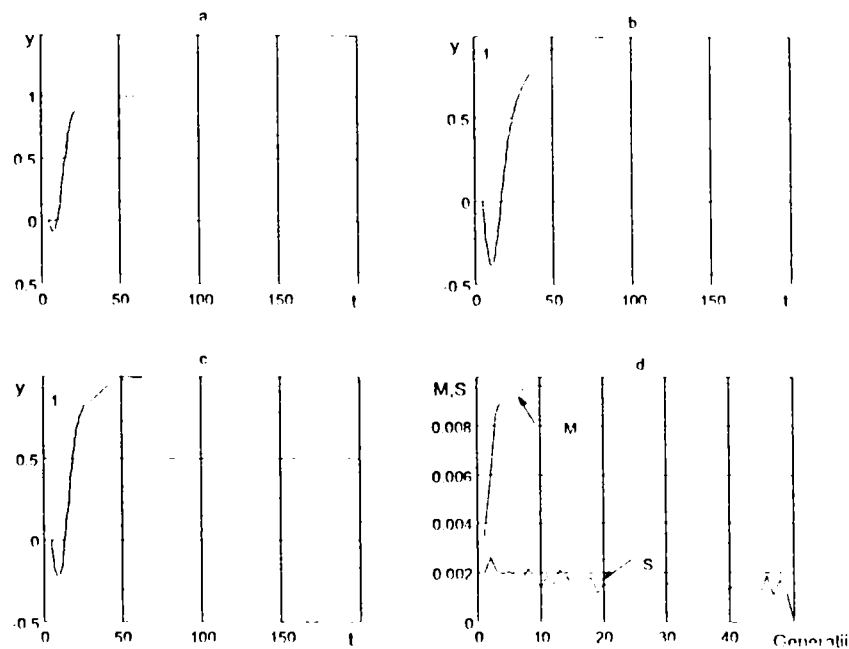


Fig. 5.20. Rezultatele obținute prin simulare în studiul de caz nr. 4 folosind performanța unui individ din relația (5.15).

Figura 5.20 a reprezintă răspunsul sistemului de reglare automată la o intrare treaptă unitară și perturbație treaptă unitară folosind parametri soluției 1 din tabelul 5.12.

Figura 5.20 b reprezintă răspunsul sistemului de reglare automată la o intrare treaptă unitară și perturbație treaptă unitară folosind parametri soluției 4 din tabelul 5.12.

Figura 5.20 c reprezintă răspunsul sistemului de reglare automată la o intrare treaptă unitară și perturbație treaptă unitară folosind parametri soluției 3 din tabelul 5.12.

Figura 5.20 d schițează evoluția algoritmului genetic - media fitnessului populației (notată cu M) și deviația standard pentru Fitness (notată cu S) - de-a lungul celor 30 de generații. Folosind această exprimare a calității unui individ, algoritmi genetici pot să găsească soluția problemei încă din primele generații.

Caracteristicile procesului genetic sunt prezentate în tabelul 5.13.

Tabelul 5.13. Evoluția algoritmului genetic în studiul de caz nr. 4 folosind performanța definită cu relația (5.15)

Generația	Fitness	M	S
1	0.0007	0.0026	0.0018
2	0.0047	0.0045	0.0026
3	0.0069	0.0075	0.0028
4	0.0089	0.0093	0.0017
5	0.0099	0.0088	0.0026
6	0.0100	0.0089	0.0028
7	0.0100	0.0093	0.0021
8	0.0100	0.0090	0.0025
9	0.0100	0.0096	0.0016
10	0.0100	0.0096	0.0016
11	0.0100	0.0092	0.0024
12	0.0100	0.0094	0.0020

13	0.0100	0.0092	0.0021
14	0.0100	0.0093	0.0022
15	0.0100	0.0094	0.0019
16	0.0100	0.0092	0.0022
17	0.0100	0.0090	0.0026
18	0.0100	0.0092	0.0023
19	0.0100	0.0095	0.0019
20	0.0100	0.0094	0.0021
21	0.0100	0.0093	0.0023
22	0.0100	0.0094	0.0021
23	0.0100	0.0095	0.0019
24	0.0100	0.0093	0.0023
25	0.0100	0.0094	0.0018
26	0.0100	0.0095	0.0018
27	0.0100	0.0090	0.0027
28	0.0100	0.0096	0.0016
29	0.0100	0.0095	0.0019
30	0.0100	0.0094	0.0019
31	0.0100	0.0094	0.0020
32	0.0100	0.0094	0.0021
33	0.0100	0.0095	0.0018
34	0.0100	0.0094	0.0021
35	0.0100	0.0094	0.0019
36	0.0100	0.0094	0.0020
37	0.0100	0.0097	0.0013
38	0.0100	0.0097	0.0015
39	0.0100	0.0094	0.0020
40	0.0100	0.0099	0.0006
41	0.0100	0.0096	0.0016
42	0.0100	0.0095	0.0019
43	0.0100	0.0095	0.0019
44	0.0100	0.0092	0.0025
45	0.0100	0.0098	0.0012
46	0.0100	0.0098	0.0011
47	0.0100	0.0098	0.0011
48	0.0100	0.0097	0.0015
49	0.0100	0.0095	0.0019
50	0.0100	0.0094	-

Analizând rezultatele din tabelul 5.13, se observă că, deși algoritmul genetic a găsit soluții diferite cu același Fitness (0,0100), începând cu generația 6 nu au fost găsite soluții mai performante. Fitnessul mediu M s-a saturat în cca. 9 generații, de unde se poate trage concluzia că mărirea numărului de generații în acest scaz nu a avut efectul scontat.

Diversitatea populației, reflectată de deviața standard a funcției *Fitness* S variază foarte puțin pe durata evoluției, ceea ce se explică prin faptul că s-au găsit mai multe soluții diferite cu același Fitness

Analizând figura 5.20, se observă că soluțiile găsite nu asigură un răspuns tranzitoriu satisfăcător, deoarece în intervalul de timp $[10, 20]$ acesta prezintă o oscilație negativă. Este vorba de o comportare specifică sistemelor de fază neminimă. Pentru a elimina această

oscilație, în relația de definire a performanței unui individ s-a adăugat un termen suplimentar dat de relația (5.17), care se referă la aria aflată sub axa timpului.

$$- c_7 \int_0^{t_4} [\{\min(y_i(t), 0)\}] dt \quad (5.17)$$

Semnul negativ se bazează pe raționamentul următor: unui individ i care în intervalul de timp $[0, 60]$ produce un răspuns tranzitoriu care coboară mai mult sub axa timpului trebuie să-i corespundă o valoare mai mare pentru $J_i(\text{param}_i)$, deci o valoare mai mică pentru $Fitness_i$, unde pentru $Fitness_i$ s-a folosit relația (5.16).

Cu această modificare, performanța unui individ este dată de relația:

$$J_i(\text{param}) = c_1 \int_0^{t_2} \{\max\{y_i(t) - f_4, 0\}\} dt + c_2 \int_{t_1}^{t_2} \{\max\{f_1 - y_i(t), 0\}\} dt + c_3 \int_{t_2}^{t_{\max}} \{\max\{y_i(t) - f_1, 0\}\} dt + c_4 \int_{t_2}^{t_{\max}} \{\max\{f_2 - y_i(t), 0\}\} dt - c_5 \int_0^{t_3} \dot{y}_i^2(t) dt - c_6 \int_0^{t_4} \text{signt}(\dot{y}_i(t)) dt - c_7 \int_0^{t_4} [\{\min(y_i(t), 0)\}] dt \quad (5.18)$$

Astfel, unui individ i care produce un răspuns tranzitoriu care coboară sub axa Ox îi corespunde o valoare mai mare pentru $J_i(\text{param}_i)$, deci o valoare mai mică pentru $Fitness$.

Coefficienții de ponderare aleși sunt: $c_1 = c_2 = c_3 = 0,2$ și $c_4 = c_5 = c_6 = c_7 = 0,1$.

Modelul Simulink folosit este reprezentat în Anexa B, figura B.9.

În urma aplicării algoritmului genetic, acesta a obținut soluția:

$$K_p = 0.8486, \quad T_i = 6.4894, \quad Fitness = 0.0123.$$

Alte soluții performante sunt reprezentate în tabelul 5.14 :

Tabelul 5.14. Soluțiile obținute în studiul de caz nr. 4, folosind performanța definită cu relația (5.22)

Număr soluție	K_p	T_i	Fitness
1	0.8486	6.4894	0.0123
2	0.8524	6.4939	0.0123
3	0.8850	6.7348	0.0123
4	0.7833	6.2778	0.0123
5	0.7710	6.2828	0.0123
6	0.2528	4.2220	0.0118

Figura 5.21 ilustrează rezultatele obținute.

Figura 5.21 a reprezintă răspunsul sistemului de reglare automată la o intrare treaptă unitară și perturbație treaptă unitară folosind parametri soluției 1 din tabelul 5.14.

Figura 5.21 b reprezintă răspunsul sistemului de reglare automată la o intrare treaptă unitară și perturbație treaptă unitară folosind parametri soluției 4 din tabelul 5.14.

Figura 5.21 c reprezintă răspunsul sistemului de reglare automată la o intrare treaptă unitară și perturbație treaptă unitară folosind parametri soluției 3 din tabelul 5.14.

Figura 5.21 d schițează evoluția algoritmului genetic - media fitnessului populației (notată cu M) și deviața standard pentru Fitness (notată cu S) - de-a lungul celor 30 de generații. Algoritmii genetici găsesc soluția problemei în generații timpurii.

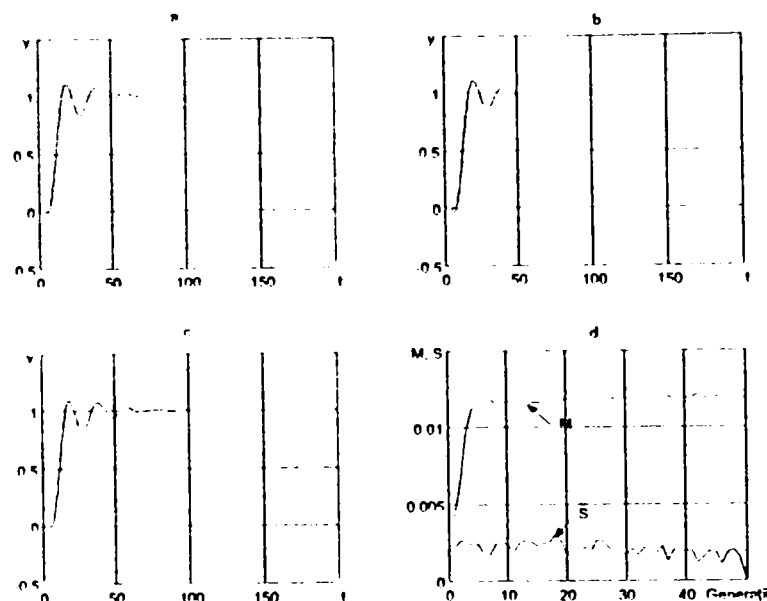


Fig. 5.21. Rezultatele obținute prin simulare în aplicarea algoritmilor genetici în studiul de caz nr. 4, folosind performanța unui individ din relația (5.22).

Din figura 5.21 se observă că soluțiile găsite îndeplinesc cerința suplimentară impusă prin relația (5.22). Răspunsul tranzitoriu al sistemului de reglare automată coboară sub axa Ox mult mai puțin în raport cu răspunsul tranzitoriu reprezentat în figura 5.20.

Caracteristicile procesului genetic sunt prezentate în tabelul 5.15.

Tabelul 5.15. Evoluția algoritmului genetic în studiul de caz nr. 4 folosind performanța unui individ din relația (5.22)

Generația	Fitness	M	S
1	0.0063	0.0041	0.0021
2	0.0109	0.0064	0.0026
3	0.0111	0.0096	0.0026
4	0.0118	0.0111	0.0023
5	0.0120	0.0114	0.0024
6	0.0121	0.0114	0.0024
7	0.0123	0.0118	0.0017
8	0.0123	0.0119	0.0017
9	0.0123	0.0115	0.0024
10	0.0123	0.0115	0.0024
11	0.0123	0.0117	0.0025
12	0.0123	0.0118	0.0023
13	0.0123	0.0116	0.0019
14	0.0123	0.0115	0.0025
15	0.0123	0.0116	0.0026
16	0.0123	0.0117	0.0025
17	0.0123	0.0115	0.0023
18	0.0123	0.0115	0.0024
19	0.0123	0.0112	0.0025
20	0.0123	0.0115	0.0030
21	0.0123	0.0119	0.0026
22	0.0123	0.0118	0.0017

23	0.0123	0.0119	0.0021
24	0.0123	0.0118	0.0018
25	0.0123	0.0118	0.0021
26	0.0123	0.0115	0.0018
27	0.0123	0.0115	0.0027
28	0.0123	0.0117	0.0026
29	0.0123	0.0119	0.0022
30	0.0123	0.0118	0.0017
31	0.0123	0.0119	0.0018
32	0.0123	0.0117	0.0017
33	0.0123	0.0119	0.0021
34	0.0123	0.0118	0.0016
35	0.0123	0.0119	0.0021
36	0.0123	0.0119	0.0018
37	0.0123	0.0117	0.0017
38	0.0123	0.0120	0.0022
39	0.0123	0.0118	0.0013
40	0.0123	0.0118	0.0020
41	0.0123	0.0118	0.0019
42	0.0123	0.0118	0.0019
43	0.0123	0.0121	0.0020
44	0.0123	0.0119	0.0011
45	0.0123	0.0118	0.0016
46	0.0123	0.0119	0.0019
47	0.0123	0.0120	0.0019
48	0.0123	0.0118	0.0010
49	0.0123	0.0118	0.0018
50	0.0123	0.0120	-

Analizând rezultatele din tabelul 5.15, se observă că, deși algoritmul genetic a găsit soluții diferite cu același Fitness (0,0123), începând cu generația 7 nu au fost găsite soluții mai performante. Fitnessul mediu M s-a saturat în cca. 8 generații, de unde se poate trage concluzia că mărirea numărului de generații nu a avut nici un efect.

Diversitatea populației, reflectată de deviața standard a funcției *Fitness* S variază foarte puțin pe durata evoluției, ceea ce se explică prin faptul că s-au găsit mai multe soluții diferite cu același Fitness.

Se poate deduce că impunerea unor criterii de performanță suplimentare pentru ghidarea căutării influențează cel mai mult calitatea soluțiilor găsite în rezolvarea unor probleme de acordare optimă a reguletoarelor.

În Anexa A, paragraful A.7. se prezintă rezultatele obținute prin aprofundarea studiului de caz nr. 4, în două situații care diferă de cea prezentată în acest paragraf prin:

- modificarea parametrilor algoritmului genetic
- modificarea cerințelor de performanță impuse.

Rezultatele obținute arată că răspunsul sistemului este mai puțin performant în cazul folosirii unui algoritm genetic cu o populație mai redusă care evoluează un număr mai mic de generații, iar adăugarea cerințelor de performanță suplimentare trebuie să se facă cu deosebită grijă, cu cât mai multe detalii, în scopul obținerii unor soluții corespunzătoare.

În Anexa A paragraful A.7.3. se prezintă modul în care obiectivele de performanță definite de utilizator se pot stabili prin reprezentarea grafică a răspunsului dorit. Această abordare este generală și se poate folosi și în alte probleme de optimizare bazate pe algoritmi genetici.

5.3. Aplicarea algoritmilor genetici pentru îmbunătățirea performanțelor sistemelor automate

Reglatoarele de tip interpolativ se bazează pe implementarea algoritmilor de reglare prin puncte de sprijin implantate în blocuri interpolative care se folosesc fie de sine stătător, fie integrate în structuri dinamice. [Dra 03]

Blocurile interpolative sunt, în esență, tabele de interpolare care conțin un număr finit de puncte de sprijin. Un punct de sprijin este definit prin valorile de sprijin din tabele și etichetele corespunzătoare.

Punctele de sprijin sunt generate pornind de la un număr de puncte reprezentative de pe hipersuprafața de comandă a unui algoritm de reglare neinerțial, oarecare, deja existent sau de pe hipersuprafața unei dependențe intermediare care intră în componența unui algoritm de reglare inerțial sau neinerțial, oarecare, deja existent.

Modificările efectuate în tabele în cadrul operației de sinteză a regulatorului interpolativ, se fac în sensul îmbunătățirii performanțelor sistemului automat de la care se pornește. Îmbunătățirea realizată poate fi numită în limbaj curent optimizare inteligentă a dependenței inițiale. [Dra 03]

5.3.1. Studiu de caz nr. 5

5.3.1.1. Problema inițială de conducere

Problema inițială de conducere considerată a fost stabilizarea prin reacție după stare a unui proces cu ecuațiile de stare:

$$\begin{cases} \dot{x}_1 \\ \dot{x}_2 \end{cases} = \begin{bmatrix} 0 & -0.5 \\ 0 & 0 \end{bmatrix} \cdot \begin{bmatrix} x_1 \\ x_2 \end{bmatrix} + \begin{bmatrix} 0 \\ -1 \end{bmatrix} \cdot [u], \quad \begin{cases} y_1 \\ y_2 \end{cases} = \begin{bmatrix} 1 & 0 \\ 0 & -0.543 \end{bmatrix} \cdot \begin{bmatrix} x_1 \\ x_2 \end{bmatrix} \quad (5.19)$$

printr-o structură ca și cea din figura 5.22.

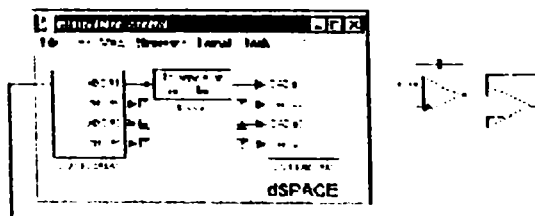


Fig. 5.22. Structura sistemului inițial.

Procesul condus este un circuit cu amplificatoare operaționale. El modelează un sistem de poziționare, de tip dublu integrator. Modelul matematic din relația (5.19) a fost obținut prin identificare experimentală într-o etapă premergătoare aplicării algoritmului genetic. [Dra 03]

Inițial, pentru stabilizare s-a folosit un observator de ordinul II al funcționalei lineare de stare:

$$u = w - 8x_1 + 4x_2 = w - 8y_1 - 7.3664y_2 \quad (5.20)$$

polinomul caracteristic al sistemului fiind:

$$\mu(s) = (s + 2)^2 \cdot (s + 10)^2 \quad (5.21)$$

Structura inițială de conducere apare în variantă dSpace/Simulink în figura 5.23. Procesului îi corespunde blocul reprezentat cu un fond închis. Blocurile k-inp1, k-inp2 și k-out sunt amplificări fixe din modulul dSpace / Simulink. La fel și blocul de saturare Sat-dSpace. [Dra 03]

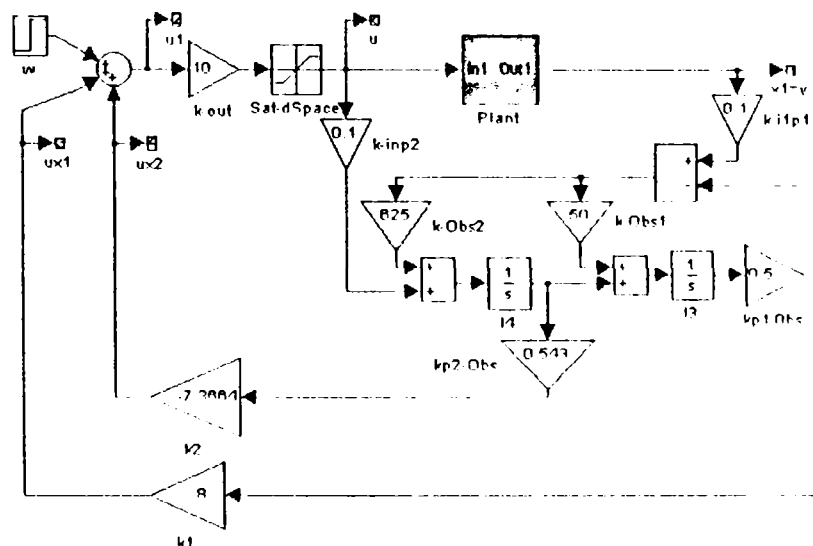


Fig. 5.23. Structura sistemului inițial în variantă dSpace/Simulink.

Schema de reglare cu regulator interpolator, obținută din schema din figura 5.23 este prezentată în figura 5.24. Ea diferă de prima prin înlocuirea operației $u_1 = (u_{x1} + w) + u_{x2}$ corespunzătoare sumatorului simbolizat prin cerc în figura 5.23 prin operația de interpolare $u_1 = \text{Int}(u_{x1} + w, u_{x2})$ implementată prin blocul "Interpolator Controller". [Dra 03]

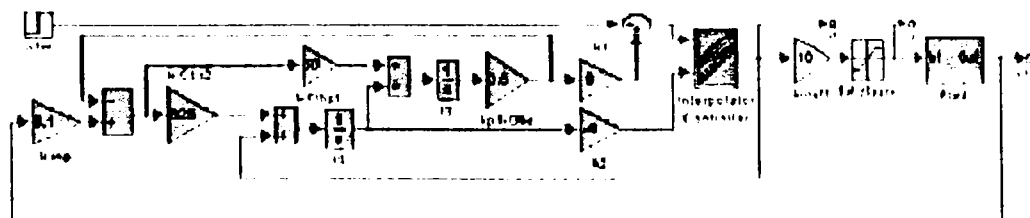


Fig. 5.24. Schema de reglare cu regulator interpolator

5.3.1.2. Sinteza regulatorului interpolator.

Operația de sinteză a blocului interpolator s-a făcut în mai multe etape.

Într-o prima etapă, s-au urmărit off-line traiectoriile de stare ale sistemului, iar rezultatul obținut a fost supus unei operații de corecție on-line pe schema dSPACE din figura 5.23.

Tabelul regulatorului interpolator obținut în urma acestei prime etape de sinteză, notat în continuare cu IC-1, este redat de tabelul 5.16. Modificările au fost operate în zona reprezentată pe un fond mai închis.

Tabelul 5.16. Tabelul regulatorului interpolator IC-1

$w(t)u_k$							
1	-1.1	-0.7	-0.3	0	0.3	0.7	1.1
u_{k2}							
-1.1	-2.4	-2.1	-1.5	-1.1	-0.8	-0.2	0.4
-0.8	-2.1	-1.8	-1.2	-0.8	-0.5	0.25	0.65
-0.4	-1.8	-1.4	-0.8	-0.4	-0.1	0.5	0.9
0	-1.1	-0.7	-0.3	0.0	0.3	0.7	1.1
0.4	-0.9	-0.5	0.1	0.4	0.8	1.4	1.8
0.8	-0.65	-0.25	0.5	0.8	1.5	1.8	2.1
1.1	-0.4	0.2	0.8	1.1	1.5	2.1	2.4

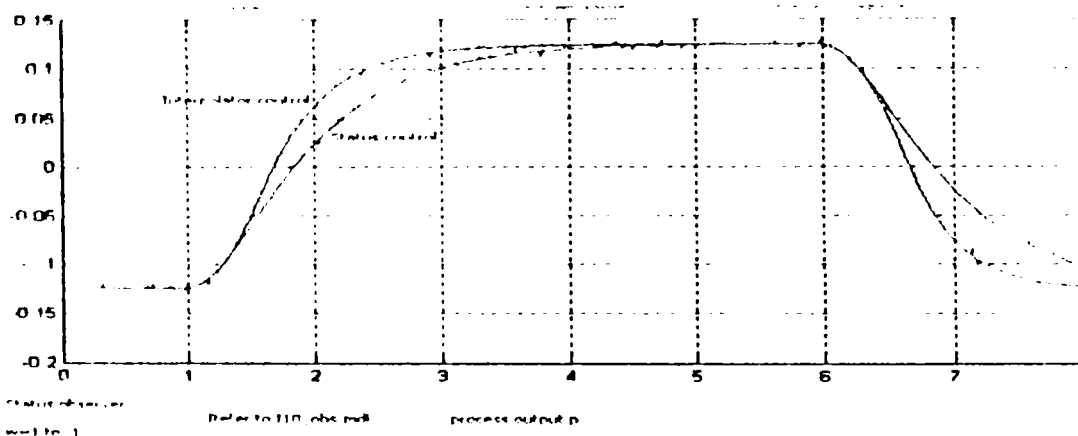


Fig. 5.25. Variațiile mărimii reglate pentru mărimea de conducere $w(t) = \sigma(t-1) - \sigma(t-6)$.

Experimental, cu schemele din fig. 5.23 și fig. 5.24 s-au obținut rezultatele din figurile 5.25. și 5.26. Ele se referă la variațiile mărimii reglate, respectiv de comandă pentru cazul când mărimea de conducere a sistemului este $w(t) = \sigma(t-1) - \sigma(t-6)$.

Din figura 5.25. se observă că în această prima etapă, scopul urmărit, îmbunătățirea comportării schemei de stabilizare cu reacție după stare, a fost atins. Efectul se explică prin modificarea modului de variație al mărimii de comandă conform figurii 5.26.[Dra 03]

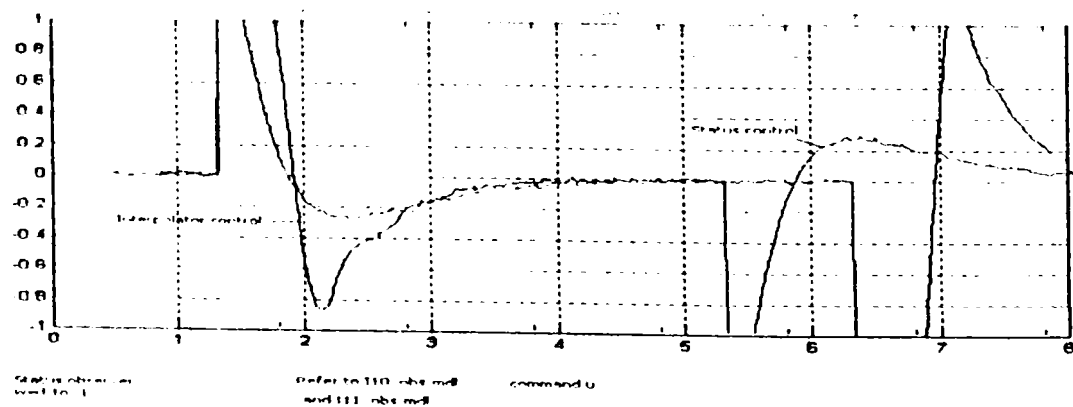


Fig.5.26. Variațiile mărimii de comandă pentru mărimea de conducere $w(t) = \sigma(t-1) - \sigma(t-6)$.

În această etapă se aplică algoritmi genetici, folosind rezultatele obținute cu regulatorul [C-1]

Rezultate prezentate în paragrafele 5.3.1.1. și 5.3.1.2. nu au fost obținute de autoare; ele au fost folosite ca punct de plecare pentru aplicarea algoritmilor genetici.

5.3.1.3. Sinteza regulatorului interpolator folosind algoritmi genetici

Pornind de la sistemul de reglare care folosește regulatorul interpolator IC-1 se urmărește îmbunătățirea performanțelor sistemului prin utilizarea un algoritim genetic. Scopul este găsirea unui tabel T_{IC-1} care asigură sistemului performanțe mai bune.

5.3.1.3.1. Metoda I

Pentru soluționarea problemei s-a folosit o schemă de principiu asemănătoare cu cea prezentată în figura 5.9, în care modelul etalon devine sistemul de reglare care folosește regulatorul interpolator IC-1, numit în continuare sistem de referință.

Performanțele sistemului de referință se compară cu performanțele unui sistem cu aceeași structură, dar având ca parametru ajustabil tabelul regulatorului interpolator. Acest sistem este numit în continuare sistem ajustabil.[Dal 02]

Scopul este găsirea tabelului regulatorului interpolator astfel încât răspunsul sistemului ajustabil să fie mai bun decât răspunsul sistemului de referință.

Schema bloc a modului Simulink folosit de această metodă este prezentată în figura 5.27.

Pentru stabilirea funcției Fitness se folosește răspunsul sistemului la o intrare

$$w(t) = \sigma(t) - \sigma(t - t_2), \quad t_2 > 0. \quad (5.22)$$

În figura 5.28. este reprezentat răspunsul sistemului de referință la această intrare, $y_{ref}(t)$, comparativ cu un răspuns mai bun, $y_i(t)$, care corespunde cu ieșirea unui sistem de reglare îmbunătățit.

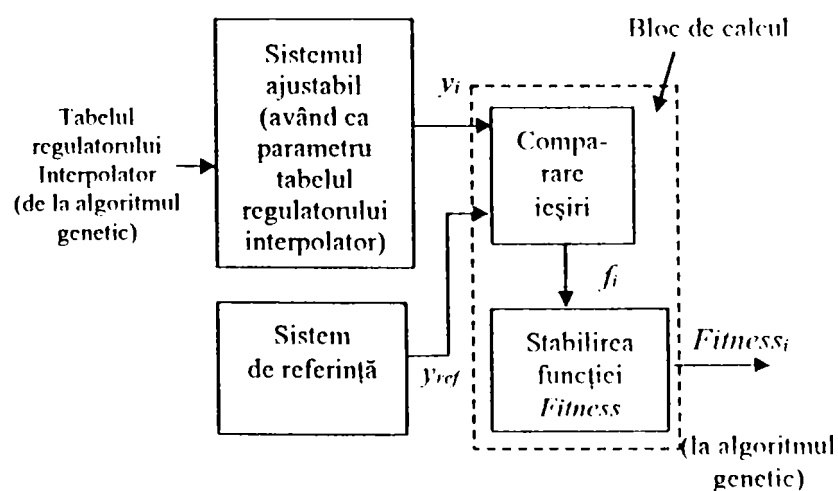


Fig. 5.27. Schema bloc a modului Simulink folosit de metoda 1.

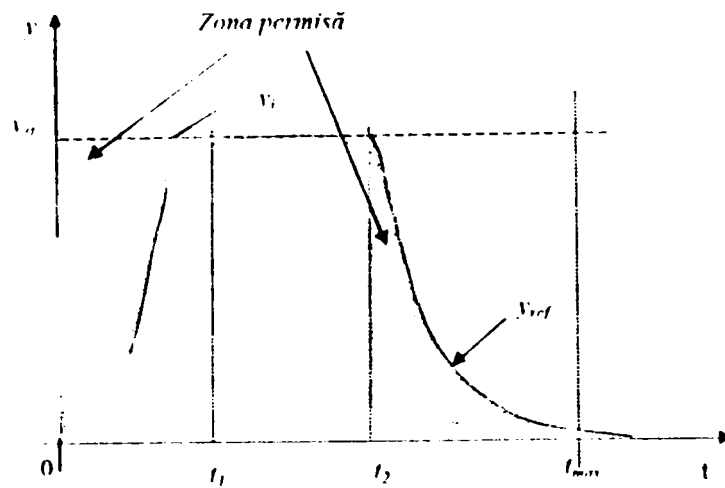


Fig. 5.28. Răspunsul sistemului la o intrare de tipul (5.22).

Pentru a obține un răspuns mai rapid al sistemului ajustabil, păstrându-se caracterul aperiodic, se iau în considerare următoarele aspecte care exprimă necesitatea ca răspunsul y_i să se situeze în zona permisă din figura 5.28.

- i.) în intervalul $[0, t_2]$, curba de răspuns y_i a sistemului ajustabil trebuie să fie situată la stânga curbei de răspuns y_{ref} a sistemului de referință;
- ii.) în intervalul $[t_2, t_{max}]$ curba y_i trebuie să se situeze la dreapta curbei de referință y_{ref} ;
- iii.) în intervalul $[0, t_{max}]$, curba de răspuns y_i a sistemului ajustabil trebuie să se afle deasupra axei timpului;
- iv.) în intervalul $[0, t_{max}]$, curba de răspuns y_i a sistemului ajustabil trebuie să se afle sub dreapta y_{st} , unde cu y_{st} s-a notat valoarea de regim staționar a sistemului de referință.

Notând cu y_i curba de răspuns obținută prin simulare la ieșirea sistemului pentru individul i , $param_i$ parametri unui individ i , pentru care se caută soluții prin aplicarea algoritmilor genetici, performanța $J_i(param_i)$ a unui individ, în formă matematică este dată de expresia din relația:

$$\begin{aligned}
 J_i(param_i) = & c_1 \int_0^{t_2} \{\max[y_i(t) - y_{ref}(t), 0]\} dt + c_2 \int_{t_2}^{t_{max}} \{\max[y_{ref}(t) - y_i(t), 0]\} dt - \\
 & c_3 \int_0^{t_{max}} \{\max[0 - y_i(t), 0]\} dt - c_4 \int_0^{t_{max}} \{\max[y_i(t) - y_{st}], 0\} dt
 \end{aligned} \quad (5.23)$$

unde c_1, c_2, c_3, c_4 sunt coeficienți de ponderare, aleși pe baza unor cunoștințe apriorice despre problemă, uzual astfel încât suma lor să fie egală cu 1.

Ultimul termen se bazează pe observația experimentală că în intervalul de timp $(0, t_2)$, răspunsul sistemului are tendința să depășească valoarea y_{st} . Din acest motiv, pentru simplitatea implementării modelului Simulink, aria cuprinsă între y_i și y_{st} penalizează performanța individului pe toată durata simulării.

Cu cât valoarea calculată pentru $J_i(param_i)$ este mai mare, cu atât performanța individului este mai mare.

Deoarece $J_i(param_i)$ se maximizează, funcția *Fitness* se stabilește folosind relația:

$$Fitness_i = J_i(param_i) \quad (5.24)$$

Etapa de evaluare a unui individ presupune efectuarea unei simulări în Simulink și din acest motiv sistemul ajustabil trebuie să primească de la algoritmul genetic un tabel de interpolare. Așadar, în spațiul de decizie un individ este un tabel de interpolare.

Algoritmul genetic folosit în implementare nu dispune de operatori genetici pentru indivizi codati sub formă de tabele. Din acest motiv, în spațiul indivizilor codarea se face sub forma unui vector de numere reale, urmând ca înainte de fiecare etapă de evaluare, individul să fie decodat în scopul obținerii tabelului de interpolare.

Figura 5.29 prezintă modul de codare al unui individ în spațiul indivizilor și în spațiul de decizie.

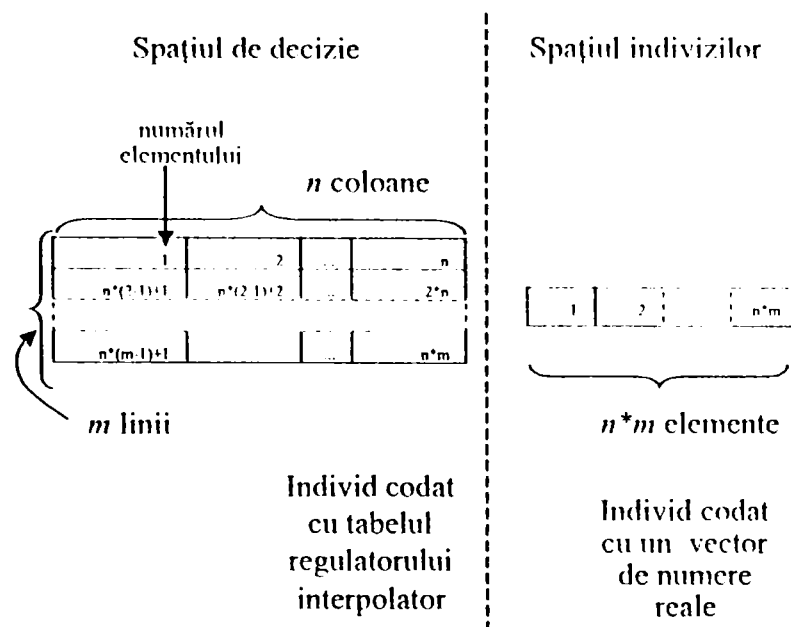


Fig. 5.29. Modul de codare al unui individ.

Tabelul regulatorului interpolator din sistemul de referință conține 7 linii și 7 coloane. Din acest motiv, un individ i în spațiul de decizie este un tabel de forma:

$$Tabel_i = \begin{bmatrix} a_{11} & a_{12} & a_{17} \\ a_{21} & a_{22} & a_{27} \\ \cdot & \cdot & \cdot \\ a_{71} & a_{72} & a_{77} \end{bmatrix} \quad (5.25)$$

iar în spațiul indivizilor este un vector de forma:

$$i = [a_{11} \quad a_{17} \quad a_{21} \quad a_{77}] \quad (5.26)$$

unde $a_{11}, \dots, a_{17}, a_{21}, \dots, a_{77}$ sunt numere reale care iau valori într-un interval stabilit relativ la valorile din tabelul regulatorului interpolator din sistemul de referință ($a_{mn_initial}$), după relația:

$$a_{mn} \in [-p\% \cdot a_{mn_initial}, +p\% \cdot a_{mn_initial}]. \quad (5.27)$$

Parametri algoritmului genetic folosit sunt:

- Mărimea populației $N = 100$
- operator de selecție turneu cu $T=5$

- operator de încrucișare aritmetică
- mutație uniformă
- probabilitatea încrucișării 0,6
- probabilitatea mutației 0,1
- criteriul de oprire un număr de 100 de generații.

Performanța unui individ s-a stabilit folosind relația (5.2), unde coeficienții de ponderare au fost aleși egali:

$$c_1 = c_2 = c_3 = c_4 = 0,25$$

Modelul Simulink folosit în experimente este reprezentat în Anexa B, figurile B10, B11 și B12.

Soluția cea mai bună obținută prin aplicarea algoritmului genetic este prezentată în Tabelul 5.17. [Dra 03].

Tabelul 5.17. Soluția cea mai bună obținută prin folosirea criteriului de performanță din relația (5.27)

$w+u_1$	-1.1	-0.7	-0.3	0	0.3	0.7	1.1
u_2							
-1.1	-1.6228	-2.0697	-1.5232	-1.7437	-1.2743	-0.5331	-0.3401
-0.8	-1.2479	-1.9530	-1.1030	-0.5016	-0.5198	-0.2577	0.1951
-0.4	-1.1890	-1.9088	-1.1667	-0.4800	-0.1261	0.5205	1.0687
0	-1.1787	0.7828	-0.6400	0.0451	0.4202	1.0359	1.1166
0.4	-0.8354	-0.3503	-0.1565	0.1315	1.1581	2.2138	1.0835
0.8	-0.0814	0.4000	0.4407	0.5803	1.4687	1.9476	0.8782
1.1	0.5683	1.0173	1.4385	1.5404	2.2204	2.8410	1.6779

Răspunsul sistemului obținut folosind acest tabel de interpolare este reprezentat în figura 5.30.

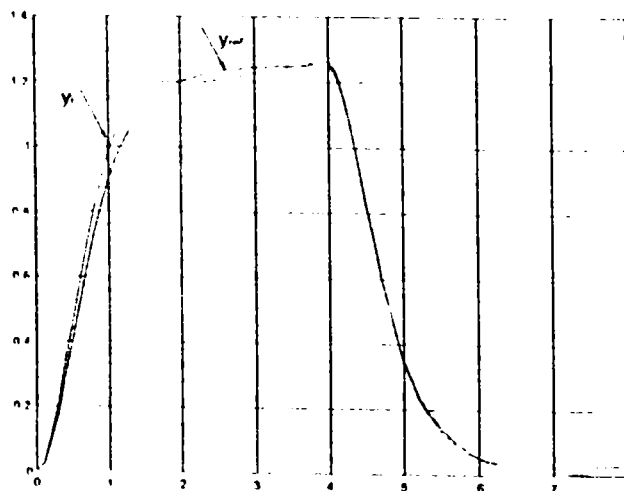


Fig. 5.30. Răspunsul sistemului obținut folosind tabelul de interpolare 5.17.

Analizând rezultatul obținut, se observă că în intervalele $[t_1, t_2]$ și $[t_2, t_{max}]$, răspunsul y_i nu se situează în întregime în zona permisă. În intervalul $[0, t_1]$ se observă totuși o îmbunătățire a aspectului curbei de răspuns, dar aceasta nu este semnificativă.

În scopul obținerii unor rezultate mai bune, s-a procedat la modificarea criteriilor de performanță pentru un individ, prin adăugarea unor cerințe de rapiditate suplimentare:

v). în intervalul $[0, t_1]$ derivata curbei de răspuns y_i a sistemului ajustabil trebuie să fie pozitivă și cât mai mare, pentru a asigura un front ridicător mai rapid, ceea ce este echivalent cu adăugarea la relația a unui termen de forma:

$$\int_0^{t_1} \{\max[\dot{y}_i(t), 0]\} dt \quad (5.28)$$

vi). în intervalul $[t_1, t_2]$ derivata curbei de răspuns y_i a sistemului ajustabil trebuie să fie cât mai apropiată de valoarea 0, pentru a evita ieșirea curbei de răspuns din zona permisă prin depășirea valorii y_{st} , ceea ce implică adăugarea la relația (5.23) a unui termen de forma:

$$- \int_{t_1}^{t_2} \{\text{abs}[\dot{y}_i(t)]\} dt \quad (5.29)$$

Cu aceste modificări, performanța unui individ se poate exprima în formă matematică prin relația:

$$\begin{aligned} Ji(\text{param}_i) = & c_1 \int_0^{t_1} \{\max[y_i(t) - y_{ref}(t), 0]\} dt + c_2 \int_{t_2}^{t_{max}} \{\max[y_{ref}(t) - y_i(t), 0]\} dt - \\ & - c_3 \int_0^{t_{max}} \{\max[0 - y_i(t), 0]\} dt - c_4 \int_0^{t_{max}} \{\max[y_i(t) - y_{st}, 0]\} dt + \\ & + c_5 \int_0^{t_1} \{\max[\dot{y}_i(t), 0]\} dt - c_6 \int_{t_1}^{t_2} \{\text{abs}[\dot{y}_i(t)]\} dt \end{aligned} \quad (5.30)$$

Coeficienții de ponderare au fost aleși egali: $c_1 = c_2 = c_3 = c_4 = c_5 = c_6 = 0,16$

Folosind criteriul de performanță din relația (5.30) s-a aplicat din nou algoritmul genetic, cu aceiași parametri.

Soluția cea mai bună obținută este reprezentată în tabelul 5.18.

Tabelul 5.18. Soluția cea mai bună obținută prin folosirea criteriului de performanță din relația 5.33.

$w + u_x$	-1.1	-0.7	-0.3	0	0.3	0.7	1.1
u_{x2}							
-1.1	-1.6062	0.7552	0.3925	-1.0484	-0.3044	-1.0731	-0.9946
-0.8	-2.8298	1.0566	-1.4384	0.5600	-1.4000	-0.4263	0.4487
-0.4	-0.7367	-1.9088	0.2551	-0.6285	-0.0102	0.8246	-0.2543
0	-0.2263	-0.9525	-0.8432	-0.0025	0.6417	-0.6006	1.0109
0.4	-0.2458	-0.8051	-0.2433	0.0242	2.0583	2.4557	-0.7415
0.8	0.1363	0.3056	0.2303	1.6758	0.1250	0.3075	1.0656
1.1	0.5169	1.8131	-0.6102	2.6949	1.5828	5.3955	3.8802

Răspunsul sistemului obținut folosind acest tabel de interpolare este reprezentat în figura 5.31.

Analizând rezultatul obținut, se observă că în intervalele $[0, t_1]$ și $[t_1, t_2]$ răspunsul sistemului s-a îmbunătățit, dar în intervalul $[t_2, t_{max}]$, răspunsul y_i se situează chiar la granița zonei permise.

În scopul obținerii unor rezultate mai bune, s-a procedat la modificarea coeficienților de ponderare, în sensul creșterii coeficienților c_1 și c_2 .

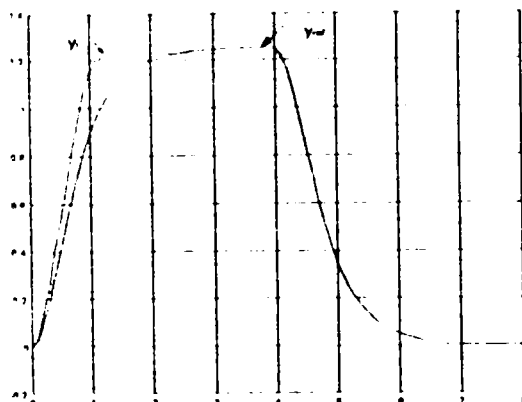


Fig. 5.31. Răspunsul sistemului obținut folosind tabelul de interpolare 5.18.

În această nouă abordare, coeficienții de ponderare folosiți sunt:

$$c_1 = c_2 = 0,2, \quad c_3 = c_4 = c_5 = c_6 = 0,15 \quad (5.31)$$

Folosind același criteriu de performanță din relația (5.34), dar cu coeficienții de ponderare modificați conform relației (5.31), s-a aplicat din nou algoritmul genetic, cu aceiași parametri.

Soluția cea mai bună obținută este reprezentată în tabelul 5.19 :

Tabelul 5.19. Soluția cea mai bună obținută prin folosirea criteriului de performanță din relația (5.33.) și a coeficienților de ponderare din relația (5.34)

$w + u_x$	-1.1	-0.7	-0.3	0	0.3	0.7	1.1
u_{x2}							
-1.1	-5.74	-4.60	-1.01	-2.5	-1.34	-0.33	-1.08
-0.8	-3.99	-4.71	-0.81	-0.57	0.4	-0.6	0.17
-0.4	-3.55	0.63	-1.26	-0.71	-0.01	-0.23	-0.21
0	-0.94	-0.30	-0.90	0.00	1.06	2.15	1.86
0.4	0.06	-0.58	0.03	-0.06	-0.63	0.66	1.29
0.8	-0.05	0.70	-0.05	1.17	-1.12	1.38	0.08
1.1	1.11	1.81	-0.71	3.08	-1.43	5.23	-1.10

Răspunsul sistemului obținut folosind acest tabel de interpolare este reprezentat în figura 5.32.

Analizând rezultatul obținut, se observă că în toate intervalele de timp specificate prin criteriul de performanță din relația (5.30) cu coeficienții de ponderare modificați după relația (5.31) s-a obținut o îmbunătățire semnificativă a răspunsului sistemului ajustabil, astfel încât tabelul de interpolare prezentat în tabelul 5.10. se consideră soluția problemei.

5.3.1.3.2. Metoda II

Problema de îmbunătățire a sistemului cu regulator interpolator ajustabil s-a reluat folosind o altă metodă de stabilire a performanțelor. Astfel, în loc să se mai compare răspunsul sistemului ajustabil cu răspunsul sistemului de referință în paralel cu analiza curbelor de răspuns și impunerea unor condiții de îmbunătățire a răspunsului obținut, se folosește un sistem ideal, care reproduce identic la ieșire mărimea de conducere $w(t)$. [Dra 03]

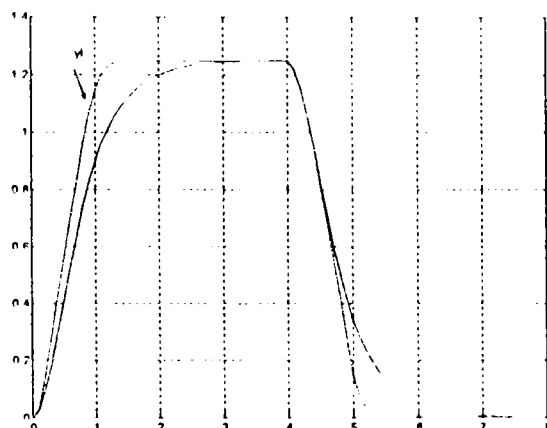


Fig. 5.32. Răspunsul sistemului obținut folosind tabelul de interpolare 5.19.

Schema bloc a modelului Simulink folosit în această aplicație asemănătoare cu schema din figura 5.9, în care sistemul de optimizat devine sistemul cu regulator interpolator ajustabil, iar modelul etalon este un sistem ideal care conține un simplu generator de semnal dreptunghiular ce produce un impuls singular, similar cu cel folosit ca mărime de conducere în sistemul ajustabil.

În figura 5.33 este reprezentat răspunsul sistemului ajustabil la această intrare, comparativ cu răspunsul ideal.

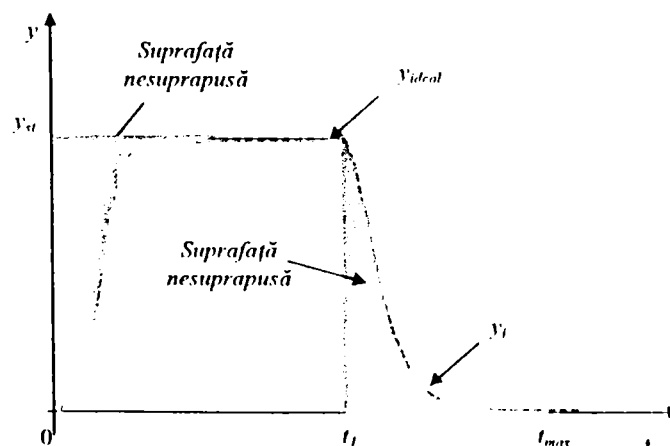


Fig. 5.33 Răspunsul sistemului ajustabil comparativ cu răspunsul ideal.

Așa cum se observă în această figură, curbele de răspuns ale sistemului ajustabil y_i și a sistemului ideal y_{ideal} nu se suprapun în totalitate, datorită imperfecțiunii sistemului ajustabil.

Scopul este determinarea unui tabel de interpolare astfel încât curbele y_i și y_{ideal} să fie cât mai mult posibil suprapuse.

Este evident că dimensiunile suprafețelor nesuprapuse ale celor două curbe reprezintă o măsură a performanței. Cu cât aceste suprafețe sunt mai mici, cu atât performanțele sistemului ajustabil sunt mai bune.

Se poate deci impune ca și criteriu de performanță pentru sistemul ajustabil dimensiunea acestor suprafețe, care se exprimă în formă matematică în relația :

$$J_i(\text{param}_i) = \int_0^{t_{\max}} \{ \text{abs}[y_i(t) - y_{\text{ideal}}(t)] \} dt \quad (5.32)$$

Funcția Fitness se definește prin relația:

$$\text{Fitness}_i = \frac{1}{1 + J_i(\text{param}_i)} \quad (5.33)$$

Algoritmul genetic se aplică în aceeași manieră ca la prima metodă și se folosește funcția Fitness din relația precedentă.

Tabelul 5.20. Soluția cea mai bună obținută prin metoda II

$w+u_1$	-1.1	-0.7	-0.3	0	0.3	0.7	1.1
u_2							
-1.1	-0.46	-4.91	-2.85	-0.79	-2.52	-1.40	-1.12
-0.8	-2.27	-1.78	-0.62	-1.84	-1.38	-0.61	0.00
-0.4	-3.76	-0.40	-1.45	-0.65	0.23	-0.08	-0.03
0	-1.21	-2.19	-0.64	0.00	0.77	1.71	1.52
0.4	-0.14	-0.07	-0.27	0.57	-0.07	2.18	1.11
0.8	0.16	0.16	1.15	1.86	2.82	3.93	-0.44
1.1	1.11	1.82	0.90	0.81	0.89	-1.52	6.39

Soluția cea mai bună obținută este prezentată în tabelul 5.20, care reprezintă tabelul de interpolare atașat regulatorului interpolativ din sistemul ajustabil.

Răspunsul sistemului obținut folosind acest tabel de interpolare este reprezentat în figura 5.34.

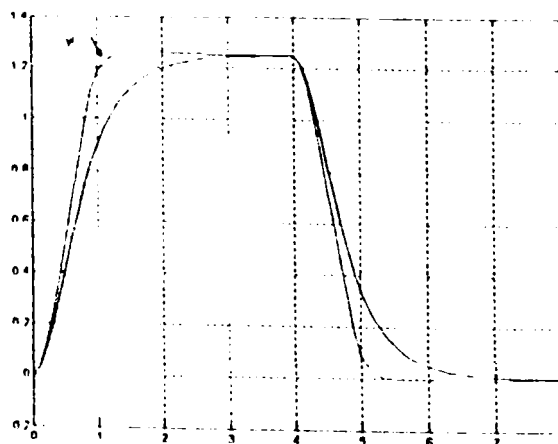


Fig. 5.34. Răspunsul sistemului obținut folosind tabelul de interpolare 5.20.

Analizând rezultatul obținut, se observă o îmbunătățire semnificativă a performanțelor sistemului.

Modelul Simulink folosit este prezentat în Anexa B, figurile B.14 și B.15.

Cele două metode de îmbunătățire a performanțelor sistemului de reglare automată cu regulator interpolativ demonstrează capacitatea algoritmilor genetici de a rezolva probleme de îmbunătățire a performanțelor sistemelor de reglare automată.

5.4. Concluzii

Scopul principal al acestei teze este investigarea unor modalități de aplicare a algoritmilor genetici în inginerie. Urmând acest scop, capitolul 5 este focalizat pe modalitățile de sinteză și îmbunătățire a performanțelor sistemelor automate, prin simulare și optimizare folosind algoritmi genetici.

La începutul capitolului se prezintă un algoritm genetic implementat în MATLAB, care devine un instrument software folosit în studiile de caz următoare și care în plus permite folosirea tuturor facilităților oferite de mediul MATLAB, în particular a toolboxului Simulink. Pe baza acestor facilități, algoritmul genetic implementat permite evaluarea indivizilor din populație fie prin metodele uzuale de evaluare software, fie prin apelul unui model Simulink al sistemului, care conține blocuri de calcul pentru Fitness și returnează chiar valoarea Fitness. Algoritmul genetic este implementat într-o manieră modulară și este foarte ușor extensibil.

Paragraful 5.2. se referă la aplicarea algoritmilor genetici pentru acordarea optimă a reguletoarelor. În acest paragraf se propune o nouă metodă de stabilire a funcției Fitness folosind curbele de răspuns ale sistemelor la anumite semnale de intrare, curbe care se pot încadra de către proiectant într-o așa numită zonă permisă. Curbele de răspuns se pot obține cu ușurință prin simularea sistemului de reglare automată, iar metoda este generală și se poate folosi și în alte probleme de optimizare bazate pe algoritmi genetici.

Paragraful 5.2.3. abordează acordarea reguletoarelor lineare de tip PID folosind algoritmi genetici și prezintă două studii de caz care s-au realizat cu algoritmul genetic implementat și care folosesc noua metodă de stabilire a funcției Fitness.

Studiul de caz nr. 1 se referă la acordarea optimă a unui regulator PID într-un sistem de reglare monovariabil în care obiectivele de performanță s-au impus folosind răspunsul sistemului la intrare treaptă unitară. Rezultatele obținute demonstrează că problema acordării optime a unui regulator PID în raport cu o intrare treaptă unitară se poate rezolva cu ușurință folosind algoritmi genetici. Acest studiu de caz este reluat în Anexa A, paragraful A.4, în două situații care diferă cea prezentată în acest paragraf prin modificarea parametrilor algoritmului genetic și prin modificarea cerințelor de performanță impuse. Rezultatele obținute demonstrează că, în particular, problema acordării optime a unui regulator PID în raport cu o treaptă unitară se poate rezolva folosind algoritmi genetici cu o populație mai redusă și cu un număr mai mic de generații, iar prin modificarea cerințelor de performanță impuse, se modifică în mod corespunzător soluțiile obținute folosind algoritmi genetici.

Studiul de caz nr. 2 se referă la acordarea optimă a unui regulator PID într-un sistem de reglare monovariabil în care obiectivele de performanță s-au impus folosind răspunsul sistemului la intrare treaptă unitară pozitivă și o perturbație treaptă unitară negativă. Rezultatele obținute demonstrează că problema abordată în studiul de caz nr. 2 se poate rezolva folosind algoritmi genetici. În Anexa A, paragraful A.5. reia acest studiu de caz prin modificarea parametrilor algoritmului genetic și prin modificarea cerințelor de performanță impuse. Rezultatele obținute arată că problema acordării optime a unui regulator PID în raport cu o intrare treaptă unitară și o perturbație treaptă unitară negativă este mai dificilă pentru algoritmi genetici decât problema din studiul de caz nr. 1, iar rezultatele obținute prin reducerea numărului de indivizi și a numărului de generații sunt mai puțin

performante. De asemenea, pentru obținerea unor rezultate corespunzătoare, obiectivele de performanță trebuie stabilite într-o manieră mai detaliată.

Paragraful 5.2.4. se referă la acordarea reguletoarelor lineare de tip PI pentru procese cu timp mort folosind algoritmi genetici și prezintă două studii de caz care s-au realizat cu algoritmul genetic implementat și care folosesc noua metodă de stabilire a funcției Fitness.

Studiul de caz nr. 3 se referă la aplicarea algoritmilor genetici în acordarea optimă a unui regulator PI pentru un proces cu timp mort, în raport cu o intrare treaptă unitară pozitivă. Rezultatele obținute în acest studiu de caz demonstrează că algoritmi genetici se pot folosi pentru rezolvarea unor probleme de acest tip, prin modificarea cerințelor de performanță impuse pentru obținerea unui răspuns mai rapid al sistemului. În Anexa A, paragraful A.6. se reia studiul de caz nr. 3, în două situații care diferă de cea prezentată în acest paragraf prin modificarea parametrilor algoritmului genetic și prin modificarea cerințelor de performanță impuse. Rezultatele arată că, în particular, problema acordării optime a unui regulator PI pentru un proces cu timp mort se poate rezolva folosind algoritmi genetici cu o populație mai redusă și cu un număr mai mic de generații, iar prin modificarea cerințelor de performanță se pot obține rezultate bune.

Studiul de caz nr. 4 abordează posibilitatea aplicării algoritmilor genetici în acordarea optimă a unui regulator PI în raport cu o referință treaptă unitară pozitivă și o perturbație treaptă unitară negativă pentru un proces cu timp mort. Acest studiu de caz demonstrează că impunerea unor criterii de performanță suplimentare pentru ghidarea căutării influențează mult calitatea soluțiilor găsite și în această manieră algoritmi genetici se pot folosi pentru rezolvarea unei probleme de acest tip. În Anexa A, paragraful A.7 se prezintă rezultatele obținute prin aprofundarea studiului de caz nr. 4, în două situații care diferă de cea prezentată în acest paragraf prin modificarea parametrilor algoritmului genetic și prin modificarea cerințelor de performanță impuse. Rezultatele obținute arată că răspunsul sistemului este mai puțin performant în cazul folosirii unui algoritm genetic cu o populație mai redusă care evoluează un număr mai mic de generații, iar adăugarea cerințelor de performanță suplimentare trebuie să se facă cu deosebită grijă, cu cât mai multe detalii, în scopul obținerii unor soluții corespunzătoare. Tot în Anexa A, paragraful A.7.3. se prezintă o nouă metodă prin care obiectivele de performanță definite de utilizator se pot stabili prin reprezentarea grafică a răspunsului dorit. Această abordare este generală și se poate folosi și în alte probleme de optimizare bazate pe algoritmi genetici.

Paragraful 5.3 se referă la aplicarea algoritmilor genetici pentru îmbunătățirea performanțelor sistemelor automate, în particular în cazul reguletoarelor de tip interpolativ care se bazează pe implementarea algoritmilor de reglare prin puncte de sprijin implantate în blocuri interpolative. [Dra 03] Modificările efectuate în tabele în cadrul operației de sinteză a regulatorului interpolator, se fac în sensul îmbunătățirii performanțelor sistemului automat de la care se pornește. Îmbunătățirea realizată poate fi numită în limbaj curent optimizare inteligentă a dependenței inițiale. [Dra 03] Pornind de la sistemul de reglare care folosește regulatorul interpolator IC-1 se urmărește îmbunătățirea performanțelor sistemului prin utilizarea unui algoritm genetic.

Studiul de caz nr. 5 folosește pentru soluționarea problemei răspunsului sistemului la o intrare treaptă unitară pozitivă și stabilește funcția Fitness prin două metode. Prima metodă stabilește cerințele de performanță prin încadrarea răspunsului sistemului în așa numite zone permise și rezolvă problema prin adăugarea treptată a unor cerințe de performanță formulate din ce în ce mai judicios. A doua metodă stabilește cerințele de performanță prin compararea răspunsului sistemului care folosește un regulator interpolativ cu răspunsul unui sistem ideal, care reproduce identic la ieșire mărimea de conducere. Rezultatele obținute prin aplicarea acestor două metode de îmbunătățire a performanțelor sistemului de reglare automată cu

regulator interpolator demonstrează capacitatea algoritmilor genetici de a rezolva probleme de îmbunătățire a performanțelor sistemelor de reglare automată.

Elementele de originalitate constau în:

- realizarea unui algoritm genetic implementat în MATLAB, care este folosit ca instrument software în studiile de caz din Capitolul 5 și Capitolul 6;
- folosirea unei noi metode de evaluare a indivizilor pe baza curbelor de răspuns ale sistemelor la anumite semnale de intrare, curbe care se pot încadra de către proiectant într-o așa numită zonă permisă și care se pot obține cu ușurință prin simularea sistemului de reglare automată. Metoda este generală și se poate folosi și în alte probleme de optimizare bazate pe algoritmi genetici;
- folosirea unei noi metode de stabilire a obiectivelor de performanță definite de utilizator prin reprezentarea grafică a răspunsului dorit. Metoda este generală și se poate folosi și în alte probleme de optimizare bazate pe algoritmi genetici;
- aplicarea metodei de evaluare propuse în 4 studii de caz referitoare la acordarea optimă a reguletoarelor lineare de tip PID și PI folosind algoritmi genetici;
- aplicarea algoritmilor genetici pentru îmbunătățirea performanțelor sistemelor automate, în particular în cazul reguletoarelor de tip interpolativ, într-un studiu de caz în care cerințele de performanță s-au impus folosind două metode bazate pe metodele prezentate în prealabil.

CAPITOLUL 6. APLICAREA ALGORITMILOR GENETICI PENTRU IDENTIFICAREA SISTEMELOR

6.1. Principiile și metodele folosite pentru identificarea sistemelor

În analiza sistemelor, o problemă importantă este determinarea semnalului de ieșire pe baza evoluției în timp a semnalului de intrare. Identificarea sistemelor tratează problema inversă, și anume, cunoscând evoluția în timp a semnalelor de intrare și ieșire se caută să se determine ecuațiile care descriu comportarea sistemului.

Zadeh definește în 1962 identificarea drept determinarea, pe baza intrării și ieșirii, a unui sistem dintr-o clasă determinată de sisteme, față de care sistemul care se încearcă este echivalent. [Eyk 77]

Folosind formularea lui Zadeh, este necesar să se specifice o clasă de sisteme $S = \{S\}$, o clasă de semnale de intrare U și semnificația lui "echivalent".

În cele ce urmează se va numi "sistemul care se încearcă" proces, iar elementele S se vor numi modele.

Echivalența se definește de obicei în funcție de un criteriu, de o funcție de eroare sau pierdere, care este dependentă de ieșirea y a procesului și ieșirea y_{ref} a modelului.

Alegerea clasei de modele S , a clasei semnalelor de intrare U și a funcției criteriu este mult influențată de cunoștințele apriorice despre proces.

Modelul include trei tipuri de cunoștințe, anume:

- structura, exprimată prin identități matematice, scheme bloc, grafuri, matrici de conexiune etc;
- valorile parametrilor, care sunt mărimi care nu prezintă nici o dependență de intrare, fiind numite și variabile independente;
- valorile variabilelor dependente care reflectă starea în funcție de timp.

În cazul cunoașterii prealabile a structurii modelului, cunoștințele care trebuie obținute se reduc la valorile numerice ale unui număr de parametri.

Estimarea parametrilor se definește drept determinarea experimentală a valorilor parametrilor care stabilesc comportarea dinamică și/sau neliniară, presupunând că structura modelului este cunoscută. [Eyk 77]

Problema estimării se poate defini în modul următor:

- Procesul și modelul se supun acțiunii aceluiași semnal de intrare;
- Ieșirea procesului se compară cu ieșirea modelului;
- Se determină o ajustare a modelului care este optimă vis-a-vis de proces într-un sens dinainte definit.

Optimul se definește folosind un criteriu în raport cu semnalul sau semnalele de ieșire, ori un criteriu legat de eroarea de estimare a parametrilor. Adesea criteriul este minimizarea unei funcții scalare de eroare, adică: [Eyk 77]

$$E(y, y_m) = \int_0^{t_{max}} \varepsilon^2(t) dt \quad (6.1)$$

în care y este ieșirea procesului, y_m este ieșirea modelului, iar t_{max} reprezintă timpul maxim pe care se consideră definite funcțiile y și y_m .

În situația în care $y_m(t)$ este ieșirea modelului pentru intrarea $u(t)$, eroarea ieșirii este dată de relația:

$$\varepsilon(t) = y(t) - y_m(t) \quad (6.2)$$

Problema estimării parametrilor este reprezentată în schema bloc din figura 6.1.

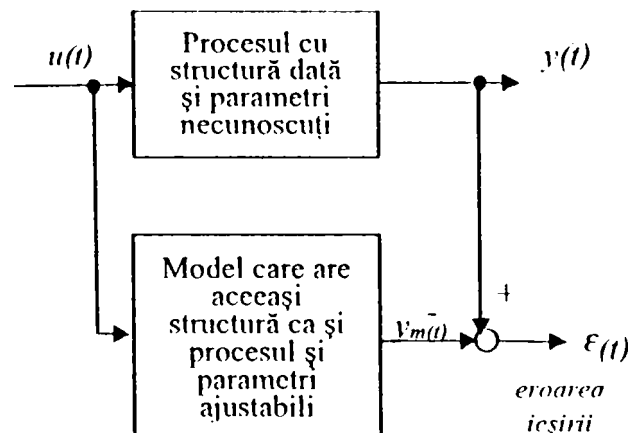


Fig. 6.1. Problema estimării parametrilor.

Problema de identificare este adesea înglobată într-un cadru probabilistic, care face posibilă exploatarea metodelor teoriei estimării și deciziei. Totuși, în multe situații, problema estimării se reduce la o problemă de optimizare. [Fyk 77]

În cele ce urmează se va face referire la metodele experimentale de estimare a parametrilor sistemelor.

6.2. Metode experimentale de identificare a sistemelor

Aceste metode folosesc măsurători efectuate asupra mărimilor de intrare și de ieșire și își propun obținerea unor modele matematice care descriu într-o manieră cât mai apropiată de realitate comportarea procesului.

Etapele care sunt parcurse pentru identificarea experimentală a sistemelor sunt prezentate în figura 6.2. [Dum 80]

Metoda folosește ca punct de pornire un model aproximativ al procesului. Ieșirile modelului matematic se compară cu rezultatele experimentale și se determină, prin folosirea unui criteriu de eroare în raport cu ieșirile procesului și ieșirile modelului matematic, parametri modelului matematic care conduc la un răspuns care corespunde cel mai bine cu ieșirile procesului obținute prin măsurători experimentale. Acest proces se continuă până când criteriul de eroare este satisfăcut. [Dum 80]

Identificarea se poate face on-line sau off-line. În cazul identificării on-line se folosesc semnale de intrare și ieșire din proces măsurate în timpul funcționării normale, iar modelul sistemului se obține în timp real.

În cazul identificării off-line se folosesc semnale de funcționare normală ale procesului care s-au colectat în prealabil folosind măsurători de laborator.[Dum 80]

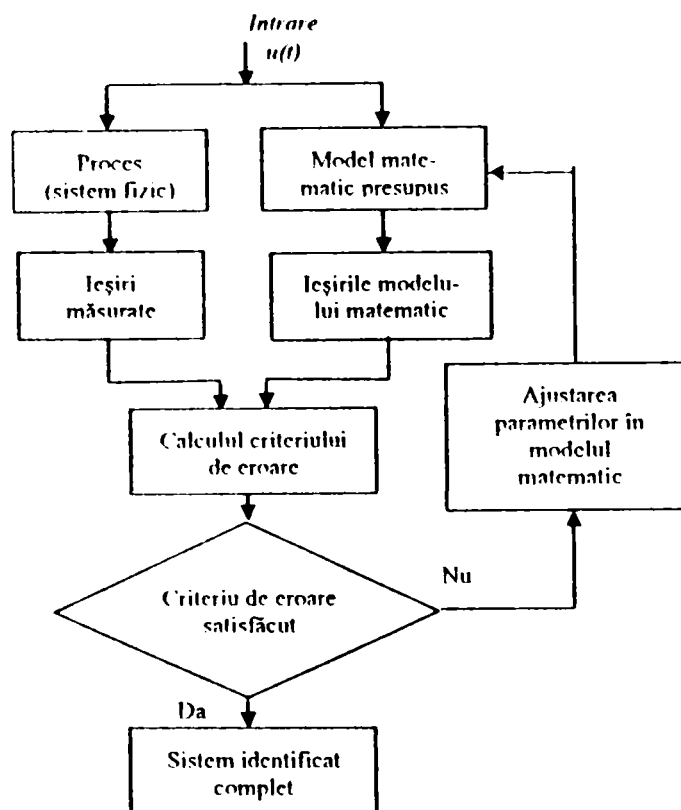


Fig. 6.2. Etapele de identificare experimentală a sistemelor.

În cazul în care este necesară determinarea structurii procesului, se parcurg următoarele etape:

1. Se investighează experimental dacă procesul are parametri constanți sau ajustabili;
2. Se determină experimental domeniul de liniaritate al procesului;
3. Se adoptă un principiu de descriere matematică.

În legătură cu intrarea $u(t)$ din fig. 6.2 se impune următoarea precizare: acest semnal trebuie să aibă o structură relevantă din punctul de vedere al excitării în răspunsul sistemului a tuturor particularităților de manifestare a acestuia. În consecință, el poate fi un semnal simplu cum ar fi treaptă sau rampă - sau un semnal complex alcătuit dintr-o succesiune de semnale tipizate. Aspectul este valabil atât pentru sistemele lineare, când semnalele din succesiune nu au voie să fie proporționale, cât și pentru sisteme nelineare unde sunt utile și astfel de semnale.

De asemenea, cu privire la ieșirea măsurată și ieșirea modelului matematic se impune observația că, principial, în funcție de tipul modelului pe care vrem să-l determinăm –în timp discret sau continuu- eșantioanele trebuie să fie orientate crescător în timp, să corespundă acelorași momente echidistante în cazul modelelor în timp discret și arbitrare în cazul modelelor în timp continuu

Dacă criteriul de eroare este de tip integral, așa cum apare în relația (6.1), atunci utilizarea sa practică se face prin înlocuirea integralei cu o sumă echivalentă.

Din considerente de simplitate și bună aproximare, momentele la care se compară ieșirile se consideră în continuare echidistante indiferent dacă modelele sunt în timp discret sau continuu.

6.3. Aplicarea algoritmilor genetici în identificarea sistemelor

6.3.1. Metode folosite în aplicarea algoritmilor genetici în identificarea sistemelor

În scopul aplicării algoritmilor genetici în identificarea sistemelor, fiecare individ din populație trebuie să reprezinte un model al procesului, iar funcția criteriu devine o măsură a calității modelului, prin evaluarea capacității sale de a prezice stările următoare ale procesului.

Predicțiile stărilor, proprii fiecărui individ i , se compară cu măsurători făcute asupra procesului real. Eroarea obținută prin această comparație este o funcție a calității individului. Cu cât această eroare este mai mică, cu atât individul i este mai performant.

Așa cum s-a prezentat în capitolele precedente, algoritmi genetici sunt capabili să descopere strategii optime. Datorită faptului că ei necesită cunoștințe puține despre fenomenul studiat, acești algoritmi pot fi utilizați în identificarea sistemelor.

Aplicarea acestor algoritmi în identificarea sistemelor nu ridică nici un inconvenient, deoarece identificarea se poate face off-line, folosind măsurători prealabile efectuate pe procesul real.

În continuare se prezintă abordările cu algoritmi genetici, cunoscute din literatură, a problemei de identificare a sistemelor.

6.3.1.1. Folosirea unor modele matematice ale sistemului

Algoritmi genetici pot fi folosiți să identifice coeficienții unei ecuații cu diferențe, care este modelul matematic al unui sistem în timp discret, de forma relației (5.3) [Dum 00]

$$A(q^{-1})y(t) = q^{-k}B(q^{-1})u(t) + C(q^{-1})e(t) \quad (6.3)$$

unde:

- $y(t)$ este ieșirea procesului, iar $u(t)$ intrarea la momentul t ,
- $e(t)$ este un zgomot alb,
- q^{-1} este operatorul de întârziere, astfel încât $(q^{-1})y(t) = y(t-1)$.

Polinoamele din relația (6.3) sunt de forma:

$$\begin{aligned} A(q^{-1}) &= 1 + a_1 q^{-1} + a_2 q^{-2} + \dots + a_{na} q^{-na} \\ B(q^{-1}) &= b_0 + b_1 q^{-1} + \dots + b_{nb} q^{-nb} \\ C(q^{-1}) &= 1 + c_1 q^{-1} + \dots + c_{nc} q^{-nc}. \end{aligned} \quad (6.4)$$

Folosind diferite metode de identificare, se obține un model matematic având forma relației (6.3) dar cu coeficienți diferiți.

Prin folosirea unui număr Ne de vectori cu eșantioane de intrare și ieșire, reprezentând un număr de Ne experimente intrare-ieșire, problema de identificare se reduce la determinarea coeficienților necunoscuți prin minimizarea erorii de estimare. O minimizare

analitică a acestei erori nu este posibilă, deoarece dependența erorii de coeficienții necunoscuți este puternic neliniară. [Dum 00]

Algoritmii genetici sunt folosiți în scopul găsirii coeficienților ecuației cu diferențe care minimizează cel mai mult posibil această eroare. [Ren 94]

6.3.1.2. Folosirea unor programe de modelare

O altă metodă de identificare a sistemelor se referă la evoluția unor așa numite programe de modelare sau programe de estimare, care în particular sunt sisteme de producție cu reguli „dacă-atunci” de forma:

"Dacă <intrare proces> atunci <ieșire proces>"

sau:

"Dacă <stare curentă a procesului> și <acțiune> atunci <ieșire proces>"

Algoritmii genetici își propun în această abordare să găsească programul de estimare cel mai bun, care conține regulile cele mai potrivite pentru a prezice ieșirea procesului într-o manieră cât mai apropiată de realitate. Problema de identificare constă în a găsi o bază de reguli care caracterizează o dependență intrare-ieșire. [Ren 94]

6.3.1.3. Folosirea transformatei Fourier

Problema de identificare se poate rezolva nu numai în domeniul timp, ci și în domeniul frecvențelor, unde energia semnalului de intrare se poate folosi mai eficient.

În această abordare, se poate compara transformata Fourier a ieșirii procesului cu transformata Fourier a modelului. Ca măsură a performanței se folosește eroarea obținută în urma acestei comparații.

Principial, metoda este reprezentată în figura 6.3, unde cu FFT s-au notat blocurile de calcul ale transformatelor Fourier.

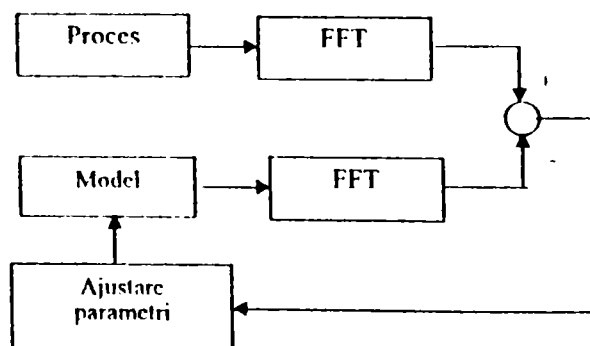


Fig. 6.3. Metoda de identificare cu transformata Fourier.

Această metodă a fost folosită la estimarea parametrilor unui flaut pe baza sunetului produs de acesta, la frecvența de 44.1 kHz. [Vuo 95]

6.3.1.4. Combinarea algoritmilor genetici cu alte metode de modelare sau estimare

Algoritmii genetici se pot combina în particular cu sisteme fuzzy sau cu rețele neurale artificiale.

De exemplu, într-o combinație a algoritmilor genetici cu rețele neurale artificiale pentru identificarea sistemelor neliniare, s-a folosit o variantă de algoritmi genetici pentru a optimiza ponderile rețelei. Algoritmul genetic a fost modificat în sensul că algoritmul memorează alelele mai performante și le protejează de o eventuală pierdere prin aplicarea operatorilor genetici. [Abu 95]

6.3.2. Aplicarea algoritmilor genetici pentru estimarea parametrilor modelelor sistemelor în timp continuu

În acest paragraf se propune o metodă originală pentru estimarea parametrilor sistemelor, folosind algoritmii genetici.

Metoda folosește schema de principiu din figura 6.4.

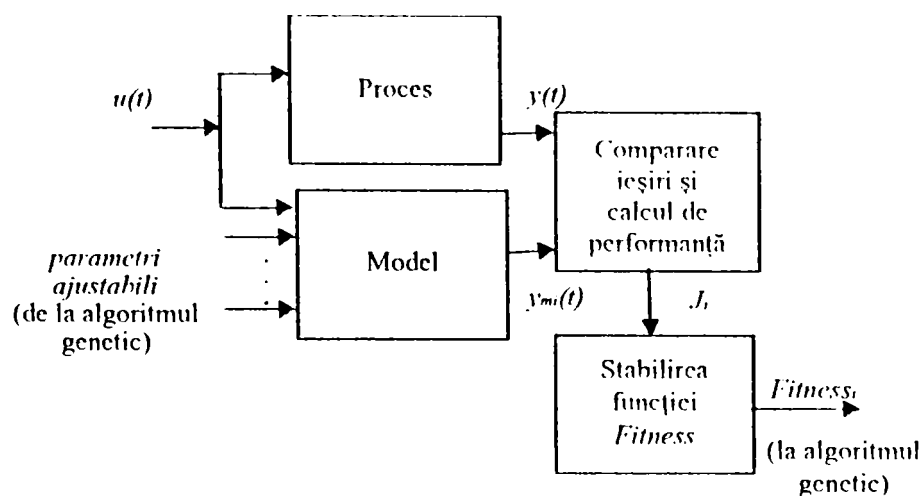


Fig. 6.4. Schema de principiu pentru estimarea parametrilor

Blocul Proces din figura 6.4 are parametri necunoscuți, care trebuie găsiți în procesul de identificare.

Blocul Model are parametri ajustabili, care sunt transmiși de la algoritmul genetic în etapa de evaluare. Prin compararea ieșirilor $y(t)$ și $y_{mi}(t)$, se obține o măsură a performanței J_i , pe baza căreia se atribuie individului i funcția $Fitness_i$.

Prin minimizarea acestei funcții, algoritmul genetic găsește valorile parametrilor care estimează cel mai bine parametri procesului.

6.3.2.1. Implementarea metodei propuse prin simulare

Etapa de evaluare a metodei propuse se face prin simulare. În acest scop, schema bloc din figura 6.4 se implementează într-un model Simulink.

Prin efectuarea unei simulări, se obține pentru individul i ieșirea $y(t)$ a procesului și ieșirea $y_{mi}(t)$ a modelului.

Algoritmii genetici folosesc indivizi codati cu vectori de numere reale, care reprezintă parametri pentru care se caută valorile corecte în procesul de estimare. Modul de codare al unui individ, în cazul în care se estimează un număr de n parametri este prezentat în figura 6.5.

Algoritmii genetici se aplică într-o manieră similară cu cea prezentată în figura 5.2. Diferența față de cele prezentate în paragrafele precedente constă în modul de evaluare al unui individ.

În figura 6.6 este reprezentată curba de răspuns a unui proces la un semnal de intrare de tip treaptă.

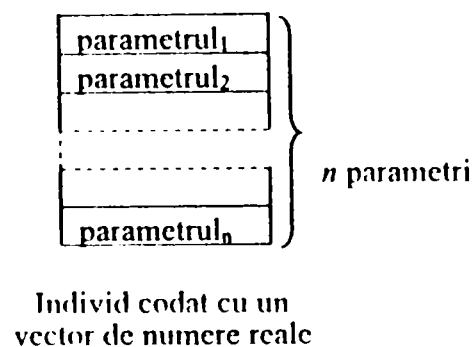


Fig. 6.5. Modul de codare al unui individ.

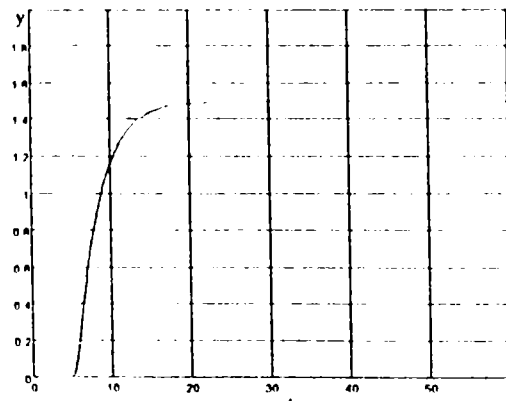


Fig. 6.6. Curba de răspuns a unui proces la un semnal de intrare de tip treaptă.

O astfel de curbă se compară cu răspunsul modelului cu parametri ajustabili, la momente de timp echidistante dt , cuprinse între 0 și t_{max} , unde t_{max} este timpul de simulare.

Dacă parametri modelului sunt identici cu parametri procesului, adică sunt corect estimați, curba de răspuns a modelului $y_{mi}(t)$ se suprapune complet peste curba care redă variația mărimii de ieșire a procesului, $y(t)$. În caz contrar, cele două curbe de răspuns diferă și se poate defini eroarea de estimare pentru individul i printr-o relație de forma:

$$\varepsilon_i(t) = abs[y(t) - y_{mi}(t)] \quad (6.5)$$

Însumând ambii membri ai relației (6.5) și notând $\sum_{t=0}^{t_{max}} \varepsilon(t)dt$ cu $Ji(param_i)$, se obține relația (6.6), în care $Ji(param_i)$ devine criteriu de performanță pentru individul i :

$$J_i(\text{param}_i) = \sum_{t=0}^{t_{\max}} \text{abs}[y(t) - y_{mi}(t)] \quad (6.6)$$

Suma din relația (6.6) se consideră în continuare cu un pas atât de mic, încât se poate aproxima cu o integrală.

Interpretarea geometrică a relației (6.6) este prezentată în figura 6.7. Aici se reprezintă curba de răspuns a procesului comparativ cu curba de răspuns a modelului. Notând cu S_y și $S_{y_{mi}}$ domeniile delimitate de curba $y(t)$, respectiv $y_{mi}(t)$ și axa timpului, reprezentate hașurate în figură, datorită nesuprapunerii celor două curbe, între ele se delimitează o serie de „suprafețe nesuprapuse” care sunt cele hașurate într-o singură direcție în fig. 6.7. Aceste suprafețe se pot considera criterii de performanță pentru calitatea estimării: cu cât ele sunt mai mici, cu atât estimarea parametrilor este mai bună. Suma lor este obținută cu relația (6.6).

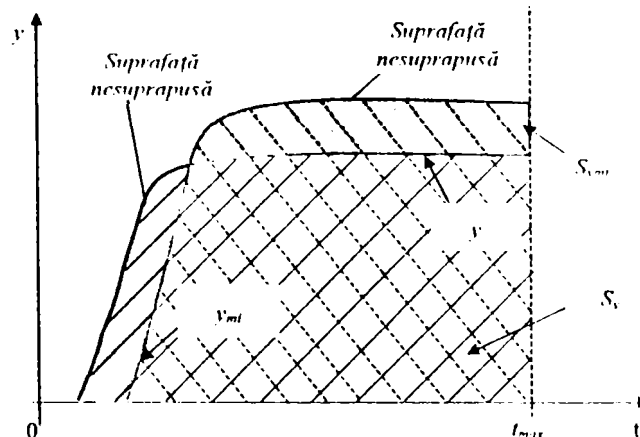


Fig. 6.7. Curba de răspuns a procesului comparativ cu cea a modelului.

În problemele de estimare a parametrilor, nu este suficient să folosim răspunsul sistemelor la un singur semnal de intrare. Pentru o estimare cât mai corectă se folosesc, așa cum s-a prezentat în paragraful 6.3.1.1, un număr de N_e vectori de probă corespunzători unui număr de N_e experimente intrare-ieșire.

Un vector de probă asociază un semnal de intrare în proces cu un semnal de ieșire, fiind o pereche de forma: (u_j, y_j) , unde u_j este un anumit semnal de intrare, iar y_j semnalul de ieșire corespunzător și $j=1 \dots N_e$.

Astfel, atât la intrarea procesului cât și a modelului, se aplică succesiv semnalele de intrare u_j și se compară ieșirile y_j și y_{mij} .

Compararea presupune, pentru un individ i , efectuarea unei simulări pentru fiecare din intrările u_j și calculul valorii J_{ij} pe baza ieșirii obținute printr-o relație de forma (6.6).

Indicatorul de performanță devine suma valorilor calculate pentru J_{ij} în fiecare simulare. Cu cât această sumă este mai mică, cu atât estimarea parametrilor este mai bună.

Etapa de evaluare a unui individ devine astfel mai complexă, așa cum se reprezintă în figura 6.8.

Etapa de evaluare prezentată în figura 6.8. se repetă pentru fiecare individ i în fiecare generație.

În formă matematică, criteriul de performanță devine:

$$J_i(\text{param}_i) = \sum_{j=1}^{N_e} \int_0^{t_{\max}} \{abs[y_j(t) - y_{mij}(t)]\} dt \quad (6.7)$$

Trebuie menționat că în exprimarea din relația (6.7) criteriul de performanță folosește ponderi egale pentru toate semnalele de intrare doar în cazul în care aceste semnale au o amplitudine comparabilă. În cazul în care se folosesc semnale de intrare care diferă foarte mult în amplitudine, se pot folosi coeficienți de ponderare pentru a compensa aceste diferențe de amplitudine, ca în relația:

$$J_i(\text{param}_i) = \sum_{j=1}^{N_e} \int_0^{t_{\max}} k_j \{abs[y_j(t) - y_{mij}(t)]\} dt \quad (6.8)$$

unde coeficienții k_j sunt aleși folosind informații apriorice, bazate pe analiza prealabilă a măsurătorilor efectuate asupra procesului real (de exemplu într-un raport invers proporțional cu amplitudinea semnalului de intrare).

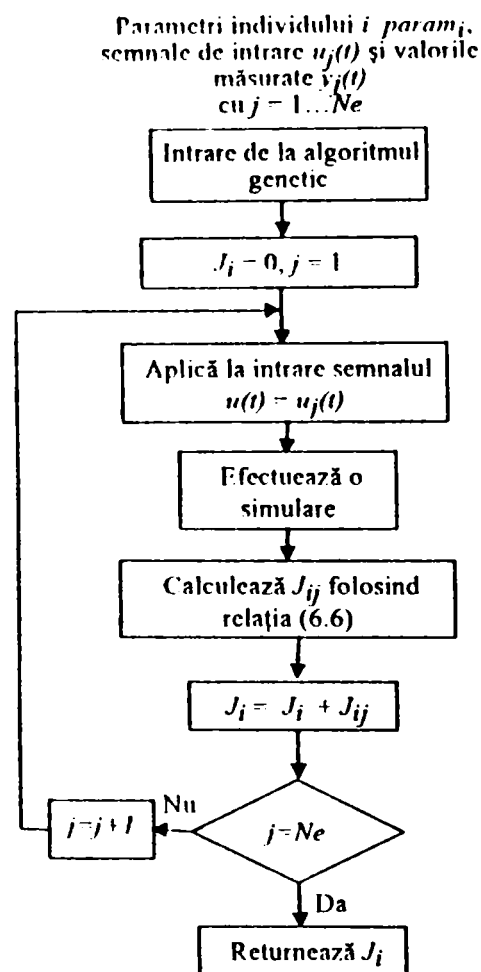


Fig. 6.8. Etapa de evaluare a unui individ.

Funcția Fitness se definește prin relația:

$$\text{Fitness}_i = \frac{1}{1 + J_i(\text{param}_i)} \quad (6.9)$$

unde $Fitness_i$ are valoarea maximă 1, ceea ce corespunde cu îndeplinirea completă a cerințelor de performanță.

Această metodă a fost descrisă în scopul testării ei prin simulare, presupunând că se cunoaște structura sistemului, dar nu se cunosc parametri procesului, scopul aplicării algoritmilor genetici fiind tocmai estimarea acestor parametri.

6.3.2.2. Implementarea metodei propuse în procese reale

În situațiile reale, etapa de evaluare se implementează tot prin simulare, cu deosebirea că estimarea parametrilor se face off-line, folosind măsurători efectuate în prealabil asupra procesului.

În acest caz, se presupun cunoscute:

- structura procesului, de exemplu în forma unei funcții de transfer cu parametri necunoscuți;
- un număr de N_e vectori de eșantioane de probă, sub forma unor perechi de semnale de intrare $u(t)$ și semnale de ieșire $y(t)$ obținute prin măsurători;
- timpul t_{max} de înregistrare a semnalelor culese de la procesul real.

În scopul reducerii timpului de calcul necesar algoritmului, folosind măsurătorile efectuate, se poate calcula ușor aria delimitată de fiecare din cele N_e curbe de răspuns și axa timpului, arie notată în figura 6.9 cu S_{y_j} , unde S_{y_j} corespunde probei j .

În etapa de simulare se calculează aria delimitată de curba de răspuns a modelului și axa timpului, arie notată cu S_{m_j} .

Cu aceste modificări, relația (6.8) devine:

$$J_i(\text{param}_i) = \sum_{\substack{j=1 \\ u(t)=u_j(t)}}^{N_e} \text{abs}(S_{y_j} - S_{m_j}) \quad (6.10)$$

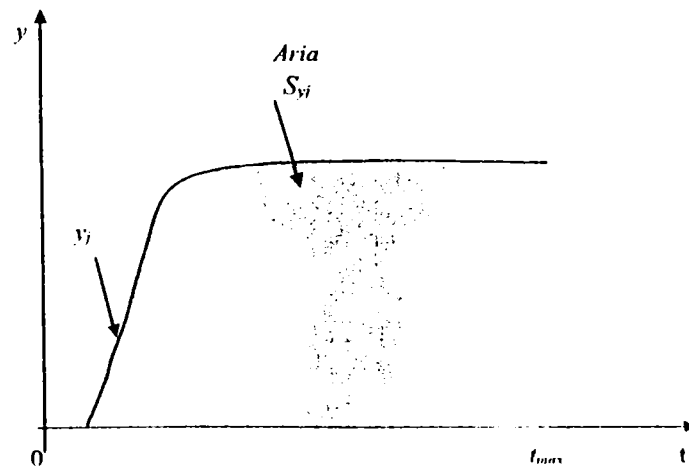


Fig. 6.9. Calculul ariei S_{y_j} folosind măsurătorile efectuate pe procesul real.

În această situație, datele de intrare pentru algoritmul de estimare se compun din următoarele elemente:

- funcția de transfer a procesului
- un număr de N_e semnale de intrare
- ariile S_j , cu $j = 1, 2, \dots, N_e$
- timpul t_{mor} de înregistrare a semnalelor culese de la procesul real.

Folosind aceste date de intrare, evaluarea unui individ se produce într-un număr de N_e etape, folosind pentru simulare un model Simulink, așa cum se prezintă în figura 6.10.

În fiecare etapă se folosesc pe rând fiecare din cele N_e semnale de intrare $u_j(t)$, $j = 1 \dots N_e$.

În acest caz valoarea J_i se calculează folosind relația (6.10), iar funcția *Fitness* se definește după relația (6.8).

Modelul Simulink folosit corespunde cu schema de principiu din figura 6.4, în care blocul Model are funcția de transfer de aceeași formă cu a procesului, dar are parametri ajustabili, preluați de la algoritmul genetic, iar blocul Proces este înlocuit cu intrările S_j .

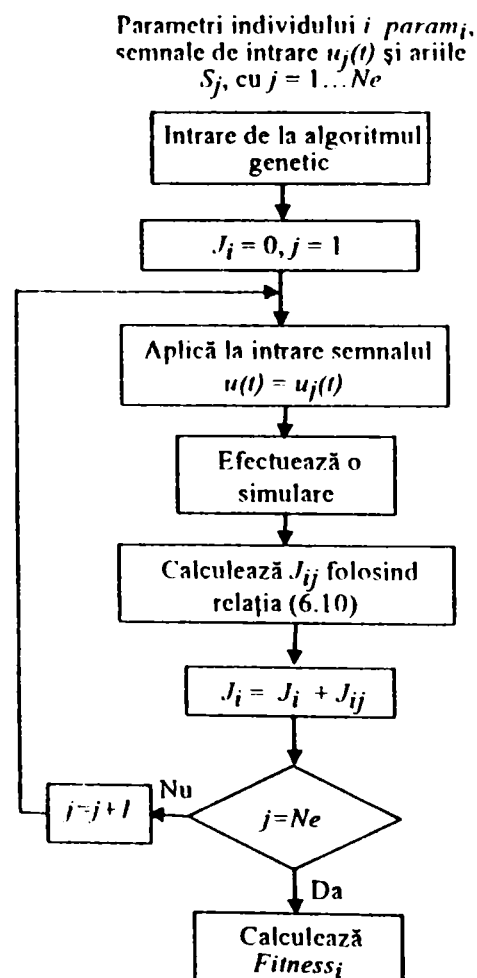


Fig. 6.10. Evaluarea unui individ

6.3.2.3. Posibilități de extensie a metodei propuse pentru identificarea sistemelor cu structură necunoscută

Deși în paragraful precedent s-au folosit algoritmi genetici numai pentru estimarea parametrilor sistemelor cu structură cunoscută, această abordare se poate extinde și la identificarea unor sisteme cu structură necunoscută.

Procedeul descris în paragraful 6.3.2.2. se poate aplica la sisteme cu funcția de transfer de forma:

$$H_p = \frac{K_p}{T_p s + 1} e^{-\tau s}, \quad (6.11)$$

având partea fără timp mort de ordin minim. Coeficienții K_p , T_p și τ sunt parametri necunoscuți care trebuie estimați.

În cazul în care în urma procesului de estimare nu se obțin rezultate mulțumitoare, se adaugă la partea rațională a funcției de transfer zerouri și / sau poli suplimentari, până la obținerea soluției dorite. Se ajunge astfel la o funcție de transfer de forma (6.12), în care valorile pentru m și k se măresc treptat în fiecare etapă, și se aplică procedeul descris în paragraful 6.3.2.2.

$$H_p = K_p \cdot \frac{a_k s^k + a_{k-1} s^{k-1} + \dots + a_1 s + 1}{b_m s^m + b_{m-1} s^{m-1} + \dots + b_1 s + 1} \cdot e^{-\tau s} \quad (6.12)$$

Algoritmul genetic va folosi în această situație un număr mare de indivizi și va evolua pe durata unui număr mare de generații. În plus, algoritmul va folosi metode de menținere a diversității populației, dintre cele prezentate în capitolul 3.

În practică, procesul de calcul se poate simplifica deoarece coeficienții K_p și τ se pot determina cu ușurință în mod experimental [Dum 80], astfel încât acești coeficienți pot să devină:

- fie constante cunoscute aprioric
- fie parametri definiți într-un interval de variație mai mic, care ține cont de erorile de identificare experimentale, după relația:

$$K_p \in [K_{p \text{ exp}} \cdot (1 - \frac{P_1\%}{100}), K_{p \text{ exp}} \cdot (1 + \frac{P_1\%}{100})],$$

$$\tau \in [\tau_{\text{exp}} \cdot (1 - \frac{P_2\%}{100}), \tau_{\text{exp}} \cdot (1 + \frac{P_2\%}{100})] \quad (6.13)$$

unde $K_{p \text{ exp}}$ și τ_{exp} reprezintă coeficienții determinați experimental, iar constantele p_1 și p_2 se stabilesc în raport cu precizia măsurătorilor de identificare experimentale efectuate.

6.3.2. Studiu de caz nr. 6

Se consideră următoarea problemă de estimare a parametrilor:

- Sistemul are funcția de transfer de forma relației (6.11)
- Coeficienții necunoscuți K_p , T_p și τ iau valori în intervalul [0.1 ... 20].

- Ca mărimi de intrare u_i se folosesc $k = 10$ semnale de probă exprimate prin relația (6.14), în care coeficienții $a_{\mu}, \omega_{\mu}, \varphi_{\mu}$ s-au generat aleator.

$$u_i(t) = \sum_{\mu=1}^k a_{\mu} \sin(\omega_{\mu} t + \varphi_{\mu}) \quad (6.14)$$

Problema se implementează prin simulare, corespunzător cu cele prezentate în paragraful 6.2.1.

În schema Simulink se folosește un proces cu funcția de transfer:

$$H_p = \frac{1,5}{5s+1} e^{-10s} \quad (6.15)$$

Algoritmul genetic trebuie să identifice coeficienții din relația (6.15), astfel încât la terminarea procesului de estimare ne așteptăm să obținem soluțiile:

$$K_p = 1,5, \quad T_p = 5, \quad \tau = 10.$$

Schema bloc a modelului Simulink folosit este redată în figura 6.11.

Parametri algoritmului genetic folosit sunt:

- mărimea populației $N = 50$
- operator de selecție turneu cu $T=5$
- operator de încrucișare aritmetică
- mutație uniformă
- probabilitatea încrucișării 0,6
- probabilitatea mutației 0,1
- criteriul de oprire un număr de 15 generații

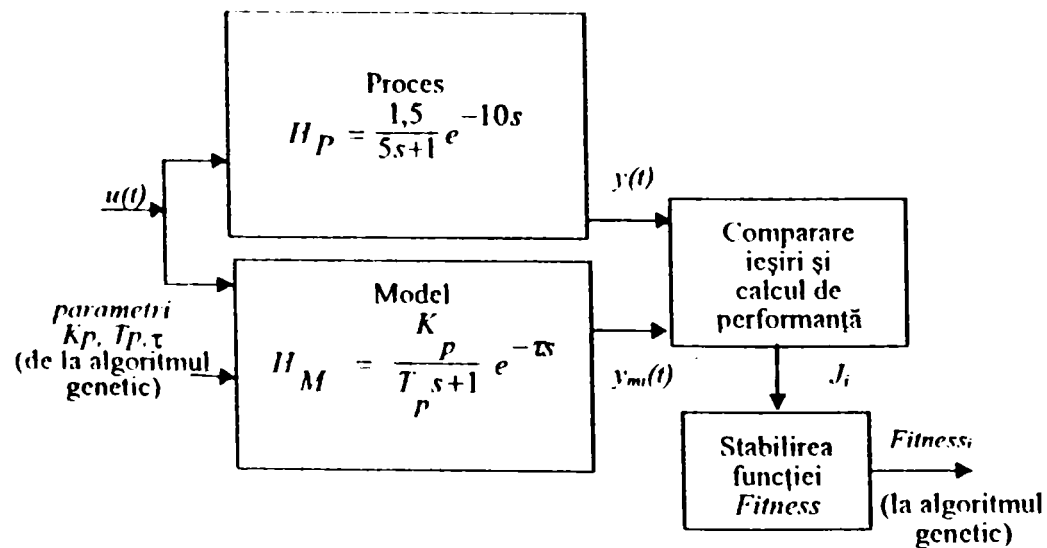


Fig. 6.11. Schema bloc a modelului Simulink pentru Studiul de caz nr. 6.

Modelul Simulink folosit este reprezentat în Anexa B, figurile B.16, B.17 și B.18.

Prin aplicarea algoritmului genetic în maniera descrisă în paragraful 6.3.2.1, s-a obținut următoarea soluție:

$$K_p = 1.4907, \quad T_p = 4.4977, \quad \tau = 9.7982, \quad \text{Fitness} = 0.96592$$

Se observă că soluția obținută aproximează parametri căutați cu o precizie de 96%.

Evoluția algoritmului genetic este prezentată în figura 6.12.

Din figura 6.12 se observă că Fitnessul mediu al populației și-a păstrat caracterul ascendent până la ultima generație. Această observație conduce la ipoteza că, mărinnd numărul de generații este posibilă o estimare a parametrilor cu precizie mai bună.

Din acest motiv, s-a reluat aceeași problemă de identificare a parametrilor, cu același algoritm genetic, dar cu un număr de 50 de generații.

Prin aplicarea algoritmului genetic în această manieră, s-a obținut următoarea soluție:

$$K_p = 1,4999, \quad T_p = 4,9916, \quad \tau = 10,0049, \quad \text{Fitness} = 0,9995$$

Soluția obținută aproximează parametri procesului cu o precizie de 99,9%.

Analizând graficul din figura 6.13, se observă că parametri algoritmului genetic au fost bine aleși, deoarece în generațiile finale s-a produs o căutare locală, care a permis obținerea unei estimări de precizie mai bună.

Procesul genetic este prezentat în graficul din figura 6.13.

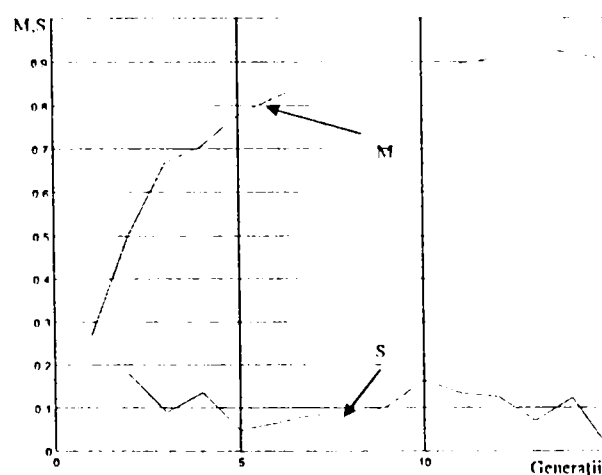


Fig. 6.12. Evoluția algoritmului genetic în 15 generații

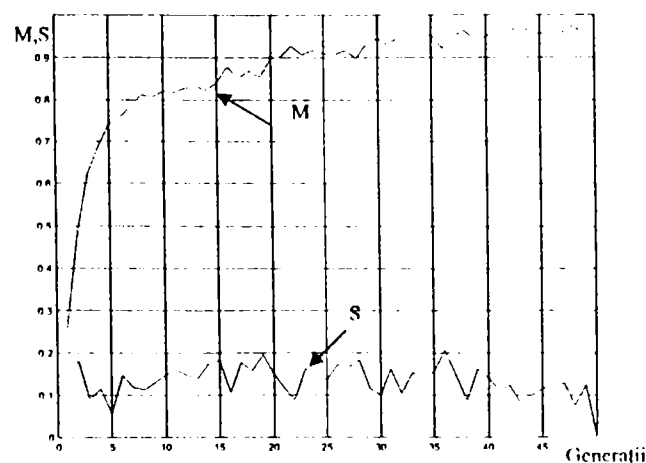


Fig. 6.13. Evoluția algoritmului genetic în 50 de generații

6.4. Concluzii

În acest capitol s-au prezentat modul în care problema de identificare a sistemelor folosind algoritmi genetici este abordată în literatură, precum și o metodă originală pentru estimarea parametrilor sistemelor în timp continuu.

Metoda propusă a fost experimentată în studiul de caz nr. 6, fiind implementată prin simulare. S-a constatat că algoritmi genetici sunt capabili să identifice parametri unui sistem cu o precizie foarte bună.

Acest capitol demonstrează că algoritmi genetici sunt algoritmi de căutare performanți, care se pot folosi în probleme de identificare a parametrilor sistemelor.

CAPITOLUL 7. APLICAȚII DE PROGRAMARE GENETICĂ**7.1. Implementarea unui sistem de programare genetică folosind toolboxul Symbolic Math în MATLAB**

Așa cum s-a arătat în capitolul 4, programarea genetică folosește arbori pentru codarea indivizilor, în scopul reprezentării unei structuri de funcții și terminale. Metoda uzuală de realizare a unui sistem de programare genetică este implementarea ecuațiilor într-o structură complexă de arbori, în care noduri funcție se unesc cu noduri terminale.

În multe limbaje de programare însă, manipularea unei populații de arbori și aplicarea operatorilor genetici destinați unor indivizi de tip arbore nu este o sarcină simplă. Pentru aceste tipuri de date trebuie implementate în mod suplimentar funcții de evaluare, ceea ce implică etape de analiză lexicală și sintactică.

Dacă problema tratată implică și manipulări de matrice cum sunt multe aplicații de comandă a proceselor - complexitatea programului crește și îngreunează sarcina proiectantului, care ar trebui să se concentreze mai mult la problema științifică de rezolvat.

Mediul Matlab permite manipularea cu mare ușurință a matricelor și include o familie de toolboxuri destinate unor aplicații inginerești în domenii diferite, cum ar fi Control System, Robust Control, Fuzzy logic și multe altele.

Din acest motiv, în mod special pentru aplicații de analiză și sinteză a sistemelor automate, identificarea și optimizarea sistemelor, implementarea unui sistem de programare genetică în Matlab este promițătoare

Se pune problema alegerii unui tip de date care să permită implementarea cu ușurință a arborilor, a operatorilor genetici, a funcției de evaluare și să dispună totodată de performanțele mediului Matlab.

Sistemul de programare genetică prezentat rezolvă această problemă pe o cale simplă, prin folosirea clasei de date "sym" implementată în toolboxul Symbolic din Matlab, destinat calculului simbolic în mediul Matlab. Folosirea acestui toolbox conferă un avantaj suplimentar prin accesul la funcții definite pentru calcul simbolic, deoarece simplifică esențial etapa de evaluare a expresiilor. [Mat 00b]

7.1.1. Principalele caracteristici ale toolboxului Symbolic Math

Calculul simbolic se implementează în Matlab folosind variabile din clasa sym. Un obiect simbolic este o structură de date care se pune în corespondență cu un tip șir de caractere. Obiectele simbolice din Toolboxul Symbolic Math pot fi variabile, expresii și matrice, numere reale sau complexe.

Obiectele din clasa sym se creează folosind comanda sym sau syms, folosind ca argumente variabile din clasa char care încep cu o literă, precum și constante din clasa double.

Toolboxul implementează un număr mare de funcții care pot avea ca argumente variabile simbolice.

Principalele categorii de funcții puse la dispoziția utilizatorului de acest toolbox sunt:

- operații aritmetice de bază

- funcții logaritmice și trigonometrice
- funcții matematice speciale
- operații cu polinoame și matrici
- algebra liniară
- calcul diferențial și integral
- limite de funcții
- transformata z, Fourier, Laplace
- dezvoltări în serie Taylor etc.

7.1.2. Implementarea sistemului de programare genetică

Sistemul de programare genetică implementat, bazat pe toolboxul Symbolic din Matlab, în paragrafele următoare se va numi mai simplu "sistem de programare genetică simbolică". [Vla 03]

7.1.2.1. Reprezentarea datelor

Pentru implementarea programelor de expresii folosite în programarea genetică simbolică se folosesc variabile din clasa sym care se obțin prin conversie din clasa char.

În spațiul indivizilor (genotip) codarea se face prin șiruri de caractere, ceea ce presupune definirea și folosirea unor operatori genetici dedicați pentru șiruri de caractere.

În etapa de evaluare (fenotip), se face o transformare a indivizilor în variabile de tip sym, așa cum se reprezintă în figura 7.1.

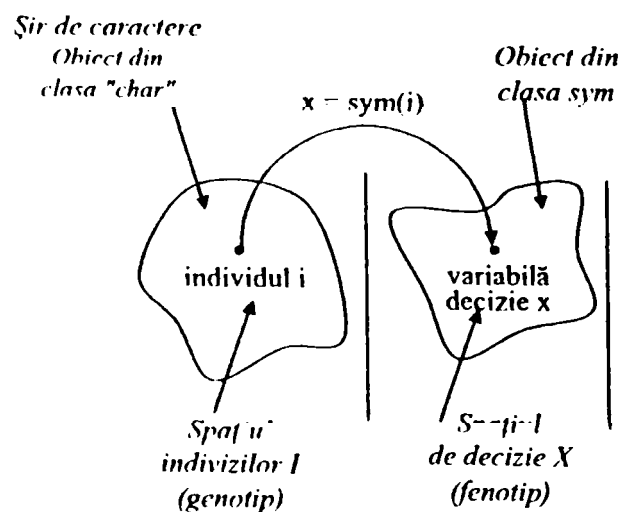


Fig. 7.1. Reprezentarea datelor

Fie de exemplu o mulțime de terminale de forma:

$$T = \{ 'a' 'b' 'c' 'd' 'e' 'f' 'g' 'h' \} \quad (7.1)$$

și o mulțime de funcții:

$$F = \{ '+ ' - ' * ' / ' ^ ' \} \quad (7.2)$$

Folosind aceste mulțimi, se pot reprezenta indivizi de forma:

$$i_1 = a + e * g - h, i_2 = c / b - d, i_3 = d ^ e \quad (7.3)$$

Acești indivizi sunt șiruri de caractere, care în faza de evaluare se transformă în variabile din clasa sym. În urma acestei transformări, indivizii din relația (7.3.) corespund cu reprezentarea de tip arbore din figura 7.2.

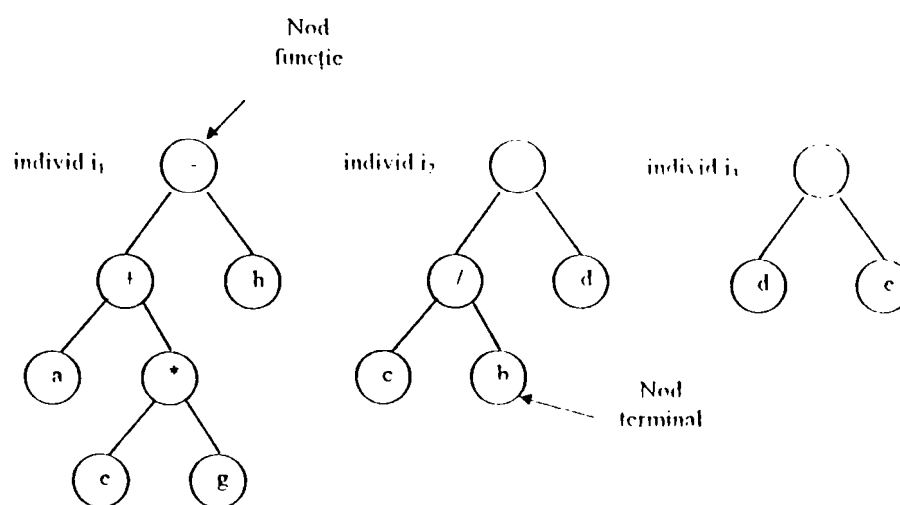


Figura 7.2. Arborii care corespund indivizilor i_1 , i_2 și i_3 din relația (7.3.)

Analizând figura 7.2, se observă că, folosind reprezentarea liniară a expresiei, asigurată de toolboxul Symbolic Math, s-a obținut arborele uzual din programarea genetică.

Indivizii din figură au reprezentarea echivalentă LISP:

$$\begin{aligned} i_1 &= (- (+ a (* e g)) h) \\ i_2 &= (- (/ h b) d) \\ i_3 &= (^ d e) \end{aligned} \quad (7.4)$$

Astfel, se dispune de avantajul că manipularea indivizilor codați cu șiruri de caractere se poate face foarte simplu în mediul Matlab.

În etapa de evaluare, la nivelul fenotip, folosind o singură comandă Matlab, indivizii se transformă în expresii care sunt echivalente cu reprezentarea de tip arbore necesară în programarea genetică.

7.1.2.2. Generarea populației inițiale

Deoarece indivizii sunt generați în clasa char, etapa de generare a populației inițiale necesită numai operații cu șiruri de caractere. Fiindcă nu există un algoritm de generare a unei populații inițiale de indivizi (expresii) șiruri de caractere, se definește în acest scop un nou algoritm.

Într-o primă etapă se admit următoarele restricții:

- mulțimea F și mulțimea T conțin numai elemente formate dintr-un singur caracter
- nu se folosesc paranteze.

Un individ are o reprezentare liniară de l șiruri de caractere, care sunt amplasate într-o anumită ordine, alternând un element din mulțimea T cu un element din mulțimea F, pentru a permite în etapa de evaluare transformarea individului în variabilă din clasa sym. (figura 7.3)

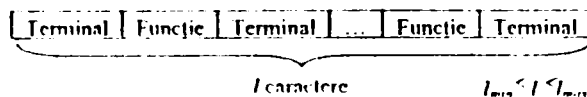


Figura 7.3. Individ compus din l caractere

O altă caracteristică a programării genetice, care s-a prezentat în capitolul 4, este manipularea unor indivizi cu lungime variabilă, iar pentru a evita creșterea complexității lor, se definește uzual adâncimea maximă a arborelui, adâncime care nu poate fi depășită.

În cazul sistemului de programare genetică, datorită reprezentării liniare a expresiilor, nu este necesară definirea adâncimii arborelui. Se definește numai lungimea maximă l_{max} și lungimea minimă l_{min} a expresiei, care sunt parametri stabiliți aprioric, fiind numere întregi, pozitive și impare. Decizia de alegere a acestor parametri se face pe baza unei familiarizări cu problema și este într-o oarecare măsură subiectivă. Dacă această lungime se alege prea mare, efectul este creșterea timpului de execuție; dimpotrivă, dacă această lungime este prea mică, este posibil să nu permită reprezentarea unor soluții posibile de rezolvare a problemei.

Pentru a genera un individ de forma celui din figura 7.3, se alege aleator un element din mulțimea T , iar apoi se alege aleator un element din mulțimea F . Acest proces se repetă folosind alternativ elemente din cele două mulțimi, până la atingerea unei lungimi maxime l_{max} , unde l_{max} este un număr aleator ales în intervalul $[l_{min}, l_{max}]$, astfel încât lungimea unei expresii generate aleator este cuprinsă între l_{min} și l_{max} .

Acest procedeu se aplică repetat pentru generarea fiecărui individ din populație.

Dacă de exemplu $l_{max} = 7$ și $l_{min} = 3$, se pot genera indivizi cu lungimea de 3, 5 sau 7. Astfel de indivizi pot fi de forma indivizilor i_1 , i_2 și i_3 din relația (7.3.), unde indivizii au lungimile respectiv de 7, 5, 3.

În continuare se presupune că l_{min} nu poate fi mai mic decât 3.

Algoritmul 7.1. Algoritmul de generare aleatoare a unui individ pentru programarea genetică simbolică.

Acest algoritm este reprezentat în figura 7.4.

7.1.2.3. Operatorul de încrucișare

Datorită faptului că operatorul de încrucișare se aplică la nivelul genotip, el este destinat șirurilor de caractere. Deoarece nu există operator genetic de încrucișare destinat șirurilor de caractere, se definește un nou operator genetic de încrucișare într-un singur punct, dedicat șirurilor de caractere, care este descris în Algoritmul 7.2.

Algoritmul 7.2. Algoritmul de încrucișare într-un singur punct pentru programarea genetică simbolică.

Acest algoritm constă din următoarele etape:

1. Se alege aleator doi părinți p_1 și p_2 .
2. Se alege aleator un număr par care devine punct de încrucișare $k_1 \in \{1, 2, \dots, l_1 - 1\}$, unde l_1 reprezintă lungimea primului părinte. Cromozomii primului părinte se divid în 3 subcromozomi: un subcromozom aflat la stânga lui $k_1 - 1$, un subcromozom aflat la dreapta lui $k_1 + 1$ și un subcromozom cuprins între $k_1 - 1$ și $k_1 + 1$, numit subcromozom central.
3. Se alege aleator un număr par care devine punct de încrucișare $k_2 \in \{1, 2, \dots, l_2 - 1\}$, unde l_2 reprezintă lungimea celui de-al doilea părinte. Cromozomii celui de-al doilea părinte se divid în 3 subcromozomi: un subcromozom aflat la stânga lui

k_2-1 , un subcromozom aflat la dreapta lui k_2+1 și un subcromozom central cuprins între k_2-1 și k_2+1 .

Se produc doi descendenți, prin schimbarea între cei doi părinți a subcromozomului central.

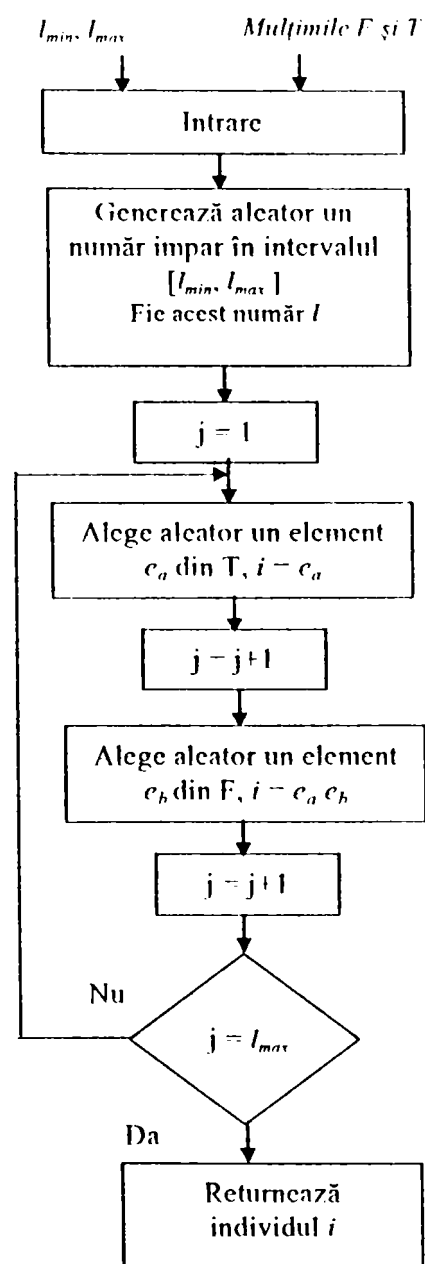


Fig.7.4. Algoritm 7.1. Generarea aleatoare a unui individ (creșterea codului)

Efectul folosirii punctelor de încrucișare asociate cu numere naturale pare este faptul că încrucișarea se produce numai la noduri funcție, similar cu programarea genetică uzuală, prezentată în Capitolul 4.

Pentru exemplificare, se consideră doi indivizi părinți p_1 și p_2 reprezentați în figura 7.5, în care punctele de încrucișare alese aleator sunt $k_1 = 4$ și $k_2 = 2$, iar descendenții creați sunt D_1 și D_2 .

În figura 7.6 se prezintă pentru comparație operatorul de încrucișare folosit uzual în programarea genetică, pentru cazul unor indivizi identici.

Comparând figurile 7.5 și 7.6, se observă că operatorul de încrucișare pentru programarea genetică simbolică funcționează similar cu operatorul folosit în cazul codării indivizilor cu arbori. Operatorul propus are în plus avantajul simplității, deoarece el folosește numai șiruri de caractere.

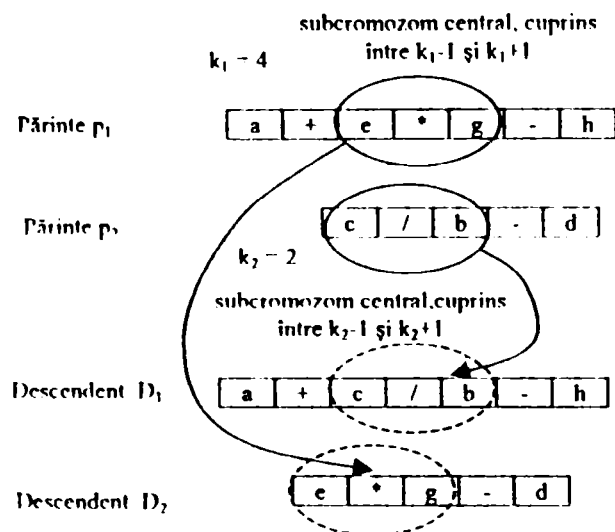


Figura 7.5. Exemplificarea algoritmului 7.2.

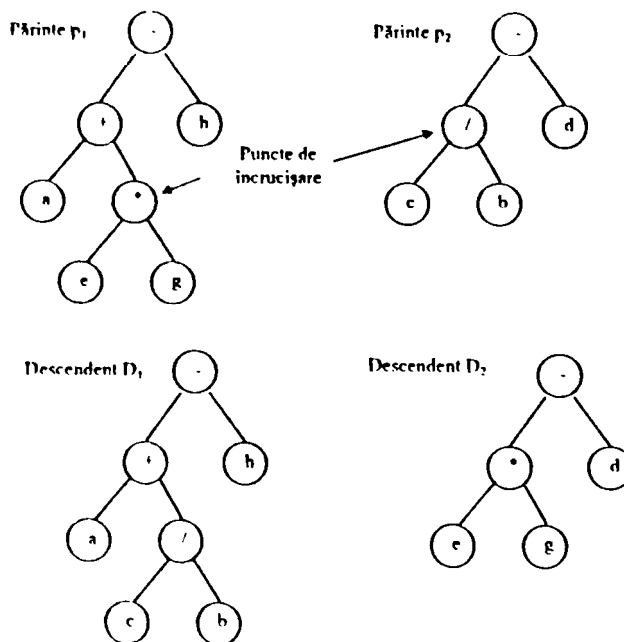


Figura 7.6. Comparație cu încrucișarea într-un singur punct pentru arbori

7.1.2.4. Operatorul de mutație

Analog cu operatorul de încrucișare, operatorul de mutație se aplică tot la nivelul genotip, deci este destinat tot șirurilor de caractere. Deoarece nu există operator genetic de mutație pentru șiruri de caractere, se definește un operator de mutație într-un singur punct destinat șirurilor de caractere. Acest operator este definit prin algoritmul 7.3.

Algoritm 7.3. Algoritm de mutație într-un singur punct pentru programarea genetică simbolică.

Acest algoritm constă din următoarele etape:

1. Alege aleator, cu probabilitatea mutației un singur părinte.
 2. Alege aleator un număr care devine punct de mutație $k \in \{1, 2, \dots, l\}$, unde l reprezintă lungimea părintelui.
- dacă k este par, componenta aleasă e înlocuită cu un element ales aleator din mulțimea F .
 - dacă k este impar, componenta aleasă e înlocuită cu un element ales aleator din mulțimea T .

În figura 7.7 se exemplifică Algoritm 7.3. în cazurile în care k este par și impar.

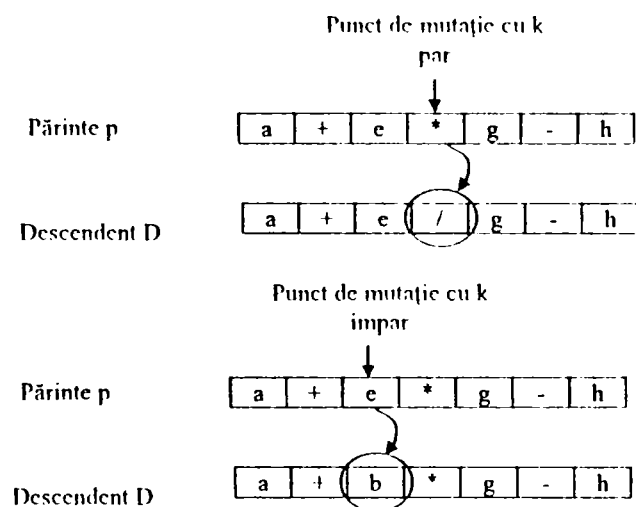


Fig. 7.7. Exemplificarea algoritmului 7.3.

În figura 7.8 se prezintă pentru comparație operatorul de mutație folosit uzual în programarea genetică cu date de tip arbori.

Comparând figurile 7.7 și 7.8 se observă că operatorul de mutație definit pentru programarea genetică simbolică funcționează analog cu operatorul folosit în programarea genetică pentru arbori. Deoarece noul operator de mutație manipulează date de tip șir de caractere, este mai simplu de implementat.

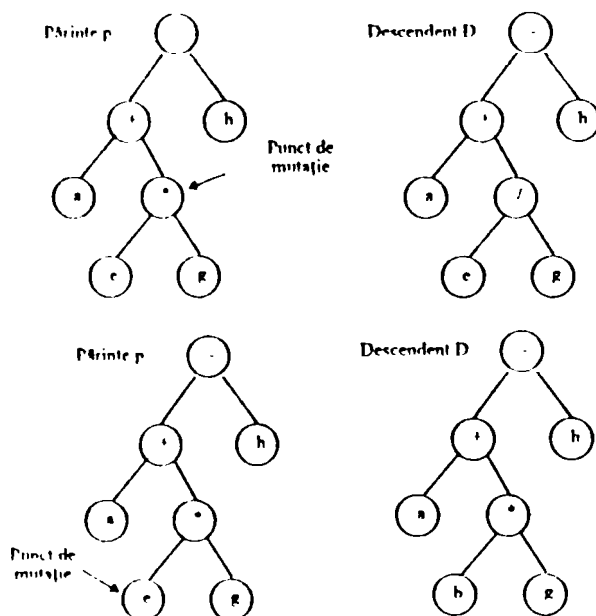


Fig.7.8. Operatorul de mutație folosit de programarea genetică pentru arbori

7.1.2.5. Generalizarea reprezentării expresiilor

Într-o primă variantă, sistemul de programare genetică a fost implementat folosind restricțiile prezentate în paragraful 7.1.2.2. Aceste restricții permit codarea unei game limitate de expresii, și pentru codarea unor expresii mai complexe trebuie permisă folosirea atât a terminalelor cât și a funcțiilor formate din mai multe caractere.

De exemplu, pentru a putea folosi funcții trigonometrice cum ar fi \sin , \cos , precum și a altor funcții matematice disponibile în toolboxul Symbolic Math, este obligatoriu să se admită folosirea unor funcții formate din mai multe caractere.

a. Folosirea unor funcții și terminale formate din mai multe caractere

Această facilitate se implementează prin folosirea unei funcții suplimentare care face o analiză lexicală a individului codat cu șiruri de caractere. Componentele terminale și funcții sunt separate cu spații albe și devin atomii unui individ.

Atomii formați din simboluri terminale se vor numi *atomi terminali*, iar atomii formați din simboluri funcție se vor numi *atomi funcție*.

Spațiile adăugate suplimentar nu incomodează, deoarece se pot elimina printr-o singură comandă Matlab, înainte de transformarea individului în expresie simbolică.

Funcția de analiză lexicală execută următoarele acțiuni:

- parcurge șirul de caractere până la întâlnirea unui spațiu alb;
- identifică tipul atomului, prin căutare în tabela de terminale T și în tabela de funcții F;
- numără atomii care formează individul și returnează o informație care este echivalentă cu numărul k care a fost folosit în exemplele precedente în paragrafele 7.1.1.2., 7.1.2.3. și 7.1.2.4.; acest număr își schimbă semnificația, și devine o valoare logică care este TRUE pentru atom terminal (echivalent cu k impar) și FALSE pentru atom funcție (echivalent cu k par).

b. Folosirea parantezelor

Pentru a asigura și mai multe facilități de formare a expresiilor, trebuie admisă și folosirea parantezelor: (,). Acestea devin simboluri speciale în mulțimea funcțiilor și terminalelor. În acest sistem de programare genetică autoarea a apreciat că implementarea este mai simplă dacă paranteza deschisă face parte din mulțimea terminalelor, iar paranteza închisă din mulțimea funcțiilor.

Este de precizat că se admite un singur nivel de paranteze. Consecința acestei limitări este faptul că nu sunt permise construcții de forma:

$$i_1 = \sin(\cos(x))$$

sau:

$$i_2 = \text{int}(\sin(x) - a) \quad (7.5)$$

Această limitare se poate depăși cu un efort suplimentar de programare.

Dacă pentru exemplul din paragraful 7.1.2.1. admitem folosirea parantezelor, mulțimile T și F devin:

$$T = \{ 'a' 'b' 'c' 'd' 'e' 'f' 'g' 'h' '(' \}; \quad F = \{ '+ ' - ' * ' / ' ^ ' \} \quad (7.6)$$

Folosirea terminalelor cât și a funcțiilor formate din mai multe caractere, a parantezelor și a unor atomi funcție consecutivi presupune extensii atât pentru generarea aleatoare a unui individ, cât și pentru operatorii genetici, care sunt prezentate detaliat în Anexa C.

Cu aceste completări, indivizii populației pot coda expresii complexe, cum ar fi:

$$i_1 = 3 + \sin(x * \pi * b)$$

$$i_2 = 1 / (1 + u^2)$$

$$i_3 = z - \text{int}(2 * \theta - x^2 + 7) \quad (7.7)$$

În figura 7.9 se prezintă modul de codare al individului i_1 și divizarea lui în atomi.

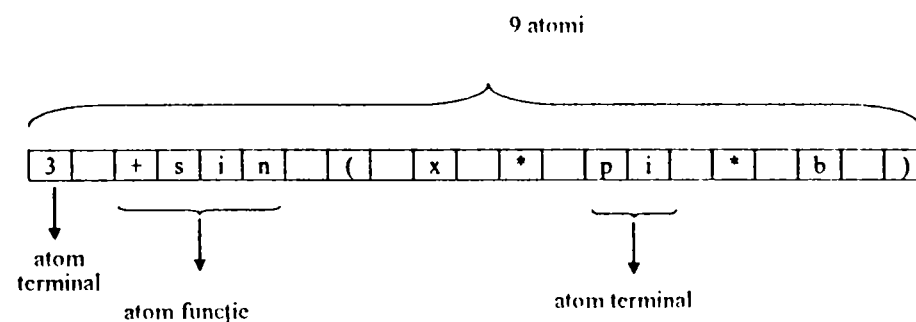


Fig. 7.9. Codarea individului i_1

7.1.2.5. Operatorul de selecție

Deoarece operatorul de selecție folosește valoarea *Fitness* returnată prin evaluarea indivizilor, el nu este dependent de modul de codare al indivizilor. Din acest motiv, se poate folosi oricare din operatorii de selecție descriși în Capitolul 2.

7.1.2.6. Evaluarea indivizilor

Avantajul major al programării genetice simbolice constă tocmai în etapa de evaluare care devine extrem de simplă pentru programator, deoarece folosește capacitățile toolboxului Symbolic Math de operare cu tipuri din clasa sym.

În spațiul genotip individul este codat cu șiruri de caractere, iar în etapa de evaluare sunt necesare următoarele acțiuni:

- eliminarea spațiilor redundante;
- conversia în clasa sym.

Fiecare din aceste acțiuni necesită folosirea unei singure funcții implementate în Matlab.

În urma acestor operații, individul devine o expresie simbolică validă, iar utilizatorul are acces la facilitățile oferite de toolboxul Symbolic Math.

Prin folosirea acestor facilități se elimină operațiile complexe de analiză sintactică și semantică folosite uzual în programarea genetică în etapa de evaluare.

În cazul în care, prin evaluarea unui individ se efectuează o operație ilegală, de exemplu o împărțire la 0, utilizatorul poate folosi facilitățile mediului Matlab, care implementează variabile speciale cum ar fi NaN, inf și poate lua decizii, cum ar fi de pildă penalizarea individului folosind o metodă de penalizare descrisă în capitolul 3 și returnarea unei funcții Fitness de valoare mai mică, astfel încât individul în cauză se va reproduce cu o probabilitate mică.

7.1.2.7 Posibilități de extensie pentru sistemul de programare genetică simbolică implementat

Sistemul de programare genetică implementat nu permite folosirea tuturor facilităților oferite de toolboxul Symbolic Math și în scopul producerii unor descendenți admisibili impune o serie de restricții asupra modului de codare a unui individ. De asemenea, nu implementează funcții de eliminare a expresiilor inutile.

Scopul acestei implementări de programare genetică simbolică este demonstrarea utilității unei astfel de abordări, definirea unor operatori genetici specifici și folosirea unui număr redus de funcții, dintre cele disponibile.

Printr-o analiză amănunțită a funcțiilor disponibile în acest toolbox și scrierea unui program mai performant în echipă este posibilă realizarea unui instrument software foarte util și foarte performant, care să fie dedicat programării genetice în mediul Matlab.

O posibilitate de extensie imediată este folosirea unor funcții definite ierarhic (ADF), care au fost descrise în Capitolul 4. În acest scop, mulțimea funcțiilor se completează cu apeluri la aceste funcții, la fel ca în programarea genetică obișnuită. În acest scop se pot folosi funcțiile abstracte definite în Toolboxul Symbolic Math și ele se pot substitui cu expresiile asociate unui apel la funcții definite ierarhic.

7.2. Studiu de caz nr. 7

Studiul de caz nr. 7 se referă la descoperirea automată a formulei de calcul a inversei unei matrice pătratice de ordinul 2 folosind sistemul de programare genetică simbolică

Matricele sunt tipuri de date folosite foarte mult în analiza și sinteza sistemelor. Deoarece mediul Matlab permite efectuarea calculelor cu matrice cu mare ușurință, sistemul de programare genetică simbolică prezentat în paragraful 7.1 dispune implicit de facilitățile de operare cu matrice.

Pentru a demonstra această capabilitate a sistemului, se prezintă acest studiu de caz care își propune să găsească formula de calcul a inversei unei matrice pătratice de ordinul 2, folosind operații simple cu matrice: adunare, scădere și înmulțire.

7.2.1. Definirea mulțimii de simboluri

Se consideră o matrice pătratică de ordinul doi:

$$A = \begin{bmatrix} a & b \\ c & d \end{bmatrix} \quad (7.8)$$

unde a, b, c, și d sunt variabile globale de tip sym, care se creează cu comenzile:

```
a=sym('a');
b=sym('b');
c=sym('c');
d=sym('d');
```

(7.9)

Mulțimea de terminale se definește cu un număr mare de simboluri, pentru a testa cât mai bine capacitatea programului de a găsi formula corectă.

S-au considerat următoarele matrice:

```
B=A.';
C=det(A)*[0 1; 1 0];
D=det(A)*[1 0;0 1];
E=1/det(A)*[1 0;0 1];
F=tril(A);
G=triu(A);
H=rot90(A);
I=rot90(H);
J=rot90(I);
K=rot90(J);
L=sum(diag(A))*[1 1;1 1];
M=sum(diag(A))*[1 0;0 1];
N=[a 0; 0 d];
P=det(A)*[0 1;1 0];
Q=[d -b; -c a];
R=[1 0;0 1];
```

(7.10)

Cu aceste elemente, se definește mulțimea T:

T = ['A' 'B' 'C' 'D' 'E' 'F' 'G' 'H' 'I' 'J' 'K' 'L' 'M' 'N' 'P' 'Q' 'R']; (7.13.)

Mulțimea funcțiilor conține în acest caz operații simple cu matrice:

F = ['+' '-' '*']; (7.11)

Anticipând, rezultatul dorit este returnarea unei soluții de forma:

$A^{-1} = E * Q$ (7.12)

7.2.2. Algoritmul genetic

Pentru generarea populației inițiale se folosește Algoritmul 7.1.

Operatorii genetici folosiți sunt:

- operatorul de încrucișare într-un punct definit în Algoritmul 7.2.
- operatorul de mutație definit în Algoritmul 7.3.
- operatorul de selecție este selecția turneu, deoarece el nu necesită ordonarea populației și implică o execuție mai rapidă.

Mărimea populației se alege egală cu 100, probabilitatea încrucișării de 0,6, iar probabilitatea mutației de 0,1.

Criteriul de oprire este numărul de generații egal cu 100, iar lungimea maximă a unei expresii se alege 20.

Funcția de generare aleatoare a populației inițiale produce un număr de 100 indivizi de tip șir de caractere, care respectă restricțiile precizate în paragraful 7.1.

Operatorii de încrucișare și mutație se aplică asupra indivizilor codati cu șir de caractere.

Datorită faptului că mediul Matlab memorează intern șirurile de caractere sub forma unor tablouri de caractere, un individ este în fapt un vector linie, de lungime variabilă. Pentru a memora populația se folosește un tablou cu un număr de linii egal cu numărul indivizilor și un număr de coloane egal cu individul cel mai lung. Elementele rămase necomplete în acest tablou devin implicit spații.

De exemplu, pentru cazul simplificat în care populația constă din 7 indivizi, iar lungimea maximă a unei expresii este 10, Algoritmul 7.1. a produs indivizii:

$$\begin{aligned}
 & D-I*M-A*H \\
 & N*M+G*Q \\
 & Q+P*A \\
 & D+J \\
 & D+M \\
 & Q-H*I \\
 & I,*A
 \end{aligned}
 \tag{7.13}$$

ACEȘTI INDIVIZI SUNT MEMORAȚI ÎNTR-UN TABLOU CU DIMENSIUNEA 7X 9.

7.2.3. Funcția de evaluare

Funcția de evaluare are la intrare un individ tip șir de caractere, care se transformă în clasa sym, așa cum s-a prezentat în paragrafele precedente. În continuare, prin simpla folosire a comenzii Matlab "eval", un individ de forma: D-I*M-A*H capătă următoarea reprezentare echivalentă:

$$\begin{aligned}
 & [a*d-b*c-d*(a+d)-2*a*b, \quad -c*(a+d)-a*d-b*c] \\
 & [\quad -b*(a+d)-a*d-b*c, \quad a*d-b*c-a*(a+d)-2*c*d]
 \end{aligned}
 \tag{7.14}$$

unde s-au efectuat implicit calculele simbolice cu matrice, astfel încât s-au eliminat complet etapele de evaluare uzuale dificile în programarea genetică.

Pentru verifica formula codată de un individ i , se folosește o funcție de forma:

$$f_i = i * A + A * i - 2 * R
 \tag{7.15}$$

care este egală cu matricea zero în cazul unei formule corecte.

Printr-o simplă operație de substituție a individului i în (7.17.) se obține matricea f_i cu elemente ce sunt expresii de variabilele simbolice a, b, c, d .

Dacă toate elementele acestei matrice sunt egale cu zero, individul i reprezintă soluția problemei.

Pentru a evalua performanța relativă a indivizilor populației, variabilele simbolice a, b, c, d se substituie cu o mulțime de tetrade de numere reale.

Pentru fiecare tetradă se obține o matrice cu elemente numere reale.

De exemplu, printr-o comandă:

```
fval=subs(f1,{a,b,c,d},{10 20 30 40});
fval1=double(fval);
```

se obține o matrice notată $fval1$ cu elemente numere reale.

Pentru un număr de k tetrade, se obțin într-o manieră asemănătoare matricile $fval2, \dots, fvalk$.

Ca măsură a performanței individului i se folosește suma cumulată a valorii absolute a elementelor acestor matrice, astfel:

$$J_i = \text{sum}(\text{sum}(\text{abs}(fval1))) + \text{sum}(\text{sum}(\text{abs}(fval2))) + \dots + \text{sum}(\text{sum}(\text{abs}(fvalk))) \quad (7.16)$$

Dacă pentru toate cele k tetrade se obțin matrice cu toate elementele egale cu zero, se obține:

$$J_i = 0$$

Cu cât J_i are o valoare mai mică, cu atât individul i este mai performant.

Se definește funcția *Fitness* prin relația:

$$Fitness_i = \frac{1}{1 + J_i} \quad (7.17)$$

Valoarea maximă posibilă pentru *Fitness* este 1, ceea ce e echivalent cu îndeplinirea completă a criteriilor de performanță.

În urma execuției programului, s-a obținut soluția:

$$A^{-1} = H + E * Q - H \quad (7.18)$$

care corespunde cu *Fitness* = 1.

Soluția obținută nu este perfectă, deoarece algoritmul nu implementează eliminarea simbolurilor inutile de forma $H - H$, însă este corectă și demonstrează posibilitatea folosirii programării genetice simbolice în probleme care implică manipularea matricelor.

7.3. Concluzii

În capitolul 7 se prezintă aplicații referitoare la programarea genetică. Autoarea a implementat un sistem de programare genetică simbolică folosind toolboxul Symbolic Math în MATLAB care folosește o nouă abordare pentru codarea indivizilor și evaluarea expresiilor.

Sistemul de programare genetică este folosit în Studiul de caz nr. 7 care se referă la descoperirea automată a formulei de calcul a inversei unei matrice pătratice de ordinul n folosind sistemul de programare genetică simbolică.

Rezultatele obținute demonstrează posibilitatea folosirii sistemului de programare genetică simbolică în descoperirea unor formule și manipularea cu ușurință a unor tipuri de date definite în MATLAB, în particular a matricelor.

Elementele de originalitate constau în:

- implementarea unui sistem de programare genetică simbolică bazat pe toolboxul Symbolic Math în MATLAB, care prezintă avantajul codării simple a indivizilor folosind șiruri de caractere și evaluarea expresiilor folosind facilitățile oferite de toolboxul menționat, în două variante: o variantă mai simplă care a fost folosită în Studiul de caz nr. 7 și o variantă mai evoluată care este prezentată în Anexa C;
- definirea unui nou algoritm de generare a unei populații inițiale de indivizi (expresii) șiruri de caractere, prezentat în Algoritmul 7.1;
- definirea unui nou operator de încrucișare într-un singur punct, dedicat șirurilor de caractere, descris în Algoritmul 7.2;
- definirea unui nou operator de mutație într-un singur punct, dedicat șirurilor de caractere, descris în Algoritmul 7.3;
- aplicarea sistemului de programare genetică în Studiul de caz nr. 7 care se referă la descoperirea automată a formulei de calcul a inversei unei matrice pătratice de ordinul n .

CAPITOLUL 8. APLICAȚII ALE ALGORITMILOR GENETICI ÎN ELECTROMAGNETISM

Programele concepute pentru a rezolva problemele prezentate în capitolele anterioare pot fi folosite pentru a rezolva probleme și din alte domenii. Acest lucru se explică prin următoarele aspecte care le conferă un caracter general:

- Algoritmii genetici care este descris în capitolul 4 are o structură modulară și se poate apela folosind o listă de parametri prin care se pot preciza operatorii genetici folosiți, numărul de indivizi și criteriul de oprire.
- Pentru a aplica algoritmul genetic într-o problemă specifică, este necesar să se scrie numai două funcții dedicate aplicației: *funcția de lansare în execuție* și *funcția de evaluare*, așa cum s-a descris în capitolul 4.
- Algoritmii genetici este ușor extensibil, astfel încât se pot adăuga cu ușurință operatori genetici noi.

În acest context, în paragraful 8.1. se descriu aspecte cunoscute din literatură, legate de aplicarea algoritmilor genetici în electromagnetism, iar în paragraful 8.2. un studiu de caz în care autoarea a aplicat algoritmi genetici în acest domeniu al ingineriei.

8.1. Algoritmi genetici aplicați în proiectarea sistemelor electromagnetice

În analiza fenomenelor electromagnetice se folosesc soluțiile ecuațiilor cu derivate parțiale ale lui Maxwell. În multe probleme de interes practic, aceste ecuații nu au soluții analitice. În ultimele două decenii s-au făcut numeroase cercetări pentru găsirea unor algoritmi de rezolvare numerică a acestor ecuații, astfel încât în prezent există un număr mare de metode numerice destinate ecuațiilor diferențiale și calculului integral, care permit analiza unor clase mari de fenomene electromagnetice.

Rezolvarea unor probleme de proiectare optimă în electromagnetism presupune, de regulă, existența unui modul pentru calcul de câmp, care utilizează o metodă integrală sau diferențială; acest modul se asociază cu un program de optimizare care realizează minimizarea unei funcții obiectiv, care în general e neliniară, are mai multe puncte de extrem și e nediferențială. În plus, evaluarea ei necesită un timp de calcul mare. Aproape toate aplicațiile din domeniul electromagnetismului folosesc metode de optimizare deterministe, care au importante dezavantaje când funcțiile obiectiv sunt neliniare. [Win 98]

Există totuși unele cercetări recente care folosesc algoritmi genetici și strategiile de evoluție, ca o alternativă pentru metodele de optimizare deterministe. În comparație cu acestea, algoritmi genetici și strategiile de evoluție necesită un timp de calcul mai mare, dar înlătură multe dintre dezavantajele lor.

Din punct de vedere istoric, folosirea unor metode de optimizare stochastice a fost dificilă datorită timpului de calcul mare necesar pentru evaluarea funcției obiectiv. Apariția recentă a unor algoritmi de mare viteză destinați analizei undelor electromagnetice va permite în viitor aplicarea cu ușurință a algoritmilor genetici în proiectarea și optimizarea sistemelor electromagnetice. De asemenea, folosirea calculatoarelor paralele conduce la creșterea vitezei de calcul, astfel încât în viitorul apropiat algoritmi genetici și strategiile de evoluție vor avea un rol important în foarte multe probleme din domeniul electromagnetismului.

Există 4 domenii principale de aplicare a algoritmilor genetici în proiectarea sistemelor electromagnetice:

- Proiectarea dispozitivelor magneto-stactice și rezolvarea de probleme electromagnetice inverse;
- Sinteza dispozitivelor optice;
- Proiectarea unor circuite absorbante pentru microunde;
- Proiectarea antenelor.

8.1.1. Aplicații ale algoritmilor genetici în proiectarea dispozitivelor magneto-stactice și în probleme electromagnetice inverse

Primul domeniu din electromagnetism în care au fost folosiți algoritmi genetici este optimizarea dispozitivelor magneto-stactice. Cele mai multe studii au fost orientate spre proiectarea unor bobine electromagnetice și a unor piese polare care produc o configurație de câmp magnetic necesară funcționării unui motor sau a unui dispozitiv electromecanic similar. Deși analiza numerică a acestor probleme este foarte bine fundamentată, metodele de proiectare tradiționale întâmpină dificultăți datorită spațiului de căutare multidimensional și optimizării multiobiectiv. Din acest motiv, algoritmi genetici devin o alternativă favorabilă pentru probleme din acest domeniu.

În [Ule 95] se prezintă modul în care s-au aplicat algoritmi genetici într-o problemă în care bobina și poziția piesei polare sunt fixate și se optimizează geometria unei fețe a piesei polare, iar scopul este producerea unui câmp magnetic impus. Câmpul magnetic creat de fiecare configurație de poli se determină prin rezolvarea ecuației cu diferențe folosind metoda elementului finit. Funcția obiectiv este diferența absolută dintre câmpul magnetic creat de o configurație de poli și câmpul magnetic impus. Această funcție este minimizată folosind algoritmi genetici.

În [Moh 95] s-au folosit algoritmi genetici în proiectarea unui transformator. În această aplicație se optimizează geometria dispozitivului, folosind drept criteriu câmpul magnetic produs, simultan cu minimizarea dimensiunilor fizice ale transformatorului.

Alte aplicații ale algoritmilor genetici se referă la defectoscopia dispozitivelor magneto-stactice. În aceste aplicații, algoritmi genetici sunt folosiți în soluționarea problemei inverse. Într-o problemă electromagnetică inversă, necunoscuta este un obiect fizic care alterează o distribuție de câmp dată folosind o sursă de excitație cunoscută. Problema se numește inversă, în contrast cu problema directă, în care necunoscuta este câmpul creat de o excitație cunoscută și folosind un circuit fizic cunoscut.

În rezolvarea problemei inverse folosind algoritmi genetici, indivizii populației codează obiectul necunoscut, iar funcția obiectiv este modulul diferenței dintre câmpul electromagnetic creat și cel impus.

În [Tho 95] s-au folosit algoritmi genetici pentru proiectarea unui electromagnet destinat testării nedistructive. Un individ codează raza bobinei, lățimea ei și frecvența curentului de excitație. Pentru a determina câmpul magnetic produs atât în prezența cât și în absența unei fisuri, se folosește metoda diferențelor finite. Se definește o geometrie a fisurii, iar algoritmul genetic maximizează diferența dintre câmpul magnetic produs în absența, respectiv în prezența fisurii.

8.1.2. Aplicații ale algoritmilor genetici în sinteza dispozitivelor optice

Numeroase aplicații din domeniul electromagnetismului folosesc elemente care dispun de proprietăți dependente de frecvență. Cel mai adesea, algoritmi genetici s-au folosit în proiectarea unor filtre cu peliculă subțire.

Aceste filtre se compun din mai multe straturi de materiale diferite, iar unda electromagnetică incidentă este fie reflectată, fie refractată, în funcție de frecvența ei.

Un filtru optic simplu este reprezentat în figura 8.1. El se compune dintr-un număr de n straturi alternative, compuse din două materiale diferite, cu indice de refracție diferit. Structura este mărginită într-un capăt de aer, iar la capătul opus de un substrat cu indice de refracție cunoscut.

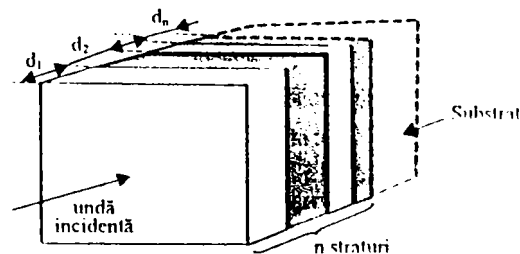


Fig. 8.1. Structura unui filtru optic

Structura din figura 8.1 e caracterizată de un coeficient de reflexie R ($0 \leq R \leq 1$), iar fracțiunea din energia incidentă care e reflectată respectiv transmisă prin filtru se numește reflectanță respectiv transmitanță. Reflectanța este egală cu R^2 și presupunând filtrul fără pierderi, transmitanța este $1 - R^2$.

Cunoscând proprietățile electrice ale materialelor din cele n straturi, precum și pe cele ale substratului, problema de optimizare constă în a determina grosimile optime d_1, d_2, \dots, d_n ale celor n straturi astfel încât răspunsul la frecvență al filtrului să corespundă cât mai bine posibil cu un răspuns impus.

În [Mrm 92] se prezintă o astfel de problemă de optimizare folosind algoritmi genetici cu codare reală. Un individ este codat cu un vector de numere reale cu n componente, care sunt grosimile d_1, d_2, \dots, d_n căutate. Funcția obiectiv este integrala diferenței absolute dintre răspunsul la frecvență al filtrului obținut și un răspuns impus.

Rezolvarea problemei în această manieră are, în raport cu metodele clasice, următoarele avantaje:

- Elimină necesitatea unei proiectări preliminare grosiere a filtrului.
- Procedeu este independent de natura materialelor care compun straturile și substratul, astfel încât se poate folosi fără nici o modificare în proiectarea unor filtre trece-jos, trece-sus ori trece-bandă;
- Funcția obiectiv se poate modifica cu ușurință prin alegerea corespunzătoare a funcției Fitness. Astfel, metoda se poate folosi pentru optimizarea simultană a materialului din straturi (aceasta presupunând introducerea de noi parametri codați) și a grosimii acestora.

Rezultatele obținute de autori prin utilizarea algoritmilor genetici au fost mult superioare față de filtrele obținute prin metode de proiectare tradiționale.

Astfel, tot în [Mrm 92] se prezintă o metodă de aplicare a algoritmilor genetici în proiectarea unui filtru optic în care se optimizează atât grosimea straturilor, cât și materialele care le compun. Problema presupune straturi formate din n materiale, iar un individ codează atât grosimile straturilor, cât și indicii de refracție al fiecărui strat. Dezavantajul metodei este faptul că ea presupune indici de refracție cu valori continue într-un domeniu dat, iar soluția obținută cu algoritmi genetici nu garantează că există fizic un material cu indicii de refracție găsit.

Aceeași problemă de optimizare este reluată în [Fill 94], cu deosebirea că se folosesc algoritmi genetici cu codare binară, iar materialul pentru fiecare strat se alege dintr-o bază de

materiale, fără să se presupună existența unor materiale având indici de refracție cu valori continue într-un domeniu dat.

8.1.3. Aplicații ale algoritmilor genetici în proiectarea unor circuite absorbante pentru microunde

Circuitele absorbante pentru microunde sunt similare cu filtrele optice, iar fenomenele fizice care stau la baza funcționării celor două tipuri de sisteme sunt analoge. Spre deosebire însă de filtrele optice care sunt destinate să reflecte selectiv anumite benzi de frecvență și să transmită alte astfel de benzi, circuitele absorbante elimină reflexia într-o bandă largă prin folosirea unor materiale care absorb eficient energia electromagnetică. În cazul circuitelor absorbante, funcția obiectiv este mult mai complexă, deoarece se optimizează absorbția într-o bandă largă de frecvență, pentru diferite unghiuri de incidență a unde luminoase. Această funcție este multiobiectiv și se compune din obiective posibil competitive. În plus, obiectivele sunt complet incomensurabile. Din acest motiv, pentru rezolvarea problemei de optimizare multiobiectiv se folosesc procedee de genul celor prezentate în capitolul 3, care se bazează pe conceptul de Pareto optim.

În [Mrm 93] se prezintă o aplicație din acest domeniu, în care se optimizează atât reflexia cât și grosimea celor 5 straturi ale unui circuit absorbant, într-o gamă de frecvență cuprinsă între 2-8 GHz și folosind o bază de 8 materiale diferite. Pentru optimizarea multiobiectiv, se folosesc algoritmi genetici NSGA (v. capitolul 3).

O altă structură de filtru folosită deseori în aplicații de electromagnetism, este filtrul cu suprafață de selecție a frecvenței (FSS- Frequency Selective Surface). Un astfel de filtru este format dintr-o matrice periodică de elemente perfect conductoare, amplasate fiecare pe un substrat dielectric. Matricea e periodică de-a lungul celor două axe paralele cu planul substratului, așa cum se reprezintă în figura 8.2.

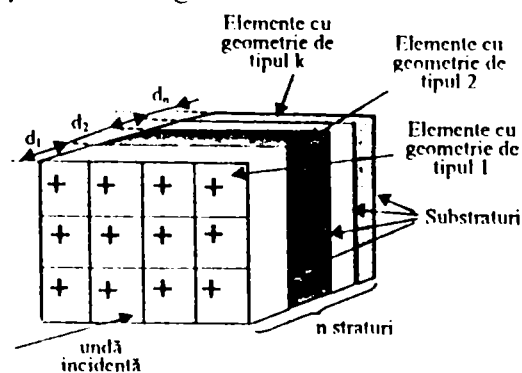


Fig. 8.2. Structura unui filtru cu suprafață de selecție selectivă a frecvenței

Suprafețele FSS dispun de proprietăți de reflexie, respectiv transmisie completă a unde electromagnetice incidente în vecinătatea frecvenței de rezonanță a elementelor din matrice. Această frecvență de rezonanță depinde de geometria elementelor conductoare și de tipul materialului din substrat. De obicei se cascadează mai multe matrice FSS și se formează o superstructură cu caracteristici de frecvență îmbunătățite, adică filtre cu o regiune de tranziție foarte abruptă între benzile de reflexie și transmisie ale structurii.

Domeniul de aplicabilitate al matricelor FSS este larg:

- în domeniul de frecvență al microundelor se folosesc pentru a separa fascicule în sisteme de antene reflectorizante;
- în domeniul infraroșu se aplică în polarizoare, divizoare de fascicule, oglinzi hertziene, senzori;

- în domeniul frecvențelor apropiate de infraroșu și în porțiunile vizibile ale spectrului electromagnetic, au fost propuse pentru proiectarea sistemelor de energie solară.

Pentru a proiecta un filtru cu un răspuns la frecvență impus folosind algoritmi genetici, un individ codează tipul materialului din substrat, grosimea straturilor și geometria elementelor din fiecare strat.

Algoritmul dispune de o bază de materiale și o bază de geometrii și caută secvența optimă de construcție a filtrului prin minimizarea diferenței dintre răspunsul actual al filtrului și răspunsul impus.

În [Win 98] se descrie modul de folosire a algoritmilor genetici în proiectarea unui filtru FSS cu 3 straturi, folosind 16 tipuri diferite de geometrii ale elementelor și 8 tipuri de materiale pentru substrat cu permitivități cuprinse între 2 și 18. Autorii consideră faptul că proiectarea unui astfel de filtru este practic imposibilă fără folosirea algoritmilor genetici.

8.1.4. Aplicații ale algoritmilor genetici în proiectarea antenelor

Un domeniu de aplicație mai recent în domeniul electromagnetismului este proiectarea antenelor de bandă largă. Radiațiile emise de aceste antene se pot analiza în prezent folosind o multitudine de metode numerice, dar sinteza lor prezintă unele dificultăți și există foarte puține metode de proiectare automată dedicate pentru antene. Optimizarea caracteristicilor unei antene este complexă, iar obiectivele sunt adesea competitive.

Scopul unui algoritm de sinteză a unei antene este proiectarea unei structuri care radiază energia eficient, în direcțiile dorite și într-o bandă de frecvență impusă.

Optimizarea vizează două aspecte:

- amplasarea în diferite poziții pe antenă a unui număr de sarcini în cum ar fi rețele de rezistențe, condensatoare, bobine în scopul maximizării radiației într-un număr de direcții impuse;
- proiectarea unei rețele de adaptare folosind rezistențe, condensatoare și bobine care are rolul de a asigura transmiterea eficientă a energiei produse de generatorul de semnal către antenă.

Pentru aplicarea algoritmilor genetici în proiectarea unei antene, este necesar să se definească, așa cum se prezintă în capitolul 2, o metodă de codare a indivizilor și o funcție obiectiv.

Uzual, se folosește o codare binară, în care fiecare parametru este descris prin valoarea sa. Dacă se are în vedere și proiectarea unei topologii adecvate a rețelei de adaptare, metoda de codare trebuie extinsă cu biți suplimentari care precizează modul de amplasare a fiecărei componente în rețea.

Funcția obiectiv ia în considerare felul în care antena radiază energie în direcțiile dorite, precum și eficiența de transmitere a energiei prin rețeaua de adaptare către antenă.

În [Win 98] se prezintă un exemplu de proiectare a unei antene pentru frecvențe cuprinse între 15 și 60 MHz, în care fiecare componentă a rețelei de adaptare este codată cu 7 biți, componentele rețelei de pe antenă sunt codate cu 6 biți, iar funcția obiectiv maximizează radiația medie în 3 direcții. Autorii arată că rezultatele obținute cu algoritmi genetici sunt superioare în comparație cu antenele proiectate folosind metode de calcul tradiționale.

8.2. Studiu de caz nr. 8

Acest studiu de caz se referă la optimizarea unui sistem de încălzire în flux magnetic transversal folosind algoritmi genetici, adică la o problemă din categoria celor menționate în paragraful 8.1.1.

8.2.1. Sisteme de încălzire în flux magnetic transversal

Sistemele de încălzire în flux magnetic transversal sunt folosite pentru încălzirea unor benzi metalice. Spre deosebire de încălzirea în flux magnetic longitudinal, încălzirea în flux transversal folosește frecvențe joase și permite obținerea unui randament electric ridicat. Acest avantaj devine mai pronunțat odată cu reducerea grosimii benzii și creșterea conductivității acesteia. În schimb, metoda are dezavantajul că, la sfârșitul procesului de încălzire, temperatura în banda metalică este neomogenă. Dacă această neomogenitate depășește anumite limite, ea poate produce chiar deformarea benzii.

Optimizarea are ca scop obținerea unui randament maxim și încălzirea transversală uniformă a benzii. Rezolvarea problemei presupune găsirea valorilor optime ale parametrilor inductorului: frecvența f , pasul polar τ și grosimea întrefierului g . [Fir 02]

8.2.2. Problema de optimizare

Problema de optimizare abordată în acest studiu de caz se referă la un sistem de încălzire în flux magnetic transversal caracterizat prin:

1. Constantele:

- lățimea benzii metalice $2b = 1,0$ m
- grosimea benzii metalice $a = 2$ mm
- rezistivitatea benzii magnetice $\rho = 35 \Omega\text{mm}^2/\text{m}$

2. Parametri problemei, pentru care se caută valori în procesul de optimizare:

- pasul polar τ , cu restricțiile: $\tau \in [0,2, 1,5]\text{m}$
- lățimea întrefierului g , cu restricțiile: $g \in [0,05, 0,2]\text{m}$
- frecvența tensiunii de alimentare f , cu restricțiile: $f \in [50, 10^4]\text{Hz}$.

3. Funcția obiectiv este o măsură vectorială dependentă de randament și de neuniformitatea încălzirii benzii.

8.2.3. Stabilirea funcției obiectiv

Nivelul de neuniformitate al încălzirii în flux magnetic transversal este caracterizat uzual de integrala densității de volum a puterii induse de-a lungul benzii.

Se consideră banda metalică orientată în raport cu axele de coordonate Ox , Oy și Oz așa cum este reprezentat în figura 8.3.

Dacă p_{int} este integrala densității de volum a puterii induse de un pol de-a lungul axei Ox , se poate considera că densitatea de putere la coordonata relativă (y/b) este dată de relația:

$$P\left(\frac{y}{b}\right) = \frac{p_{int}\left(\frac{y}{b}\right) - p_{int}(0)}{p_{int}(0)} \quad (8.1)$$

Această funcție este o măsură a neuniformității temperaturii benzii la sfârșitul procesului de încălzire.

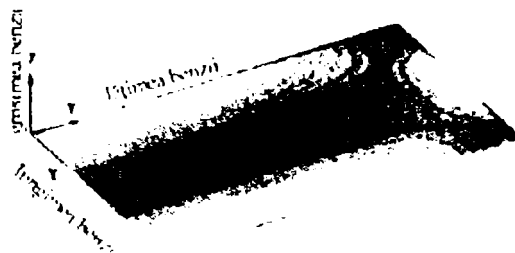


Fig. 8.3. Banda metalică orientată în raport cu axele de coordonate

Densitatea de putere indusă reprezentată în figura 8.4 corespunde următorilor parametri:

- lățimea întrefierului $g = 0,4 \text{ m}$
- pasul polar $\tau = 0,3 \text{ m}$
- lățimea benzii metalice $2b = 1,0 \text{ m}$
- grosimea benzii metalice $a = 0,5 \text{ mm}$
- rezistivitatea benzii metalice $\rho = 1 \text{ } \Omega\text{mm}^2/\text{m}$
- frecvența tensiunii de alimentare $f = 2,5 \text{ kHz}$

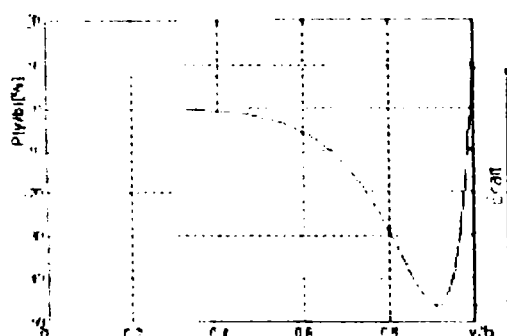


Fig. 8.4. Densitatea de putere indusă în banda metalică

Pentru calculul curenților turbionari s-au făcut următoarele ipoteze simplificatorii:

- inductorul, cu miez magnetic ideal are un număr mare de poli, iar variația câmpului magnetic în jurul inductorului este de tip armonic, cu perioada 2τ ;
- banda reală de grosime a , cu conductivitatea electrică $\sigma = 1/\rho$ este modelată cu o bandă echivalentă ce ocupă tot întrefierul, având tot lățimea $2b$.
- Pentru adâncimea de pătrundere δ a câmpului electromagnetic în banda metalică, conductivitatea benzii se obține cu formula:

$$\sigma_c = \frac{\sigma \cdot a}{\delta} \quad (8.2)$$

Curenții induși au numai două componente, iar variația lor de-a lungul inductorului este aproximată cu funcții sinusoidale de argument $\frac{\pi \cdot x}{\tau} = \alpha \cdot x$

Cu aceste simplificări, densitatea de putere indusă la coordonata relativă y/b este dată de relația:[Fir 02]

$$P\left(\frac{y}{b}\right) = \frac{\left| \frac{ch[(\lambda_r b) \frac{y}{b}]}{ch(\lambda_r b)} \right|^2 + \frac{(\lambda_r b)^2}{\left(\frac{\pi b}{\tau}\right)^2} \left| 1 - \frac{sh[(\lambda_r b) \frac{y}{b}]}{ch(\lambda_r b)} \right|^2 - \left| 1 - \frac{1}{ch(\lambda_r b)} \right|^2}{\left| 1 - \frac{1}{ch(\lambda_r b)} \right|^2} \quad (8.3)$$

unde s-a folosit notația:

$$\lambda_r b = \frac{\pi b}{\tau} \cdot \sqrt{1 + j \frac{\tau^2 \cdot 2a}{\pi^2 \cdot g \delta^2}}, \text{ cu } j = \sqrt{-1} \quad (8.4)$$

iar δ este adâncimea de pătrundere a câmpului electromagnetic în banda metalică.

Pentru a caracteriza cât mai bine posibil distribuția neuniformă a puterii induse, se folosește ecartul definit prin relația :

$$Ecart = \max\{P(y/b)\} - \min\{P(y/b)\} \quad (8.5)$$

Expresia dată de relația (8.5) trebuie minimizată.

Înlocuind (8.4) în (8.3) se obține valoarea medie a densității de putere induse în banda metalică:

$$P_{avr} = \frac{1}{b} \int_0^b \left[\left| \frac{\lambda_r \cdot sh[(\lambda_r y)]}{\alpha \cdot ch(\lambda_r b)} \right|^2 + \left| 1 - \frac{ch(\lambda_r y)}{ch(\lambda_r b)} \right|^2 \right] \cdot dy \quad (8.6)$$

Relația (8.6) este o măsură a eficienței încălzirii benzii metalice și ea trebuie maximizată.

Cu aceste precizări, pentru obținerea unei încălziri eficiente și uniforme a benzii metalice, funcția obiectiv are două componente:

$$F_1 = \max(Ecart) \quad (8.7)$$

$$F_2 = \min(P_{avr}) \quad (8.8)$$

Prin natura fenomenelor electromagnetice, cele două funcții F_1 și F_2 sunt competitiv contradictorii.

Pentru a rezolva o astfel de problemă de optimizare utilizând algoritmi genetici se pot folosi procedeele descrise în capitolul 4, bazate pe conceptul de Pareto optim. În acest studiu de caz s-a optat pentru generarea frontului Pareto optim prin combinarea liniară a obiectivelor folosind un coeficient de ponderare γ și reluarea optimizării pentru diferite valori ale acestui coeficient.

Așa cum s-a arătat în capitolul 4, pentru a putea aplica eficient metoda coeficienților de ponderare, domeniile în care iau valori ale cele două componente vectoriale F_1 și F_2 trebuie să fie comparabile. Prin natura fenomenelor electromagnetice însă, această condiție nu este îndeplinită, deoarece cele două mărimi implicate, $Ecart$ și P_{avr} au ordine de mărime complet diferite. Din acest motiv, este necesară folosirea unei transformări care să asigure o scalare a celor două mărimi. Cu aceste precizări, funcția obiectiv devine:

$$F_{avr}(f, \tau, g) = \gamma \cdot F_{ecart} + (1 - \gamma) \cdot F_p \quad (8.9)$$

unde F_{ecart} și F_p iau valori cuprinse între 0 și 1 și sunt date respectiv de relațiile (8.10) și (8.11):

$$F_{ecart} = \frac{Ecart - Ecart_{min}}{Ecart_{max} - Ecart_{min}} \quad (8.10)$$

$$F_{jmr} = \frac{P_{jmr \max} - P_{jmr}}{P_{jmr \max} - P_{jmr \min}} \quad (8.11)$$

unde indicii *min* și *max* semnifică valorile minime și maxime ale mărimilor *Ecart* și P_{jmr} în tot domeniul de optimizare, valori care s-au determinat în prealabil folosind tot algoritmi genetici.

Aplicând algoritmi genetici pentru diferite valori ale coeficientului de ponderare γ și considerând parametri:

- Număr indivizi $N = 50$
- Număr maxim de generații 50
- Selecție binară turneu
- Încrucișare aritmetică cu probabilitatea 0.6
- Mutație uniformă
- Codare vectorială

și funcția fitness:

$$Fitness = \frac{1}{1 + F_{obj}}$$

s-au obținut rezultatele din Tabelul 8.1:

Tabel 8.1. Rezultatele obținute în studiul de caz nr. 8 folosind algoritmi genetici

γ	f [kHz]	τ [m]	g [m]	P_{jmr}	Ecart	F_{obj}
0.0	8.86	1.50	0.050	95.59	18215.60	0.0000
0.1	8.86	1.50	0.050	99.59	18215.60	0.1000
0.2	8.86	1.50	0.050	99.59	18215.60	0.2000
0.3	8.86	1.50	0.050	99.59	18215.60	0.3000
0.4	7.59	1.50	0.067	77.92	11709.20	0.3888
0.5	6.38	1.50	0.151	46.45	4358.72	0.3888
0.6	2.91	1.50	0.165	29.98	1814.05	0.3418
0.7	1.07	1.50	0.151	19.27	729.37	0.2721
0.8	0.24	1.50	0.101	11.56	246.25	0.1892
0.9	0.05	1.50	0.111	5.45	45.78	0.0976
1.0	0.05	0.20	0.200	0.89	0.56	0.0000

Aceși problemă de optimizare a fost reluată în [Fir 02] folosind alte metode de căutare: Random search, Simplex și Powell. Rezultatele obținute au fost comparabile cu cele obținute folosind algoritmi genetici și sunt prezentate în [Fir 02]

8.3. Concluzii

În acest capitol s-au prezentat abordările cunoscute din literatură a problemelor de optimizare în electromagnetism folosind algoritmi genetici, precum și un studiu de caz referitor la optimizarea unui sistem de încălzire în flux magnetic transversal.

Rezultatele obținute demonstrează capacitatea algoritmilor genetici de rezolvare a problemelor de optimizare și în alte domenii ale ingineriei, în particular în domeniul electromagnetismului.

Deși la ora actuală există numeroase pachete de programe elaborate de firme de prestigiu în domeniul analizei numerice a câmpului electromagnetic, în general, acestea nu includ module de optimizare a sistemelor electromagnetice supuse analizei. Structura generală a acestor programe de firmă include 3 module principale:

- preprocesor, care este un generator de hipermesh 3D;
- procesor, care implică modelare de câmp și analiză numerică;

- postprocesor, pentru extragerea și interpretarea rezultatelor.

În paralel cu aceste firme producătoare de programe, există și colective de cercetare în domeniul electrotehnicii fundamentale care dezvoltă programe de analiză și simulare a câmpului electromagnetic, cu contribuții în principal în partea de procesor.

Deoarece din literatura de specialitate se constată că modulul de optimizare nu este abordat în mod special nici de marile firme producătoare de software, nici de colectivele de cercetare, este oportună combinarea, în unele probleme de cercetare, a programelor de analiză existente cu optimizări realizate folosind algoritmi genetici.

CAPITOLUL 9. CONCLUZII ȘI CONTRIBUȚII ORIGINALE

9.1. Contribuții originale

Domeniul abordat în această teză este de o stringentă actualitate și toate cercetările existente sunt de dată recentă. Scopul tezei a fost aprofundarea algoritmilor genetici și aplicarea lor în sinteza sistemelor automate.

Rezultatele esențiale sunt:

- Prezentarea detaliată și documentată a mecanismului de funcționare a algoritmilor genetici, a operatorilor genetici și a aspectelor legate de implementarea unor aplicații cunoscute din bibliografie. În ceea ce privește literatura scrisă în limba română, singura publicație cunoscută de autoare este cartea autorilor Ion Dumitrache și Cătălin Buiu, intitulată “Algoritmi genetici. Principii fundamentale și aplicații în automatică”, apărută în Editura Mediamira Cluj-Napoca, 2000. Această publicație, prima în domeniu, fără a intra în detalii de implementare și de analiză a algoritmilor este o excelentă prezentare a algoritmilor în strânsă legătură cu rețelele neurale și tehnicile fuzzy. Din aceste motive, expunerea prezentată în această teză a încercat să se constituie într-o continuare la literatura scrisă referitoare la acest domeniu al inteligenței artificiale.
- Abordarea monografică a problematicii aplicării algoritmilor genetici în optimizarea multiobiectiv, precum și în problemele cu restricții. Prezentarea cuprinde cele mai recente abordări din acest domeniu de aplicație al algoritmilor genetici, cunoștințele dobândite din literatură sunt sistematizate, iar algoritmi sunt supuși unei analize detaliate însoțite de exemple. În acest domeniu, autoarea nu cunoaște nici o publicație în limba română, astfel încât monografia concepută poate fi utilă pentru literatura tehnică în limba română.
- Prezentarea unor extensii ale algoritmilor genetici la programarea genetică și a aspectelor suplimentare ridicate de aplicații de evoluție a programelor.
- *Implementarea unui algoritm genetic în mediul Matlab, pe baza teoriei prezentate în capitolul 2.* Algoritmii genetici sunt modulari, se poate extinde cu ușurință și a fost folosit în realizarea unor aplicații în domeniul analizei și sintezei sistemelor automate, precum și în alte domenii.
- Propunerea unei noi metode de aplicare a algoritmilor genetici în sinteza sistemelor automate, bazată pe implementarea etapei de evaluare a performanțelor prin simulare, ceea ce permite folosirea unor modele mai realiste ale sistemelor.

- Folosirea metodei propuse în 4 studii de caz referitoare la acordarea optimă a regulatoarelor lineare de tip PID și PI.
- Propunerea unei noi metode de stabilire a performanțelor sistemelor pentru definirea funcției Fitness pe baza reprezentării grafice a răspunsului dorit.
- *Propunerea unei noi metode de aplicare a algoritmilor genetici în îmbunătățirea performanțelor sistemelor automate.* Metoda propusă a fost folosită pentru îmbunătățirea performanțelor sistemelor automate bazate pe regulatoare interpolatoare.
- Propunerea unei metode originale de aplicare a algoritmilor genetici în estimarea parametrilor sistemelor. Metoda a fost folosită într-un studiu de caz referitor la estimarea parametrilor unui sistem.
- Propunerea unei noi abordări a programării genetice pentru expresii, prin folosirea Toolboxului Symbolic Math din Matlab.
- Definirea unui nou algoritm de generare a populației inițiale de programe pentru expresii codate cu șiruri de caractere.
- Definirea unui operator nou de încrucișare și a unui operator nou de mutație pentru expresii codate cu șiruri de caractere.
- Implementarea sistemului de programare genetică propus și aplicarea lui într-o problemă de manipulare a matricelor.

Pe parcursul elaborării tezei de doctorat, autoarea a publicat mai multe articole științifice cu care a participat la conferințe internaționale organizate în țară și în străinătate. Principalele articole sunt:

- Conferința EMES 99, Oradea 1999, "*Genetic algorithms. An overview.*" autor Vladu, E. Conferința RSEE00, Oradea 2000 "*A genetic algorithm for optimal control*", autor Vladu, E.
- Conferința EMES01, Oradea 2001, "Considerations on the simulation of the control system for a geothermal power plant using ASCII and Matlab", autori Gabor, G. , Vladu, E.
- Conferința RSEE02, Oradea 2002, "Using Genetic Algorithms to Improve Hybrid Adaptive-Interpolative System Performances", autori Dale, S, Vladu, E.
- Conferința ATEE 2002 București 2002, "*Optimization of transversal flux inductors using Simplex, Powell, Random search and Genetic algorithms*", autori Fireteanu V., Paya B., Popa D., Popa M., Tudorache T., Vladu, E.

- Simpozion IGTE 2002 Graz, Austria 2002, "Numerical Modeling of the Induction Crucible Furnace. Contributions on Optimization", autori Pașca, S., Popa, M., Vladu, E., Tonț, D.
- Conferința CSCS14, București 2003, "Interpolative-type Controller Synthesis Using Genetic Algorithms", autori Dragomir, T. L., Vladu, E., Dale, S.
- Conferința CSCS14, București 2003, "Implementing a genetic programming system by using Symbolic toolbox in MATLAB", autor Vladu, E.
- Conferința Microcad03, Miskolc, Ungaria 2003, "Using Simulink to dynamically apply genetic algorithms to solve control optimization problems", autor Vladu, E.

9.2. Posibilități de cercetare viitoare

Algoritmul genetic implementat în Matlab se poate extinde cu ușurință, astfel încât se pot defini de exemplu operatori genetici noi, ori se poate completa cu funcții care ar permite combinarea algoritmilor genetici cu sisteme Fuzzy sau neurale.

Algoritmii referitori la optimizarea Pareto se pot implementa în Matlab și se pot folosi împreună cu algoritmul genetic implementat pentru rezolvarea unor probleme de optimizare multiobiectiv.

Metoda de stabilire a performanțelor sistemelor automate este generală și se poate aplica în aceeași manieră, de exemplu în acordarea optimă a reguletoarelor pentru sisteme multivariabile, ori în alte probleme de optimizare.

În ceea ce privește acordarea optimă a reguletoarelor pentru procese cu timp mort, problema se poate relua pentru un număr mare de procese diferite și anumite performanțe impuse, în scopul comparării rezultatelor obținute folosind diferite metode devenite clasice.

Metoda propusă pentru îmbunătățirea performanțelor sistemelor automate se poate relua și pentru alte sisteme diferite de reguletoarele de tip interpolativ.

Metoda propusă pentru estimarea parametrilor sistemelor în timp continuu se poate extinde pentru sisteme în timp discret.

Printr-o analiză amănunțită a funcțiilor implementate de toolboxul Symbolic Math din Matlab, sistemul de programare genetică simbolică propus se poate extinde pentru folosirea unui număr mai mare de funcții, precum și cu facilități de eliminare a expresiilor inutile. De asemenea, o altă posibilitate de extensie este folosirea unor funcții definite ierarhic. În acest scop, mulțimea funcțiilor se completează cu apeluri la aceste funcții, la fel ca în programarea genetică obișnuită și se pot folosi funcțiile abstracte definite în Toolboxul Symbolic Math care se pot substitui cu expresiile asociate unui apel la funcții definite ierarhic.

Sistemul de programare genetică implementat se poate folosi în aplicații de aproximare a funcțiilor, identificarea sistemelor, ori în găsirea matricei Liapunov.

Metoda de stabilire a performanțelor sistemelor automate se poate modifica cu ușurință pentru aplicații de conducere optimală, prin folosirea unei noi metode de codare a indivizilor.

De exemplu, un individ poate fi codat printr-un semnal de forma:
$$i(t) = \sum_{j=1}^k a_j \sin(\omega_j t + \varphi_j),$$

unde în procesul genetic se caută parametri ajustabili a_j, ω_j, φ_j astfel încât să fie îndeplinite cerințele de optimizare și restricțiile impuse care se pot impune prin simulare, folosind

anumite ieșiri ale sistemului de optimizat. O altă posibilitate de codare a indivizilor referitor la acest tip de probleme este folosirea transformatei Fourier.

Sistemul de programare genetică simbolică realizat se poate cupla cu ușurință cu toolboxul Simulink și se poate folosi în aceeași manieră în rezolvarea unor probleme de conducere optimală.

Algoritmii genetici și programele realizate se pot folosi și în alte domenii ale ingineriei, de exemplu în domeniul electromagnetismului.

ANEXA A

A.1. Algoritmul PAES

Caracteristicile și principiile folosite de algoritmul evolutiv PAES au fost prezentate în paragraful 3.5.1. În acest paragraf se prezintă în detaliu modul de implementare al acestui algoritm.

Etapele principale ale algoritmului PAES sunt următoarele:

1. Prima soluție curentă c se generează aleator, se evaluează și se memorează imediat în arhivă, deoarece aceasta este goală;

2. Soluția curentă c se supune operatorului de mutație și se obține o soluție candidat m , care se evaluează și se compară cu soluția curentă. Aceste operații se repetă după caz, până la găsirea unei soluții candidat care nu este dominată de soluția curentă.

2.a. Dacă se găsește o soluție m care domină soluția c , ea devine soluție curentă, c este rejectată și se reia pasul 2.

2.b. Dacă m este nedominată în raport cu c , ea se compară cu elementele arhivei.

- Dacă m domină toate elementele arhivei, este acceptată și arhivată;

- Dacă m este dominată de elementele arhivei, este rejectată și se revine la pasul 2;

- Dacă m este nedominată în raport cu elementele arhivei, fie se memorează în arhivă fie se rejectează, în funcție de gradul de populare al regiunii care îi corespunde în spațiul obiectiv și algoritmul continuă cu pasul 2, până la atingerea unui criteriu de oprire.

Aceste etape sunt reprezentate în figura A.1.

În pseudocod, algoritmul este următorul:

Algoritm A.1. Algoritm PAES

Intrări: Funcțiile obiectiv $f_1(x), f_2(x), \dots, f_k(x)$

Domaniul admisibil X_f

Ieșire: Soluțiile din arhivă

Pasul 1: Generează o soluție aleatoare c și adaugă pe c la arhivă

Pasul 2: Aplică operatorul de mutație asupra lui c , produce m și evaluează m

if (c domină pe m) înlătură pe m

else if (m domină pe c) înlocuiește c cu m și adaugă pe m la arhivă

else aplică $test(c, m, arhiva)$ pentru a alege noua soluție curentă și a decide

dacă se adaugă sau nu m la arhivă.

Până la atingerea condiției de terminare, return la Pasul 2

Funcția $test(c, m, arhiva)$ este cea care analizează gradul de populare în spațiul obiectiv, decide arhivarea sau rejectarea soluției m și alege noua soluție curentă c . Această funcție implementează un algoritm numit *algoritm de arhivare și acceptare*.

Etapele algoritmului de arhivare și acceptare sunt prezentate în figura A2.

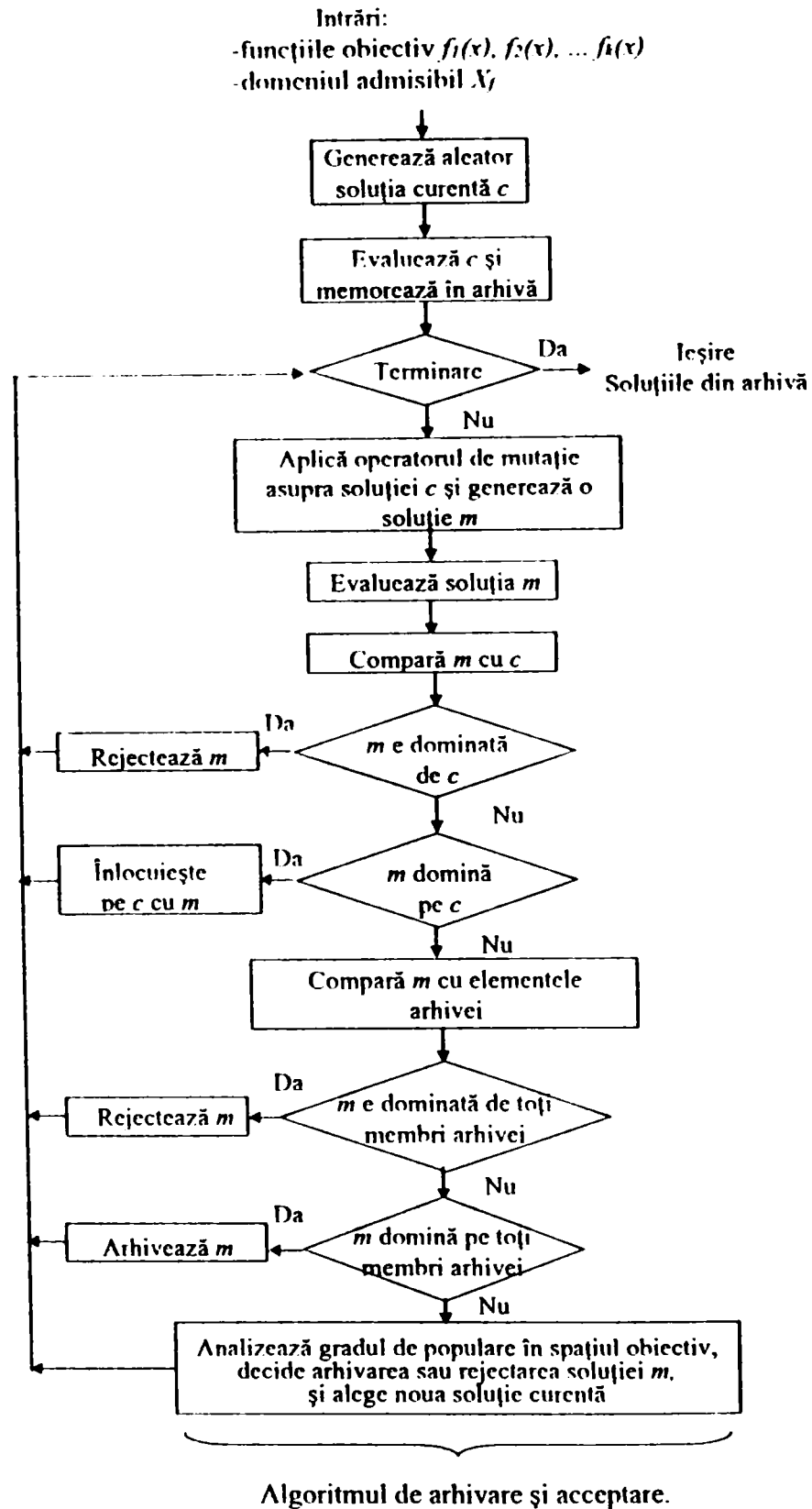


Fig. A.1. Etapele principale ale algoritmului PAES

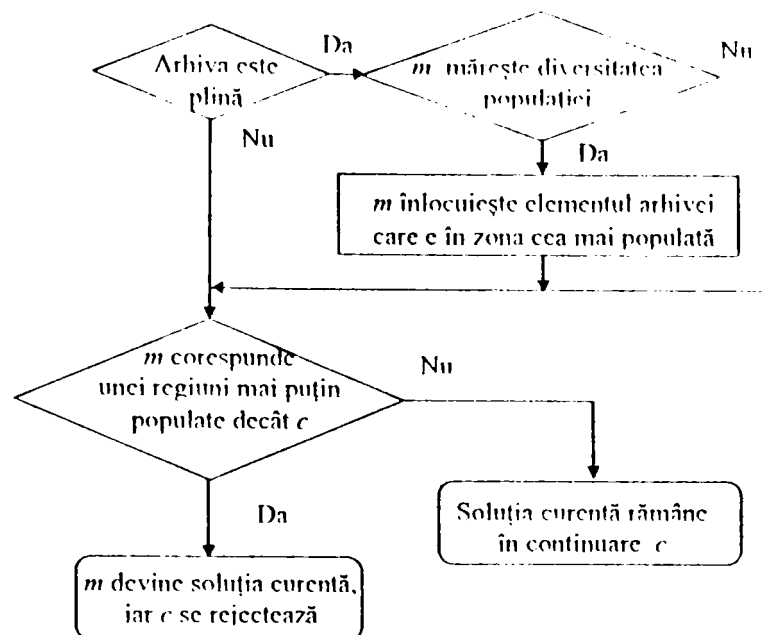


Fig. A.2. Algoritm de arhivare și acceptare (funcția $\text{test}(c,m,\text{arhiva})$).

În pseudocod, algoritmul este următorul:

Algoritm A.2. Funcția $\text{test}(c,m,\text{arhiva})$

if arhiva nu e plină

adaugă pe m la arhivă

if (m este într-o regiune mai puțin populată decât c)

m devine noua soluție curentă

else c rămâne soluția curentă

else

if (m mărește diversitatea populației)

adaugă pe m la arhivă și înlătură un membru al arhivei din regiunea cea mai populată

if (m este într-o regiune mai puțin populată decât c)

m devine noua soluție curentă

else c rămâne soluția curentă

else

if (m este într-o regiune mai puțin populată decât c)

m devine noua soluție curentă

else c rămâne soluția curentă

A.2. Algoritmul SPEA

Principalele caracteristici ale algoritmului evolutiv SPEA (Strength Pareto Evolutionary Algorithm) au fost prezentate în paragraful 3.5.2.

În acest paragraf se prezintă modul de implementare al acestui algoritm.

Algoritmul SPEA folosește o populație de indivizi P și o arhivă, numită mulțime externă de soluții, notată cu \bar{P} și funcționează într-o manieră iterativă.

Etapele de bază ale algoritmului sunt:

- Generează o populație inițială de soluții și inițializează \bar{P} cu mulțimea vidă;
- Actualizează mulțimea externă \bar{P} , astfel încât mărimea ei să nu depășească o valoare maximă N stabilită aprioric;
- Evaluează independent indivizii din mulțimile \bar{P} și P .
- Aplică operatorul de selecție turneu asupra reuniunii celor două populații ($\bar{P} \cup P$).
- Aplică operatorul de încrucișare
- Aplică operatorul de mutație
- Continuă cu pasul 2 până la îndeplinirea condiției de oprire.
- Aceste etape sunt reprezentate în figura A.3.

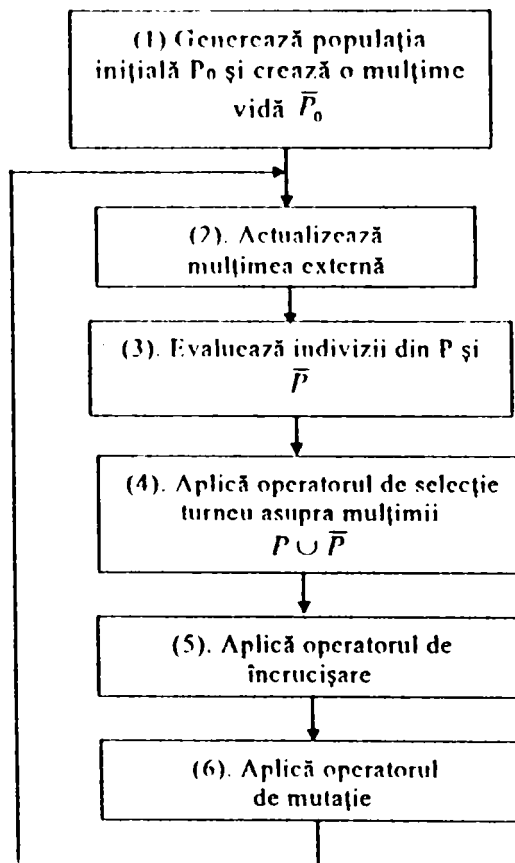


Fig. A.3. Etapele algoritmului SPEA

Pseudocodul pentru algoritmul SPEA este prezentat în *Algoritmul A.4*. Pașii acestui algoritm corespund cu numerele din paranteză din figura A.3.

În algoritm s-au notat cu P_t și \bar{P}_t populația din generația t , respectiv mulțimea externă din generația t .

Algoritmul A.4. Algoritmul SPEA

Intrări:	N	mărimea populației
	\bar{N}	dimensiunea maximă a mulțimii externe
	T	numărul maxim de generații
	p_c	probabilitatea încrucișării
	p_m	probabilitatea mutației
Ieșiri:	A	mulțimea soluțiilor nedominate

- Pasul 1: Inițializare. Generează o populație inițială P_0 și crează o mulțime externă vidă $\bar{P}_0 = \Phi$.
- Pasul 2: Actualizează mulțimea externă:
- Adaugă la mulțimea \bar{P}_t indivizii nedominați în P_t , formând mulțimea \bar{P}' ;
 - Compară între ei indivizii din \bar{P}' și înlătură indivizii dominați;
 - Execută o reducere a numărului de indivizi din \bar{P}' , prin apelul
 - Algoritmului A.6.
- Pasul 3: Calculează valoarea fitness a indivizilor din P_t și \bar{P}_t prin apelul Algoritmului A.5.
- Pasul 4: Selecție. Aplică operatorul de selecție turneu asupra mulțimii $P_t \cup \bar{P}_t$ și formează populația intermediară P' .
- Pasul 5: Aplică asupra mulțimii P' operatorul de încrucișare.
- Pasul 6: Aplică asupra mulțimii P' operatorul mutație.
- Pasul 7: Terminare: $t = t + 1$, $P_{t+1} = P'$
- if $t \geq T$, compară între ei indivizii din P_t și înlătură indivizii dominați.
- Returnează $A = \bar{P}_t$
- else goto Pasul 2

Atribuirea funcției fitness se face în două etape:

- în prima etapă se compară populația externă cu populația curentă și pentru fiecare individ din populația externă se asociază o putere proporțională cu numărul de indivizi pe care îi domină în populația curentă, iar fitnessul este egal cu puterea;
- în a doua etapă se atribuie pentru fiecare individ din populația curentă un fitness egal cu suma puterilor tuturor indivizilor din populația externă care domină individul considerat; la suma obținută se mai adaugă valoarea 1 pentru a se garanta că în toate cazurile, indivizii din populația externă au fitnessul mai bun decât cei din populația curentă (algoritmul consideră o problemă de minimizare).

Aceste etape sunt prezentate în Algoritmul A.5.

Algoritmul A.5. Atribuirea funcției fitness

Intrări:	P_t	(populația)
	\bar{P}_t	(mulțimea externă)
Ieșiri:	F	(valorile fitness)

- Pasul 1. Compară fiecare $\bar{x}_i \in \bar{P}_t$ cu indivizii din P_t și asociază pentru fiecare din ei un număr real $S(i) \in [0,1)$ numit putere (strength).

$$S(i) = \frac{|\{\bar{x}_j \mid \bar{x}_j \in P_t \wedge \bar{x}_i \succeq \bar{x}_j\}|}{N+1} \quad (\text{A.1})$$

$$F(\bar{x}_i) = S(i)$$

(Notăția „ \mid ” are semnificația „numărul de indivizi”)

- Pasul 2. Calculează fitnessul unui individ $\bar{x}_i \in \bar{P}_t$:

$$F(\bar{x}_i) = 1 + \sum_{x_j \in P_i, \bar{x}_j < \bar{x}_i} S(i) \quad F(\bar{x}_i) \in [1, N) \quad (\text{A.2})$$

În figura A.4. se prezintă un exemplu de aplicare a algoritmului A.5 în cazul minimizării a două funcții obiectiv. Indivizii din populația externă sunt reprezentați cu cercuri albe, iar cei din populația curentă cu cercuri negre. Cifrele de lângă cercuri sunt valorile fitness corespunzătoare.

În figură s-a considerat situația în care spațiul obiectiv este dominat de 5 indivizi din populația externă. În figura A.4.a. populația curentă este formată din 5 indivizi, iar în figura A.4.b. din 8 indivizi.

Fiecare individ din mulțimea externă \bar{P} definește un dreptunghi distinct care împarte spațiul obiectiv în regiuni. Porțiunile în care unele dreptunghiuri se suprapun sunt regiuni dominate de toți indivizii externi care definesc acele dreptunghiuri.

În situația din figură, dreptunghiul de culoare închisă din colțul stânga jos este dominat de toți vectorii de decizie din \bar{P} , în timp ce dreptunghiul de culoare deschisă din colțul stânga sus este dominat numai de unul singur.

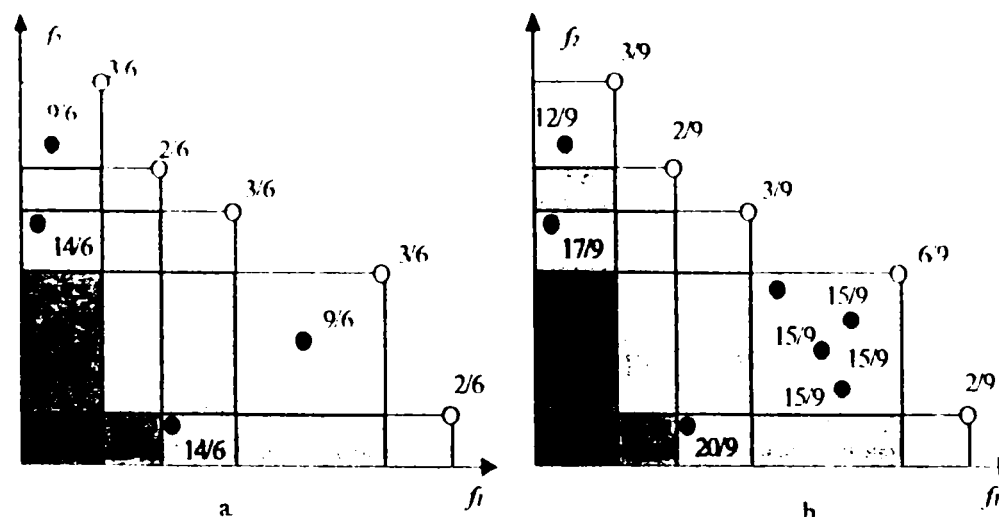


Fig. A.4. Atribuirea funcției fitness în algoritmul SPEA

Scopul este distribuirea indivizilor astfel încât să fie respectate următoarele condiții:

1. în regiunile de culoare mai deschisă, dominate de un număr mai redus de indivizi să se situeze mai mulți indivizi decât în regiunile de culoare mai închisă, care sunt dominate de mai mulți indivizi din \bar{P} ;
2. regiunile cu aceeași nuanță de gri, dominate de un număr egal de indivizi din populația externă, să conțină un număr egal de indivizi.

Intuitiv, acest mecanism permite avantajarea indivizilor care sunt situați mai aproape de frontul Pareto optim, precum și distribuirea lor de-a lungul acestui front.

Condiția a) este îndeplinită dacă indivizii care se află în dreptunghiurile de culoare mai deschisă au fitnessul mai bun (mic).

Examinând indivizii externi din fig. A4.a în ordinea de sus în jos și de la stânga la dreapta, avem:

- primul domină 3 indivizi din populația curentă și folosind relația (A.1), puterea sa este 3/6;

- al doilea domină 2 indivizi din populația curentă și puterea sa este $2/6$
- analog al treilea individ are puterea $3/6$, al patrulea $3/6$ și ultimul $2/6$.

Folosind relația (A.2) se calculează fitnessul indivizilor din populația curentă.

De exemplu, individul din colțul stânga sus este dominat de un singur individ extern și el are fitnessul: $F = 1 + \frac{3}{6} = \frac{9}{6}$.

Efectuând calculele, se constată că condiția a) este îndeplinită.

Pentru a examina modul în care e îndeplinită condiția b), se consideră situația din figura A.4.b în care în care, la dreptunghiul de culoare deschisă, situat în dreapta mai jos, care conținea inițial un singur individ cu fitnessul $9/6$, se mai adaugă 3 indivizi. Folosind relația (A.2.) se recalculază fitnessul indivizilor, ținând cont de puterea indivizilor externi.

Se poate observa că individul extern care corespunde regiunii în care s-a produs modificarea, va avea puterea mai mare, deoarece el domină în această situație 6 indivizi. Puterea lui devine $6/9$, iar indivizii din populația curentă care sunt grupați în regiunea respectivă au fitnessul mai puțin bun: $1 + 6/9 = 15/9$. Totodată, individul din stânga sus care a avut fitnessul tot $9/6$, va avea fitnessul mai bun: $1 + 3/9 = 12/9$.

Astfel, prin adăugarea celor 3 indivizi la o regiune, probabilitatea lor de reproducere a scăzut.

Reducerea mulțimii nedominate prin grupare și comasare

În timpul evoluției algoritmului genetic poate apare situația în care mulțimea Pareto optimă are dimensiuni foarte mari. Dacă numărul elementelor acestei mulțimi depășește anumite limite, memorarea lor este inutilă. În plus, deoarece indivizii din mulțimea externă participă la selecție, un număr excesiv de indivizi ar însemna un număr mare de evaluări, iar dacă indivizii din mulțimea \bar{P} nu sunt uniform distribuiți de-a lungul frontului Pareto optim, performanțele algoritmului se reduc.

Pentru a reduce mărimea populației externe se folosește o metodă de grupare și comasare. Algoritmul folosit de această metodă este Algoritmul A.6.

Algoritmul A.6. Reducerea mulțimii nedominate prin grupare și comasare

Intrări: \bar{P} (mulțimea externă)
 \bar{N} (dimensiunea maxim admisă a mulțimii externe)

Ieșiri: \bar{P}_{i+1} (mulțimea externă actualizată)

Pasul 1: În prima etapă, pentru fiecare individ $i \in \bar{P}$ se crează câte o grupă distinctă:

$$C = \bigcup_{i \in \bar{P}} \{\{\bar{x}_i\}\}$$

Pasul 2: Dacă numărul grupelor nu depășește dimensiunea maxim admisă a mulțimii externe, algoritmul se continuă cu Pasul 5.

if $|C| \leq \bar{N}$ go to Pasul 5

else goto Pasul 3

Pasul 3: Calculează distanța dintre toate perechile de grupe posibile.

Distanța d_c dintre două grupe c_1 și $c_2 \in C$ este dată de media distanțelor dintre indivizii din grupele respective:

$$d_c = \frac{1}{|c_1| \cdot |c_2|} \cdot \sum_{x_i \in c_1, x_j \in c_2} d(x_i, \bar{x}_j) \quad (\text{A.3})$$

unde d reprezintă distanța în spațiul obiectiv dintre doi indivizi \bar{x}_i, \bar{x}_j .

Pasul 4: Află distanța minimă d , care corespunde cu două grupe c_1 și c_2 .
Unește aceste grupe și produce o singură grupă mai mare, astfel încât să fie îndeplinită relația:

$$C = (C \setminus \{c_1, c_2\}) \cup \{c_1 \cup c_2\} \quad (\text{A.4})$$

Go to pasul 2.

Pasul 5: În grupa formată alege un individ reprezentativ și înlătură toți ceilalți indivizi. Individul reprezentativ într-o grupă este centroidul (punctul care are distanța medie față de toate celelalte puncte din grupă, cea mai mică.) Mulțimea nedominată redusă este reuniunea reprezentanților din fiecare grupă:

$$\bar{P}_{n+1} = \bigcup_{c \in C} c$$

În figura A.5. se reprezintă principiul de reducere a mulțimii nedominate prin grupare și comasare. În figură, acest principiu este prezentat în 3 etape:

În figura A.5.a, se grupează soluțiile care sunt apropiate una de alta în spațiul obiectiv.

În figura A.5.b, se identifică soluțiile reprezentative în grupe (cercurile albe).

În figura A.5.c., se înlătură din mulțimea externă indivizii rămași.

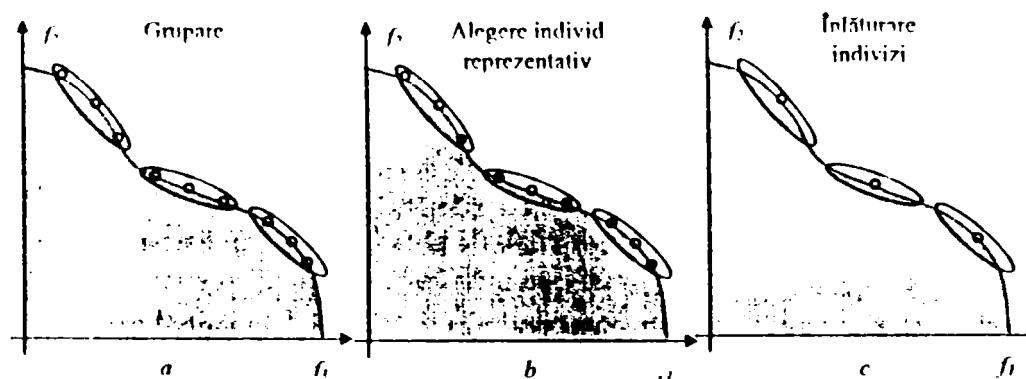


Fig. A.5. Principiul de reducere a mulțimii nedominate prin grupare

A.3. Aspecte legate de indicatorii de calitate definiți în răspunsul indicial al sistemelor de reglare automată în raport cu mărimea de conducere.

În acest paragraf se trec în revistă indicatorii de calitate definiți în răspunsul indicial al sistemelor de reglare automată, care sunt folosiți în paragraful 5.2. în probleme de acordare optimă a reguletoarelor cu algoritmi genetici.

Pentru sistemele de reglare automată cu referință constantă, precum și pentru cele bi- și tripoziționale se admite ca semnificativ și acoperitor regimul tranzitoriu determinat de variația în treaptă a semnalelor de intrare, iar calitatea unui sistem de reglare automată se apreciază pe baza funcțiilor indiciale. [Dra 86]

A.3.1. Indicatori de calitate definiți pe baza răspunsului indicial

În figura A.6 se reprezintă aluri tipice pentru funcțiile indiciale:

- $y_{Iw}(t)$ răspuns la semnal treaptă unitate după mărimea de conducere w , $w(t) = \sigma(t)$
- $y_{Iv}(t)$ răspuns la semnal treaptă unitate după mărimea perturbatoare v , $v(t) = \sigma(t)$

unde $\sigma(t)$ reprezintă funcția treaptă unitate a lui Heaviside.

Pe baza funcției indiciale $y_{Iw}(t)$ se definesc următorii indicatori de calitate:

- *timpul de reglare t_r* reprezintă momentul de la care începând răspunsul sistemului se situează în întregime în „zona de liniștire” de $\pm 2\%$ ($t_{r,0.02}$) sau de $\pm 5\%$ ($t_{r,0.05}$) față de valoarea staționară $y_{\infty w}$

$$t_{r,\alpha} = \{ \min t \mid |y(\tau) - y_{\infty w}| \leq \alpha \cdot y_{\infty w}, (\forall) \tau \geq t_{r,\alpha} \} \quad (\text{A.5})$$

unde $\alpha = 0.02$ sau $\alpha = 0.05$

- *suprareglajul σ_w* reprezintă depășirea maximă a valorii staționare $y_{\infty w}$ sau în procente:

$$\sigma_w \% = \frac{\sigma_w}{y_{\infty w}} \cdot 100 \quad (\text{A.6})$$

Suprareglajul este specific numai sistemelor cu caracter oscilant.

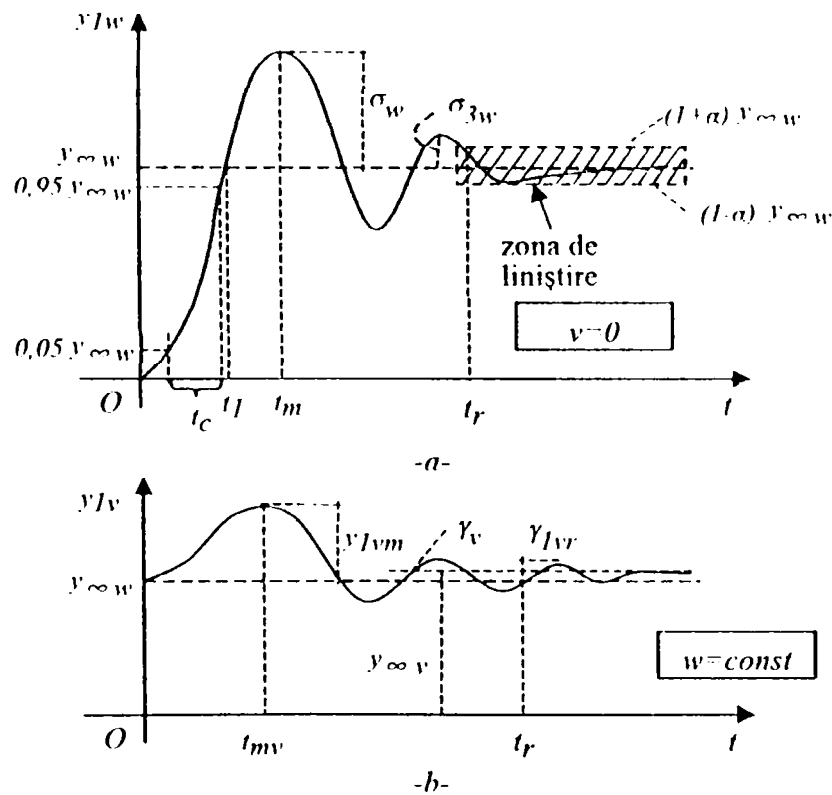


Fig. A.6. Aluri tipice pentru funcțiile indiciale.

- *timpul de primă reglare t_l* este intervalul de timp în care răspunsul sistemului atinge pentru prima dată valoarea staționară $y_{\infty w}$

- *timpul primului extrem t_m* este intervalul de timp în care răspunsul sistemului atinge primul maxim.

- *gradul de amortizare ψ* (indicele de oscilație) reprezintă variația relativă a amplitudinilor primelor două oscilații de polaritate pozitivă în raport cu $y_{\infty w}$, definit de relația:

$$\psi = \frac{\sigma_w - \sigma_{w3}}{\sigma_w} = 1 - \frac{\sigma_{w3}}{\sigma_w} = 1 - \delta \quad (\text{A.7})$$

$$\delta = \frac{\sigma_{v1}}{\sigma_w} \quad (\text{A.8})$$

- timpul de creștere t_c corespunde duratei de creștere a lui y pe frontul ascendent de la valoarea $0,05 \cdot y_{r,w}$ la valoarea $0,95 \cdot y_{r,w}$.

Pe baza funcției indiciale $y_{1c}(t)$ se definesc următorii indicatori de calitate:

- γ_c statismul în raport cu perturbația considerată reprezintă variația staționară a mărimii reglate sub acțiunea perturbației, în condițiile păstrării constante a mărimii de conducere:

$$\gamma_c = y_{v,m} - y_{w,w}, \quad w = const \quad (\text{A.9})$$

- $y_{v,m}$ abaterea maximă în raport cu mărimea de perturbație

- t_m momentul producerii lui $y_{v,m}$

- $y_{1c,r}$ abaterea reziduală maximă

$$- y_{1c,r} = \max\{y_{1c}(t) - y_{w,w} \mid t \geq t_r\} \quad (\text{A.10})$$

În cazurile când alurile răspunsurilor indiciale diferă de cele tipice reprezentate în fig. A.6, este posibil să fie necesari și alți indicatori de calitate sau, dimpotrivă, unii dintre indicatori să fie de prisos. [Dra 86]

O reglare se consideră corespunzătoare atunci când sunt satisfăcute condiții de tip limitativ de forma:

$$t_r \leq t_{max}, \sigma_v \% \leq \sigma_{v,max} \%, t_l \leq t_{l,max} \quad \text{\textit{s.a.m.d.}} \quad (\text{A.11})$$

Excepție face gradul de amortizare pentru care condiția de tip limitativ are aspectul:

$$\psi \geq \psi_{min} \quad (\text{A.12})$$

Valorile limită $t_{max}, \sigma_{v,max} \%, \dots, \psi_{min}$ numite performanțe impuse sunt bine precizate, ele fiind stabilite de tehnologii de proces și folosite în proiectare.

De obicei nu este posibilă și nici necesară asigurarea tuturor condițiilor de tip limitativ. În situațiile curente se impun doar câteva astfel de cerințe, îndeplinirea lor fiind adesea contradictorie. [Dra 86]

A.3.2. Indicatori de calitate integrali

Pentru definirea indicatorilor de calitate integrali, în figura A.7. s-au reluat, pentru un sistem de reglare automată de tip oscilant amortizat caracteristicile dinamice din figura A.6.

Cu cât eroarea de reglare $\varepsilon = y(t) - y_w$ este mai mică, cu atât calitatea procesului de reglare este mai bună.

Deci, aria hașurată observabilă prin integrala:

$$J_1 = \int_0^{\infty} |\varepsilon| \cdot dt \quad (\text{A.13})$$

reprezintă o foarte bună măsură pentru aprecierea abaterii procesului tranzitoriu real față de cazul ideal, adică un indicator de calitate global. Cu alte cuvinte, se poate spune că integrala (A.13.) penalizează cumulativ în timp abaterile menționate. [Dra 86]

Criteriile de optimizare dinamică își propun să minimizeze aria precizată.

Funcția obiectiv J_1 reprezintă integrala valorii absolute a erorii, cunoscută în general sub denumirea de „integral of absolute error” (IAE).

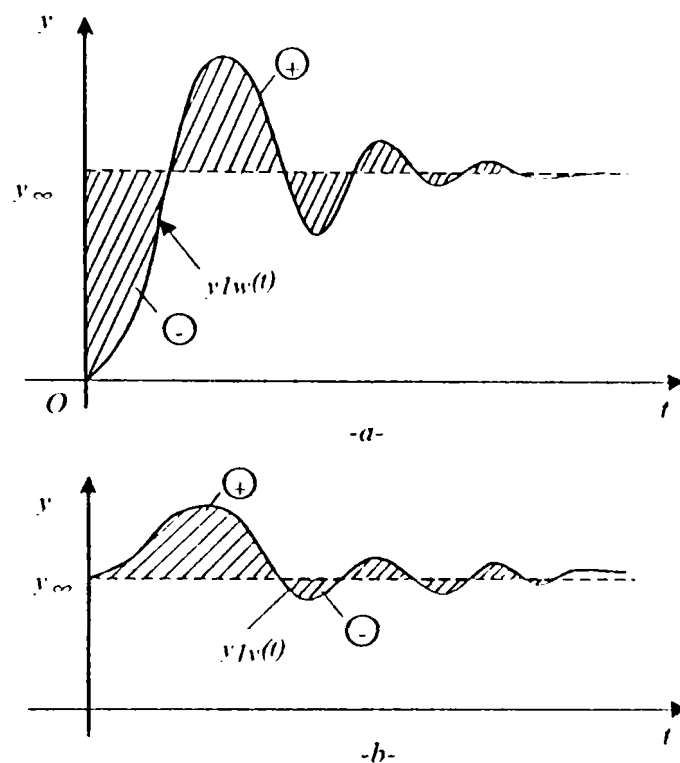


Fig. A.7. Caracteristicile dinamice folosite pentru definirea indicatorilor de calitate integrali

În practică se folosește frecvent funcția obiectiv pătratică:

$$J_2 = \int_0^{\infty} \varepsilon^2 dt \quad (\text{A.14})$$

Relația (A.14) reprezintă integrala pătratului erorii (integral of squared error - ISE). Minimizarea acestui criteriu integral pătratic asigură un optim pentru regimul tranzitoriu, în sensul obținerii unei apropieri de regimul ideal.

În multe cazuri, criteriile integrale pătratice au un obiectiv combinat, urmărind nu numai optimizarea regimului tranzitoriu, ci o optimizare care asigură un compromis între o calitate bună a regimului tranzitoriu și a unui obiectiv suplimentar.

De cele mai multe ori, în practică al doilea obiectiv vizează reducerea consumului de energie pentru acțiunea de reglare automată.

Dacă în relația (A.13.) se introduce o ponderare cu valorile timpului t , se obține funcția criteriu:

$$J_3 = \int_0^{\infty} t|\varepsilon| dt \quad (\text{A.15})$$

Relația (A.15) reprezintă integrala produsului dintre timp și valoarea absolută a erorii (integral of time multiplied by absolute error - ITAE).

Calitatea regimului tranzitoriu devine mai bună dacă, odată cu limitarea valorilor erorii, se asigură și o limitare a valorilor derivatei $\dot{\varepsilon}$, deoarece în acest caz variația erorii nu poate avea pante mari și ca urmare se evită suprareglajele ridicate.

Această limitare se poate asigura de un criteriu pătratic de forma:

$$J_4 = \int_0^{\infty} (\varepsilon^2 + T_r^2 \dot{\varepsilon}^2) dt \quad (\text{A.16})$$

unde T_r este o constantă de timp care ponderează contribuția celui de-al doilea termen. [Cal 79]

Prin considerarea derivatelor de ordin superior, se obține un criteriu de forma:

$$J_5 = \int_0^{\infty} \left[A_0 \varepsilon^2 + A_1 \left(\frac{d\varepsilon}{dt} \right)^2 + \dots + A_n \left(\frac{d^n \varepsilon}{dt^n} \right)^2 \right] dt \quad (\text{A.17})$$

unde A_0, A_1, \dots, A_n sunt coeficienți de ponderare. [Cal 79]

Un alt indicator de calitate care urmărește atât realizarea unui proces tranzitoriu cât și un efort de comandă cât mai redus este:

$$J_6 = \int_0^{\infty} \{ \varepsilon^2 + \rho^2 [u(t) - u_{\infty}]^2 \} dt \quad (\text{A.18})$$

unde ρ reprezintă un coeficient de ponderare al comenzii, iar u_{∞} valoarea de regim staționar a lui u care asigură nivelul y_{∞} al lui y . [Dra 86]

Generalizând cele prezentate, se poate spune că indicatorii de calitate integrali sunt funcționale de forma:

$$J_6 = \int_{t_0}^{t_f} F(\xi(t), t) dt \quad (\text{A.19})$$

în care F reprezintă o funcție de vectorul ξ al variabilelor caracteristice ale sistemului de reglare automată și de timp, $\xi(t)$ traiectoriile admisibile ale acestor variabile pe intervalul $[t_0, t_f]$, iar t_0 și t_f timpul inițial, respectiv final.

Utilizarea criteriilor integrale are avantajul că ele folosesc numai eroarea, derivatele acesteia și mărimea de comandă u , deci numai mărimi ușor măsurabile.

În proiectarea sistemelor de reglare automată indicatorii de calitate se folosesc în două moduri principial diferite: [Dra 86]

În cazul în care indicatorul se asociază cu sistemul de reglare în ansamblu, problema se pune astfel: se cunoaște structura sistemului de reglare, inclusiv a regulatorului și se cere determinare valorilor parametrilor regulatorului pentru care, la variații ale mărimilor de intrare și în condiții inițiale specificate, J obține o valoare minimă.

În cazul în care indicatorul se asociază numai procesului condus, problema constă în determinare comenzii ce trebuie aplicată la intrarea unui proces cu o structură cunoscută, aflat în condiții inițiale date, pentru ca J să fie minimă.

În [Dra 86] se găsește o prezentare detaliată a indicatorilor de calitate definiți în răspunsul indicial al sistemelor de reglare automată în raport cu mărimea de conducere.

A.4. Aprofundarea studiului de caz nr. 1

În paragrafele A.4., A.5., A.6. și A.7. se aprofundează studiile de caz din paragrafele 5.2.3. și 5.2.4. În aceste paragrafe, rezultatele obținute sunt testate prin simulare, iar pentru fiecare studiu de caz în parte se reprezintă grafic răspunsul sistemului de reglare automată la o intrare treaptă unitară, sau intrare treaptă unitară și perturbație treaptă unitară negativă. Figurile au pe abscisă timpul, măsurat în secunde, iar pe ordonată răspunsul $y(t)$ al sistemului la intrare treaptă unitară în timpul de simulare t_{\max} . În toate cazurile se schițează și evoluția algoritmului genetic – fitnessul mediu al populației (notat cu M) și deviața standard a funcției Fitness (notată cu S) - de-a lungul generațiilor.

A.4.1. Studiu de caz nr. 1.1.

Studiul de caz nr. 1.1. aprofundează Studiul de caz nr. 1 din paragraful 5.2.3.1 cu obiectivele de performanță identice, dar cu parametri algoritmului genetic modificați după relația (A.20):

$$\text{Mărimea populației } N = 20, \quad \text{Număr maxim de generații} = 15 \quad (\text{A.20})$$

Algoritmul genetic a fost capabil să găsească 11 soluții asemănătoare cu cele din tabelul 5.1, care îndeplinesc complet cerințele de performanță impuse. Aceste soluții sunt prezentate în Tabelul A.1.

Tabel A.1. Soluțiile obținute în studiul de caz nr. 1.1.

Număr soluție	Kp	Td	Ti	Fitness
1	0.7700	7.9677	10.0000	1.0000
2	0.8031	9.9312	9.2769	1.0000
3	1.1360	7.8026	9.8363	1.0000
4	0.7494	9.9988	8.6778	1.0000
5	0.7428	9.7028	8.7428	1.0000
6	0.7756	8.2649	9.2769	1.0000
7	0.7372	10.0000	8.5272	1.0000
8	0.8772	9.9621	9.5251	1.0000
9	1.1345	7.8025	9.8370	1.0000
10	1.1342	7.8025	9.8353	1.0000
11	0.9244	9.9501	9.7846	1.0000

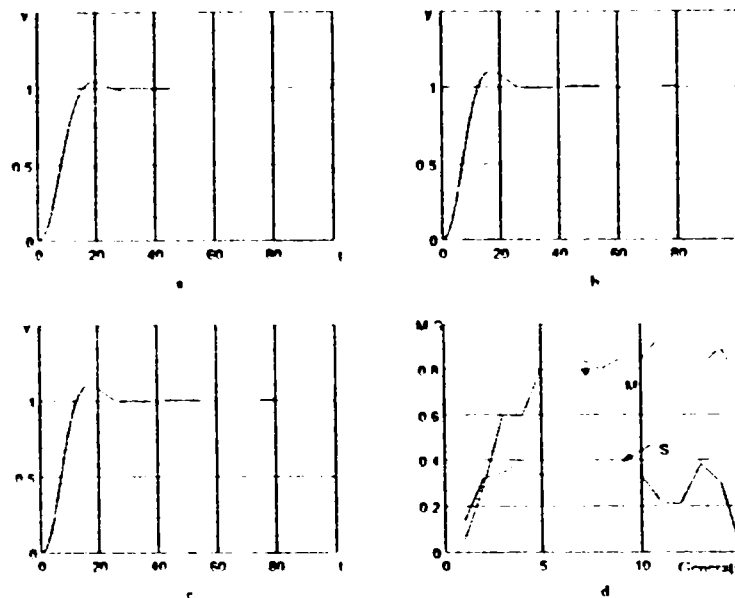


Fig. A.8. Rezultatele obținute prin simulare folosind soluțiile din tabelul A.1.

Figurile A.8 a, A.8 b și A.8 c corespund cu soluțiile 1, 5 și respectiv 9 din tabelul A.1., iar $t_{max} = 100\text{sec}$.

Analizând figura A.8 se observă că problema acordării optime a unui regulator PID se poate rezolva folosind algoritmi genetici cu o populație mai redusă și cu un număr mai mic de generații.

Tabelul A.2. prezintă procesul genetic în cele 15 generații.

Tabel A.2. Procesul genetic în studiul de caz nr. 1.1.

Generația	Fitness	M	S
1	0.3248	0.0449	0.1303
2	0.7891	0.2866	0.3193
3	0.8296	0.5880	0.3478
4	0.8353	0.5909	0.4020
5	0.9468	0.6004	0.3286
6	0.9488	0.7732	0.3901
7	0.9951	0.8431	0.3389
8	0.9999	0.7992	0.3673
9	1.0000	0.8451	0.3477
10	1.0000	0.8431	0.3290
11	1.0000	0.9494	0.2150
12	1.0000	0.9373	0.2104
13	1.0000	0.8124	0.3864
14	1.0000	0.8912	0.3027
15	1.0000	0.7491	-

A.4.2. Studiu de caz nr. 1.2.

Studiul de caz nr. 1.2. aprofundează Studiul de caz nr. 1.1. cu parametri algoritmului genetic identici, dar cu cu obiectivele de performanță modificate după relația (A.21):

$$t_1=20 \text{ sec}, t_2=40 \text{ sec}$$

(A.21)

Algoritmul genetic a găsit 9 soluții foarte asemănătoare care îndeplinesc complet cerințele de performanță impuse. Aceste soluții sunt prezentate în Tabelul A.3.

Tabel A.3. Soluțiile obținute în studiul de caz nr. 1.2.

Număr soluție	Kp	Td	Ti	Fitness
1	1.1888	8.2790	9.8015	1.0000
2	1.1831	8.2759	9.8017	1.0000
3	1.1891	8.2823	9.8014	1.0000
4	1.1969	8.2328	9.8014	1.0000
5	1.2021	8.2411	9.8019	1.0000
6	1.2036	8.2386	9.8023	1.0000
7	1.2018	8.2387	9.8024	1.0000
8	1.1943	8.2396	10.0000	1.0000
9	1.2021	8.2411	9.8019	1.0000

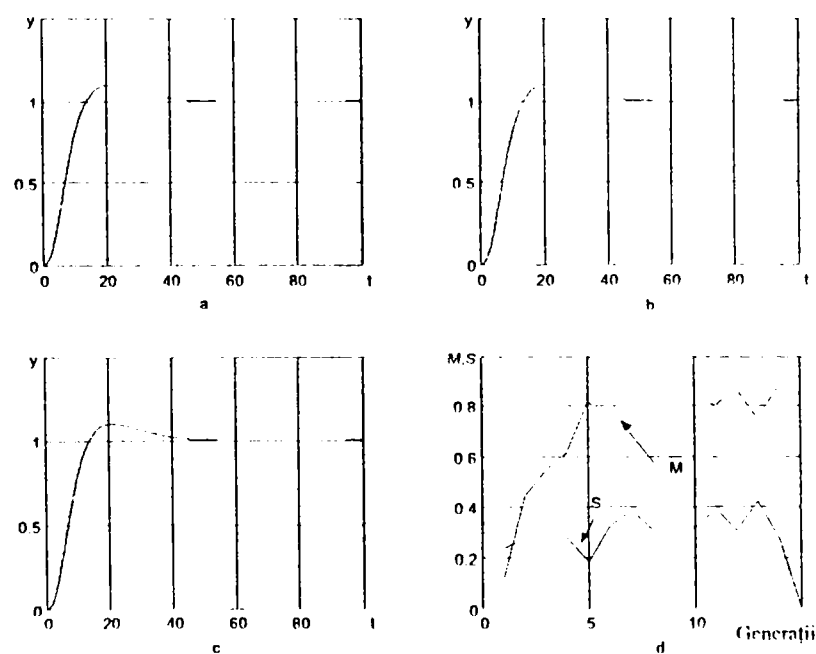


Fig. A.9. Rezultatele obținute prin simulare folosind soluțiile din tabelul A.3.

Figurile A.9 a, A.9 b și A.9 c corespund cu soluțiile 1, 2 și respectiv 8 din tabelul A.3., iar $t_{\max} = 100 \text{ sec}$. Soluțiile obținute îndeplinesc condițiile de performanță impuse.

Tabelul A.4. prezintă procesul genetic în cele 15 generații.

Tabel A.4. Procesul genetic în studiul de caz nr. 1.2.

Generația	Fitness	M	S
1	0.5348	0.1123	0.2339
2	0.7219	0.4405	0.2751
3	0.8263	0.5458	0.2805
4	0.9142	0.6119	0.2826

5	0.9273	0.8179	0.1832
6	0.9676	0.7638	0.3266
7	0.9890	0.7191	0.3877
8	0.9999	0.8172	0.3115
9	1.0000	0.8282	0.3286
10	1.0000	0.8392	0.3164
11	1.0000	0.8026	0.3938
12	1.0000	0.8723	0.3060
13	1.0000	0.7507	0.4218
14	1.0000	0.8820	0.2721
15	1.0000	0.8477	-

În concluzie, prin modificarea cerințelor de performanță impuse, se modifică în mod corespunzător soluțiile obținute folosind algoritmi genetici.

A.5. Aprofundarea studiului de caz nr. 2

A.5.1. Studiu de caz nr. 2.1.

Studiul de caz nr. 2.1. aprofundează Studiul de caz nr. 2 din paragraful 5.2.3.2., cu obiectivele de performanță identice, dar cu parametri algoritmului genetic modificați după relația (A.22):

$$\text{Mărimea populației } N = 20, \quad \text{Număr maxim de generații} = 15 \quad (\text{A.22})$$

Algoritmul genetic a fost capabil să găsească 8 soluții asemănătoare cu cele din tabelul 5.4, care îndeplinesc complet cerințele de performanță impuse. Aceste soluții sunt prezentate în Tabelul A.5.

Tabel A.5. Soluțiile obținute în studiul de caz nr. 2.1.

Număr soluție	Kp	Td	Ti	Fitness
1	3.2715	3.7933	19.9938	1.0000
2	3.4561	5.7011	16.6524	1.0000
3	3.3504	5.9057	16.5177	1.0000
4	3.3435	5.9063	16.5209	1.0000
5	3.2238	8.0271	12.3972	1.0000
6	3.3435	5.9092	19.3590	1.0000
7	3.1481	4.8862	16.9129	1.0000
8	3.2668	3.9850	18.7449	1.0000

Figurile A.10 a și A.10 b corespund cu soluțiile 1 și 4 din tabelul A.5. Răspunsul obținut satisface cerințele impuse, deoarece se încadrează complet în zona admisă. Totuși, analizând răspunsul obținut, se constată că el prezintă o cvasi-ondulație mai accentuată pentru $t \in (10, 20 \text{ sec})$.

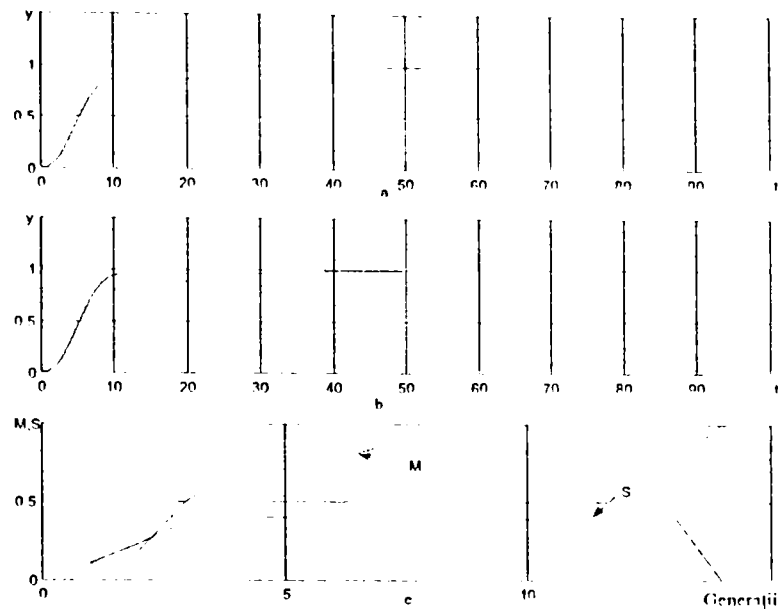


Fig. A.10. Rezultatele obținute prin simulare folosind soluțiile din tabelul A.5.

Problema acordării optime a unui regulator PID în raport cu o intrare treaptă unitară și o perturbație treaptă unitară negativă este mai dificilă pentru algoritmi genetici decât problema din Studiul de caz nr.1, iar rezultatele obținute prin reducerea numărului de indivizi și a numărului de generații sunt mai puțin performante.

Tabelul A.6. prezintă procesul genetic în cele 15 generații.

Tabel A.6. Procesul genetic în studiul de caz nr. 2.1.

Generația	Fitness	M	S
1	0.3849	0.0931	0.1020
2	0.8953	0.1819	0.2271
3	1.0000	0.5126	0.3764
4	1.0000	0.6648	0.3955
5	1.0000	0.7621	0.3995
6	1.0000	0.7603	0.4264
7	1.0000	0.8647	0.3250
8	1.0000	0.8676	0.3235
9	1.0000	0.8252	0.3610
10	1.0000	0.8073	0.3896
11	1.0000	0.7690	0.4047
12	1.0000	0.8468	0.3477
13	1.0000	0.7515	0.4234
14	1.0000	1.0000	0
15	1.0000	0.7691	-

Analizând rezultatele din tabelul A.6, se observă că evoluția algoritmului genetic este necorespunzătoare. Datorită faptului că încă în generația 3 s-a găsit o soluție care satisface complet cerințele de performanță impuse, iar pe parcursul evoluției s-au găsit multe soluții cu Fitnessul maxim, în generația 14 populația conține numai indivizi cu Fitness = 1, unde $M = 1$ și $S = 0$.

Cu toate că soluțiile găsite îndeplinesc complet cerințele de performanță impuse, ele nu sunt corespunzătoare. Aceasta înseamnă că în cazul acordării optime a unui regulator PID la intrare treaptă unitară și o perturbație treaptă unitară negativă este necesară modificarea cerințelor de performanță impuse.

A.5.2. Studiu de caz nr. 2.2.

Studiul de caz nr. 2.2. aprofundează Studiul de caz nr. 2 din paragraful 5.2.3.2, cu parametri algoritmului genetic identici, dar cu o cerință suplimentară pentru obiectivele de performanță.

La relația (5.3) se adaugă un termen suplimentar dat de relația (A.23):

$$-c_5 \int_0^{t_3} [\max\{0, \dot{y}_i(t)\}] dt \quad (\text{A.23})$$

unde observând răspunsul sistemului din figura A.10, s-a ales pentru t_3 valoarea 35. Semnul negativ se bazează pe raționamentul următor: unui individ i care produce un răspuns mai rapid în perioada $[0, t_3]$ trebuie să-i corespundă o valoare mai mică pentru $J_i(\text{param}_i)$, deci o valoare mai mare pentru $Fitness_i$, unde pentru $Fitness_i$ s-a folosit relația (5.5).

Prin această modificare, performanța unui individ este dată de relația:

$$J_i(\text{param}_i) = c_1 \int_0^{t_2} [\max\{y_i(t) - f_4, 0\}] dt + c_2 \int_{t_1}^{t_2} [\max\{f_1 - y_i(t), 0\}] dt + \\ + c_3 \int_{t_2}^{t_{\max}} [\max\{y_i(t) - f_3, 0\}] dt + c_4 \int_{t_2}^{t_{\max}} [\max\{f_2 - y_i(t), 0\}] dt - c_5 \int_0^{t_3} [\max\{0, \dot{y}_i(t)\}] dt \quad (\text{A.24})$$

Coeficienții de ponderare s-au ales: $c_1 = c_2 = c_3 = c_4 = c_5 = 0,2$.

Algoritmul genetic a fost capabil să găsească 9 soluții asemănătoare cu cele din tabelul 5.4, care îndeplinesc cerințele de performanță impuse. Aceste soluții sunt prezentate în Tabelul A.7.

Tabel A.7. Soluțiile obținute în studiul de caz nr. 2.2.

Număr soluție	Kp	Td	Ti	Fitness
1	3.6421	7.6012	13.5851	1.0000
2	3.7932	8.2957	18.7348	1.0000
3	3.7675	7.6194	18.1248	1.0000
4	3.5984	6.0182	13.5851	1.0000
5	3.8120	7.2839	17.6170	1.0000
6	3.5910	6.9649	17.5260	1.0000
7	3.1481	4.8862	16.9129	1.0000
8	3.8691	8.3002	20.0000	1.0000
9	3.7272	6.2890	16.5653	1.0000

Figurile A.11 a și A.11 b corespund cu soluțiile 1 și 3 din tabelul A.7. Răspunsul obținut satisface cerințele impuse.

Aprofundarea Studiului de caz nr. 2 demonstrează că problema acordării optime a unui regulator PID la intrare treaptă unitară și o perturbație treaptă unitară negativă se poate rezolva folosind algoritmi genetici. În abordarea acestei probleme este important felul în care

se stabilesc obiectivele de performanță. În plus, soluțiile obținute sunt mai bune în cazul unei populații mai mari și a unui număr mai mare de generații.

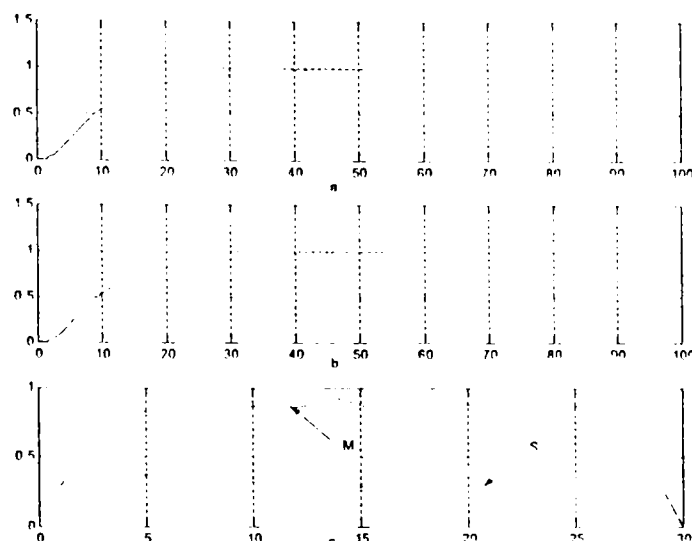


Fig. A.11. Rezultatele obținute prin simulare folosind soluțiile din tabelul A.7.

A.6. Aprofundarea studiului de caz nr. 3

A.6.1. Studiu de caz nr. 3.1.

Studiul de caz nr. 3.1. aprofundează Studiul de caz nr. 3 din paragraful 5.2.4.1. cu obiectivele de performanță identice, dar cu parametri algoritmului genetic modificați după relația:

$$t_1=20 \text{ sec}, t_2=40 \text{ sec} \quad (\text{A.25})$$

Pentru calculul funcției Fitness s-a folosit relația (5.16).

Algoritmul genetic a fost capabil să găsească 5 soluții asemănătoare cu cele din tabelul 5.7, care îndeplinesc cerințele de performanță impuse. Aceste soluții sunt prezentate în Tabelul A.8.

Tabel A.8. Soluțiile obținute în studiul de caz nr. 3.1.

Număr soluție	Kp	Ti	Fitness
1	0.6643	9.2772	0.0100
2	0.6628	9.2787	0.0100
3	0.6597	9.2719	0.0100
4	0.6685	9.2753	0.0100
5	0.6539	9.2654	0.0100

Figurile A.12 a, A.12 b și A.12 c corespund cu soluțiile 1, 2 și respectiv 4 din tabelul A.8., iar $t_{\max} = 200\text{sec}$.

Analizând figura A.8 se observă că problema acordării optime a unui regulator PI pentru un proces cu timp mort se poate rezolva folosind algoritmi genetici cu o populație mai redusă și cu un număr mai mic de generații.

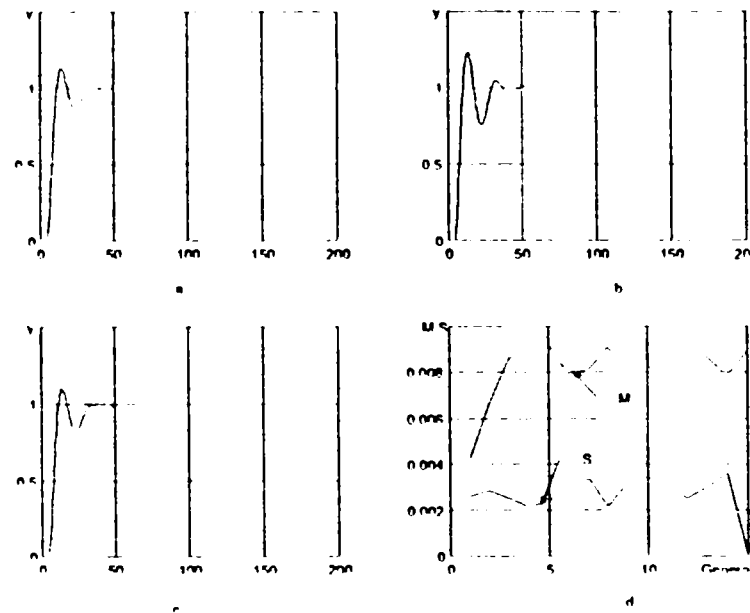


Fig. A.12. Rezultatele obținute prin simulare folosind soluțiile din tabelul A.8.

A.6.2. Studiu de caz nr. 3.2.

Studiul de caz nr. 3.2. aprofundează Studiul de caz nr. 3.1. cu aceiași parametri pentru algoritmul genetic, dar obiectivele de performanță se modifică după relația:

$$t_1=20 \text{ sec}, t_2=30 \text{ sec.} \quad (\text{A.26})$$

Pentru calculul funcției Fitness s-a folosit relația (5.16).

Algoritmul genetic a fost capabil să găsească 4 soluții asemănătoare cu cele din tabelul 5.7, care îndeplinesc cerințele de performanță impuse. Aceste soluții sunt prezentate în Tabelul A.9.

Tabel A.9. Soluțiile obținute în studiul de caz nr. 3.2.

Număr soluție	Kp	Ti	Fitness
1	0.7295	9.2022	0.0100
2	0.7265	9.1970	0.0100
3	0.7266	9.2239	0.0100
4	0.7266	9.7232	0.0097

Figurile A.13 a, A.13 b și A.13 c corespund cu soluțiile 1, 4 și respectiv 3 din tabelul A.9., iar $t_{\max} = 200\text{sec}$.

Analizând figura A.9 se observă că problema acordării optime a unui regulator PI pentru un proces cu timp mort se poate rezolva folosind algoritmi genetici cu o populație mai redusă și cu un număr mai mic de generații și prin modificarea cerințelor de performanță se obțin rezultate bune.

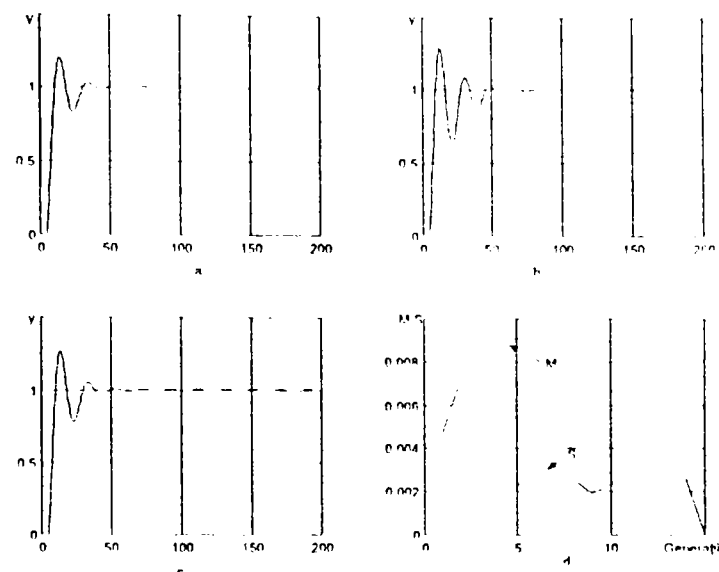


Fig. A.13. Rezultatele obținute prin simulare folosind soluțiile din tabelul A.9.

A.7. Aprofundarea studiului de caz nr. 4

A.7.1. Studiu de caz nr. 4.1.

Studiul de caz nr. 4.1. aprofundează Studiul de caz nr. 4 din paragraful 5.2.4.2 cu obiectivele de performanță identice, definite de relația (5.22), dar cu parametri algoritmului genetic modificați după relația (A.22).

Pentru calculul funcției Fitness s-a folosit relația (5.5).

Algoritmul genetic a fost capabil să găsească 3 soluții aproape identice, care îndeplinesc cerințele de performanță impuse. Aceste soluții sunt prezentate în Tabelul A.10.

Tabel A.10. Soluțiile obținute în studiul de caz nr. 4.1.

Număr soluție	Kp	Ti	Fitness
1	0.9043	9.4025	1.1651
2	0.9044	9.4027	1.1651
3	0.9049	9.4098	1.1647

Figurile A.14 a, A.14 b și A.14 c corespund cu soluțiile 1, 2 și respectiv 3 din tabelul A.10. Răspunsul obținut este mai puțin performant decât cel din fig. 5.21, unde s-a folosit un număr mai mare de generații și o populație mai numeroasă.

A.7.2. Studiu de caz nr. 4.2.

Studiul de caz nr. 4.2. aprofundează Studiul de caz nr. 4 cu obiectivele de performanță modificate după relația :

$$f_I=0.85, \quad t_I=20 \text{ sec.} \quad (\text{A.27})$$

și folosind algoritmi genetici cu o populație de 50 indivizi care evoluează 20 de generații.

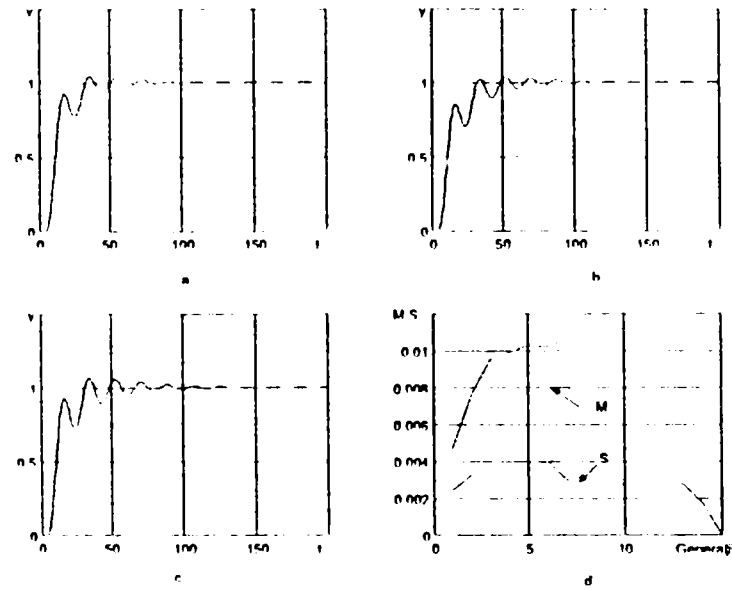


Fig. A.14. Rezultatele obținute prin simulare folosind soluțiile din tabelul A.10.

Pentru calculul funcției Fitness s-a folosit relația (5.16).

Algoritmul genetic a converș către o singură soluție prezentată în Tabelul A.11.

Tabel A.11. Soluțiile obținute în studiul de caz nr. 4.2.

Număr soluție	Kp	Ti	Fitness
1	1.1322	9.8206	0.0122

Figura A.14 a corespunde cu soluțiile soluția 1 din tabelul A.11. Răspunsul obținut este mult mai puțin performant decât cel din fig. 5.21.

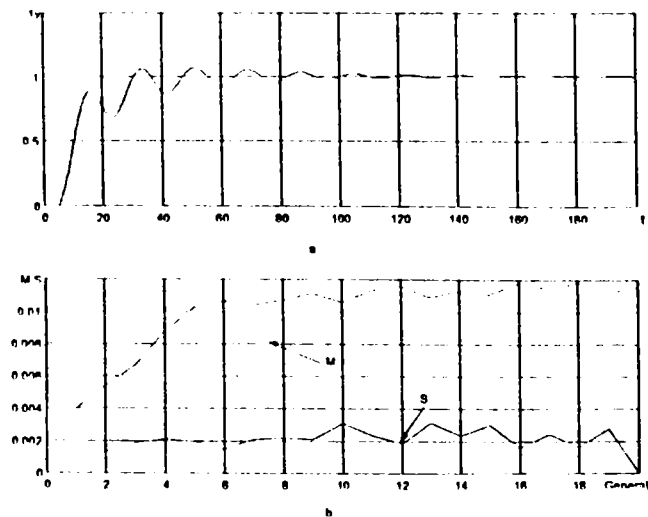


Fig. A.15. Rezultatele obținute prin simulare folosind soluțiile din tabelul A.11.

A.7.3. Studiu de caz nr. 4.3.

Studiul de caz nr. 4.3. aprofundează Studiul de caz nr. 4 cu obiectivele de performanță definite de utilizator prin reprezentarea grafică a răspunsului dorit, care devine referință.

Pe baza acestui grafic se crează în Workspace-ul mediului Matlab o matrice care conține pe prima coloană valorile timpului și pe a doua coloană valorile lui y_{ref} , așa cum se prezintă în figura A.16.

Linia 1	0.0	0.0
	0.5	0.2

	195.5	1.0
Linia 401	200.0	1.0

Coloana 1 Coloana 2
Timpul y_{ref}

Fig. A.16. Matricea care conține răspunsul y_{ref} .

În această aplicație, matricea care conține răspunsul y_{ref} s-a obținut experimental astfel:

- S-a memorat răspunsul sistemului obținut în paragraful A.7.2. într-o matrice A.
- S-au modificat manual valorile care nu corespund cu condițiile de performanță dorite, obținându-se o matrice B.
- Matricea C cu răspunsul y_{ref} este matricea B transpusă

În figura A.17 se reprezintă răspunsul de referință y_{ref} stabilit. Funcția Fitness se calculează pe baza schemei bloc din figura 5.9, în care modelul etalon se înlocuiește cu un bloc Simulink care preia din Workspace matricea C.

Modelul Simulink folosit este prezentat în Anexa B, figura B.19.

Algoritmul genetic conține o populație de 50 indivizi și a fost lăsat să evolueze pe durata a 30 de generații.

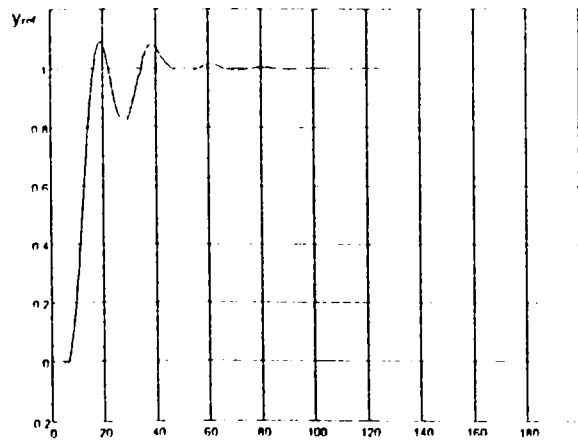


Fig. A.17. Răspunsul y_{ref} stabilit prin matricea C

Algoritmul genetic a converș către o singură soluție prezentată în Tabelul A.12.

Tabel A.12. Soluțiile obținute în studiul de caz nr. 4.3.

Număr soluție	Kp	Ti	Fitness
1	0.9043	9.4025	1.1651

Figura A.18 reprezintă răspunsul sistemului de reglare automată la o intrare treaptă unitară și o perturbație treaptă unitară negativă folosind soluția 1 din tabelul A.12, comparativ cu răspunsul y_{ref} stabilit prin matricea C.

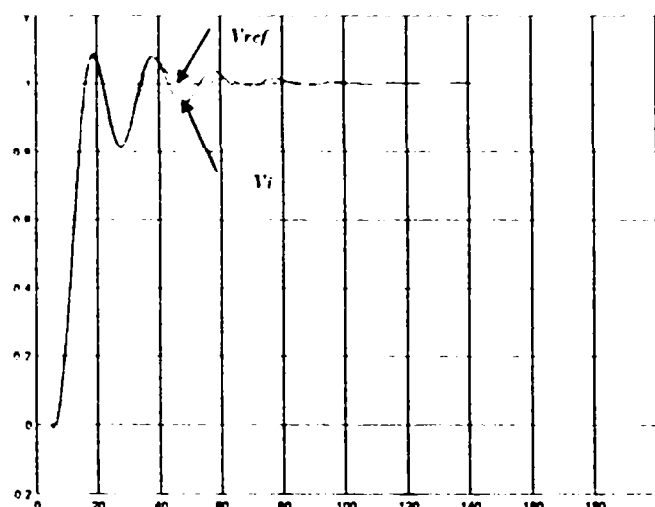


Fig. A.18. Răspunsul y_i obținut cu soluția din tabelul A.12, comparativ cu y_{ref} stabilit prin matricea C.

Răspunsul obținut este performant, curba y_i urmărind îndeaproape curba y_{ref} .

În concluzie, problema sintezei unui regulator PI în raport cu o intrare treaptă unitară și o perturbație treaptă unitară negativă, pentru un sistem automat cu un proces cu timp mort se poate rezolva folosind algoritmi genetici, în condițiile stabilirii cât mai detaliate a obiectivelor de performanță și folosind o populație de cel puțin 30 indivizi, care evoluează cel puțin 30 de generații.

ANEXA B

B.1. Modele Simulink

În această anexă se prezintă modelele Simulink folosite în studiile de caz din capitolul 5, capitolul 6 și din Anexa A.

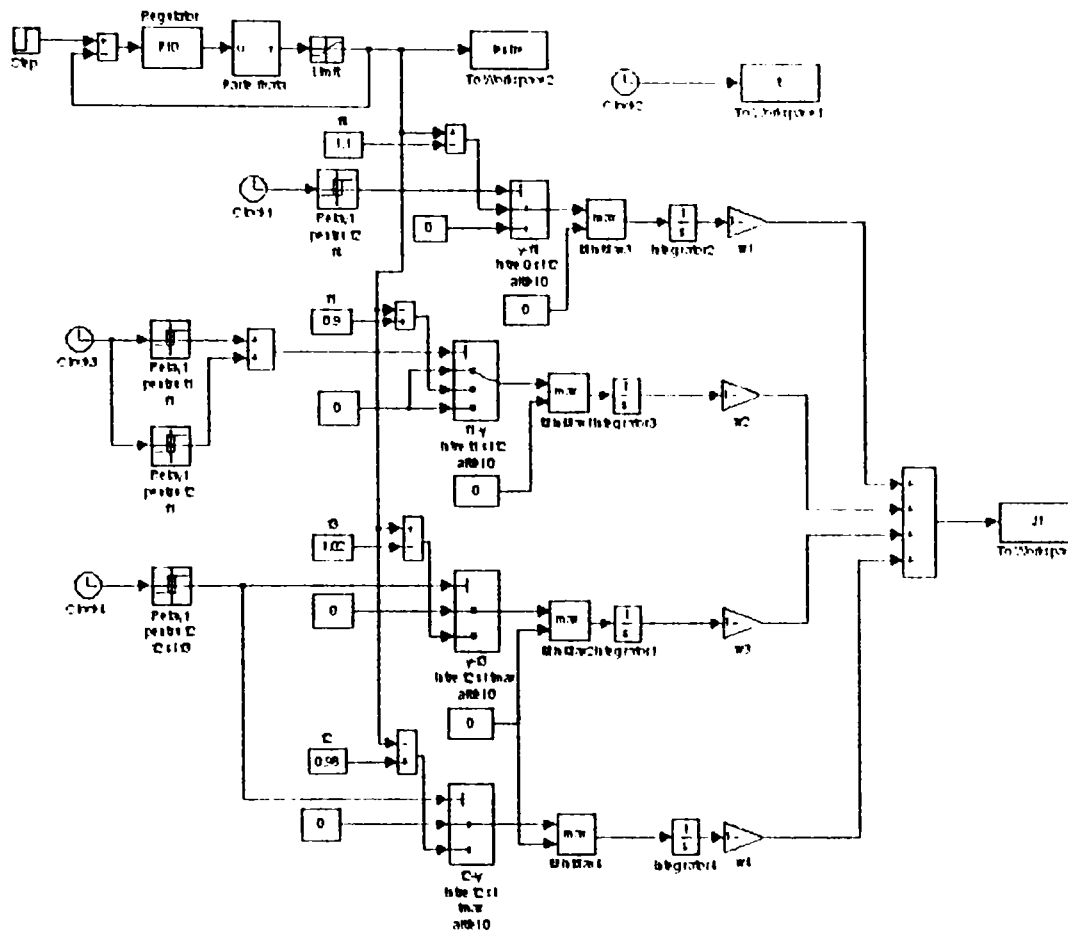


Fig. B.1. Modelul Simulink din studiul de caz nr. 1

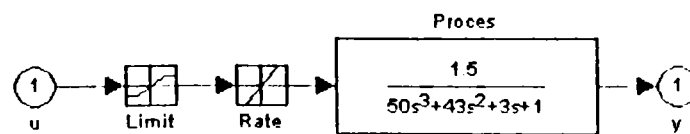


Fig. B.2. Modelul părții fixate din figura B.1.

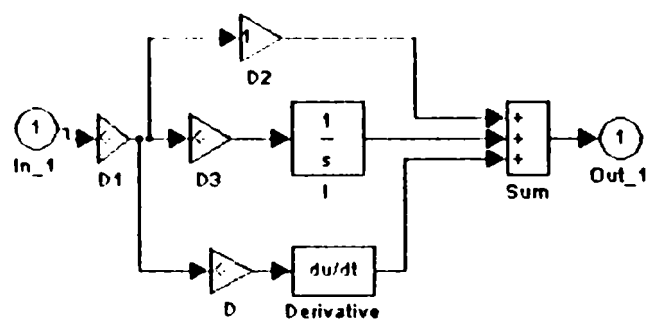


Fig. B.3. Modelul regulatorului PID din figura B.1

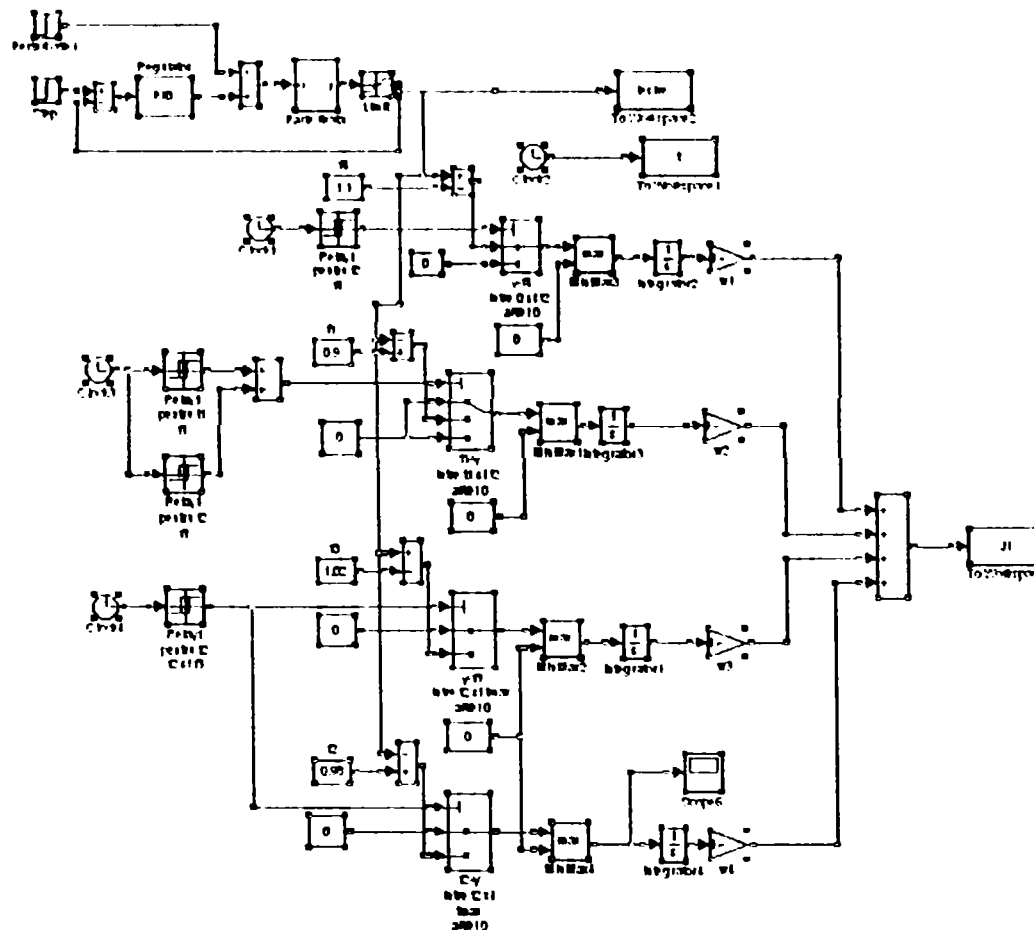


Fig. B.4. Modelul Simulink din studiul de caz nr. 2

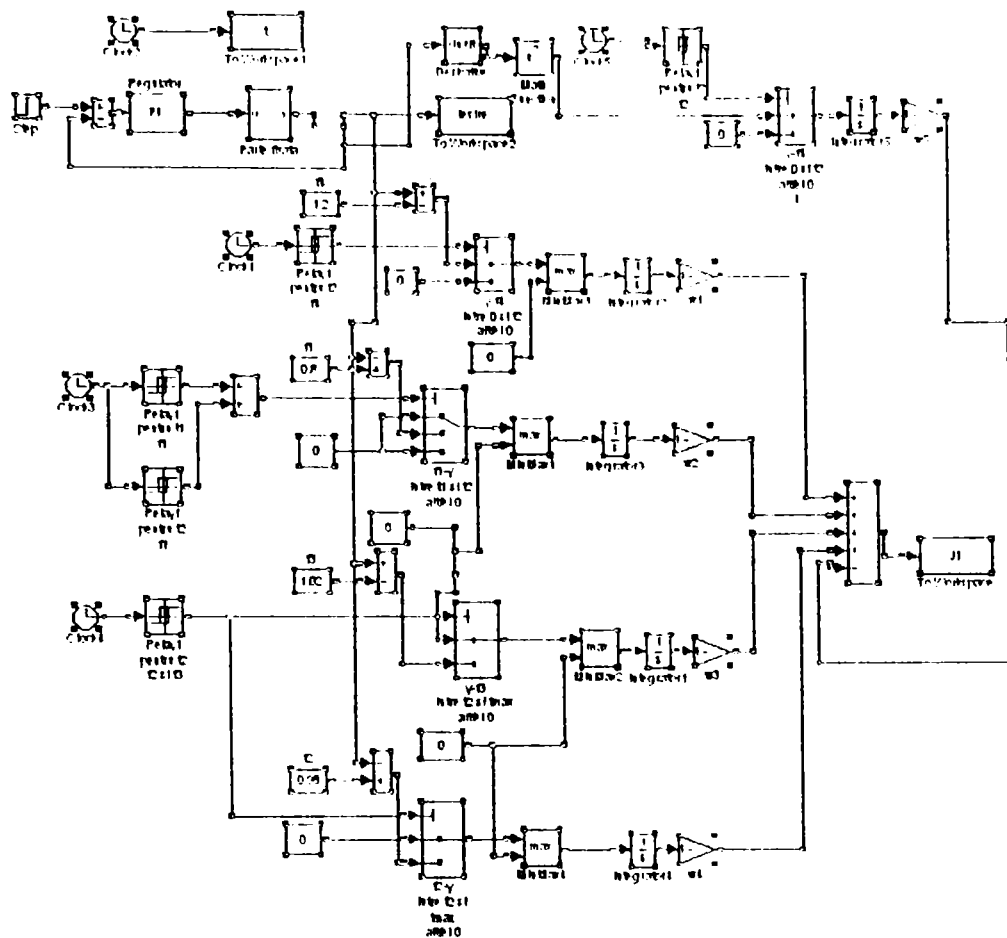


Fig. B.5. Modelul Simulink din studiul de caz nr. 3

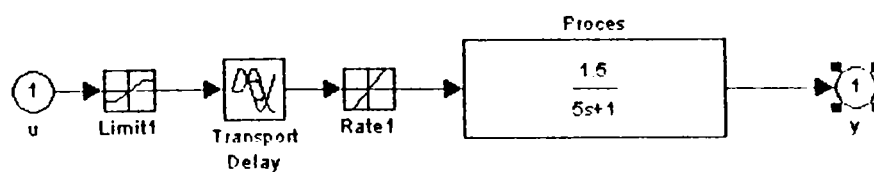


Fig. B.5. Modelul părții fixate din figura B.5

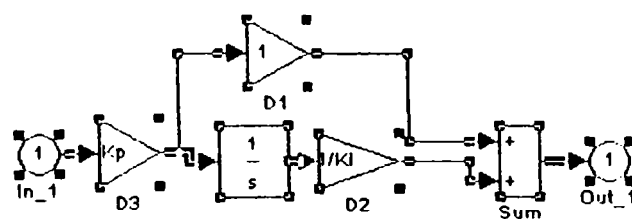


Fig. B.6. Modelul regulatorului PI din figura B.5

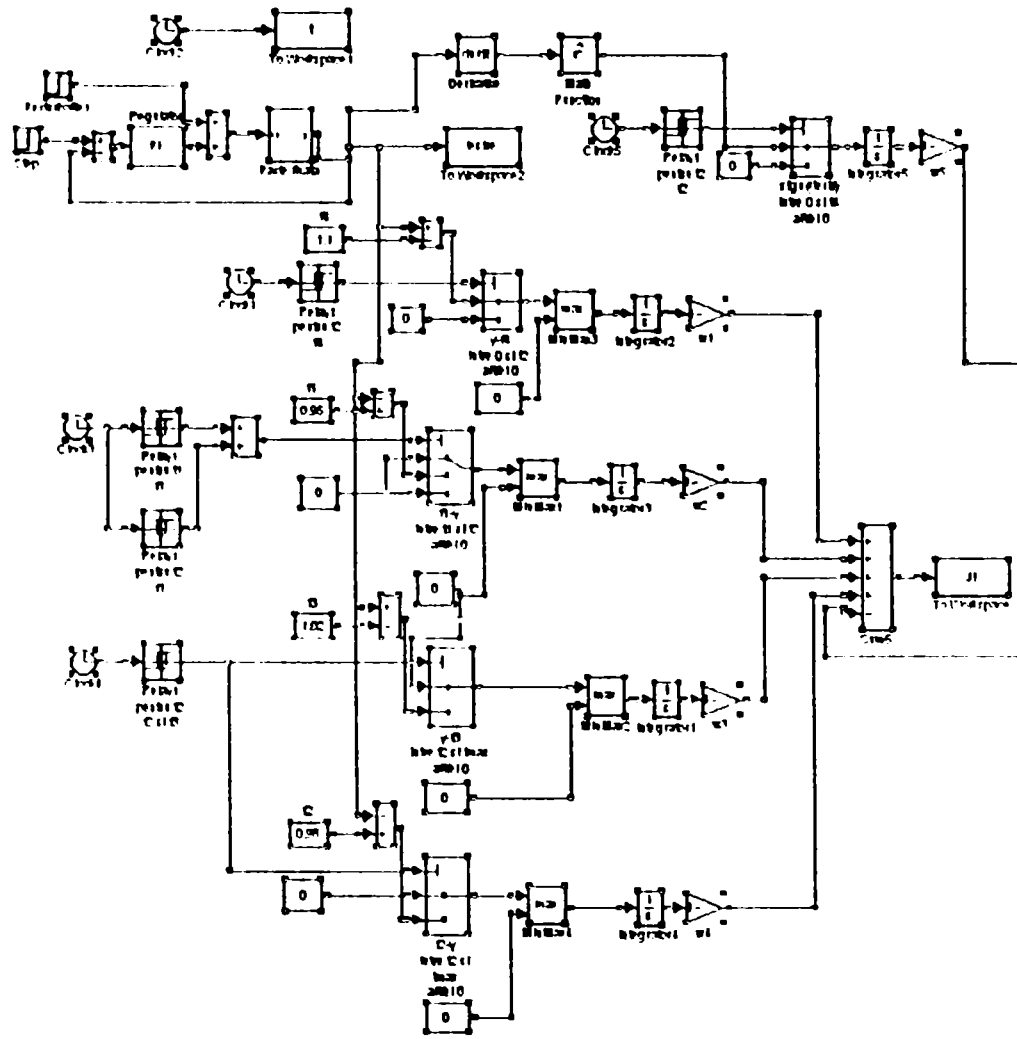


Fig. B.7. Modelul Simulink din studiul de caz nr. 4, folosind performanța definită cu relația (5.13)

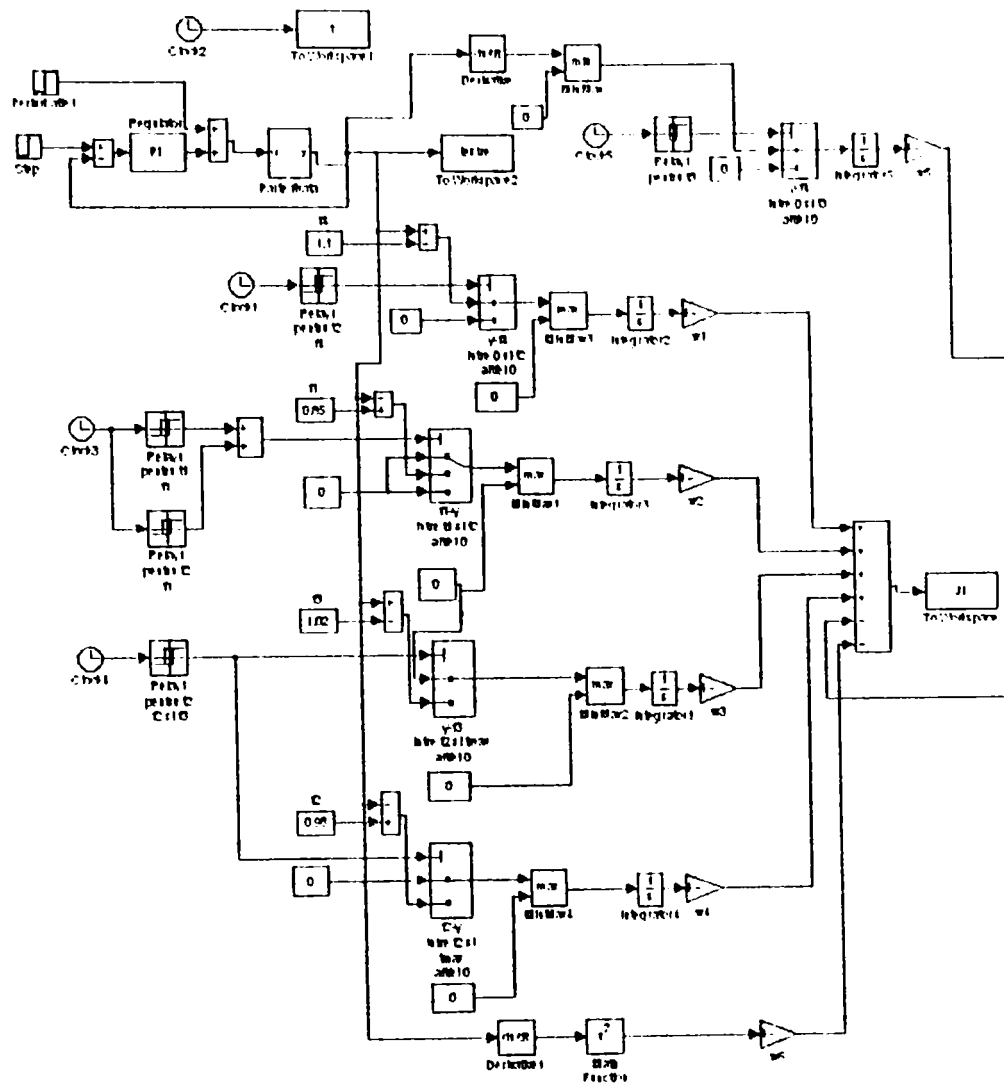


Fig. B.8. Modelul Simulink din studiul de caz nr. 4, folosind performanța definită cu relația (5.15)

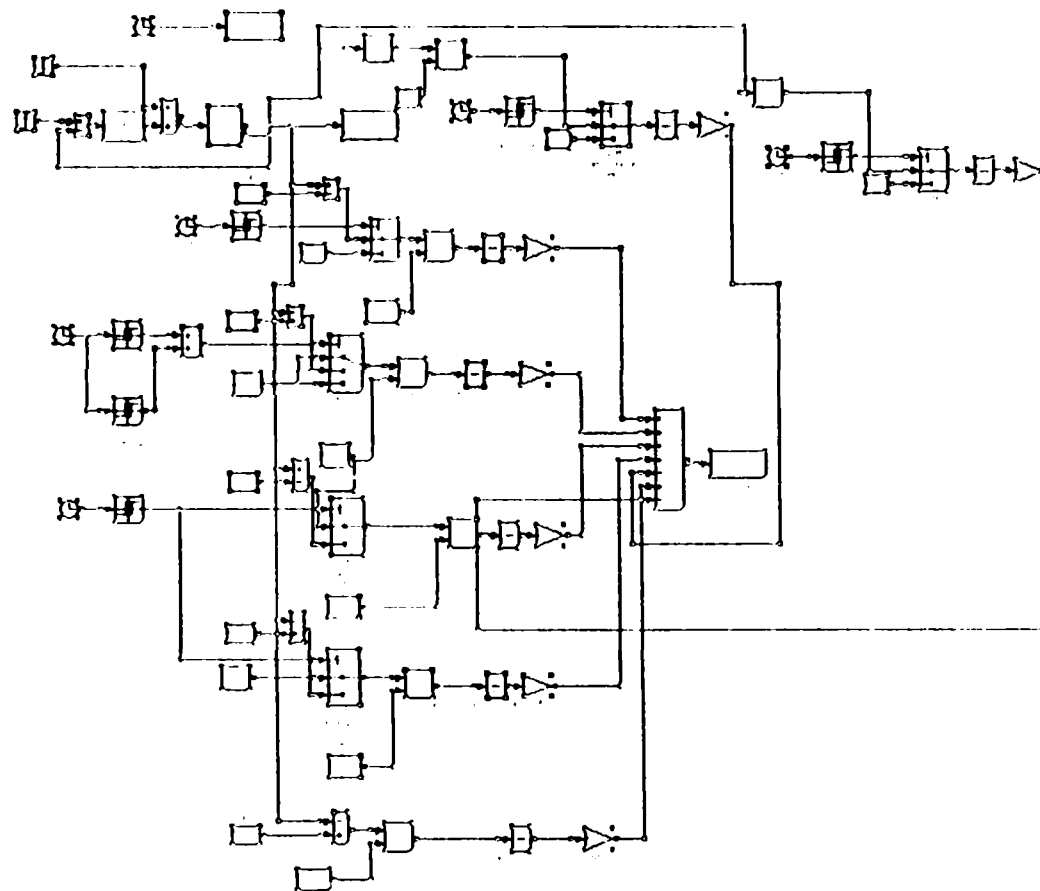


Fig. B.9. Modelul Simulink din studiul de caz nr. 4, folosind performanța definită cu relația (5.18)

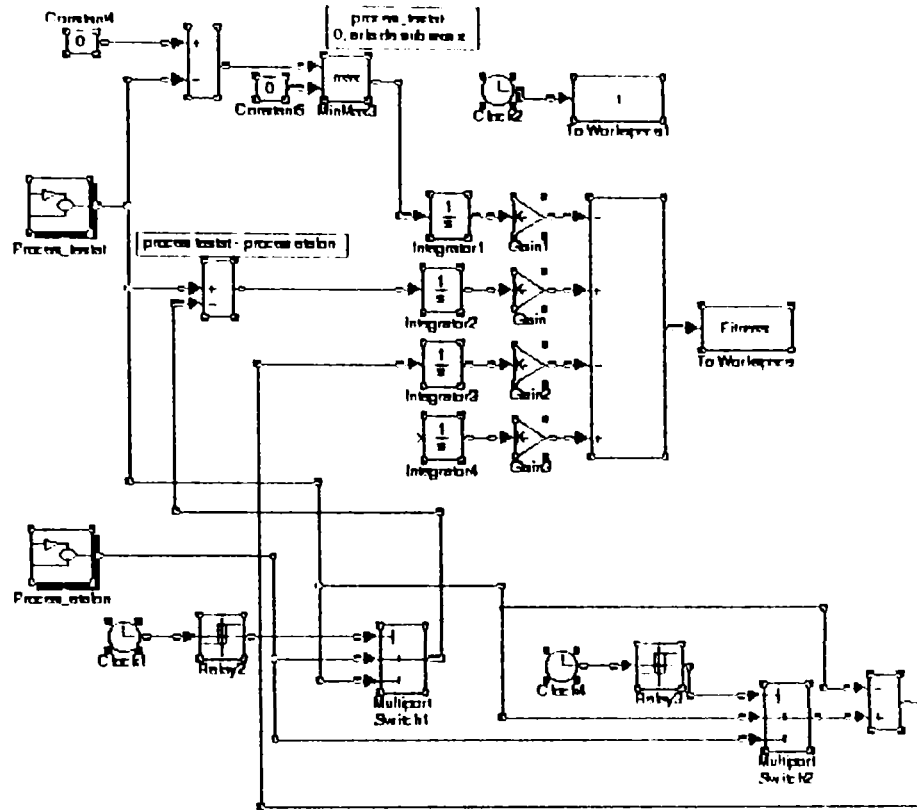


Fig. B.10. Modelul Simulink din studiul de caz nr. 5, folosind performanța definită cu relația (5.2)

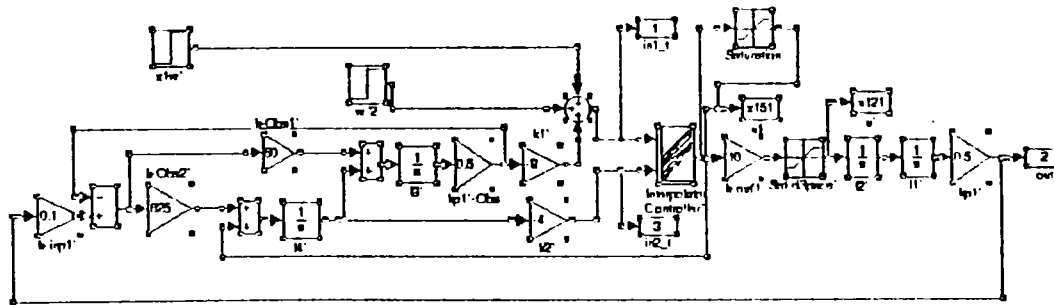


Fig. B.11. Modelul Simulink al procesului etalon din fig. B.10.

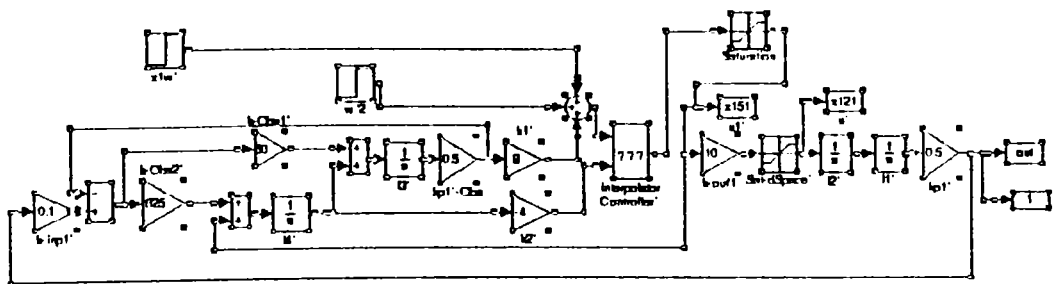


Fig. B.12. Modelul Simulink al procesului testat din fig. B.10.

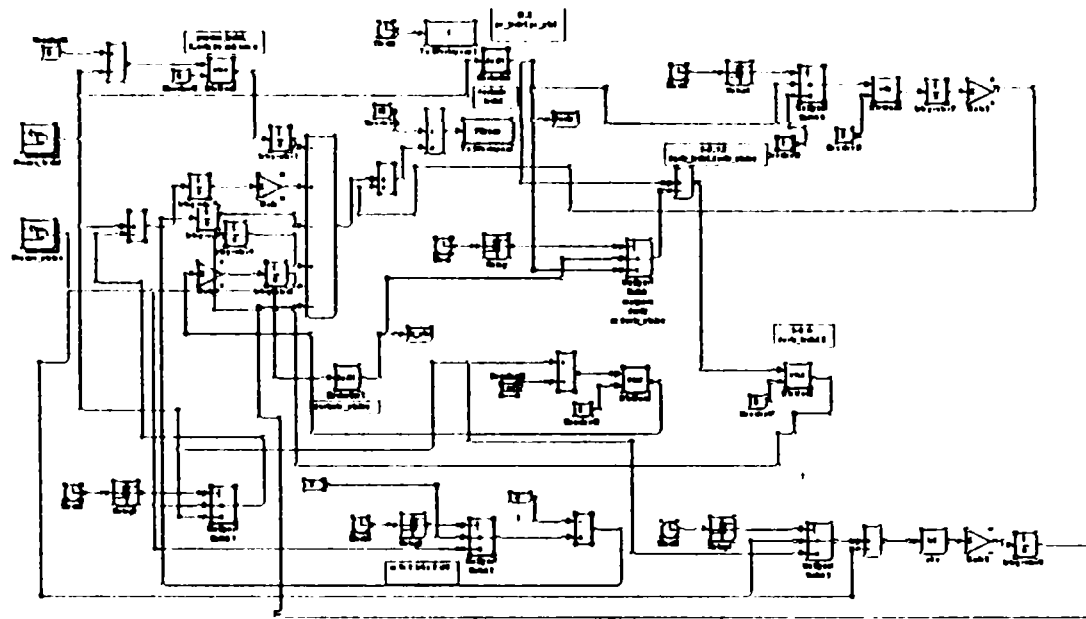


Fig. B.13. Modelul Simulink din studiul de caz nr. 5, folosind performanța definită cu relația (5.30)

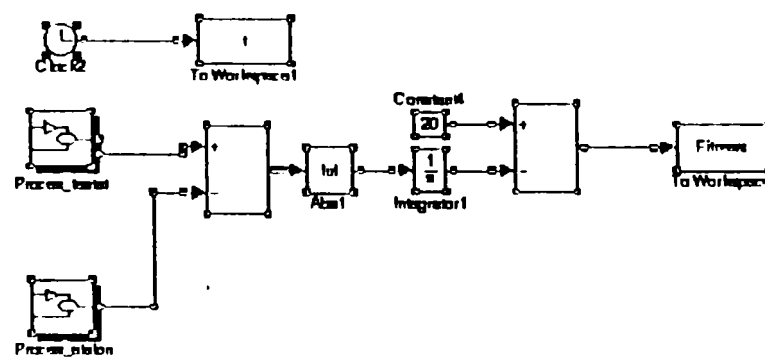


Fig. B.14. Modelul Simulink din studiul de caz nr. 5, folosind performanța definită cu relația (5.32)

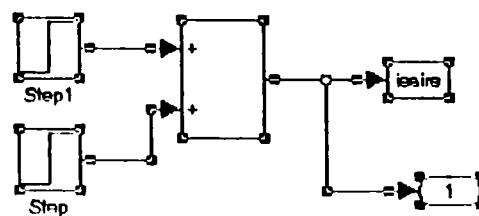


Fig. B.15. Modelul Simulink al procesului etalon din figura B.14.

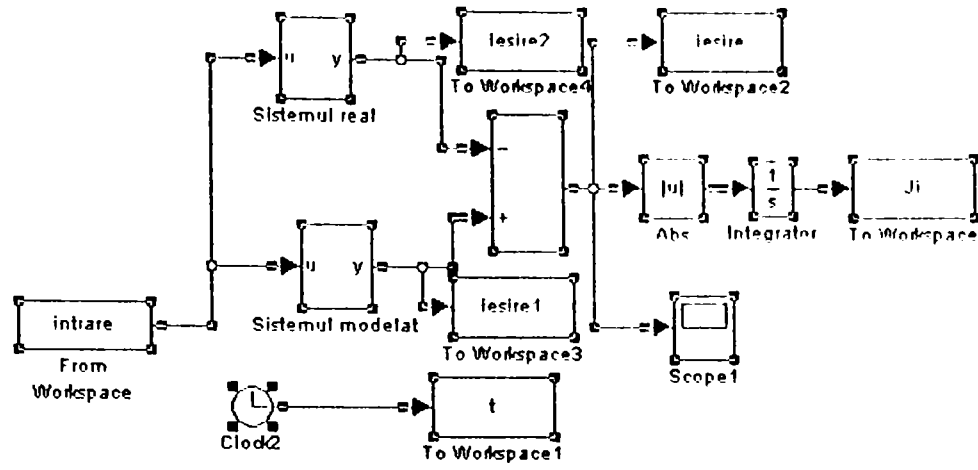


Fig. B.16. Modelul Simulink folosit în studiul de caz nr. 6

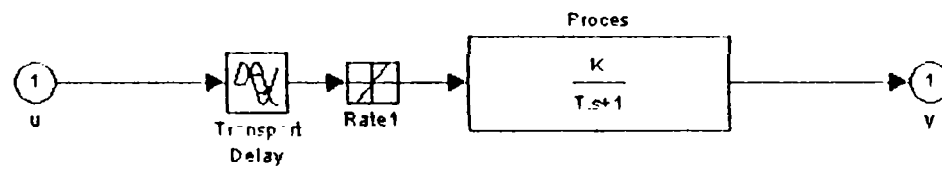


Fig. B.17. Modelul Simulink al sistemului modelat din figura B.16.

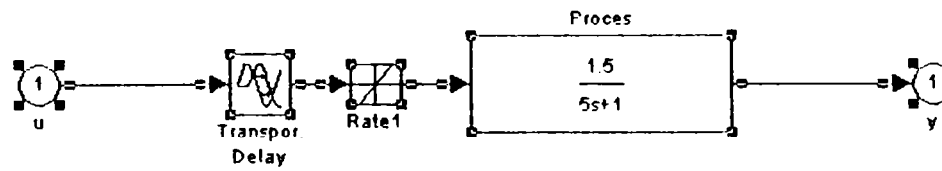


Fig. B.18. Modelul Simulink al sistemului real din figura B.16.

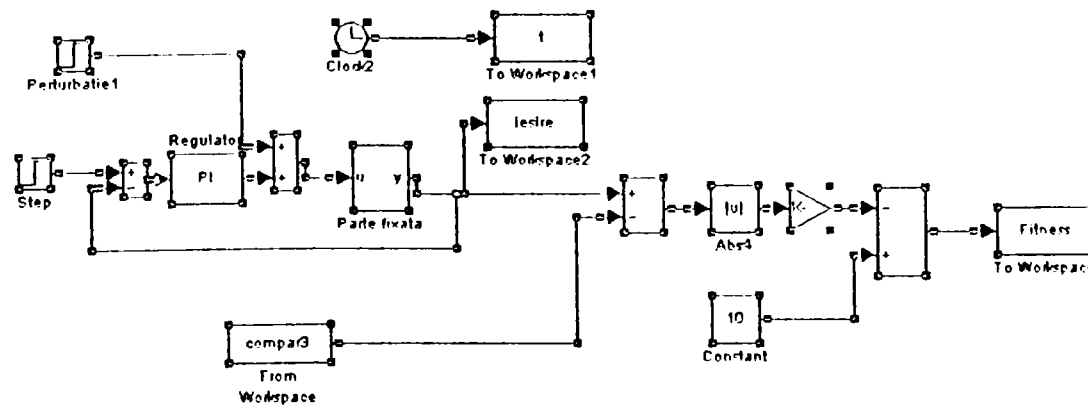


Fig. B.19. Modelul Simulink folosit în studiul de caz nr. 4.3

ANEXA C

C.1. Extensii pentru algoritmi folosiți în programarea genetică simbolică pentru folosirea parantezelor și a expresiilor complexe

Algoritmul 7.1. de generare aleatoare a unui individ se completează cu următoarele:

- la alegerea unui terminal verifică dacă acesta este o paranteză deschisă ține evidența parantezelor;
- după o paranteză deschisă, alege un simbol terminal;
- nu admite alegerea unei paranteze închise dacă nu există deja o paranteză corespondentă deschisă;
- la alegerea unei paranteze închise inserează automat un simbol terminal înaintea parantezei închise, iar dacă nu s-a ajuns la lungimea l , după paranteza închisă inserează automat un simbol funcție;
- nu admite alegerea unei paranteze deschise dacă paranteza precedentă deschisă nu a fost închisă, rejectând astfel și indivizi de forma (6.5);
- nu admite alegerea unei paranteze deschise la lungimea individului mai mare decât $l-3$.
- la lungimea $l-2$ a individului verifică dacă există o paranteză deschisă fără corespondent și dacă urmează inserarea unui simbol terminal. În caz afirmativ, inserează un simbol terminal generat aleator urmat de o paranteză închisă la sfârșitul șirului de caractere care codează individul. Dacă însă urmează inserarea unui simbol funcție continuă cu inserarea acestuia și în continuare inserează un simbol terminal generat aleator urmat de o paranteză închisă (depășește cu l în această situație lungimea maxim admisibilă);
- adaugă automat un spațiu alb pentru separarea atomilor în cadrul individului.

Aceste extensii sunt realizate conform ordinogramei din figura C.1.

Totuși, aceste facilități nu sunt suficiente pentru a permite codarea unor indivizi de forma:

$$i_1 = \sin(x * tetha - b)$$

sau:

$$i_2 = \text{int}(x - a)$$

$$i_3 = b - \cos(x - a) \tag{C.1}$$

Indivizii i_1 și i_2 , în loc să înceapă cu un atom terminal, pe prima poziție au un atom funcție.

Individul i_3 se compune din doi atomi funcție consecutivi ('-' și 'cos') ceea ce implementarea prezentată nu permite.

Deoarece s-a impus restricția ca un individ să înceapă întotdeauna cu un atom terminal, nu se pot genera indivizi de forma lui i_1 și i_2 .

Pentru a permite codarea unui individ în forma lui i_i , se modifică mulțimea de funcții F .

Astfel, această mulțime în loc să conțină simboluri de forma:

$$F = \{ '+', '-', '*', '/', '^' \}$$

$$F = \{ 'sin', 'int', \dots \}$$

(C.2)

va conține simbolurile:

$$F = \{ '+sin', '-sin', '+int', '-int', \dots \}$$

(C.3)

unde nu se inserează spații după operatorii $+$ și $-$, astfel încât $+sin$, $-sin$, $+int$, $-int$ se interpretează ca un singur atom funcție și își păstrează caracterul indivizibil pe tot parcursul evoluției algoritmului genetic.

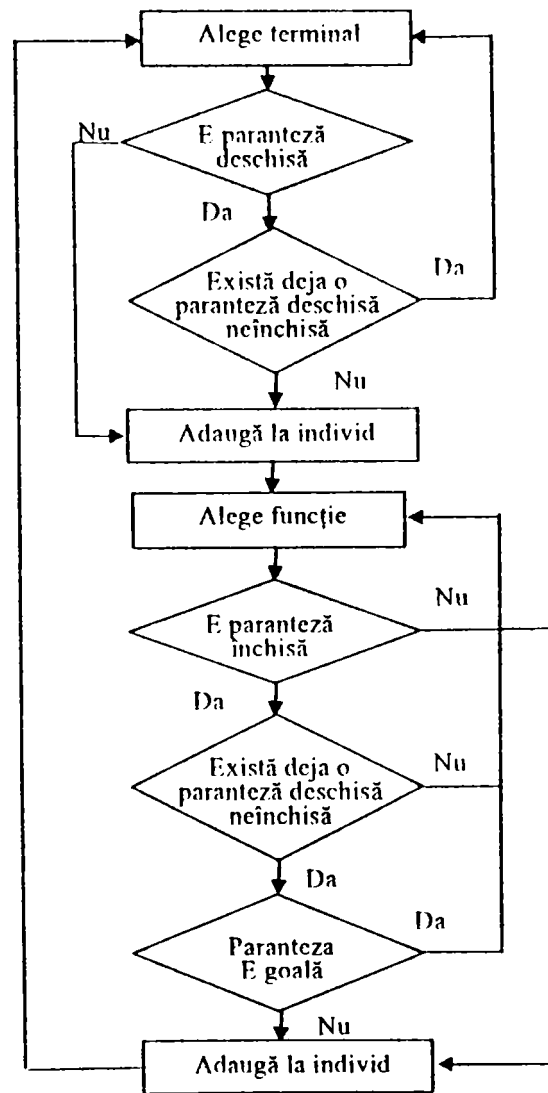


Fig. C1. Extensii la algoritmul 7.1

Înainte de paranteza deschisă însă se inserează un spațiu pentru a permite operatorului de încrucișare să folosească argumentul funcției drept subcromozom central. Astfel, aceste funcții sunt interpretate de *lex* ca fiind 2 atomi consecutivi.

Dacă utilizatorul consideră că este posibil ca soluția problemei să fie codată cu indivizi de forma lui i_1 sau i_2 din relația (C.1), trebuie să folosească un simbol terminal special, de exemplu 'z', care în etapa de evaluare se substituie cu 0.

Astfel, indivizii i_1 și i_2 devin admisibili în forma:

$$i_1 = z + \sin(x * tetha - b)$$

și

$$i_2 = z + \sin(x - a) \quad (C.4)$$

iar sarcina utilizatorului este ca în etapa de evaluare să substituie atomul 'z' cu 0.

Trebuie remarcat că același atom special se poate folosi și în cazul în care utilizatorul presupune că soluția problemei poate fi o expresie cu lungimea mai mică decât 3.

Observații:

- Pentru ridicarea la putere, toolboxul Symbolic Math folosește operatorul '^'. Deci, o expresie de forma

$$\sqrt[3]{b^3 - 5} \quad (C.5)$$

are reprezentarea $(b^3-5)^{(1/3)}$, iar o expresie de forma:

$$(x^3 - 4)^n \quad (C.6)$$

are reprezentarea $(x^3-4)^{(n)}$.

Dacă utilizatorul presupune că soluția problemei poate conține expresii de forma relațiilor (C.5) sau (C.6), unde operatorul de ridicare la putere trebuie să fie asociat cu puterea, pentru ca operatorul de ridicare la putere să fie urmat de același exponent, și pentru a asigura producerea unor indivizi admisibili pe tot parcursul evoluției, în loc să folosească mulțimea funcțiilor cu simboluri de forma:

$$F = \{ '^ (1/3) ' '^ (n) ' \dots \} \quad (C.7)$$

va folosi simbolurile:

$$F = \{ '^ (1/3) + ' '^ (1/3) - ' '^ (1/3) * ' \dots '^ (n) + ' '^ (n) - ' '^ (n) * ' \dots \} \quad (C.8)$$

care presupun că în poziția imediat următoare se poate insera un atom terminal.

Operatorul de încrucișare prezentat în Algoritmul 6.2. se completează cu următoarele:

- dacă punctul de încrucișare e situat între două paranteze, se consideră subcromozom central toți atomii din șir care se află între paranteze, inclusiv parantezele;
- funcțiile cu argumente (de exemplu $\sin(x+a)$), nu pot fi puncte de încrucișare, argumentele lor însă da.

În această manieră în toate situațiile se produc numai descendenți admisibili.

Operatorul de mutație prezentat în Algoritmul 6.3. se completează cu următoarele:

- nu admite punct de mutație o paranteză sau o funcție cu argumente și nici nu poate alege astfel de elemente din mulțimile F și T.

Folosind aceste restricții, se asigură generarea, prin operatorii genetici, numai de indivizi admisibili.

BIBLIOGRAFIE

- [Abu 95] Abu-Alola, J.A.H., Gough, N.E. "Identification and adaptive control of nonlinear processes using combined neural networks and genetic algorithms" Proceedings of the International Conference in Ales, France 1995
- [All 92] Allenson, R. "Genetic algorithms with gender for multi-function optimisation" Technical Report EPC-C-SS92-01, Edinburgh Parallel Computing Centre, Scotland, 1992.
- [And 01] Andreson, J. "Multiobjective optimization in Engineering design." PhD Thesis, Linköpings University, Division of Fluid and Mechanical Engineering Systems, Linköping, Sweden, 2001, <http://www.jeo.org/emo/phdtheses.html>
- [Bäck94] Bäck, T. "Selective pressure in evolutionary algorithms: A characterization of selection mechanisms". Proceedings of the First IEEE Conference on Evolutionary Computation. IEEE World Congress on Computational Intelligence (ICEC '94), pp 57-62, 1994
- [Bak 89] Baker, J.E. "An Analysis of the Effects of Selection in Genetic Algorithms". PHD thesis, Graduate School of Vanderbilt University, Nashville, Tennessee, 1989
- [Ben 97] Bentley, P. Wakefield, J. "Finding Acceptable Solutions in the Pareto-Optimal Range using Multiobjective Genetic Algorithms". Proceedings of the 2nd On-Line World Conference on Soft Computing in Engineering Design and Manufacturing (WSC2), page <http://users.aol.com/docbentley/dispaper.htm>, 1997.
- [Blick95] Blickle, T., Thiele, L. "TIK-Report Nr. 11", December 1995 Version 2. Computer Engineering and Communication Network Lab (TIK) Swiss Federal Institute of Technology (ETH) Zurich {blikle, thiele}@tik.ee.ethz.ch
- [Cal 79] Călin, S., Tetrișco, M., Dumitrache, I., Popeea, C., Popescu, D. " Optimizări în automatizări industriale" Editura Tehnică București 1979
- [Cal 76] Călin, S. "Reglatoarele automate" Editura didactică și pedagogică București 1976
- [Che 94] Chen, Y. L. , Liu, C. , "Multiobjective VAR planning using the goal attainment method". Proceedings on Generation, Transmission and Distribution, 1994.
- [Chi 95] Chipperfield, A., Fleming, P. "Gas Turbine Engine Controller Design using Multiobjective Genetic Algorithms". Proceedings of the First IEE/IEEE International Conference on Genetic Algorithms in Engineering Systems Halifax Hall, University of Sheffield, UK, 1995.
- [Coe 96] Coello, C.A. "An Empirical Study of Evolutionary Techniques for Multiobjective Optimization in Engineering Design". PhD thesis, Department of Computer Science, Tulane University, New Orleans, LA, 1996.
- [Cve 98] Cvetkovic, D., Parmee, I, Webb, E. "Multiobjective Optimisation and Preliminary Airframe Design", 1998.

- [Deb98] Deb, K. "MultiObjective Genetic Algorithms: Problem Difficulties and Construction of Test Problems". Technical Report CI-49/98, Dortmund: Department of Computer Science/LS11, University of Dortmund, Germany, 1998.
- [Dal 02] Dale, S, Vladu, E. , "Using Genetic Algorithms to Improve Hybrid Adaptive-Interpolative System Performances" Proceedings of the International Conference RSEE Oradea 2002
- [Dragom87] Dragomir, T.L., "Tehnici de optimizare" Volumul I, Curs pentru uzul studenților, Institutul Politehnic "Traian Vuia" Timișoara, Facultatea de Electrotehnică, 1987
- [Dra 86] Dragomir, T.L., "Regulate automate", Volumul I, Curs pentru uzul studenților, Institutul Politehnic "Traian Vuia" Timișoara, Facultatea de Electrotehnică, 1986, pp53-69
- [Dra 03] Dragomir, T. L. , Vladu, E. , Dale, S. "Interpolative-type Controller Synthesis Using Genetic Algorithms" Proceedings of the International Conference CSCS14, București 2003
- [Dum 00] Dumitrache, I., Buiu, C. "Algoritmi genetici. Principii fundamentale și aplicații în automatică" Editura Mediamira Cluj-Napoca, 2000.
- [Dum 80] Dumitrache, I. "Tehnica reglării automate" Editura didactică și pedagogică, București 1980
- [Dum 95] Dumitrache, I., Buiu, C. "Introduction to genetic algorithms" Editura Politehnica București, 1995.
- [Eil 94] Eisenhammer T., Lazarov M., Leutbecher M., Schoeffel U., Sizmann R. "Optimization of interference filters with genetic algorithms applied to silver based mirrors". Applied Optics 32(32): 6310-6315, 1994
- [Eykhof 77] Eykhof, P. "Identificarea sistemelor. Estimarea parametrilor și stărilor pentru sisteme tehnice, economice, biologice" Traducere din limba engleză după editura Wiley, Editura Tehnică București 1977.
- [Fir 02] Fireteanu V., Paya B., Popa D., Popa M., Tudorache T., Vladu, E. "Optimization of transversal flux inductors using Simplex, Powell, Random search and Genetic algorithms" Proceedings of the International Conference ATEE 2002 București, 2002
- [Fon 93] Fonseca, C.M., Fleming, P., "Genetic Algorithms for Multiobjective Optimization: Formulation, Discussion and Generalization". Proceedings of the Fifth International Conference on Genetic Algorithms, California, 1993. University of Illinois at Urbana-Champaign.
- [Fon 94] Fonseca, C.M., Fleming, P., "An overview of evolutionary algorithms in multiobjective optimization". Technical report, Department of Automatic Control and Systems Engineering, University of Sheffield, Sheffield, U. K., 1994.
- [Fou 85] Fourman, M.P. "Compaction of symbolic layout using genetic algorithms" Proc. ICGAA 1985

- [Gab 01] Gabor, G. , Vladu, E. "Considerations on the simulation of the control system for a geothermal power plant using ASCL and Matlab" Proceedings of the International Conference EMES 01, Oradea 2001
- [Gen 97] Gen, M., Cheng, R., "Genetic Algorithms and engineering design" Wiley series in engineering design and automation New-York 1997.
- [Ghi 97] Ghinea, M., Fireșteanu, M., "Matlab Calcul numeric- Grafică-Aplicații" Editura Teora București 1997
- [Gol 89] Goldberg, D.E., "Genetic Algorithms in Search, Optimisation and Machine Learning". Addison Wesley Publishing Company, Inc., Massachusetts, 1989.
- [Gol 87] Goldberg, D.E., Richardson, J. "Genetic algorithm with sharing for multimodal function optimization". Proceedings of the Second International Conference on Genetic Algorithms, 1987
- [Gre 89] Grefenstette, J.J., Baker, J.E., "How genetic algorithms work: A critical look at implicit paralelism". Proceedings of the Third International Conference on Genetic Algorithms , paginile 20-27 1989
- [Gus 01] Gustafson, S. M. , "Genetic Programming, Overview, Advances and Applications" GECCO, 2001
- [His 96] Hishashi, T., Hajime, K., Shigenobu, K. "MultiObjective Optimization by Genetic Algorithms: A Review". Proceedings of the 1996 International Conference on Evolutionary Computation, 1996.
- [Hor 93] Horn, J., Nafpliotis, N., "Multiobjective Optimization using the Niche'd Pareto Genetic Algorithm". Technical Report IlliGAI Report 93005, University of Illinois USA, 1993.
- [Ish 96] Ishibuchi, P., Murata, J., "Multi-objective genetic local search algorithm", Proc. 3rd IEEE ICEC 1996
- [Joi 99] Joines, J.A., Houck, C., "On the Use of Non-Stationary Penalty Functions to Solve Nonlinear Constrained Optimization Problems with GA's" Department of Industrial Engineering North Carolina State University, NC 27695-7906,1999
- [Jon 75] Jong, D., "An analysys of the behavior of a class of genetic adaptive systems " Ph. D. thesis University of Michigan 1975
- [Kaw 99] Kawabe, T., Tagami, T., "A new Genetic Algorithm using Pareto Partitioning Method for Robust Partial Model Matching PID Design with Two Degrees of Freedom" Institute of Information Sciences and Electronics. University of Tsukuba, Japan. 1999
- [Kei 01] Keijzer, M., "Scientific Discovery using Genetic Programming" PHD thesis Technical University of Denmark, 2002, IMM, Technical University of Denmark
- [Kin 94] Kinnebrock, W., "Optimierung mit genetischen und selektiven Algorithmen" Munchen 1994.

- [Kno 00] Knowles, D., Corne, W., "Approximating the Nondominated Front Using the Pareto Archived Evolution Strategy" University of Reading Evolutionary Computation 2000.
- [Koz 92] Koza, J.R., "Genetic Programming, as a Means for Programming Computers by Natural Selection" Technical Report, Computer Science Department, Stanford University, California, 1992
- [Koz 95] Koza, J.R., "Survey of Genetic algorithms and Genetic Programming", Computer Science Department Margaret Jacks Hall
Stanford University Stanford, California 94305, 1995, <http://www-cs-faculty.stanford.edu/~koza/>
- [Kur 91] Kursawe, F., "A variant of evolution strategies for vector optimization" in Schwefel and Manner "Parallel Problem Solving from Nature", Springer-Verlag Berlin 1991
- [Lis 96] Lis, J., Eiben, A., "A Multi-Sexual Genetic Algorithm for Multiobjective Optimization". Proceedings of the 1996 International Conference on Evolutionary Computation, Nagoya, Japan, 1996
- [Mat 00] MathWorks Inc. "Matlab. The language of Technical Computing. User's guide. Version 6" 2000
- [Mat 00a] MathWorks Inc. "Symbolic Math Toolbox for use with Matlab" User's guide Version 2 2000
- [Mat 00b] MathWorks Inc. "Simulink Toolbox for use with Matlab" User's guide Version 2 2000
- [Man 97] Man, K.F., Tang, K.S., Kwong, S., Halang, W.A. "Genetic algorithms for control and signal processing". Springer Verlag Berlin 1997
- [Moh 95] Mohammed O. A., Uler G.F., "Genetic algorithms for the optimal design of electromagnetic devices" in Eleventh Annual Review of Progress in Applied Computational Electromagnetics Symposium Theory of Computing, 1995.
- [Mrm 92] Micheielssen E., Ranjithan J.M., Mittra R. "Optimal multilayer filter design using real coded genetic algorithms" IEEE Proceedings J 139(12): 413-420
- [Mrm 93] Micheielssen E., Ranjithan J.M., Mittra R. "Design of lightweight, broad-band microwave absorbers using genetic algorithms" IEEE Transactions of Microwave Theory and Techniques 41 (6): 1024-1031, 1992.
- [Paş 02] Paşca, S., Popa, M., Vladu, E., Tonç, D. "Numerical Modeling of the Induction Crucible Furnace. Contributions on Optimization" Proceedings of the 10-th IGTE symposium 2002 Graz, Austria
- [Pow 93] Powell, D., Skolnick, M.M., "Using genetic algorithms in engineering design optimization with non-linear constraints". Proceedings of the Fifth International Conference on Genetic Algorithms, San Mateo, California, 1993.

- [Ren 94] Renders, J.M., "Algorithmes genetiques et reseaux neurones. Applications a la commande de processus" Editure Hermes Paris 1994
- [Ric 89] Richardson, J.T., Palmer, M.R., Liepins, G., Hilliard, M., "Some guidelines for genetic algorithms with penalty functions". Proceedings of the Third International Conference on Genetic Algorithms, 1989.
- [Rit 94] Ritzel, B. J., Eheart, J.W., Ranjithan, S. "Using Genetic Algorithms to Solve a Multi-Objective Groundwater Remediation Problem," Water Resources Research, vol. 30, no. 5, pp. 1589-1603, 1994.
- [Sch 85] Schaffer, J.D. "Multiple objective optimization with vector evaluated genetic algorithms" Proc. ICGAA 1985
- [Sim 3] Math Works Inc Simulink3. "Modeling, simulation, and analysis of dynamic systems". Math Works Inc Technical Reference. www.mathworks.com
- [Sri 99] Srinivas, N., Deb, K., "Multiobjective optimization using nondominated sorting in genetic algorithms". Technical report, Department of Mechanical Engineering, Indian Institute of Technology, Kanput, India, 1999.
- [Sta 095] Stanley, T., Mudge, T. "A Parallel Genetic Algorithm for Multiobjective Microprocessor Design". Proceedings of the Sixth International Conference on Genetic Algorithms, 1995.
- [sys 01] "GA_Toolbox", http://www.systemtechnik.tu-ilmeneau.de/~polheim/GA_Toolbox/, 2001
- [Sys 91] Syswerda, G., Palmucci, J. "The Application of Genetic Algorithms to Resource Scheduling". Proceedings of the Fourth International Conference on Genetic Algorithms, 1991.
- [Tam 94] Tamaki, M., Mishima, O. "Multi-criteria Optimization by genetic algorithms: A case of sheduling in hot rolling process" Proc. APORS'94
- [Tho 95] Thollon F., Burais N. "Geometrical optimization of sensors for eddy currents nondestructive testing and evaluation". IEEE Transactions on Magnetics 31(3): 2026-2031.
- [Tod 97] Todd, D.S., Sen, P., "A Multiple Criteria Genetic Algorithm for Containership Loading". Proceedings of the Seventh International Conference on Genetic Algorithms, 1997
- [Tor 02] Schnier, T., "Evolutionary computation. Constraint handling." School of Computes Science Birmingham 2002.
- [Ule 95] Uler G.,F., Mohammed O. A., Koh C.S., "Utilizing genetic algorithms for the optimal design of electromagnetic devices". IEEE Transactions on Magnetics 30(6): 4296-4298
- [Vel 98] Van Veldhuizen, D.A., Lamont, G.B., "Multiobjective Evolutionary Algorithm Research: A History and Analysis". Technical Report TR-98-03, Department of Electrical and Computer Engineering, Graduate School of Engineering, Ohio,

- 1998.
- [Vla 99] Vladu, E. "Genetic algorithms. An overview." Proceedings of the EMES 99 International Conference, Oradea 1999
- [Vla 00] Vladu, E. "A genetic algorithm for optimal control", Proceedings of the RSEE00 Conference, Oradea 2000
- [Vla 03] Vladu, E. "Implementing a genetic programming system by using Symbolic toolbox in MATLAB" Proceedings of the International Conference CSCS14, București 2003
- [Vla 03a] Vladu, E. "Using Simulink to dynamically apply genetic algorithms to solve control optimization problems", Proceedings of the Microcad03 International Conference, Miskolc 2003
- [Vuo 95] Vuori, J. "Identification of nonlinear systems with evolutionary computation" Proceedings of the International Conference in Ales, France 1995
- [Whi 89] Whitley, D. "The Genitor algorithm and selection pressure: Why rank-based allocation of reproductive trials is best". Proceedings of the Third International Conference on Genetic Algorithms , paginile 116-121 1989
- [Win 98] Winter, G., Periaux, J., Galan, M., Cuesta, P., "Genetic Algorithms in Engineering and Computer Science", John Wiley and Sons, Chichester New York, 1998
- [Win 81] Winston, P.H., "Inteligența Artificială", Massachusetts Institute of Technology , traducere în Editura Tehnică, București 1981
- [Zit 98] Zitzler, E. Thiele, L. "An Evolutionary Algorithm for Multiobjective Optimization: The Strength Pareto Approach". Technical Report 43, Computer Engineering and Communication Networks Lab (TIK), Swiss Federal Institute of Technology (ETH), Zurich, Switzerland, 1998.

INDEX

acordarea optimă a reguletoarelor	97	mediu	25, 43
alfabet minim	46	normalizat	23
algoritm		relativ	23, 44
de evoluție	9, 10	flux magnetic transversal	165
algoritm genetic		funcția	
în MATLAB	88	ADF	84
multiobiectiv MOGA	62	ARG	84
Pareto cu nișe	65	de divizare	21
sortat nedominat	64	de penalizare	74
VEGA	57	de validitate	73
algoritmul		funcția fitness	9, 78
de arhivare și acceptare	175	funcții indiciale	182
de evoluție de bază	9	gap de generație	29
de generare aleatoare a unui individ		gena	12
pentru programarea genetică		funcțională	37
simbolică	150	selectoare	37
de încrucișare într-un singur punct		generație	11
pentru programarea genetică		genom	13
simbolică	150	genotip	13
de mutație într-un singur punct pentru		grad de încălcare a restricțiilor	75
programarea genetică simbolică ..	153	grilă	68
SA	8	grupare	53
algoritmul evolutiv		hartă	
PAES	67, 175	cromozomială	37
SPEA	69, 177	de dominanță	37
aproximarea funcțiilor	83	identificarea sistemelor	132
arhiva	68	implementări paralele	41
atribuirea funcției fitness după rang	17	indicatori de calitate	182
bloc de construcție	44, 46	integrali	184
circuite absorbante pentru microunde ..	164	indivizi	11
convergență prematură	17	cu lungime variabilă	150
criteriu de oprire	16	instanță a unei scheme	43
cromozom	12	izolare	53
definirea automată a funcțiilor ierahice ..	83	încrucișare	
diploidia	37	aritmetică	34
distribuție cumulativă a fitnessului	23	discretă	31
diversitatea populației	53	intermediară	32
divizarea funcției fitness	17, 53	în m puncte	31
dominanța	37, 50	într-un singur punct	30
elitism	53, 54	liniară	33
estimarea parametrilor	132, 137	uniformă	31
eșantionare stohastică universală	26	lanț Markov	46
factor		maxim global	5
de grupare	29	metoda	
de scalare	32	coeficienților de pondrare	55, 168
fenotip	13	criteriului global	69
filtre cu peliculă subțire	162	de considerare gradată a restricțiilor ..	72
fitness		de modificare a operatorilor genetici ..	72
divizat	21	de penalizare	73

de penalizare aditivă.....	74	optimizarea dispozitivelor magneto-stactice	162
de penalizare cu funcție de penalizare		ordonare	
constantă.....	75	exponențială.....	29
de penalizare cu funcție de penalizare		lexicografică.....	58
variabilă.....	75	liniară.....	28
de penalizare multiplicativă.....	75	Pareto.....	61
de rejecție.....	71	paralelism implicit.....	44
de reparare.....	71	performanța	
de validitate.....	72	unui individ.....	98, 106
mediei ponderate.....	70	populația.....	11
ratei de revenire.....	70	inițială.....	14
restricțiilor.....	60	intermediară.....	14
scopurilor.....	60	probabilitate	
metodă		de încrucișare.....	14
de codare.....	11	de selecție.....	25
de selecție.....	23	proces cu timp mort.....	106
metode stohastice.....	6	programare evoluționistă.....	9
model		programare genetică.....	77
migraționist.....	41	cu constante aleatoare.....	86
mulțime Pareto optimă.....	51	cu verificarea tipurilor.....	85
mulțimea		MOGP.....	63
funcțiilor.....	80	programe de expresii.....	148
terminalelor.....	78	proiectarea antenelor de bandă largă... ..	165
mutație		rata reproducției.....	23
binară cu deplasare.....	35	rază de divizare.....	21
binară cu interschimbare de biți		răspuns indicial.....	182
adiacenți.....	35	regiune	
binară pură.....	34	admisibilă.....	48
limită.....	36	admisibilă în spațiul obiectiv.....	49
neuniformă.....	36	regiune admisibilă.....	5
uniformă.....	35	regresie simbolică.....	81
nedominat.....	50	regulator	
nișă.....	20	de tip interpolativ.....	118
observator de ordinul II.....	118	PI 106, 109	
operator		PID.....	98, 99
de inversiune.....	38	reinițializare.....	53
de încrucișare.....	30, 79	reinserare.....	39
de mutație.....	9, 79	bazată pe fitness.....	39, 40
de selecție.....	9, 79	elitistă.....	39, 40
optimizare.....	4	pură.....	39, 40
globală.....	4, 5, 9	uniformă.....	39
Hill Climbing.....	7	relațiile	
locală.....	4	lui Cohen-Conn.....	107
Monte Carlo.....	6	lui Ziegler-Nichols.....	107
Monte Carlo.....	46	repartiția după funcția fitness.....	23
multicriteriu.....	48	restricție.....	5
multiobiectiv.....	48	restricții.....	71
Pareto.....	49	de împerechere.....	53
vectorială.....	48	de tip egalitate.....	48
optimizare multiobiectiv		de tip inegalitate.....	49
din a doua generație.....	66	rezoluție.....	63

ruleta ponderată	26	nr. 2.1	190
scalare		nr. 2.2	192
exponențială	19	nr. 3	106
liniară	18	nr. 3.1	193
scalarea funcției fitness	17	nr. 3.2	194
schemă	43	nr. 4	109
selecție		nr. 4.1	195
bazată pe conceptul de optim Pareto..	52	nr. 4.2	195
cu grupare	29	nr. 4.3	197
cu trunchiere	27	nr. 5	118
ordonată după rang	28	nr. 6	143
prin comutarea obiectivelor	52	nr. 7	156
proporțională	24	nr. 8	165
proporțională	45	supraspecificare	53
turneu	26	teorema	
s-expresie	78	fundamentală a algoritmilor genetici..	45
Simulated Annealing	7	schemei	45
sistem de programare genetică	147	terminologia	12
spațiu		toolboxul Symbolic Math	147
de căutare	48	topologie	
spațiul de căutare	9	bazată pe vecinătăți	42
spațiul indivizilor	11	de rețea completă	41
stabilizare	118	inel	42
strategii de evoluție	9	variabile	
studiu de caz		de decizie	48
nr 1	99	vector	
nr. 1.1	187	de decizie	48
nr. 1.2	188	nedominat	51
nr. 2	103	obiectiv	49